

การตรวจจับสัญญาณดีสชาร์จบางส่วนในเครื่องกำเนิดไฟฟ้าพิกัด 21 kV:
กรณีศึกษาเครื่องกำเนิดไฟฟ้า ณ โรงไฟฟ้าพลังงานความร้อนร่วมของ
บริษัทราชบุรีเพาเวอร์ จำกัด

**PARTIAL DISCHARGE SIGNALS DETECTION IN 21 kV
GENERATOR: CASE STUDY OF A GENERATOR AT
THE COMBINED CYCLE POWER PLANT OF
RATCHABURI POWER COMPANY LIMITED**

วรัญญู บุญเพ็ญ

วิทยานิพนธ์นี้เป็นส่วนหนึ่งของการศึกษาตามหลักสูตร
ปริญญาวิศวกรรมศาสตรมหาบัณฑิต สาขาวิชาวิศวกรรมไฟฟ้า

คณะวิศวกรรมศาสตร์

มหาวิทยาลัยเทคโนโลยีราชมงคลธัญบุรี

ปีการศึกษา 2560

ลิขสิทธิ์ของมหาวิทยาลัยเทคโนโลยีราชมงคลธัญบุรี

การตรวจจับสัญญาณคี่สสารบางส่วนในเครื่องกำเนิดไฟฟ้าพิกัด 21 kV:
กรณีศึกษาเครื่องกำเนิดไฟฟ้า ณ โรงไฟฟ้าพลังงานความร้อนร่วมของ
บริษัทราชบุรีเพาเวอร์ จำกัด



วรัญญู บุญเพ็ญ

วิทยานิพนธ์นี้เป็นส่วนหนึ่งของการศึกษาตามหลักสูตร
ปริญญาวิศวกรรมศาสตรมหาบัณฑิต สาขาวิชาวิศวกรรมไฟฟ้า
คณะวิศวกรรมศาสตร์
มหาวิทยาลัยเทคโนโลยีราชมงคลธัญบุรี
ปีการศึกษา 2560
ลิขสิทธิ์ของมหาวิทยาลัยเทคโนโลยีราชมงคลธัญบุรี

หัวข้อวิทยานิพนธ์

การตรวจจับสัญญาณคัสซาร์จบางส่วนในเครื่องกำเนิดไฟฟ้าพิกัด
21 kV: กรณีศึกษาเครื่องกำเนิดไฟฟ้า ณ โรงไฟฟ้าพลังงานความ
ร้อนร่วมของบริษัทราชบุรี เพาเวอร์ จำกัด

Partial Discharge Signals Detection in 21 kV Generator : Case
Study of a Generator at the Combined Cycle Power Plant of
Ratchaburi Power Company Limited

ชื่อ - นามสกุล

นายวรัญญู บุญเพ็ญ

สาขาวิชา

วิศวกรรมไฟฟ้า

อาจารย์ที่ปรึกษา

อาจารย์ฉัตรชัย สุภพิทักษ์สกุล, Ph.D.

ปีการศึกษา

2560

คณะกรรมการสอบวิทยานิพนธ์

..... ประธานกรรมการ
(ผู้ช่วยศาสตราจารย์ณัฐภัทร พันธุ์คง, Ph.D.)

..... กรรมการ
(รองศาสตราจารย์ชนพงศ์ สุวรรณศรี, Dr.-Ing.)

..... กรรมการ
(รองศาสตราจารย์บุญยั้ง ปลั่งกลาง, Dr.-Ing.)

..... กรรมการ
(อาจารย์ฉัตรชัย สุภพิทักษ์สกุล, Ph.D.)

คณะวิศวกรรมศาสตร์ มหาวิทยาลัยเทคโนโลยีราชมงคลธัญบุรี อนุมัติวิทยานิพนธ์ฉบับนี้
เป็นส่วนหนึ่งของการศึกษาตามหลักสูตรปริญญาวิทยาศาสตรบัณฑิต

..... คณบดีคณะวิศวกรรมศาสตร์
(ผู้ช่วยศาสตราจารย์ศิวกร อ่างทอง, Ph.D.)

วันที่ 19 เดือน มีนาคม พ.ศ. 2561

หัวข้อวิทยานิพนธ์	การตรวจจับสัญญาณดิสชาร์จบางส่วนในเครื่องกำเนิดไฟฟ้าพิกัด 21 kV: กรณีศึกษาเครื่องกำเนิดไฟฟ้า ณ โรงไฟฟ้าพลังงานความร้อนร่วมของบริษัทราชบุรี เพาเวอร์ จำกัด
ชื่อ-นามสกุล	นายวรัญญู บุญเพ็ญ
สาขาวิชา	วิศวกรรมไฟฟ้า
อาจารย์ที่ปรึกษา	อาจารย์ฉัตรชัย ศุภพิทักษ์สกุล, Ph.D.
ปีการศึกษา	2560

บทคัดย่อ

การเกิดดิสชาร์จบางส่วนในเครื่องกำเนิดไฟฟ้าเป็นสาเหตุหนึ่งของปัญหาที่จะทำให้เครื่องกำเนิดไฟฟ้าเกิดความเสียหายขึ้นรุนแรงได้ จึงมีความจำเป็นที่ต้องทำการตรวจวัดสัญญาณดิสชาร์จบางส่วนเพื่อให้ทราบถึงปัญหาลักษณะต่างๆ และนำไปใช้ในการกำหนดแนวทางซ่อมบำรุงเครื่องกำเนิดไฟฟ้า ซึ่งในการตรวจวัดสัญญาณดิสชาร์จบางส่วน โรงไฟฟ้าจะมีค่าใช้จ่ายในการจ้างบริษัทเข้ามาวัดสัญญาณจากเซ็นเซอร์ที่ติดตั้งที่เครื่องกำเนิดไฟฟ้าด้วยเครื่องมือวัดมาตรฐาน และทำการวิเคราะห์ผลการวัด

วิทยานิพนธ์นี้นำเสนอการตรวจวัดและวิเคราะห์สัญญาณดิสชาร์จบางส่วนในเครื่องกำเนิดไฟฟ้าพิกัด 21 kV โดยการตรวจวัดและเก็บข้อมูลสัญญาณจากเซ็นเซอร์ตรวจวัดสัญญาณดิสชาร์จบางส่วนด้วยออสซิลโลสโคปความเร็วสูงร่วมกับชุดจัดเก็บข้อมูล จากนั้นนำข้อมูลที่ได้อวิเคราะห์เปรียบเทียบกับเครื่องมือวัดมาตรฐาน โดยทำการตรวจวัดและเก็บข้อมูลสัญญาณของเครื่องกำเนิดไฟฟ้าเป็นกรณีศึกษา ณ โรงไฟฟ้าพลังงานความร้อนร่วมของบริษัทราชบุรี เพาเวอร์ จำกัด

ผลการวัดและตรวจสอบด้วยเครื่องมือวัดมาตรฐานพบสัญญาณผิดปกติเกิดขึ้นที่เครื่องกำเนิดไฟฟ้าที่เฟส A ของยูนิต 10 โดยเกิดขึ้นที่มุม 90° และ 270° จึงทดลองใช้การตรวจวัดที่นำเสนอซึ่งสามารถตรวจจับสัญญาณผิดปกติได้แต่มุมที่เกิดจะต่างจากผลที่ได้จากเครื่องมือวัดมาตรฐานอยู่ 90° ทั้งนี้เนื่องมาจากคุณสมบัติของคาปาซิเตอร์เซ็นเซอร์ จึงทำการเลื่อนมุมเพิ่มไป 90° ทำให้ได้ผลการวัดที่ตรงกัน โดยสัญญาณมีความถี่ 25 เมกะเฮิรตซ์ ซึ่งจัดอยู่ในช่วงของสัญญาณรบกวนที่มีสาเหตุจากการแตกตัวของประจุในอากาศ จากการหยุดเดินเครื่องกำเนิดไฟฟ้าเพื่อทำการซ่อมบำรุงพบว่า สาเหตุดังกล่าวเกิดขึ้นจากความผิดพลาดในการติดตั้งในส่วนของคุณต่อของอุปกรณ์ตรวจจับสัญญาณ

คำสำคัญ: สัญญาณดิสชาร์จบางส่วน เครื่องกำเนิดไฟฟ้าพลังงานความร้อนร่วม ออสซิลโลสโคปความเร็วสูง

Thesis Title	Partial Discharge Signals Detection in 21 kV Generator: Case Study of a Generator at the Combined Cycle Power Plant of Ratchaburi Power Company Limited
Name-Surname	Mr. Warunyu Boonphen
Program	Electrical Engineering
Thesis Advisor	Mr. Chatchai Suppitaksakul, Ph.D.
Academic Year	2017

ABSTRACT

Partial discharge (PD) is one of the problems that can cause serious damage on generators. Therefore, it is necessary to measure partial discharge signals in order to gain insights into the problems, and then maintenance work of the generators can be done effectively. In measuring partial discharge signals, the power plant has to employ another company which has standard instruments to perform the task, which causes expenses.

This thesis proposed the measurement and analysis of partial discharge signals in a 21 kV generator derived from partial discharge sensors with a high speed oscilloscope and a storage unit. Then, the data were analyzed and compared with the results obtained from the standard instrument. As a case study, the measurement and data collection was conducted at the combined cycle power plant of Ratchaburi Power Company Ltd.

Measurement and inspection results with the standard instrument indicated that abnormal signals were found on the generator at Phase A of Unit 10 of the power plant, at the angles of 90° and 270° . Then, the proposed measurement method was implemented and, abnormal signals, then, were detected. However, the angles were different from those obtained from the standard instrument by 90° , which was due to the properties of the capacitor sensor. After adding 90° phase shift, the measurement results were exactly the same and the frequency of the signals was 25 MHz, the range in which a noise bandwidth that can be produced by disintegration of the charges in the air. After shutting down the generator for the maintenance purpose, it was found that the fault was caused during the installation of the junction box of the detector.

Keywords: partial discharge signal, combined cycle power plant, high speed oscilloscope

กิตติกรรมประกาศ

วิทยานิพนธ์ฉบับนี้ดำเนินการสำเร็จลุล่วงไปได้ด้วยดี เนื่องจากผู้วิจัยได้รับความเมตตา กรณาอย่างสูงจาก ผู้ช่วยศาสตราจารย์ ดร.ณัฐภัทร พันธุ์คง ประธานกรรมการสอบวิทยานิพนธ์ ผู้ช่วยศาสตราจารย์ ดร.บุญยัง ปลั่งกลาง กรรมการสอบวิทยานิพนธ์ รองศาสตราจารย์ ดร.ชนพงศ์ สุวรรณศรี ผู้ทรงคุณวุฒิ และดร.ฉัตรชัย สุกพิทักษ์สกุล ที่ปรึกษาวิทยานิพนธ์ และ ผู้ช่วยศาสตราจารย์ พินิจ จิตจริง ที่กรุณาให้คำแนะนำ และให้คำปรึกษาตลอดจนให้ความช่วยเหลือแก้ไขข้อบกพร่อง ต่างๆ เพื่อให้วิทยานิพนธ์ฉบับนี้มีความสมบูรณ์ ซึ่งผู้วิจัยขอกราบขอบพระคุณเป็นอย่างสูงไว้ ณ โอกาสนี้

ขอขอบพระคุณผู้ทรงคุณวุฒิทั้ง 5 ท่าน ที่ให้ความอนุเคราะห์ประเมินรับรองงานวิจัยและ ให้คำแนะนำต่างๆ อันเป็นประโยชน์สำหรับการทำวิจัยครั้งนี้ ขอขอบพระคุณคณาจารย์ ประจำภาควิชา วิศวกรรมไฟฟ้า คณะวิศวกรรมศาสตร์ มหาวิทยาลัยเทคโนโลยีราชมงคลธัญบุรีทุกท่าน ที่ได้ประสิทธิ์ ประสาทวิชา บ่มเพาะจนผู้วิจัยสามารถนำเอาหลักการมาประยุกต์ใช้และอ้างอิงในการวิจัยครั้งนี้และ ขอขอบคุณ พี่ๆ เพื่อนๆ น้องๆ นักศึกษาระดับปริญญาโท และ ระดับปริญญาเอกทุกคน รวมถึง ผู้บังคับบัญชา พี่ๆ เพื่อนๆ ที่ทำงานทั้งในส่วนของ บริษัทราชบุรี เพาเวอร์ จำกัด (RPCL) และ ในส่วน ของโครงการเดินเครื่องและบำรุงรักษา ราชบุรี เพาเวอร์ จำกัด (อค-บพ.) การไฟฟ้าฝ่ายผลิตแห่ง ประเทศไทย ที่ให้กำลังใจในการดำเนินกิจกรรมการวิจัยจนได้ความสมบูรณ์ของงาน มีส่วนช่วยให้ คำแนะนำช่วยเหลือในเรื่องการเรียนและเรื่องอื่นๆ ตลอดระยะเวลาที่ได้มาทำการศึกษา ณ มหาวิทยาลัยเทคโนโลยีราชมงคลธัญบุรีตั้งแต่ต้นจนกระทั่งสำเร็จการศึกษา

สุดท้ายนี้ผู้วิจัยขอขอบพระคุณ คุณยายจันทร์ คำหริ คุณพ่อ ร้อยตรีสุรินทร์ บุญเพ็ญ คุณอานางสาวดลนภา บุญเพ็ญ รวมถึงญาติพี่น้องที่ผู้วิจัยรักและเคารพ ที่ได้ให้ความรัก ความอบอุ่น และ อบรมเลี้ยงดู เป็นกำลังใจ และให้คำแนะนำแก่ผู้วิจัยด้วยความรักมาโดยตลอด พร้อมทั้งสนับสนุนเรื่อง การศึกษามาเป็นอย่างดี เป็นต้นไม้ใหญ่ที่เป็นร่มโพธิ์ ร่มไทรให้กับผู้วิจัย และ ชี้แนะแนวทางการ ดำเนินชีวิต และการทำงาน จนทำให้ผู้วิจัยประสบความสำเร็จในชีวิตเรื่อยมา คุณค่าอันพึงมีจาก วิทยานิพนธ์ฉบับนี้ ขอมอบเพื่อบูชาพระคุณบิดา มารดา ครู อาจารย์ และ ผู้มีพระคุณทุกท่าน

วรัญญา บุญเพ็ญ

สารบัญ

	หน้า
บทคัดย่อภาษาไทย.....	(3)
บทคัดย่อภาษาอังกฤษ.....	(4)
กิตติกรรมประกาศ.....	(5)
สารบัญ.....	(6)
สารบัญตาราง.....	(8)
สารบัญรูป.....	(9)
บทที่ 1 บทนำ.....	12
1.1 ความเป็นมาและความสำคัญของปัญหา.....	12
1.2 วัตถุประสงค์ของงานวิจัย.....	13
1.3 สมมติฐานของงานวิจัย.....	13
1.4 ขอบเขตของการวิจัย.....	14
1.5 ขั้นตอนการวิจัย.....	14
1.6 นิยามศัพท์เฉพาะ.....	14
1.7 ประโยชน์ที่คาดว่าจะได้รับ.....	15
บทที่ 2 ทฤษฎีและงานวิจัยที่เกี่ยวข้อง.....	16
2.1 ดิสชาร์จบางส่วน (Partial Discharge).....	16
2.2 การเกิดดิสชาร์จบางส่วนในเครื่องกำเนิดไฟฟ้า.....	21
2.3 สาเหตุการเกิดดิสชาร์จบางส่วน.....	22
2.4 การตรวจสอบการเกิดดิสชาร์จบางส่วนภายในเครื่องกำเนิดไฟฟ้า.....	26
2.5 การติดตั้งอุปกรณ์ตรวจจับสัญญาณดิสชาร์จบางส่วน.....	27
2.6 การวิเคราะห์สัญญาณดิสชาร์จบางส่วน.....	35
2.7 ลักษณะเฉพาะของรูปแบบการเกิดดิสชาร์จบางส่วน.....	40
2.8 ฐานข้อมูลของผลการวัดสัญญาณดิสชาร์จบางส่วนของเครื่องกำเนิดไฟฟ้า 2015.....	47
2.9 EMC Reference.....	49
2.10 งานวิจัยที่เกี่ยวข้อง.....	49
2.11 สรุปทฤษฎีและงานวิจัยที่เกี่ยวข้อง.....	50

สารบัญ (ต่อ)

	หน้า
บทที่ 3 วิธีการดำเนินงานวิจัย.....	51
3.1 ผังขั้นตอนในการดำเนินงานวิจัย.....	51
3.2 ขั้นตอนการติดตั้งอุปกรณ์ตรวจวัดสัญญาณดิซชาร์จบางส่วน	52
3.3 ขั้นตอนการทดสอบ	58
3.4 สรุปการดำเนินงานวิจัย	72
บทที่ 4 ผลการวิเคราะห์	73
4.1 ผลการวิเคราะห์จากเครื่องมือวัดมาตรฐานและเครื่องมือตรวจจับที่ออกแบบ.....	73
4.2 ผลการตรวจสอบหาสาเหตุจากการวิเคราะห์	81
4.3 สรุปผลการวิเคราะห์	88
บทที่ 5. ผลการวิจัยและข้อเสนอแนะ.....	89
5.1 สรุปผลการวิจัย.....	89
5.2 ข้อเสนอแนะ	89
5.3 งานวิจัยที่เกี่ยวข้องในอนาคต	90
บรรณานุกรม	91
ภาคผนวก.....	93
ภาคผนวก ก DEVICE SPECIFICATIONS NI PXIe-5160.....	94
ภาคผนวก ข ผลการทดสอบด้วยออสซิลโลสโคปความเร็วสูงที่ STG10 ทั้ง 3 เฟส....	96
ภาคผนวก ค Partial Discharge Report Executive Summary 24 th November 2017 ...	109
ภาคผนวก ง ผลงานตีพิมพ์เผยแพร่	145
ประวัติผู้เขียน.....	154

สารบัญตาราง

	หน้า
ตารางที่ 2.1 ปัญหาจากการขึ้นตอนการผลิตที่ไม่เหมาะสม (Inadequate Bonding)	41
ตารางที่ 2.2 ปัญหาจากการเกิด Slot Discharge	41
ตารางที่ 2.3 ปัญหาจากความเครียดในสารเคลือบผิวต่าง ๆ (Stress Coating Interface)	42
ตารางที่ 2.4 ปัญหาจากการคลายตัวของขดลวด (Loose Windings).....	43
ตารางที่ 2.5 ปัญหาจากช่องว่างระหว่าง Phase ที่ไม่เพียงพอ (Inadequate Spacing)	44
ตารางที่ 2.6 ปัญหาจากการเชื่อมต่อทางไฟฟ้า (Electrical Connections)	44
ตารางที่ 2.7 ปัญหาจาก Surges.....	45
ตารางที่ 2.8 ปัญหาจากการเสื่อมสภาพด้วยความร้อน (Thermal Deterioration).....	46
ตารางที่ 2.9 ปัญหาจากการปรับเปลี่ยน Load (Load Cycling)	46
ตารางที่ 2.10 ปัญหาจากความสกปรก (Contamination)	47
ตารางที่ 2.11 ฐานข้อมูลความรุนแรงของการเกิด PD พิกัด 21 kV	48
ตารางที่ 3.1 ขั้นตอนการดำเนินงานวิจัย.....	51
ตารางที่ 3.2 ข้อมูลทางด้านเทคนิคของเครื่องกำเนิดไฟฟ้า.....	53
ตารางที่ 3.3 Features of Hydrogen Cooling.....	54
ตารางที่ 3.4 Installation Epoxy Mica Capacitor at RPCL	58
ตารางที่ 3.5 แสดงตารางฐานข้อมูลเทียบกับข้อมูลทางด้านเทคนิคของเครื่องกำเนิดไฟฟ้า	59
ตารางที่ 3.6 ตัวอย่างผลการทดสอบหลังจากที่ได้ทำการติดตั้งคาปาซิเตอร์ คัปเปอร์ ที่ GTG11..	60
ตารางที่ 3.7 ผลการทดสอบหลังจากที่ได้ทำการติดตั้งคาปาซิเตอร์ คัปเปอร์ ที่ STG10 ครั้งที่ 1..	64
ตารางที่ 3.8 ผลการทดสอบหลังจากที่ได้ทำการติดตั้งคาปาซิเตอร์ คัปเปอร์ ที่ STG10 ครั้งที่ 2..	64
ตารางที่ 3.9 ผลการทดสอบหลังจากที่ได้ทำการติดตั้งคาปาซิเตอร์ คัปเปอร์ ที่ STG10 ครั้งที่ 3..	67
ตารางที่ 4.1 ผลการทดสอบหลังจากที่ได้ทำการติดตั้งคาปาซิเตอร์ คัปเปอร์ ที่ STG10 ครั้งที่ 1..	73
ตารางที่ 4.2 ผลการทดสอบหลังจากที่ได้ทำการติดตั้งคาปาซิเตอร์ คัปเปอร์ ที่ STG10 ครั้งที่ 2..	74
ตารางที่ 4.3 ฐานข้อมูลความรุนแรงของการเกิดคิสซาร์จบางส่วนพิกัด 21 kV และใช้ไฮโดรเจนในการระบายความร้อน	74
ตารางที่ 4.4 ผลการทดสอบหลังจากที่ได้ทำการติดตั้งคาปาซิเตอร์ คัปเปอร์ ที่ STG10 ครั้งที่ 4..	86

สารบัญรูป

	หน้า
รูปที่ 2.1 รูปแบบของดิสชาร์จบางส่วน (PD).....	17
รูปที่ 2.2 วงจรสมมูลของวัสดุที่มีโพรงก๊าซและเกิดดิสชาร์จบางส่วนภายใน ขั้วบวกรวม 18	18
รูปที่ 2.3 แรงดันตกคร่อม โพรงก๊าซและกระแสที่ขั้วสายขณะเกิด คายประจุบางส่วน ขั้วบวกรวม.....	20
รูปที่ 2.4 ลักษณะกระแสการคายประจุบางส่วนทางทฤษฎีสำหรับช่องว่างอากาศ.....	21
รูปที่ 2.5 วงจรสมมูลเมื่อมีโพรงอากาศในเนื้อฉนวน	21
รูปที่ 2.6 การเสื่อมสภาพด้วยความร้อน	22
รูปที่ 2.7 การเคลื่อนที่ของประจุที่ไม่ดี	23
รูปที่ 2.8 การคลายตัวของขดลวด.....	24
รูปที่ 2.9 ช่องว่างระหว่างเฟสไม่เพียงพอ	25
รูปที่ 2.10 ความสกรปรกในปลายขดลวด (End Winding).....	26
รูปที่ 2.11 Cable Capacitor ทำด้วย HV Cable	28
รูปที่ 2.12 PD Sensor ชนิด EMC ขนาด 80 pF	28
รูปที่ 2.13 Pulse Width และ Rise Time ของสัญญาณดิสชาร์จบางส่วน	29
รูปที่ 2.14 การออกแบบและเลือกใช้ตัวเก็บประจุขนาด 80 pF.....	29
รูปที่ 2.15 ย่านความถี่ที่ใช้ในการตรวจจับสัญญาณดิสชาร์จบางส่วน.....	30
รูปที่ 2.16 การกรองสัญญาณความถี่ของตัวเก็บประจุขนาด 80 pF	31
รูปที่ 2.17 (ก)(ข) กล้องเชื่อมต่อสัญญาณภายนอกและภายใน	32
รูปที่ 2.18 การตรวจวัดสัญญาณด้วยเครื่องมือวัดมาตรฐาน (TGA-B).....	33
รูปที่ 2.19 (ก)(ข) การตรวจวัดสัญญาณด้วยเครื่องมือวัดมาตรฐาน (TGA-B) เพื่อนำไปวิเคราะห์	34
รูปที่ 2.20 Double – End Installation (2 PD Sensor / Phase).....	34
รูปที่ 2.21 คุณลักษณะของสัญญาณดิสชาร์จบางส่วน.....	35
รูปที่ 2.22 ตำแหน่งของดิสชาร์จบางส่วนที่เกิด และ ปริมาณ +PD และ –PD	36
รูปที่ 2.23 ตำแหน่งของดิสชาร์จบางส่วนว่าเกิดขึ้นที่บริเวณใด	36
รูปที่ 2.24 สัญญาณ -PD < +PD	37
รูปที่ 2.25 ตำแหน่งการเกิดสัญญาณ -PD < +PD	37
รูปที่ 2.26 สัญญาณ +PD \approx –PD.....	38

สารบัญรูป(ต่อ)

	หน้า
รูปที่ 2.27 ตำแหน่งการเกิดสัญญาณ +PD \approx -PD.....	38
รูปที่ 2.28 สัญญาณ -PD > +PD	39
รูปที่ 2.29 ตำแหน่งการเกิดสัญญาณ -PD > +PD	39
รูปที่ 2.30 ตัวอย่างการเกิดสัญญาณผิดปกติขึ้นที่มุม 270°	40
รูปที่ 2.31 คุณสมบัติของ Capacitor Load	49
รูปที่ 3.1 บริษัท ราชบุรีเพาเวอร์ จำกัด	52
รูปที่ 3.2 การติดตั้งคาปาซิเตอร์ คัปเปอร์ แบบ Directional 2PD Sensor/Phase	55
รูปที่ 3.3 Single line การติดตั้งคาปาซิเตอร์ คัปเปอร์ แบบ Directional 2PD Sensor/Phase	55
รูปที่ 3.4 แก๊สเทอร์ไบน์ มีอยู่ทั้งหมด 4 ยูนิต.....	56
รูปที่ 3.5 ตำแหน่งการติดตั้ง PD Sensor ที่แก๊สเทอร์ไบน์	56
รูปที่ 3.6 สตรีมเทอร์ไบน์ มีอยู่ทั้งหมด 2 ยูนิต	57
รูปที่ 3.7 ตำแหน่งการติดตั้ง PD Sensor ที่สตรีมเทอร์ไบน์.....	57
รูปที่ 3.8 การตรวจสอบด้วยเครื่องมือวัดมาตรฐาน (TGA-B)	59
รูปที่ 3.9 PD Summary Variables	60
รูปที่ 3.10 การอ่านค่าของกราฟในแนวแกนตั้ง.....	61
รูปที่ 3.11 การอ่านค่าของกราฟในแนวแกนนอน	62
รูปที่ 3.12 รูปแบบของการแสดงผลในรูปแบบ 2 มิติ.....	62
รูปที่ 3.13 รูปแบบของการแสดงผลในรูปแบบ 3 มิติ.....	63
รูปที่ 3.14 ค่าขนาดของ PD จะอ่านจากจุดที่เกิด PD จำนวน 10 พัลส์ต่อวินาที (pps).....	63
รูปที่ 3.15 Data Report STG 10 ในวันที่ 1 กุมภาพันธ์ 2017.....	66
รูปที่ 3.16 Data Report STG 10 ในวันที่ 24 กุมภาพันธ์ 2017	68
รูปที่ 3.17 การตรวจจับสัญญาณด้วยตัวออกสซิลโลสโคปความเร็วสูง.....	69
รูปที่ 3.18 ออกสซิลโลสโคปรุ่น NI Pxl-5160 500MHz , Sample rate 2.5 GS/s , 10 Bits.....	70
รูปที่ 3.19 การทดสอบด้วยค่า Sample rate ที่ 2GS/s และ Sample to read ที่ 5M ที่ Phase A.....	71
รูปที่ 3.20 การทดสอบด้วยค่า Sample rate ที่ 1GS/s และ Sample to read ที่ 5M ที่ Phase A.....	71

สารบัญรูป(ต่อ)

	หน้า
รูปที่ 3.21 การทดสอบด้วยค่า Sample rate ที่ 250MS/s และ Sample to read ที่ 5M ที่ Phase A..	71
รูปที่ 3.22 การทดสอบด้วยค่า Sample rate ที่ 100MS/s และ Sample to read ที่ 10M ที่ Phase A	72
รูปที่ 3.23 การทดสอบด้วยค่า Sample rate ที่ 100MS/s และ Sample to read ที่ 5M ที่ Phase A..	72
รูปที่ 4.1 สัญญาณคีสซาร์จบางส่วนที่สตริมเทอร์ไบน์ 10 เฟส A มุม 90° และ 270°	75
รูปที่ 4.2 สัญญาณผิดปกติเกิดขึ้นที่มุม 0° ตั้งค่า Sample rate 100 M/s และ Sample to read 5M..	76
รูปที่ 4.3 การตัดสัญญาณจากค่า Sample rate 100 MS/s และ Sample to read 5M มา 1 ลูกคลื่น.....	77
รูปที่ 4.4 การขยายสัญญาณจากค่า Sample rate 100 MS/s และ Sample to read 5M ครั้งที่ 1.....	78
รูปที่ 4.5 การขยายสัญญาณจากค่า Sample rate 100 MS/s และ Sample to read 5M ครั้งที่ 2.....	78
รูปที่ 4.6 ภาพขยายสัญญาณผิดปกติจากยอดถึงยอดเพื่อหาความถี่ที่ถูกต้อง ครั้งที่ 3	79
รูปที่ 4.7 ภาพขยายสัญญาณผิดปกติจากยอดถึงยอดเพื่อหาความถี่ที่ถูกต้อง ครั้งที่ 4.....	79
รูปที่ 4.8 สรุปสัญญาณผิดปกติที่เกิดขึ้นมีความถี่ 25 MHz.....	80
รูปที่ 4.9 ที่ความถี่ 25 MHz จะอยู่ในช่วงของสัญญาณรบกวน	80
รูปที่ 4.10 จุดที่ทำการตรวจสอบหาสาเหตุของสัญญาณรบกวน	82
รูปที่ 4.11 จุดที่ทำการตรวจสอบหาสาเหตุที่สตริมเทอร์ไบน์ 10 เฟส A.....	82
รูปที่ 4.12 จุดที่พบสาเหตุของการเกิดสัญญาณผิดปกติที่สตริมเทอร์ไบน์ 10 เฟส A.....	83
รูปที่ 4.13 จุดที่เกิดความเสียหายของรู Isolated Phase Bus ที่ทำการการตีปัดเลี้ยวไม่ดี.....	83
รูปที่ 4.14 สาเหตุที่มาของสัญญาณผิดปกติที่สตริมเทอร์ไบน์ 10 เฟส A.....	84
รูปที่ 4.15 การเพิ่มขนาดน็อตให้ใหญ่ขึ้นเพื่อแก้ไขปัญหาที่สตริมเทอร์ไบน์ 10 เฟส A.....	85
รูปที่ 4.16 การแก้ไขหลังจากตรวจพบสาเหตุที่สตริมเทอร์ไบน์ 10 เฟส A.....	85
รูปที่ 4.17 ผลการทดสอบด้วยเครื่องมือวัดมาตรฐาน TGA-B หลังจากการแก้ไข	86
รูปที่ 4.18 Data Report STG 10 ในวันที่ 24 พฤศจิกายน 2017	87

บทที่ 1

บทนำ

1.1 ความเป็นมาและความสำคัญของปัญหา

โดยปกติแล้ว เครื่องกำเนิดไฟฟ้า (Generator) จะมีการใช้งานหรือเดินเครื่องอยู่ตลอดเวลา ซึ่งทำให้เป็นการยากที่จะตรวจสอบสภาพหรือความผิดปกติได้ ดังนั้น จึงจำเป็นต้องมีอุปกรณ์ตรวจสอบประเภท On-Line เพื่อทำการ Monitor ทั้งนี้จากสถิติที่เก็บไว้เกี่ยวกับความเสียหายของเครื่องกำเนิดไฟฟ้าในประเทศสหรัฐอเมริกา นั้น จะพบว่า 50 % เกิดจากปัญหา Vibration ซึ่งตรวจสอบได้โดยการติดตั้ง On-Line Vibration Analysis อีก 40 % เกิดจากปัญหาฉนวนที่ Stator ซึ่งตรวจสอบได้ด้วยการติดตั้ง Partial Discharge Monitoring และ 10 % เกิดจาก Rotor ซึ่งตรวจสอบได้ด้วยการติดตั้ง On-Line Flux Probe Monitoring

ปัจจุบันการบำรุงรักษาเครื่องกำเนิดไฟฟ้า (Generator) สามารถแบ่งออกเป็น 2 รูปแบบหลักๆ ได้แก่ การบำรุงรักษาเชิงป้องกัน (Preventive Maintenance) และการซ่อมแซมแก้ไข (Corrective Maintenance) ในส่วนของการบำรุงรักษาเชิงป้องกันนั้นยังแบ่งออกเป็นอีก 2 ส่วน ส่วนแรก คือ การบำรุงรักษาตามวาระ (Time Base Maintenance) คือ การตรวจสอบ การซ่อมแซม การเปลี่ยนชิ้นส่วน และการเปลี่ยนฉนวน ในส่วนที่สอง คือ การบำรุงรักษาตามสภาพ (Condition Based Maintenance) คือ การวิเคราะห์สภาพฉนวน การประมาณอายุขัยเหลือ และการกำหนดแผนบำรุงรักษาตามสภาพเครื่องที่วัดได้ จากการประเมินสภาพของเครื่องจักรแล้ว จะมีการบำรุงรักษาแบบทวิผล (Predictive & Productive Maintenance) คือ การวางแผนระยะยาวในการบำรุงรักษา เพื่อเป็นการเพิ่มประสิทธิภาพของเครื่องกำเนิดไฟฟ้าแต่ยังมีอีก 1 รูปแบบที่ช่วยในการบำรุงรักษา คือ เทคโนโลยีการวัดและวิเคราะห์ (Diagnosis Technology)

ในงานวิจัยนี้ ผู้วิจัยจึงมีความสนใจที่จะประเมินสภาพฉนวนของเครื่องกำเนิดไฟฟ้า ด้วยวิธีการวิเคราะห์สัญญาณคิซซาร์จบางส่วน ซึ่งทางโรงไฟฟ้าพลังความร้อนร่วม บริษัท ราชบุรีเพาเวอร์ จำกัด ตั้งอยู่ที่ 245 หมู่ 6 ต.บ้านไร่ อ.ดำเนินสะดวก จ.ราชบุรี มีขนาดกำลังการผลิต 1,400 เมกะวัตต์ แบ่งออกเป็น 2 บล็อก โดยที่แต่ละบล็อก นั้นจะประกอบไปด้วย แก๊สเทอร์ไบน์ 2 ยูนิท และสตริมเทอร์ไบน์ 1 ยูนิท ได้ติดตั้งอุปกรณ์ตรวจจับสัญญาณคิซซาร์จบางส่วน ของ IRIS POWER ENGINEERING, INC. เป็นการติดตั้งด้วยวิธี คาปาซิเตอร์ คัปเปอร์ แบบ Direction 2PD / Phase เพื่อเป็นการตรวจสอบค่าความเป็นฉนวนของเครื่องกำเนิดไฟฟ้าจำนวน 6 ยูนิท โดยทำการติดตั้งที่ แก๊สเทอร์ไบน์ 4 ยูนิท และ

สตรีมเทอร์ไบน์ 2 ยูนิทในส่วนของอุปกรณ์ตรวจวัดสัญญาณดิสชาร์จบางส่วนของ IRIS POWER ENGINEERING, INC. จะประกอบด้วย 3 ส่วนหลัก คือ

1. เซนเซอร์ดิสชาร์จบางส่วน (Partial Discharge Sensor)
2. กล่องเชื่อมต่อสัญญาณ (Terminal Box)
3. เครื่องมือวัดมาตรฐาน Turbine Generator Analyzer (TGA-B)

ในส่วน of เครื่องมือวัดสัญญาณดิสชาร์จบางส่วนแบบมาตรฐาน Turbine Generator Analyzer ทางบริษัท ราชบุรีเพาเวอร์ จำกัด ไม่ได้ซื้อเครื่องมือวัดแบบมาตรฐานไว้ประจำโรงไฟฟ้า เพราะ เครื่องมือวัดดังกล่าวมีราคาแพงมาก และ การตรวจสอบพาสเซิลดิสชาร์จในแต่ละครั้งทางบริษัท ราชบุรีเพาเวอร์ จำกัด ต้องจ้างผู้เชี่ยวชาญมาดำเนินการตรวจสอบให้ซึ่งมีค่าใช้จ่ายค่อนข้างสูงเช่นกัน ผู้วิจัยจึงมีความสนใจที่จะศึกษาคุณลักษณะข้อมูลพื้นฐานของการเกิดสัญญาณดิสชาร์จบางส่วน of เครื่องกำเนิดไฟฟ้าเพื่อที่จะได้นำข้อมูลพื้นฐานดังกล่าวมาวิเคราะห์สัญญาณเบื้องต้น สำหรับงานบำรุงรักษาเชิงป้องกันและนำข้อมูลสัญญาณที่ได้จากการตรวจจับที่ออกแบบเปรียบเทียบกับข้อมูลเครื่องมือวัดมาตรฐานและในอนาคตยังสามารถลดค่าใช้จ่ายในการจ้างผู้เชี่ยวชาญมาดำเนินการตรวจสอบได้อีกด้วย

1.2 วัตถุประสงค์การวิจัย

- 1.2.1 เพื่อศึกษาการเกิดดิสชาร์จบางส่วน of เครื่องกำเนิดไฟฟ้าพิกัด 21 kV
- 1.2.2 เพื่อศึกษาเทคนิคการตรวจจับสัญญาณดิสชาร์จบางส่วน of เครื่องกำเนิดไฟฟ้า
- 1.2.3 เพื่อวิเคราะห์ข้อมูลสัญญาณการเกิดดิสชาร์จบางส่วน of เครื่องกำเนิดไฟฟ้า

1.3 สมมุติฐานของงานวิจัย (ถ้ามี)

สัญญาณดิสชาร์จบางส่วนที่เกิดขึ้นในเครื่องกำเนิดไฟฟ้า เป็นปรากฏการณ์ที่ฉนวนของขดลวดบางส่วนมีสภาพนำไฟฟ้า แต่ฉนวนโดยรวมยังสามารถทำหน้าที่ได้ตามปกติ แต่จะทำให้ฉนวนเกิดการเสื่อมสภาพเร็วกว่าที่ควร ดิสชาร์จบางส่วนที่เกิดขึ้นในเครื่องกำเนิดไฟฟ้า ไม่ใช่ปรากฏการณ์ที่จะก่อให้เกิดอันตรายอย่างเฉียบพลัน แต่เมื่อเกิดดิสชาร์จบางส่วนขึ้นแล้วจะเร่งให้ฉนวนเสื่อมสภาพเร็วขึ้น และ จะมีผลให้เกิดดิสชาร์จบางส่วนมากขึ้นเช่นกัน ถ้าไม่ได้รับการตรวจสอบหาดีสชาร์จบางส่วนในเครื่องกำเนิดไฟฟ้า และ แก้ไขในช่วงเวลาที่เหมาะสม ดีสชาร์จบางส่วนอาจกลายเป็นสาเหตุโดยตรง of การล้มเหลว (Breakdown) ของฉนวนอย่างถาวร ทั้งนี้การตรวจพบการเกิดดิสชาร์จ

บางส่วน ทำให้ทราบถึงปัญหาเพื่อนำมากำหนดแนวทางแก้ไขให้ถูกต้อง จะช่วยยืดอายุการใช้งานของเครื่องกำเนิดไฟฟ้า

1.4 ขอบเขตของการวิจัย

1.4.1 ศึกษาและรวบรวมข้อมูลการเกิดดิสราร์จบางส่วนที่เกิดขึ้นในเครื่องกำเนิดไฟฟ้า

1.4.2 ออกแบบและติดตั้งระบบตรวจจับการเกิดดิสราร์จบางส่วน ในเครื่องกำเนิดไฟฟ้าพิกัด 21 kV

1.4.3 วิเคราะห์ข้อมูลสัญญาณที่ได้จากการตรวจจับดิสราร์จบางส่วนและเปรียบเทียบกับเครื่องมือวัดมาตรฐาน Turbine Generator Analyzer (TGA-B)

1.5 ขั้นตอนการวิจัย

1.5.1 ศึกษาข้อมูลการวางแผนการบำรุงรักษาเครื่องกำเนิดไฟฟ้าของ บริษัท ราชบุรีเพาเวอร์ จำกัด

1.5.2 ศึกษาทฤษฎีและหลักการเกิดดิสราร์จบางส่วนในเครื่องกำเนิดไฟฟ้า

1.5.3 ศึกษาและรวบรวมข้อมูลการเกิดดิสราร์จบางส่วนที่เกิดขึ้นในเครื่องกำเนิดไฟฟ้า

1.5.4 ศึกษาการออกแบบและติดตั้งอุปกรณ์ตรวจวัดดิสราร์จบางส่วนในเครื่องกำเนิดไฟฟ้า พิกัด 21 kV

1.5.5 วิเคราะห์ข้อมูลสัญญาณที่ได้จากการตรวจจับดิสราร์จบางส่วนที่ออกแบบเปรียบเทียบกับเครื่องมือวัดมาตรฐาน Turbine Generator Analyzer (TGA-B)

1.6 นิยามศัพท์เฉพาะ

1.6.1 Apparent Power (MVA) ระบุขนาดพิกัดของเครื่องกำเนิดไฟฟ้า

1.6.2 Power Factor ($\cos\theta$) ระบุให้ทราบค่าความสามารถในการจ่าย-รับ Reactive power

1.6.3 Power (MW) ค่าพิกัด Real power ที่หาได้จาก Rated MVA และ P.F.

1.6.4 Terminal Voltage (V) ระบุพิกัดแรงดันขาออก ซึ่งเป็นแรงดันไฟฟ้า V_{L-L}

1.6.5 Stator Current (A) พิกัดกระแสอาร์เมเจอร์

1.6.6 Field Current (A) พิกัดกระแสในขดโรเตอร์ หรือ กระแสฟิลด์

1.6.7 Speed (rpm) ระบุความเร็วในการหมุน ซึ่งสามารถคำนวณความถี่ได้เมื่อทราบจำนวน โพล

1.6.8 Hydrogen Pressure (kg/cm^2 , psi) ระดับแรงดันไฮโดรเจนที่ต้องการ

1.6.9 Short Circuit Ratio คือ อัตราส่วนกระแสฟลักซ์ที่ใช้สร้างแรงดันพิกัดเมื่อเปิดวงจรที่สเตเตอร์ ต่อ กระแสฟลักซ์ที่สร้างกระแสพิกัดเมื่อลัดวงจรที่สเตเตอร์ ที่ความถี่พิกัด

1.6.10 Volt per Hz พิจารณาเพื่อให้เครื่องกำเนิดไฟฟ้าถูกใช้งาน โดยไม่เกินจุดอิ่มตัวของแกนเหล็ก

1.7 ประโยชน์ที่คาดว่าจะได้รับ

1.7.1 ลดต้นทุนในการซื้อเครื่องมือวัดคิซซาร์จบางส่วนแบบมาตรฐาน Turbine Generator Analyzer (TGA-B)

1.7.2 ลดค่าใช้จ่ายในการจ้างผู้เชี่ยวชาญมาดำเนินการตรวจสอบคิซซาร์จบางส่วน

1.7.3 ตรวจสอบสภาพฉนวนของเครื่องกำเนิดไฟฟ้าขณะเดินเครื่อง

1.7.4 เป็นข้อมูลการประกอบการตัดสินใจในการวางแผนบำรุงรักษา

1.7.5 ใช้ในระบบ Condition Base Maintenance (CBM) เพื่อลดระยะเวลาในการบำรุงรักษา



บทที่ 2

ทฤษฎีและงานวิจัยที่เกี่ยวข้อง

การเกิดดิสชาร์จบางส่วนในเครื่องกำเนิดไฟฟ้ามีสาเหตุมาจากความไม่สมบูรณ์ของฉนวน ความผิดพลาดในการออกแบบฉนวนหรือความไม่เหมาะสมในการจัดขดลวด การเกิดดิสชาร์จบางส่วนในเครื่องกำเนิดไฟฟ้าสามารถเกิดได้ระหว่างผิวฉนวนของ Coil แบบ Stator Core ระหว่างฉนวนกับตัวนำ ภายในเนื้อฉนวน บริเวณรอยต่อระหว่างส่วนที่มีศักย์สูงกับส่วนที่ Ground บริเวณ Jumper และ Coil End พลังงานของดิสชาร์จบางส่วนนั้นจะแปรผันตรงกับค่า Capacitance ของโพรงอากาศ ในขณะที่อากาศเกิดการแตกตัว จะแปรผันเป็นกำลังสองกับขนาดแรงดันระหว่างโพรงอากาศ นั้น ดังนั้นโพรงอากาศที่มีลักษณะกว้างและยาวจะทำให้เกิดดิสชาร์จบางส่วนที่มีพลังงานสูง และในสภาวะปกติขณะเดินเครื่องฉนวนต้องรับทั้งความเครียดทางไฟฟ้า ความเครียดเชิงกล และความเครียดทางความร้อน ทำให้ฉนวนเกิดการเสื่อมสภาพตามเวลาการใช้งาน แต่เมื่อเกิดดิสชาร์จบางส่วนขึ้นก็จะยิ่งเร่งให้ฉนวนเสื่อมสภาพมากขึ้น เมื่อฉนวนเสื่อมสภาพก็จะเกิดดิสชาร์จบางส่วนมากขึ้น ฉนวนจะยิ่งเสื่อมสภาพเร็วขึ้นไปอีก ดิสชาร์จบางส่วนจะเป็นสาเหตุหลักโดยตรงของการล้มเหลวของฉนวน ดังนั้นสิ่งสำคัญในการแก้ไข การตรวจสอบให้พบแต่เนิ่นๆ และทำการแก้ไข การตรวจสอบสามารถตรวจสอบโดยวิธีวิเคราะห์สัญญาณดิสชาร์จบางส่วนจากเครื่องกำเนิดไฟฟ้าผ่าน Coupling ซึ่งเป็นคาปาซิเตอร์และนับอัตราการเกิดสัญญาณพัลส์ของดิสชาร์จบางส่วนจากการวิเคราะห์จะสามารถติดตามสถานะการเกิดดิสชาร์จบางส่วนได้และนำผลมากำหนดแนวทางการแก้ไข และในอนาคตจะมีการติดตั้งอย่างแพร่หลายเพื่อใช้ในระบบ Condition Base Maintenance (CBM) เพื่อลดระยะเวลาในการบำรุงรักษา และช่วยประเมินอายุการทำงานของเครื่องกำเนิดไฟฟ้าด้วย

2.1 ดิสชาร์จบางส่วน (Partial Discharge) [7]

ในระบบการฉนวนไฟฟ้าแรงสูง ไม่ว่าจะเป็นสายส่งจ่าย หรืออุปกรณ์ไฟฟ้าแรงสูงก็ตาม ถ้าหากความเครียดสนามไฟฟ้าที่จุดใดเกิดมีค่าสูงกว่าค่าความเครียดสนามไฟฟ้าวิกฤติ หรือค่าความคงทนต่อแรงดันไฟฟ้า (Dielectric strength) ของฉนวนจะทำให้เกิดเบรกดาวน์โดยสมบูรณ์ หรือเบรกดาวน์เป็นเพียงบางส่วน หรือที่เรียกว่า “ดิสชาร์จบางส่วน”

ดิสชาร์จบางส่วนจะเกิดขึ้นในระบบฉนวนที่มีลักษณะสนามไฟฟ้าไม่สม่ำเสมอสูงหรือฉนวนที่มีความไม่สม่ำเสมอหรือเป็นเนื้อเดียวกันซึ่งทำให้ความเครียดสนามไฟฟ้าบางจุดในฉนวนมี

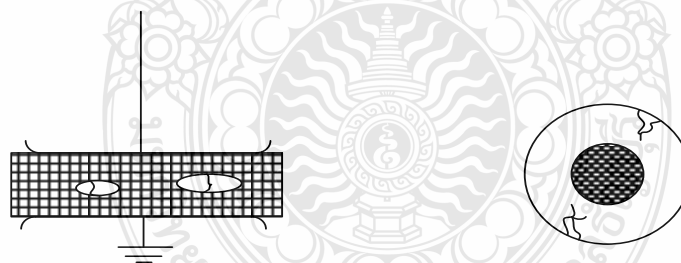
ค่าสูงกว่า ค่าความเครียดสนามไฟฟ้าวิกฤติ แต่ไม่อาจทำให้เกิดเบรกดาวน์โดยสมบูรณ์ได้ หากแต่เกิดเพียงบางส่วนเท่านั้น

พัลส์ดิสชาร์จบางส่วนแต่ละครั้งจะมีพลังงานถ่ายเทให้กับพื้นผิวนวน ในลักษณะชนกระแทก เป็นเหตุให้เกิดความร้อนเพิ่มขึ้นเฉพาะจุด เป็นผลให้เกิดปฏิกิริยาทางเคมี ทำให้ฉนวนเสียเป็นจุดๆ และเกิดผิพร่องขยายตัวมากขึ้น และอาจนำไปสู่การเกิดเบรกดาวน์อย่างสมบูรณ์ได้ ทำให้ฉนวนเสียหายอายุการใช้งานของฉนวนจะสั้นลง

ดิสชาร์จบางส่วนแบ่งออกเป็น 3 แบบคือ โคโรนาดิสชาร์จ ดิสชาร์จตามผิวและ ดิสชาร์จบางส่วนแบบภายใน แสดงในรูปที่ 2.1



ก) โคโรนาดิสชาร์จ ข) ดิสชาร์จตามผิว ค) ดิสชาร์จภายในรอยต่อ



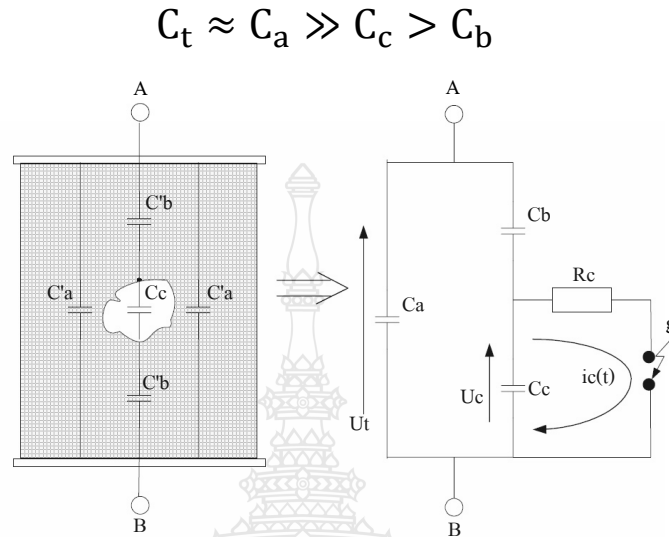
ง) ดิสชาร์จภายใน โพรงก้ำช จ) ดิสชาร์จภายในมีสิ่งแปลกปลอม

รูปที่ 2.1 รูปแบบของดิสชาร์จบางส่วน (PD) [7]

2.1.1 วงจรสมมูลการเกิดดิสชาร์จภายใน [7]

วัสดุฉนวนมีโพรงก้ำชภายในเนื้อฉนวนและฉนวนวางอยู่ระหว่างอิเล็กโทรด A-B แสดงในรูปที่ 2.2 โพรงก้ำชจะเขียนแทนด้วยความจุไฟฟ้า C_c ส่วนฉนวนที่ต่ออนุกรมกับโพรงก้ำชหรือ C_c เขียนแทนด้วยความจุไฟฟ้า C_s ส่วนที่ต่ออนุกรมกับ C_c นี้จะรวมกันได้เป็น C_0 ส่วนฉนวนที่สมบูรณ์ดี

อยู่โดยรอบของ C_c จะให้ค่าเป็น C_a และรวมกันในส่วนนี้จะได้เป็น C_a ดังรูปที่ 8 ซึ่งค่าความจุไฟฟ้าของวัสดุทดสอบ C_c จะมีค่าโดยประมาณเท่ากับ C_a ซึ่งมีค่ามากกว่า C_b มากๆ นั่นคือ ขั้วบวก



รูปที่ 2.2 วงจรสมมูลของวัสดุที่มีโพรงก๊าซและเกิดดิสชาร์จบางส่วนภายใน ขั้วบวก [7]

ถ้าแรงดันที่ป้อนทำให้แรงดันตกคร่อมโพรงก๊าซมีค่าสูงกว่าค่าแรงดันเบรกดาวนซ์ของโพรงก๊าซที่แทนด้วย C_c จะเกิดเบรกดาวนซ์ในโพรงก๊าซ ซึ่งแทนด้วยช่องว่างอากาศ (g) โดยมีความต้านทาน R_c ต่ออนุกรมอยู่เป็นตัวจำกัดกระแสดิสชาร์จ $i_c(t)$ ซึ่งมีลักษณะเป็นพัลส์กว้างเป็นนาโนวินาที และทำให้เกิดแรงดันตก δU_c ที่โพรงก๊าซเกิดการปล่อยประจุดังสมการที่ 2.1

$$\Delta q_c = \delta U_c C_c \quad (2.1)$$

กระแส $i_c(t)$ นี้ไหลอยู่ภายในซึ่งไม่สามารถวัดได้ แต่การดิสชาร์จของ C_c ทำให้เกิดการถ่ายเทประจุของ C_b และ C_a ของวงจรสมมูล เป็นผลให้เกิดแรงดันตกที่ขั้ว A-B เท่ากับ δU_t ซึ่งหาได้จากประจุใน C_c ดังสมการที่ 2.2

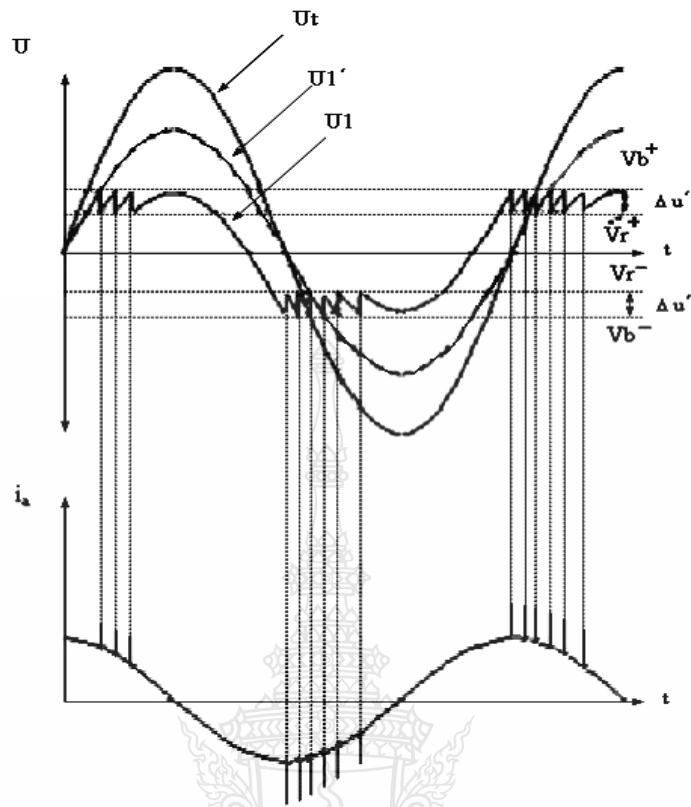
$$\delta U_t = \frac{C_b \delta U_c}{C_b + C_a} \quad (2.2)$$

2.1.2 ธรรมชาติของการเกิดการคายประจุบางส่วน

ดิสชาร์จบางส่วน คือ เบรกดาวน์ที่ไม่สมบูรณ์ที่ทำให้เกิดดิสชาร์จนั้นไม่มากพอที่จะทำให้ฉนวนเปลี่ยนสภาพไปเป็นสภาพนำไฟฟ้าได้ตลอดแนวอิเล็กโตรดจึงเรียกว่าคายประจุบางส่วนเพราะฉนวนของอิเล็กโตรดด้านหนึ่งหรือทั้งสองด้านซึ่งอาจเป็นของแข็งของเหลวหรือก๊าซยังเป็นฉนวนที่สมบูรณ์มันคงอยู่ส่วนคายประจุบางส่วนจะเกิดขึ้นในระบบฉนวนที่มีลักษณะไม่สม่ำเสมอ สูงหรือฉนวนที่มีความไม่สม่ำเสมอหรือไม่เป็นเนื้อเดียวกันหรือมีสิ่งเจือปนซึ่งทำให้ความเครียดสนามไฟฟ้าบางตำแหน่งในฉนวนมีความสูงกว่าค่าความเครียดสนามไฟฟ้าวิกฤติ แต่ไม่อาจทำให้เกิดการเบรกดาวน์ได้โดยสมบูรณ์ได้หากแต่เกิดเพียงบางส่วนเท่านั้นคายประจุบางส่วนจะเกิดขึ้นได้ทั้งในสนามไฟฟ้ากระแสสลับและสนามไฟฟ้ากระแสตรงภายใต้สนามไฟฟ้ากระแสสลับดิสชาร์จจะเกิดขึ้นซ้ำทุกไซเคิลของแรงดันโดยปกติจะเกิดขึ้นขณะแรงดันที่ป้อนเพิ่มขึ้นจากศูนย์ไปสู่ค่าการเกิด ดิสชาร์จบางส่วนอาจแบ่งออกได้เป็น 3 ชนิด คือ โครนาดิสชาร์จ ดิสชาร์จตามผิว และดิสชาร์จภายใน

ในทางปฏิบัติ คายประจุบางส่วน อาจเกิดซ้ำๆ ได้หลายครั้งในแต่ละคาบเวลา ดังรูปที่ 2.3 โดยที่ U_t คือ แรงดันตกคร่อมขั้วสายของอุปกรณ์ U_b คือแรงดันเบรกดาวน์ของโพรงก๊าซ U_r คือแรงดันหลังเบรกดาวน์ของโพรงก๊าซ U_1 คือแรงดันคร่อมโพรงก๊าซ U_1' คือแรงดันคร่อมโพรงก๊าซถ้าไม่มีการเกิดคายประจุบางส่วน และ i_a คือกระแสที่ขั้วสายของอุปกรณ์ ตามลำดับ





รูปที่ 2.3 แรงดันตกคร่อมโพรงก๊าซและกระแสที่ขั้วสายขณะเกิด คายประจุบางส่วน ขั้วบวก [7]

2.1.3 ลักษณะรูปร่างของกระแสคายประจุบางส่วน

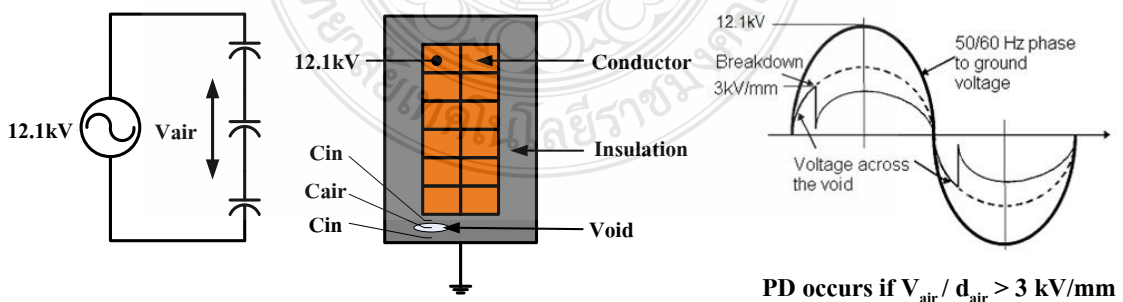
ลักษณะรูปร่างของกระแส คายประจุบางส่วน ในช่องว่างอากาศหรือโพรงก๊าซเล็กๆในทาง ทฤษฎีแสดงดังรูปที่ 2.4 ขณะเกิด คายประจุบางส่วน กระแสที่ไหลผ่านช่องว่างอากาศจะเพิ่มขึ้นอย่าง รวดเร็ว เนื่องจากการเคลื่อนที่ของอิเล็กตรอนซึ่งเคลื่อนที่ได้เร็วกว่าไอออนบวกผ่านช่องว่างอากาศสั้นๆ เมื่ออิเล็กตรอน ไหลผ่านช่องว่างอากาศหมดกระแสจะลดลงอย่างรวดเร็ว และกระแสที่ลดลงนี้จะยังคง ไหลต่อไปอีกเนื่องจากการเคลื่อนที่ของไอออนบวก แต่อย่างไรก็ตามในทางปฏิบัติ จะพบว่าความกว้าง ของกระแสพัลส์ที่เกิดจาก คายประจุบางส่วน ในฉนวนจะอยู่ในช่วงเวลา 1-5 นาโนวินาที ถึงช่วงเวลา เป็นหลัก 100 นาโนวินาที ดังนั้นกระแสพัลส์ดังกล่าวจึงมีสเปกตรัมของความถี่ที่มี แบนด์วิธกว้าง 10 เมกะเฮิร์ตซ์ ขึ้นไป และอาจมีความกว้างถึง 200 เมกะเฮิร์ตซ์ ซึ่งการเกิด คายประจุบางส่วน จาก ลักษณะการเกิด treeing ในฉนวนจะมีช่วงเวลาของกระแสพัลส์กว้างที่สุด



รูปที่ 2.4 ลักษณะกระแสการคายประจุบางส่วนทางทฤษฎีสำหรับช่องว่างอากาศ [7]

2.2 การเกิดดิสชาร์จบางส่วนในเครื่องกำเนิดไฟฟ้า [8]

โดยปกติแล้วในฉนวนของขดลวดสเตเตอร์ จะมีโพรงของอากาศปะปนอยู่ถึงแม้ว่าจะเป็นเครื่องกำเนิดไฟฟ้าเครื่องใหม่ก็ตาม ถ้าโพรงอากาศนั้นมีขนาด 1 มิลลิเมตรเมื่อแรงดันของเครื่องกำเนิดไฟฟ้าตกรวมโพรงอากาศมีค่าสูงกว่า 3 kV/mm (V_{air}/d_{air}) จะเกิดการเบรกดาวน์ขึ้นภายในโพรงอากาศ ดังรูปที่ 2.5 และในทุก 1 ไซเคิลจะเกิดการเบรกดาวน์ 2 ครั้ง เรียกปรากฏการณ์นี้ว่าการเกิดสัญญาณดิสชาร์จบางส่วน คือ การมีฉนวนบางส่วนเกิดสภาพการนำไฟฟ้าแต่ไม่ทำให้ฉนวนโดยรวมล้มเหลวในการเป็นฉนวน โดยขณะที่มีแรงดันตกรวมโพรงอากาศเรียกว่า “ภาวะการชาร์จ” และขณะที่โพรงอากาศเกิดการเบรกดาวน์ เรียกว่า “ภาวะการดิสชาร์จ” ซึ่งจะเกิดทั้งลูกคลื่นบวก และลูกคลื่นลบ ของแรงดันรูปคลื่น Sine Wave และจะเป็นเช่นนี้ไปตลอดจนกว่าจะได้รับการแก้ไข หรือนกว่าฉนวนนั้นจะเกิดการล้มเหลว



รูปที่ 2.5 วงจรสมมูลเมื่อมีโพรงอากาศในเนื้อฉนวน

2.3 สาเหตุการเกิดดิสชาร์จบางส่วน

จากสถิติความเสียหายของเครื่องกำเนิดไฟฟ้าประมาณ 40% เกิดจากปัญหาที่ฉนวนของสเตเตอร์ ซึ่งสามารถตรวจสอบได้โดยการติดตั้ง Partial Discharge Monitoring และสาเหตุหลักของการเกิดดิสชาร์จบางส่วนในเครื่องกำเนิดไฟฟ้านั้น คือ

2.3.1 การเสื่อมสภาพด้วยความร้อน ดังรูปที่ 2.6

สาเหตุการเกิด

- เกิดจากการสูญเสียคุณภาพของฉนวน เช่น การเกิด Overload การระบายความร้อนไม่ดี หรือ แรงดัน 3 เฟสไม่สมดุล

กระบวนการเกิด

- เกิดการลอกออกของฉนวน
- การสั้นสะพานของตัวนำ
- เกิดดิสชาร์จบางส่วนขึ้นในโพรงอากาศ



รูปที่ 2.6 การเสื่อมสภาพด้วยความร้อน [10]

2.3.2 การเคลือบฉนวนที่ไม่ดี ดังรูปที่ 2.7

สาเหตุการเกิด

- ความผิดพลาดในกระบวนการผลิต
- กระบวนการเกิด
- เกิดโพรงอากาศ
- เกิดคิสซาร์จบางส่วนขึ้นในเนื้อฉนวน



รูปที่ 2.7 การเคลือบฉนวนที่ไม่ดี [10]



2.3.3 การคลายตัวของขดลวด ดังรูปที่ 2.8

สาเหตุการเกิด

- ขดลวดเกิดการคลายตัว
- เกิดแรงแม่เหล็กระหว่างบาร์ และ โรเตอร์ กับขดลวดสเตเตอร์

กระบวนการเกิด

- สารกึ่งตัวนำที่เคลือบเกิดการลอกออก
- เกิดโอโซน และ กรดไนตริก



รูปที่ 2.8 การคลายตัวของขดลวด [10]

2.3.4 ช่องว่างระหว่างเฟสไม่เพียงพอ ดังรูปที่ 2.9

สาเหตุการเกิด

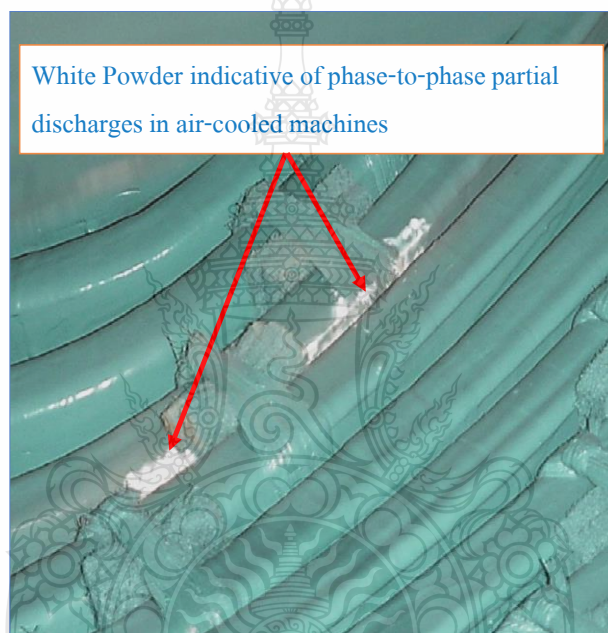
- การออกแบบที่ไม่ดี

กระบวนการเกิด

- เกิดคิสซาร์จบางส่วนแบบ Phase - phase

- เกิด โอ โชน

- เกิดการกั๊กกร่อน และ เกิดรูขึ้นในฉนวน

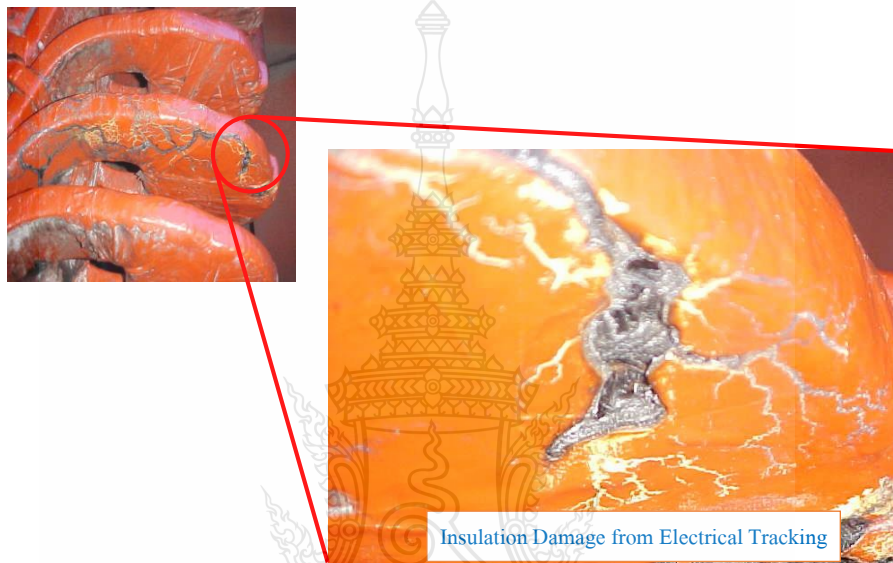


รูปที่ 2.9 ช่องว่างระหว่างเฟสไม่เพียงพอ [10]

2.3.5 ความสกปรกในปลายขดลวด (End Winding) ดังรูปที่ 2.10

สาเหตุการเกิด

- ความต้านทานที่ผิวลดลง
- เกิด Electrical tracking
- ฉนวนถูกกัดกร่อน



รูปที่ 2.10 ความสกปรกในปลายขดลวด (End Winding) [10]

2.4 การตรวจสอบการเกิดดิสชาร์จบางส่วนภายในเครื่องกำเนิดไฟฟ้า

การตรวจสอบการเกิดดิสชาร์จบางส่วนภายในเครื่องกำเนิดไฟฟ้านั้น ทำได้หลายวิธีดังนี้

2.4.1 Visual Inspection PD ที่เกิดขึ้นนั้นจะทำให้เกิดผงฝุ่นสีขาว เทา แดง น้ำตาล หรือ ดำ ติดอยู่บริเวณนั้นแต่คราบผงฝุ่นจากการตรวจสภาพแต่ละครั้งควรวิเคราะห์ให้เห็นชัดว่าเป็นผงฝุ่นที่เกิดจากสัญญาณดิสชาร์จบางส่วนหรือเกิดจากการขัดสีของฉนวนเนื่องจากการสั่นในขณะเดินเครื่อง นอกจากนี้ถ้าฉนวนเป็นสารอินทรีย์ก็อาจมีร่องรอยการไหม้เกรียมขึ้นได้

2.4.2 Electrical Test ซึ่งสามารถจะทำได้ในขณะที่เครื่องกำเนิดไฟฟ้ากำลังเดินเครื่อง (On-line Test) และขณะเครื่องกำเนิดไฟฟ้าหยุดเครื่อง (Off-line Test)

ข้อดีของการทดสอบในขณะที่เครื่องกำเนิดไฟฟ้ากำลังเดินเครื่อง

- สามารถวัดสัญญาณดิสชาร์จบางส่วนที่เกิดขึ้นจริงในขณะที่ใช้งาน

- เป็นการวัดในขณะที่เครื่องกำเนิดไฟฟ้ารับความเครียดครบถ้วนทั้งทางด้านความเครียดทางไฟฟ้า ความเครียดทางกล และ ความเครียดทางความร้อน ในขณะที่การทดสอบ ในขณะที่หยุดเดินเครื่องจะรับเพียงความเครียดทางไฟฟ้าเท่านั้น
- การทดสอบไม่จำเป็นต้องใช้แหล่งจ่ายแรงดันขนาดใหญ่ เพราะ Generated Voltage จะทำหน้าที่เป็นแหล่งจ่ายแรงดันโดยตรง
- การทดสอบสามารถกระทำได้ตลอดเวลาที่ต้องการ โดยไม่ต้องหยุดเครื่อง ทำให้ Availability ของเครื่องสูงขึ้น และยังสามารถทราบถึงสภาพของฉนวนได้ตลอดเวลาโดยไม่ต้องหยุดเครื่อง

2.5 การติดตั้งอุปกรณ์ตรวจจับสัญญาณดิสชาร์จบางส่วน

อุปกรณ์ตรวจจับสัญญาณดิสชาร์จบางส่วน ประกอบด้วย 3 ส่วนหลักๆ ดังนี้

2.5.1 PD Sensor หรือ Coupling Capacitor

ทำหน้าที่ตรวจจับสัญญาณดิสชาร์จบางส่วนที่เกิดขึ้น และส่งต่อไปยังกล่องเชื่อมต่อสัญญาณ ตลอดเวลาที่เครื่องกำเนิดไฟฟ้าเดินเครื่องอยู่ เมื่อต้องการวัดสัญญาณดิสชาร์จบางส่วนนำเครื่อง Partial Discharge Analyzer มาต่อที่กล่องเชื่อมต่อสัญญาณก็จะสามารถวัดได้ทันที หรือจะต่อเครื่องวัดแบบ On-Line ตลอดเวลาก็ได้ คุณสมบัติของ PD Sensor จะต้องเป็นชนิด PD Free กล่าวคือตัว Sensor จะต้องไม่มีสัญญาณดิสชาร์จบางส่วนเกิดขึ้น และมีค่า Capacitance 80 pF เป็น High Pass Filter (HPF) ความถี่ในด้านของสัญญาณดิสชาร์จบางส่วนจะสามารถผ่านได้ดี โดยทั่วไปที่ใช้ยูนิต 2 แบบด้วยกัน คือ

1) Cable Capacitor

จะต้องเป็น HV Cable ที่สามารถทนแรงดันของเครื่องกำเนิดไฟฟ้าได้ และผ่านการทดสอบ Dielectric Strength สัญญาณดิสชาร์จบางส่วนและ Capacitance ตามมาตรฐานกำหนด ในอดีตที่ผ่านมาโรงไฟฟ้าเก่าของ การไฟฟ้าฝ่ายผลิตแห่งประเทศไทย ไม่มีการตรวจวัดสัญญาณดิสชาร์จบางส่วนมาก่อน ต่อมาได้มีการติดตั้ง PD Sensor ในโรงไฟฟ้าเก่าของ การไฟฟ้าฝ่ายผลิตแห่งประเทศไทย โดย ฝ่ายบำรุงรักษาไฟฟ้า เมื่อประมาณปี 2533 โดยที่เริ่มที่โรงไฟฟ้าพลังน้ำเขื่อนสิริกิติ์เป็นที่แรก โดยใช้ HV Cable ทำเป็น Coupling Capacitor จากต่างประเทศ ต่อมาในระยะหลังโรงไฟฟ้าที่สร้างใหม่ หรือโรงไฟฟ้าที่ทำ Renovation จะระบุใน Spec. ให้ติดตั้ง PD Sensor ด้วย และในระยะหลังนี้ได้มีการพัฒนามาใช้ PD Sensor ชนิด EMC (Epoxy Mica Capacitor) แทน ซึ่ง HV Cable นั้นเมื่อใช้

ไปสักระยะอาจเกิดการเสื่อมสภาพได้ และอาจส่งผลทำให้เกิดความผิดพลาดในการวัดสัญญาณ
ดิสชาร์จบางส่วนได้ ดังรูปที่ 2.11



รูปที่ 2.11 Cable Capacitor ทำด้วย HV Cable [10]

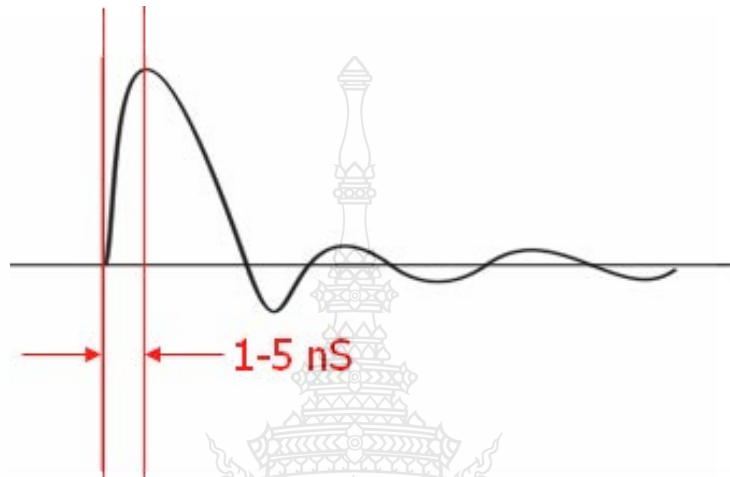
2) Epoxy-Mica Capacitor (EMC) [8]

EMC Capacitor ผลิตขึ้นเพื่อใช้สำหรับวัดสัญญาณดิสชาร์จบางส่วนโดยเฉพาะ มีหลาย
ขนาดขึ้นอยู่กับระดับแรงดันที่ใช้งาน แต่จะมีค่าตัวเก็บประจุเท่ากันคือ 80 pF EMC ทำจากวัสดุ Epoxy
Mica ทนแรงดันสูงได้ดีและตัว EMC ต้องไม่เกิดสัญญาณดิสชาร์จบางส่วนใช้งานได้ทนทาน และ
จะต้องผ่านการทดสอบ Dielectric Strength สัญญาณดิสชาร์จบางส่วนและ Capacitance ตามมาตรฐาน
กำหนดก่อนนำไปใช้งาน จากข้อมูลการติดตั้งใช้งานทั่วโลกยังไม่พบ EMC Failure ในขณะ
เดินเครื่อง ดังรูปที่ 2.12



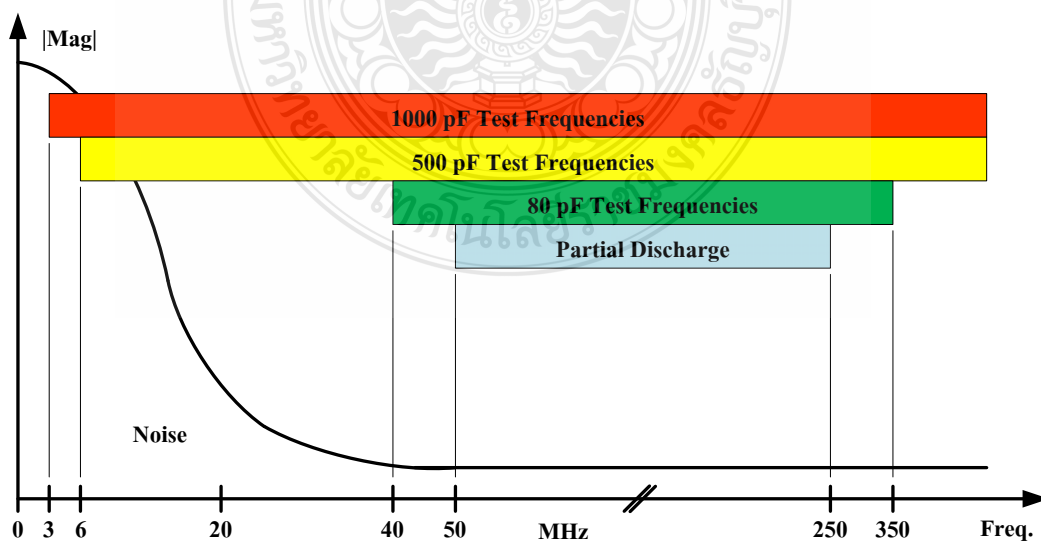
รูปที่ 2.12 PD Sensor ชนิด EMC ขนาด 80 pF [10]

ทำไมถึงต้องเป็นตัวเก็บประจุขนาด 80 pF เพราะว่า สัญญาณดิสชาร์จบางส่วนเป็นสัญญาณที่มี Pulse Width แคบ และมี Rise Time น้อยประมาณ 1-5 nS ความถี่ของสัญญาณดิสชาร์จบางส่วนจะอยู่ในช่วง $1/(4 \times \text{Rise Time})$ ประมาณ 50 - 250 MHz และค่า Positive PD และ Negative PD นั้นจะเป็นตัวแปรสำคัญในการวิเคราะห์ดิสชาร์จบางส่วน ดังรูปที่ 2.13

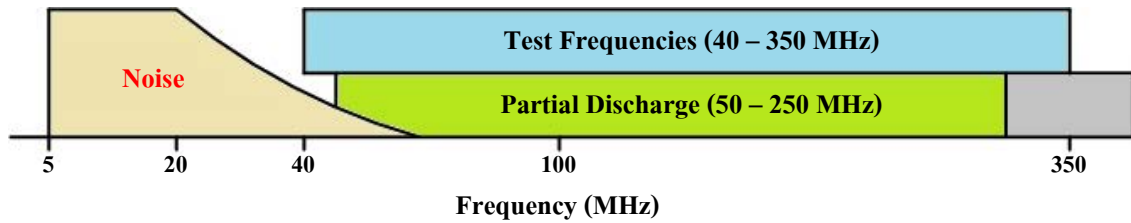


รูปที่ 2.13 Pulse Width และ Rise Time ของสัญญาณดิสชาร์จบางส่วน

และจากเหตุผลนี้ทาง Iris จึงได้ทำการออกแบบตัวเก็บประจุ ให้ทำการจับสัญญาณในช่วง 40 - 350 MHz เพื่อให้ครอบคลุมและใกล้เคียงสัญญาณดิสชาร์จบางส่วนให้มากที่สุดดังแสดงในรูปที่ 2.14 และ 2.15



รูปที่ 2.14 การออกแบบและเลือกใช้ตัวเก็บประจุขนาด 80 pF [8]



รูปที่ 2.15 ย่านความถี่ที่ใช้ในการตรวจจับสัญญาณคิซาร์จบางส่วน [10]

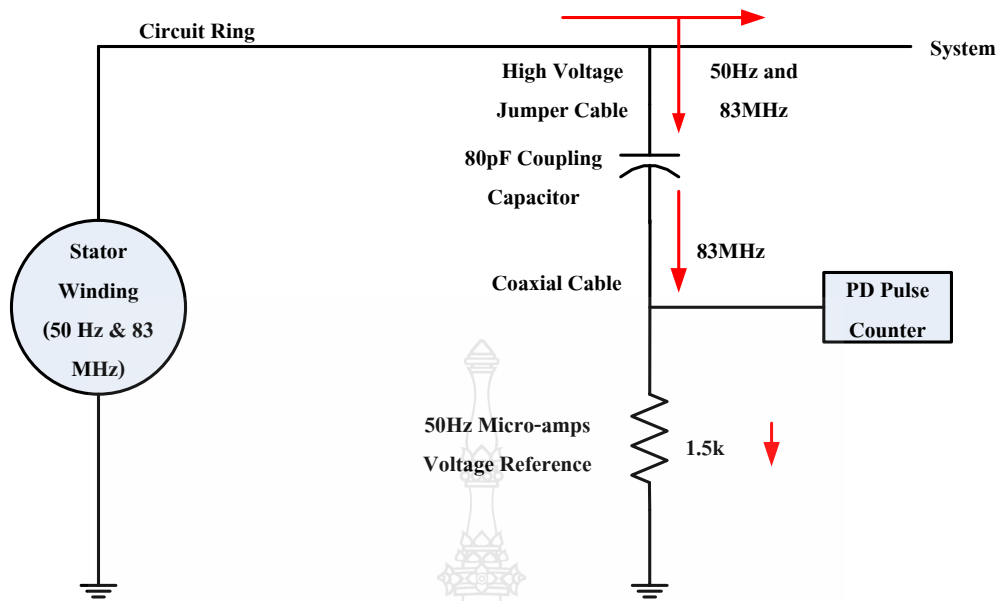
นอกจากการติดตั้งตัวเก็บประจุขนาด 80 pF จะทำการต่อเข้ากับบัสบาร์ทางด้านแรงสูงแล้วยังทำหน้าที่เป็นตัวกรองสัญญาณให้ความถี่สูงตั้งแต่ 40 MHz ผ่านเท่านั้น

จากสูตร
$$X_C = \frac{1}{2\pi fc}$$

ที่ความถี่ 50 Hz
$$X_C = \frac{1}{2\pi(50\text{Hz})(80\text{pF})} = 40\text{M}\Omega$$

ที่ความถี่ 40 MHz
$$X_C = \frac{1}{2\pi(40\text{MHz})(80\text{pF})} = 50\Omega$$

เนื่องจากการคำนวณค่า Capacitive Reactance ในช่วงความถี่สูงค่าความต้านทานของตัว Capacitance จะมีค่าต่ำและค่า Capacitive Reactance ในช่วงความถี่ต่ำค่าความต้านทานของตัว Capacitance จะมีค่าสูงหรือเรียกอีกอย่างหนึ่งว่า High pass filter ดังแสดงในรูปที่ 2.16



รูปที่ 2.16 การกรองสัญญาณความถี่ของตัวเก็บประจุขนาด 80 pF [10]

2.5.2 กล่องเชื่อมต่อสัญญาณ (Terminal Box)

เป็นจุดที่นำเครื่องมือวัดไปต่อเพื่อวัดสัญญาณ ภายในกล่องเชื่อมต่อสัญญาณจะมีแผงวงจรอิเล็กทรอนิกส์ ประกอบด้วย แผงวงจสำหรับติดตั้งตัวต้านทานขนาด 1,500 โอห์ม ขนาด 0.5 W ขึ้นไปจำนวน 6 Ea และ Varistor ขนาด 90 V จำนวน 6 Ea และ BNC Jack จำนวน 6 Ea ดังรูปที่ 2.17 (ก)(ข)



(ก)



(ข)

รูปที่ 2.17 (ก)(ข) กล่องเชื่อมต่อสัญญาณภายนอกและภายใน [10]

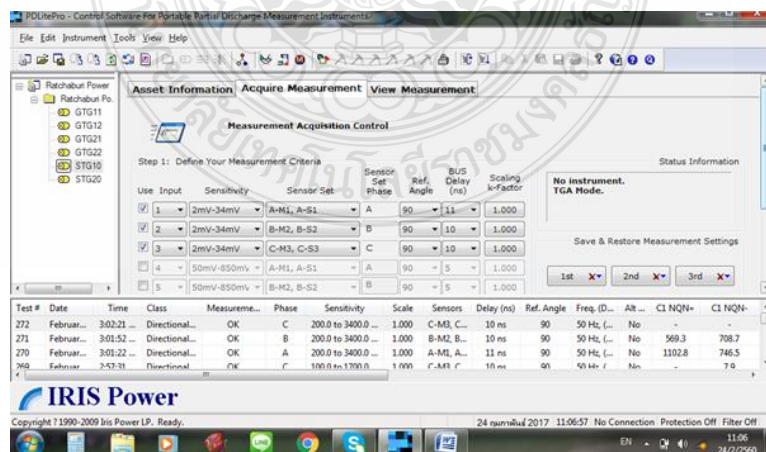
2.5.3 เครื่องวิเคราะห์สัญญาณดิสชาร์จบางส่วน (Partial Discharge Analyzer)

Partial Discharge Analyzer (PDA) คืออุปกรณ์วิเคราะห์สัญญาณดิสชาร์จบางส่วนซึ่งสามารถวัดการเกิดสัญญาณดิสชาร์จบางส่วนในขณะที่เครื่องกำเนิดไฟฟ้าเดินเครื่องได้ เครื่อง PDA จะรับสัญญาณดิสชาร์จบางส่วนจาก เครื่องกำเนิดไฟฟ้าโดยผ่าน Coupling ซึ่งเป็นตัวเก็บประจุจากนั้นจึงนับอัตราการเกิดของ PD Pulse แต่ละขนาดแสดงผลออกมาให้เราทราบ โดยมี Software สำหรับวิเคราะห์สัญญาณดิสชาร์จบางส่วนสำหรับ Partial Discharge Analyzer จะประกอบด้วย 2 ส่วนดังนี้

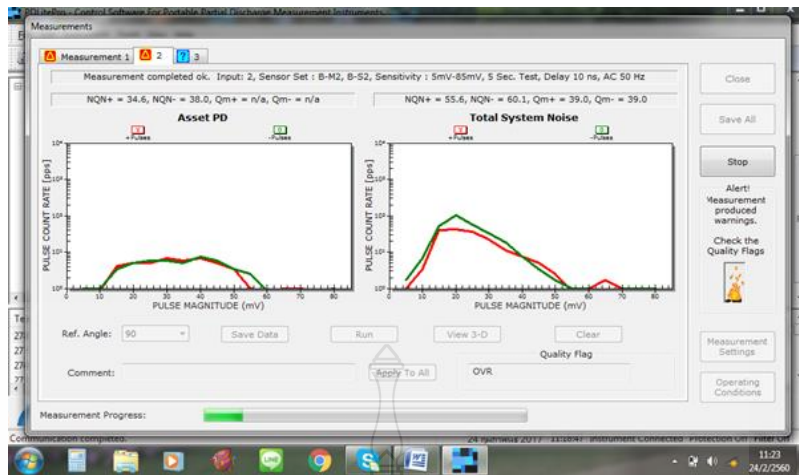
1) เครื่องมือวัดมาตรฐาน TGA-B (Turbine Generator Analyzer – Bus Coupler)



รูปที่ 2.18 การตรวจวัดสัญญาณด้วยเครื่องมือวัดมาตรฐาน (TGA-B) [10]



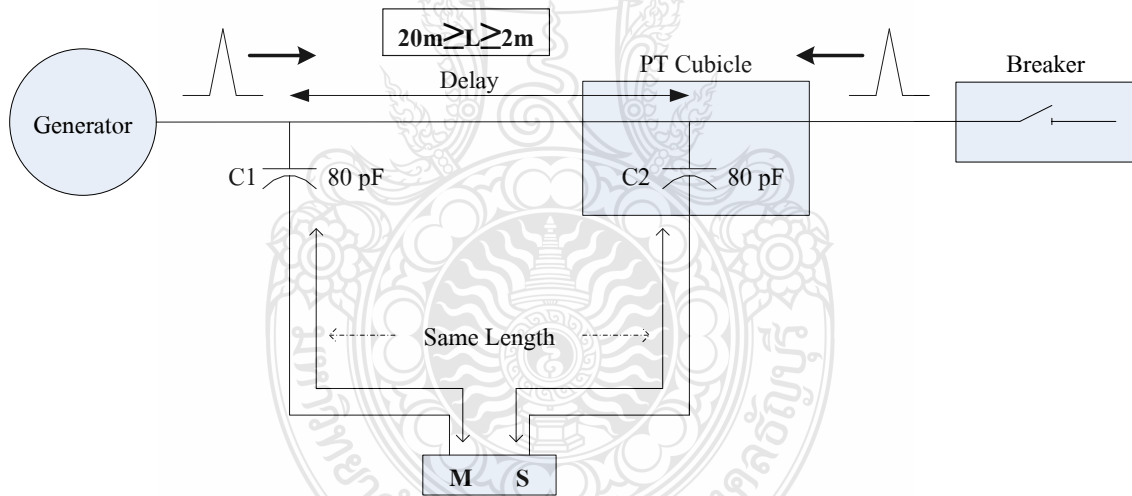
(ก)



(ข)

รูปที่ 2.19 (ก)(ข) การตรวจวัดสัญญาณด้วยเครื่องมือวัดมาตรฐาน (TGA-B) เพื่อนำไปวิเคราะห์ [10]

2) เทคนิคการติดตั้งคาปาซิเตอร์ คัปเปอ์แบบ Directional 2 PD Sensor/Phase



รูปที่ 2.20 Double – End Installation (2 PD Sensor / Phase) [10]

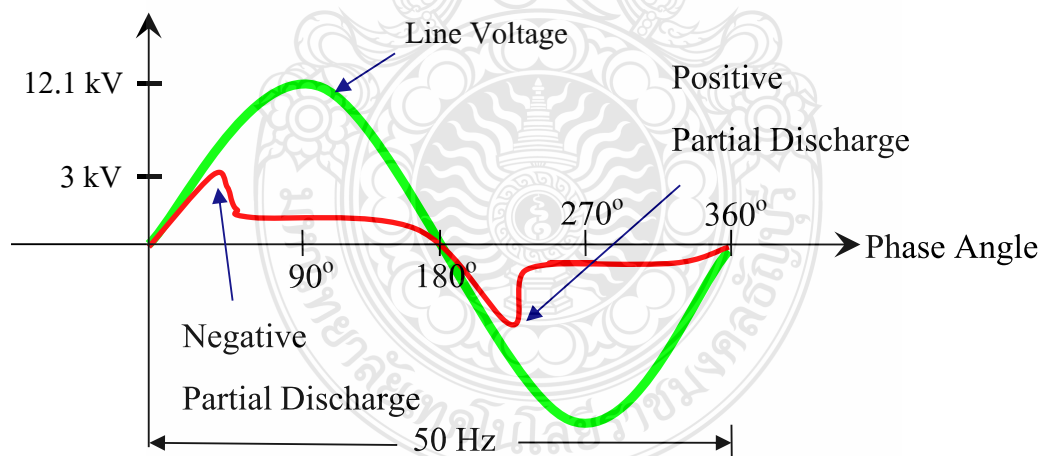
จากรูปที่ 2.20 การติดตั้งแบบ 2 PD Sensor/Phase สำหรับเครื่องกำเนิดไฟฟ้าที่มี Lead เป็น Isolated Phase Bus หรือ Neutral Phase Bus การติดตั้งระยะห่างระหว่าง PD Sensor จะต้องห่างกันไม่น้อยกว่า 2 เมตร โดย PD Sensor C1 ด้าน Machine (M) ควรติดตั้งใกล้เครื่องกำเนิดไฟฟ้าให้มากที่สุด และ PD Sensor C2 ด้าน System (S) ติดตั้งห่างจาก C1 ออกไปอีกไม่น้อยกว่า 2 เมตรแต่ไม่ควรเกิน 20 เมตรเพราะจะทำให้สายนำสัญญาณ Coaxial Cable มีความยาวมากเกินไปทำให้มีผลลดทอนสัญญาณ

ที่วัดได้ ซึ่งเป็นวิธีการกำจัดสัญญาณรบกวนโดยให้มี Delay Time ระหว่าง PD Sensor C1 และ C2 ไม่น้อยกว่า 5 ns โดยจัดให้สายนำสัญญาณ Coaxial Cable C1 และ C2 มีความยาวเท่ากัน เมื่อมีสัญญาณดิสชาร์จบางส่วนเกิดขึ้นมาจากเครื่องกำเนิดไฟฟ้าสัญญาณดิสชาร์จบางส่วนจะมาถึง PD Sensor C1 ก่อนแล้วจึงมาถึง C2 ที่หลังโดยห่างกันไม่น้อยกว่า 5 ns เครื่องมือวัดมาตรฐาน (TGA-B) สามารถรับรู้ว่าสัญญาณที่ได้รับนั้นมาจากด้านเครื่องกำเนิดไฟฟ้า คือ สัญญาณดิสชาร์จบางส่วนที่เกิดขึ้นมาจากภายในเครื่องกำเนิดไฟฟ้าโดยจะต้องนำมาวิเคราะห์เปรียบเทียบกับ Voltage Reference ในช่วงของมุมเฟสที่วัดได้

2.6 การวิเคราะห์สัญญาณดิสชาร์จบางส่วน [8][9][10]

คุณลักษณะของสัญญาณดิสชาร์จบางส่วน

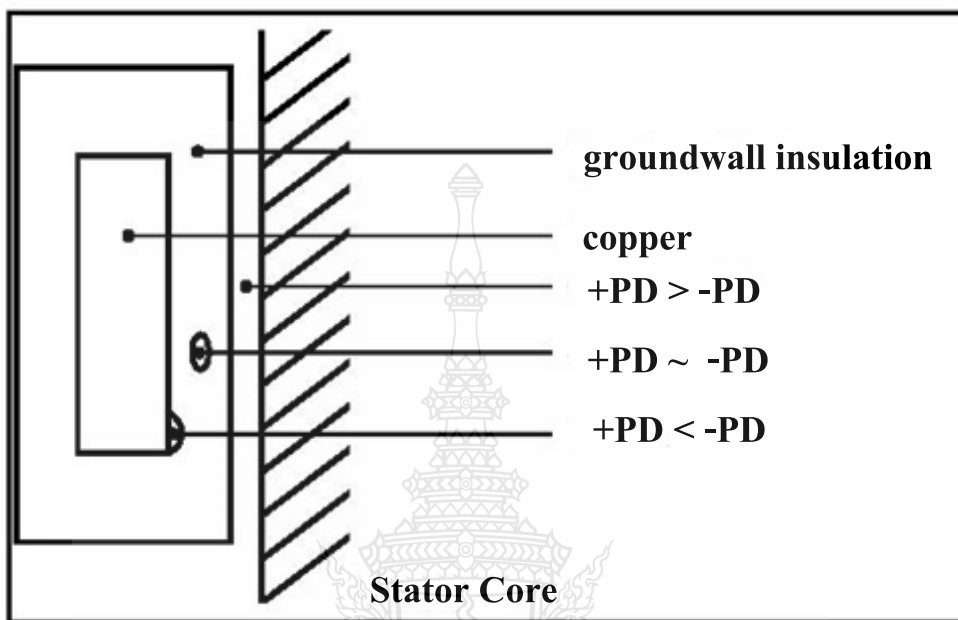
สัญญาณดิสชาร์จบางส่วนเป็นสัญญาณที่มี Pulse Width แคบ และมี Rise Time น้อยประมาณ 1-5 ns ความถี่ของสัญญาณดิสชาร์จบางส่วนจะอยู่ในช่วง $1/(4 \times \text{Rise Time})$ ประมาณ 50 - 250 MHz และค่า Positive PD และ Negative PD นั้นจะเป็นตัวแปรสำคัญในการวิเคราะห์สัญญาณดิสชาร์จบางส่วนดังรูปที่ 2.21



รูปที่ 2.21 คุณลักษณะของสัญญาณดิสชาร์จบางส่วน [10]

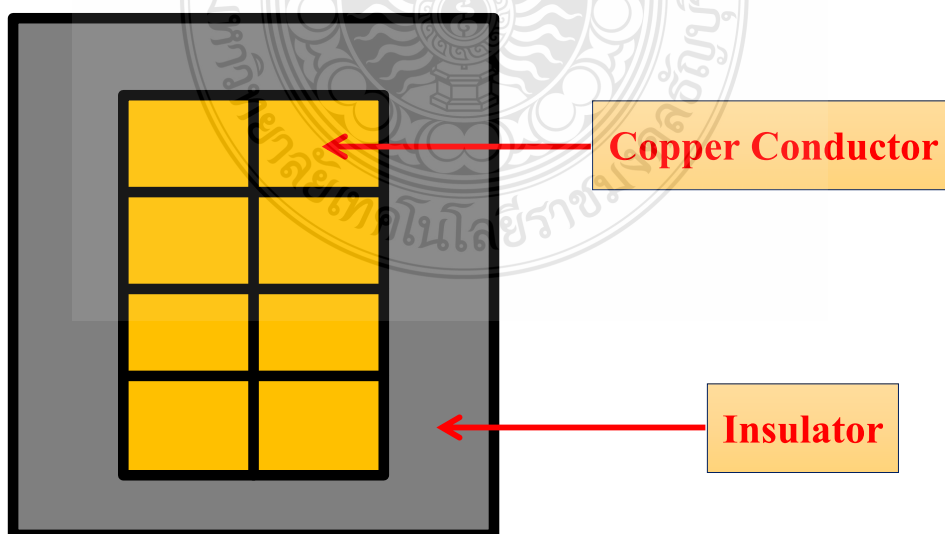
เครื่องกำเนิดไฟฟ้านั้นเกิดขึ้นหลายจุดภายในเครื่องกำเนิดไฟฟ้าโดยเฉพาะภายใน Slot Portion นั้นจะเกิดได้ง่าย การแก้ไขทำได้ยาก ปัญหาการเกิด Breakdown ของฉนวนจะเกิดใน Slot Portion เป็นส่วนใหญ่ เราจึงให้ความสำคัญกับสัญญาณดิสชาร์จบางส่วนที่ตำแหน่งนี้มากที่สุด

สัญญาณดิสชาร์จบางส่วนที่เกิดขึ้นมีทั้ง +PD และ -PD ปริมาณของสัญญาณดิสชาร์จบางส่วนใน Slot Portion สามารถจำแนกได้ 3 ตำแหน่งดังรูปที่ 2.22



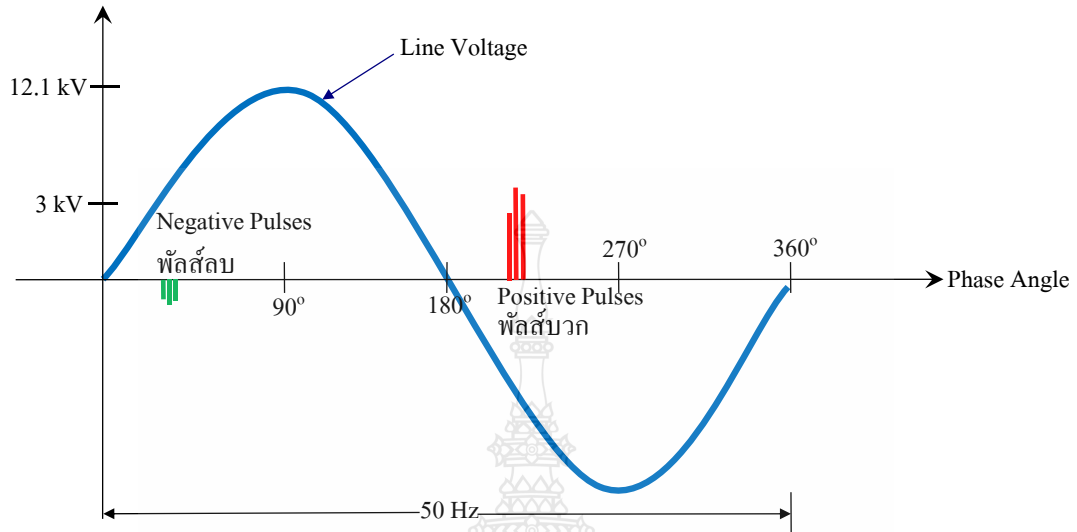
รูปที่ 2.22 ตำแหน่งของสัญญาณดิสชาร์จบางส่วนที่เกิด และ ปริมาณ +PD และ -PD [10]

เพื่อความเข้าใจในการอธิบายข้อของสัญญาณดิสชาร์จบางส่วนว่าสามารถบอกตำแหน่งว่าเกิดขึ้นที่ใด



รูปที่ 2.23 ตำแหน่งของ PD ว่าเกิดขึ้นที่บริเวณใด [10]

2.6.1 สัญญาณ -PD < +PD



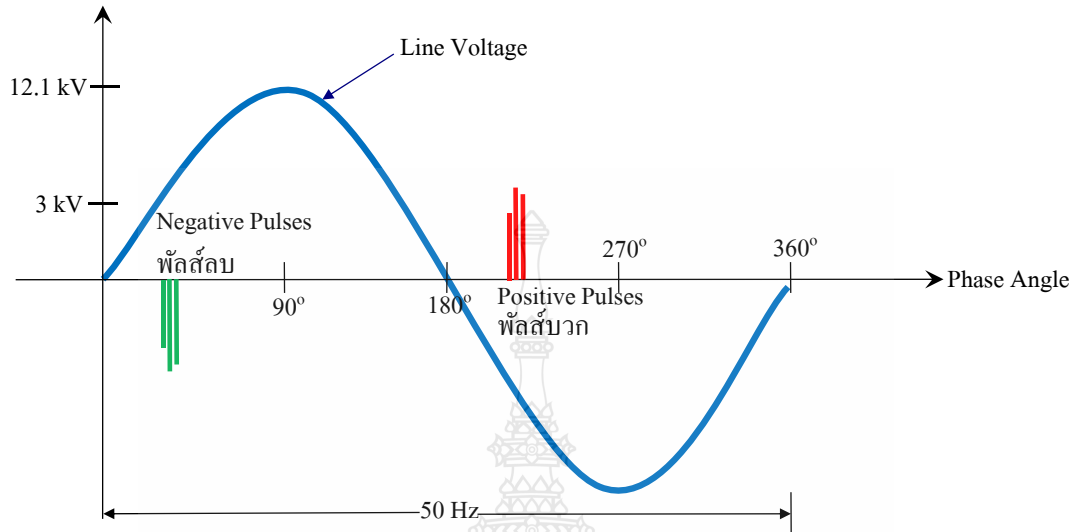
รูปที่ 2.24 สัญญาณ -PD < +PD [10]



รูปที่ 2.25 ตำแหน่งการเกิดสัญญาณ -PD < +PD [10]

จากรูปที่ 2.24 , 2.25 สัญญาณดิสชาร์จบางส่วนที่วัดได้พบว่า +PD เด่นชัดกว่าหรือมากกว่า -PD สัญญาณดิสชาร์จบางส่วนที่เกิดขึ้นอยู่ที่ตำแหน่งบนผิวของขดลวด สาเหตุเกิดจากการคลายตัวของขดลวด หรือ การเสื่อมของสารเคลือบผิว

2.6.2 สัญญาณ +PD \approx -PD



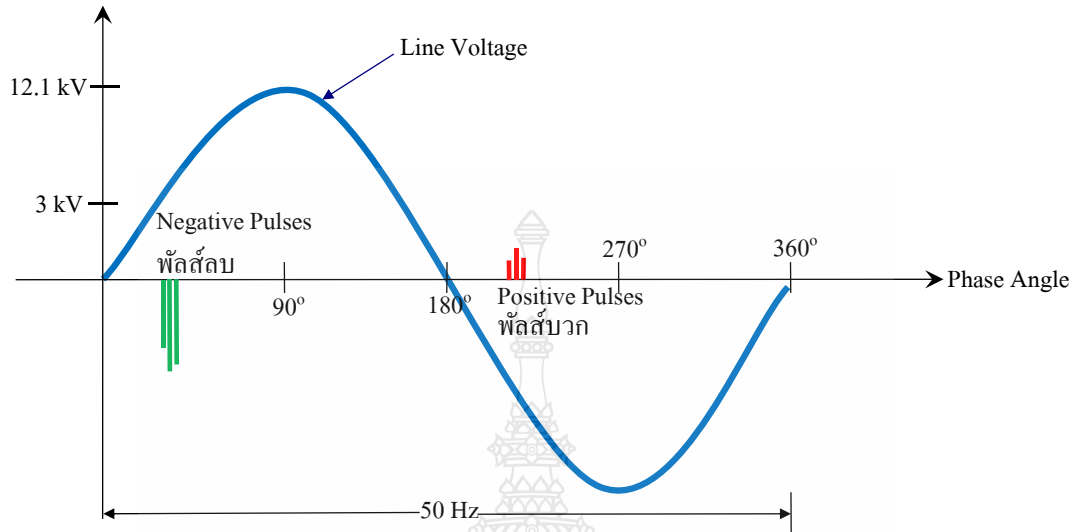
รูปที่ 2.26 สัญญาณ +PD \approx -PD [10]



รูปที่ 2.27 ตำแหน่งการเกิดสัญญาณ +PD \approx -PD [10]

จากรูปที่ 2.26 , 2.27 สัญญาณดิสชาร์จบางส่วนที่วัดได้พบว่า +PD มีปริมาณใกล้เคียงกับ -PD สัญญาณดิสชาร์จบางส่วนที่เกิดขึ้นอยู่ที่ตำแหน่ง ภายในเนื้อฉนวน เรียกว่า Internal Discharge สาเหตุเกิดจากการเสื่อมสภาพด้วยความร้อน หรือ การเคลื่อนฉนวนไม่ดี

2.6.3 สัญญาณ -PD > +PD

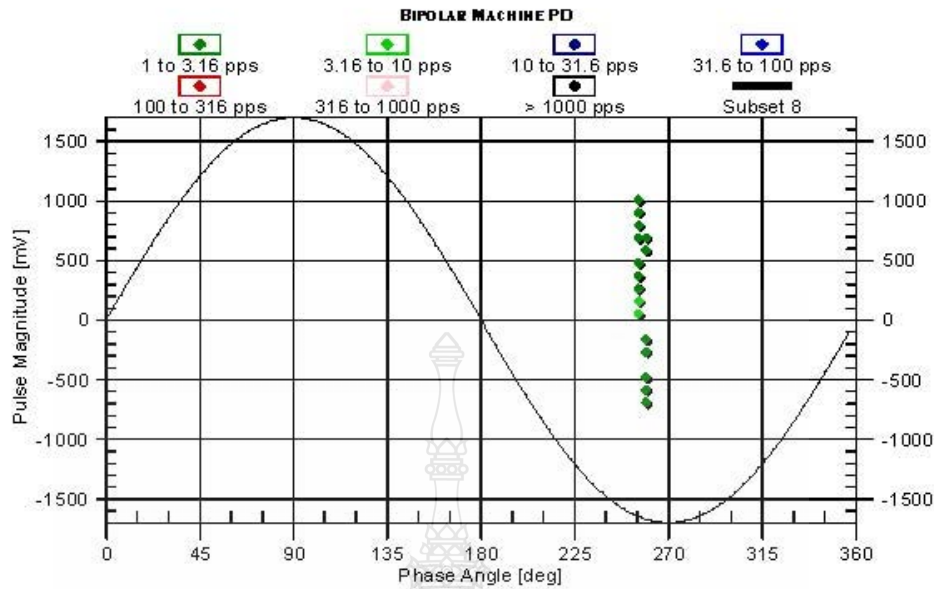


รูปที่ 2.28 สัญญาณ -PD > +PD [10]



รูปที่ 2.29 ตำแหน่งการเกิดสัญญาณ -PD > +PD [10]

จากรูปที่ 2.28 , 2.29 สัญญาณดิสชาร์จบางส่วนที่วัดได้พบว่า -PD เด่นชัดกว่าหรือมากกว่า +PD สัญญาณดิสชาร์จบางส่วนที่เกิดขึ้นอยู่ที่ตำแหน่งใกล้กับลวดทองแดงตัวนำ สาเหตุเกิดจากการปรับเปลี่ยนโหลด (Load Cycling) หรือ เกิดความร้อนสูงทำให้เกิดฟองอากาศใกล้ขดลวดทองแดง



รูปที่ 2.30 ตัวอย่างการเกิดสัญญาณผิดปกติขึ้นที่มุม 270° [10]

2.7 ลักษณะเฉพาะของรูปแบบการเกิดดิซาร์จบางส่วน [10]

ปัญหาที่เกิดขึ้นในหลายสาเหตุนั้นจะมีรูปแบบของดิซาร์จบางส่วนที่เป็นลักษณะเฉพาะ ดังนั้น การตรวจสอบลักษณะของดิซาร์จบางส่วนที่วัดได้ จะช่วยในการระบุสาเหตุของการเกิดปัญหาในระบบได้

2.7.1 ปัญหาจากการขึ้นตอนการผลิตที่ไม่เหมาะสม (Inadequate Bonding)

ในระหว่างกระบวนการผลิตขดลวดนั้น เมื่อมีการใช้ส่วนประกอบจำพวกเรซิน หรือ เทปต่าง ๆ รวมถึงกระบวนการ VPI และปัจจัยอื่น อาจส่งผลให้เกิดโพรงของอากาศขึ้นภายในขดลวดได้ ตัวอย่างเช่น การเชื่อมของฉนวนอันเนื่องมาจากความร้อนนั้น จะทำให้เกิดโพรงของอากาศกระจายไปทั่วฉนวน โดยไม่กระจุกตัวอยู่ทางด้านใดด้านหนึ่ง (ไม่ว่าจะเป็นด้านทองแดง หรือด้านของ Core) ทำให้ไม่สามารถระบุชี้ของสัญญาณดิซาร์จบางส่วนซึ่งจะเกิดขึ้นที่มุม 45° และมุม 225° ได้ นอกจากนี้ การเชื่อมของฉนวนอันเนื่องมาจากความร้อนนี้ จะส่งผลให้สัญญาณดิซาร์จบางส่วนที่เกิดขึ้น มีค่าลดลงเมื่ออุณหภูมิเพิ่มสูงขึ้น นั่นคือ จะแปรผกผันกับอุณหภูมิ อย่างไรก็ตาม สัญญาณดิซาร์จบางส่วนที่เกิดขึ้นนี้ จะไม่มีการเปลี่ยนแปลงเมื่อมีการเปลี่ยนแปลงโหลด

ตารางที่ 2.1 ปัญหาจากการขึ้นตอนการผลิตที่ไม่เหมาะสม (Inadequate Bonding)

สาเหตุ	Polarity	ผลจากโหนด	ผลจากอุณหภูมิ	มุมที่เกิด PD
การผลิตที่ไม่เหมาะสม	ค่าทางด้านบวกจะใกล้เคียงกับค่าทางด้านลบ	ไม่มี	แปรผกผันกับอุณหภูมิ	45° และ 225°

2.7.2 ปัญหาจากการเกิด Slot Discharge

Slot Discharge คือ ดิสชาร์จที่เกิดขึ้นระหว่างผิวของขดลวด กับแกนเหล็กสเตเตอร์ ทั้งนี้ อาจกล่าวได้ว่า สัญญาณดิสชาร์จบางส่วนที่เกิดจากการคลายตัวของขดลวด (Loose Windings) สามารถก่อให้เกิด Slot Discharge ได้ แต่การเกิด Slot Discharge ไม่จำเป็นต้องมีสาเหตุมาจากการคลายตัวของขดลวดเท่านั้น บางครั้งยังมีสาเหตุจากปัญหาอื่น เช่น สารเคลือบที่เป็นแบบกึ่งตัวนำ (Semi-Conductive Coating) เป็นต้น โดยรูปแบบของสัญญาณดิสชาร์จที่เกิดจาก Slot Discharge นี้ จะมีลักษณะใกล้เคียงกับสัญญาณดิสชาร์จบางส่วนที่เกิดจากการคลายตัวของขดลวด นั่นคือ จะเป็นสัญญาณดิสชาร์จบางส่วนทางด้านขั้วบวก เกิดขึ้นที่มุม 225° และแปรผกผันกับการเปลี่ยนแปลงของอุณหภูมิ แต่เนื่องจาก Slot Discharge สามารถเกิดขึ้นได้ก่อนที่จะเกิดการคลายตัวของขดลวด ดังนั้นมันจึงไม่มีผลกระทบใด ๆ จากการเปลี่ยนแปลงของโหนด อนึ่ง การเกิด Slot Discharge นี้ ยังเป็นสาเหตุให้เกิดความเสียหายที่รุนแรงเพิ่มขึ้นได้เช่นกัน

ตารางที่ 2.2 ปัญหาจากการเกิด Slot Discharge

สาเหตุ	Polarity	ผลจากโหนด	ผลจากอุณหภูมิ	มุมที่เกิด PD
Slot Discharge	ค่าทางด้านบวกจะมากกว่าค่าทางด้านลบ (≈ 1.5 เท่า)	ไม่มี	แปรผกผันกับอุณหภูมิ	225°

2.7.3 ปัญหาจากความเครียดในสารเคลือบผิวต่าง ๆ (Stress Coating Interface)

สัญญาณดิสชาร์จบางส่วนที่เกิดขึ้นบริเวณสารเคลือบผิวต่าง ๆ จะเป็นแบบ Surface-Type นั่นคือ จะขึ้นอยู่กับค่าแรงดัน Phase-to-Ground Voltage โดยจะเป็นสัญญาณดิสชาร์จบางส่วนทางด้านขั้วบวก และเกิดขึ้นที่มุม 225° อย่างไรก็ตาม สัญญาณดิสชาร์จบางส่วนประเภทนี้จะแตกต่างกัน

จากสัญญาณดิสชาร์จบางส่วนที่เกิดขึ้นจากการคลายตัวของขดลวด กล่าวคือ จะไม่มีผลกระทบจากการเปลี่ยนแปลงของโหลด และเนื่องจากวัสดุที่ใช้ในสารเคลือบผิวเหล่านี้ได้ถูกออกแบบมาให้มีลักษณะเป็นสื่อไฟฟ้า (ความนำไฟฟ้าจะแปรผันตามอุณหภูมิ) ดังนั้น เมื่ออุณหภูมิเพิ่มขึ้น สัญญาณดิสชาร์จบางส่วนจะมีค่าเพิ่มสูงขึ้นด้วยเช่นกัน นั่นคือ อาจกล่าวได้ว่า ในกรณีที่รูปแบบของสัญญาณดิสชาร์จบางส่วนที่พบนั้น อยู่ทางด้านขั้วบวก เกิดขึ้นที่มุม 225° และมีค่าแปรผันตามอุณหภูมิแล้ว จะมีความเป็นไปได้สูงมากที่จะเกิดจากความเสื่อมสภาพของสารเคลือบผิวต่าง ๆ และในกรณีที่เกิดความเสียหายอย่างรุนแรงนั้น อาจเกิดพัลส์ขึ้นที่มุม 0° และมุม 180° ซึ่งเป็นค่าทั่วไปของการเกิดอาร์ค

ตารางที่ 2.3 ปัญหาจากความเครียดในสารเคลือบผิวต่าง ๆ (Stress Coating Interface)

สาเหตุ	Polarity	ผลจากโหลด	ผลจากอุณหภูมิ	มุมที่เกิด PD
สารเคลือบผิวต่าง ๆ	ค่าทางด้านบวกจะมากกว่าค่าทางด้านลบ (≈ 1.5 เท่า)	ไม่มี	แปร ผกผัน กับ อุณหภูมิ	225°

2.7.4 ปัญหาจากการคลายตัวของขดลวด (Loose Windings)

เมื่อเกิดการคลายตัวของขดลวดขึ้นใน Slot ปัญหาที่จะเกิดขึ้นทันที (ในกรณีที่ไม่ได้รับการแก้ไข) ก็คือ การคลายตัวนี้จะทำให้ชั้นผิวของแกนสเตเตอร์ไปทำลายสารเคลือบผิวของขดลวดอย่างรวดเร็ว และทำให้เกิดความไม่ต่อเนื่องขึ้น ซึ่งจะทำให้เกิดแรงดันตกคร่อมบริเวณนี้ หรือระหว่างบริเวณนี้กับแกนของสเตเตอร์โดยในกรณีที่แรงดันตกคร่อมนี้มีค่าสูงกว่าค่าแรงดัน Breakdown ของ Gas จะทำให้เกิดดิสชาร์จขึ้น นั่นคือ พัลส์ที่เกิดขึ้นจากการคลายตัวของขดลวด จะมีลักษณะเป็นแบบ Surface-Type ในบริเวณ Slot โดยจะเป็นสัญญาณทางด้านขั้วบวก และเกิดขึ้นที่มุม 225° ทั้งนี้ ข้อสังเกตที่เด่นชัดสำหรับกรณีการคลายตัวของขดลวดนี้จะได้แก่การเพิ่มขึ้นของสัญญาณดิสชาร์จบางส่วนอย่างรวดเร็ว (โดยเฉพาะสัญญาณทางด้านขั้วบวก) เมื่อโหลดมีการเพิ่มขึ้น ซึ่งสามารถอธิบายได้ดังนี้ คือ เมื่อกระแสโหลด มีค่าเพิ่มขึ้น ขดลวดจะมีการสั่นสะเทือนเพิ่มมากขึ้น การสั่นสะเทือนนี้จะทำให้โพรงของอากาศระหว่างบริเวณด้านข้างของขดลวดกับ Ground Core เพิ่มมากขึ้น และ โพรงของอากาศที่เพิ่มขึ้นเหล่านี้จะส่งผลให้สัญญาณดิสชาร์จบางส่วนทางด้านขั้วบวกมีค่าเพิ่มสูงขึ้นเช่นกัน

อย่างไรก็ตาม การที่กระแสไหลคมีค่าเพิ่มสูงขึ้นนี้ จะส่งผลให้อุณหภูมิเพิ่มสูงขึ้นด้วยเช่นกัน และจะส่งผลให้สัญญาณดิสซาร์จบางส่วน (ซึ่งแปรผกผันกับอุณหภูมิ) มีค่าลดลง ดังนั้น เมื่อต้องการตรวจสอบกรณี การคลายตัวของขดลวดนี้ ให้ทำการทดสอบด้วยการเดินเครื่องที่โหลดต่าง ๆ กัน แต่ควบคุมให้ค่าแรงดันไฟฟ้า อุณหภูมิ และค่าความดันของไฮโดรเจนมีค่าใกล้เคียงกัน อนึ่ง สำหรับขดลวดที่มีเฉพาะปัญหาจากการคลายตัวนั้น จะมีเฉพาะสัญญาณดิสซาร์จบางส่วนทางด้านขั้วบวกที่จะเปลี่ยนแปลงตามโหลด ในขณะที่สัญญาณดิสซาร์จบางส่วนทางด้านขั้วลบจะมีการเปลี่ยนแปลงน้อยมาก สำหรับกรณีที่สัญญาณดิสซาร์จบางส่วนทางด้านขั้วลบมีการเปลี่ยนแปลงตามโหลดนั้น อาจเป็นการแสดงถึงการสั้นสะพานของตัวนำ เนื่องจากผลของโพรงของอากาศที่เกิดขึ้นในบริเวณใกล้ กับตัวนำ

ตารางที่ 2.4 ปัญหาจากการคลายตัวของขดลวด (Loose Windings)

สาเหตุ	Polarity	ผลจากโหลด	ผลจากอุณหภูมิ	มุมที่เกิด PD
การคลายตัวของขดลวด	ค่าทางด้านบวกจะมากกว่าค่าทางด้านลบ (≈ 1.5 เท่า)	สัญญาณทางด้านบวกแปรผันตามโหลด	แปร ผกผัน กับ อุณหภูมิ	225°

2.7.5 ปัญหาจากช่องว่างระหว่างเฟสที่ไม่เพียงพอ (Inadequate Spacing)

สาเหตุของการเกิดสัญญาณดิสซาร์จบางส่วนประเภทนี้ (ซึ่งจะมีลักษณะใกล้เคียงกับกรณีการเกิดสัญญาณดิสซาร์จบางส่วนจากความสกปรก) จะมีขึ้นอยู่กับค่าแรงดัน Phase-to-Phase Voltage นั่นคือ ค่าของมุมจะเปลี่ยนไป 30° จากสัญญาณปกติ และเนื่องจากการเกิดสัญญาณดิสซาร์จบางส่วนจากสาเหตุนี้มักจะแตกต่างจากกรณีอื่น รูปแบบของสัญญาณดิสซาร์จบางส่วนที่เกิดขึ้นในบางครั้ง จะสามารถระบุเฟสที่เกี่ยวข้องได้ ซึ่งในกรณีนี้จะเกิดขึ้นเมื่อเฟสที่เกี่ยวข้องทั้งสองเฟสนั้น มีความสามารถในการตรวจสอบปัญหาจากช่วงปลายของขดลวด และลักษณะของการเกิด 30° Phase Shift นั้น จะเป็นไปตามลักษณะของ Rotation ของเครื่องจักรนั้น ๆ นอกจากนี้ เนื่องจากสัญญาณดิสซาร์จบางส่วนประเภทนี้ สามารถเกิดขึ้นได้ระหว่างขดลวดบนสุด กับ ขดลวดล่างสุดใน Slot ดังนั้น การตรวจสอบด้วยสายตาอาจทำได้ค่อนข้างลำบาก

ตารางที่ 2.5 ปัญหาจากช่องว่างระหว่างเฟสที่ไม่เพียงพอ (Inadequate Spacing)

สาเหตุ	Polarity	ผลจากโพลด	ผลจากอุณหภูมิ	มุมที่เกิด PD
ช่องว่างที่ไม่เพียงพอ	ค่าทางด้านบวกจะใกล้เคียงกับค่าทางด้านลบ	ไม่มี	ไม่แน่นอน	45° , 75° , 195° และ 225°

2.7.6 ปัญหาจากการเชื่อมต่อทางไฟฟ้า (Electrical Connections)

สัญญาณดิสชาร์จบางส่วนจากบริเวณจุดเชื่อมต่อต่าง ๆ จะปรากฏอยู่ในรูปของสัญญาณดิสชาร์จบางส่วนที่ขึ้นอยู่กับระบบทางกล โดยจะเกิดขึ้นที่มุม 0° และมุม 180° และเนื่องจากการเชื่อมต่อที่ไม่ดีนี้อาจถูกผลกระทบได้จากการเปลี่ยนแปลงของโพลด และการเปลี่ยนแปลงของอุณหภูมิ จึงไม่สามารถคาดคะเนแนวทางการเปลี่ยนแปลงของสัญญาณดิสชาร์จบางส่วนได้

ตารางที่ 2.6 ปัญหาจากการเชื่อมต่อทางไฟฟ้า (Electrical Connections)

สาเหตุ	Polarity	ผลจากโพลด	ผลจากอุณหภูมิ	มุมที่เกิด PD
การเชื่อมต่อที่ไม่ดี	ค่าทางด้านบวกจะใกล้เคียงกับค่าทางด้านลบ	ไม่แน่นอน	ไม่แน่นอน	0° และ 180°

2.7.7 ปัญหาจาก Surges

ความเครียดจาก Surge ที่เกิดขึ้นซ้ำ ๆ กันบนจุดเชื่อมต่อทางกลระหว่าง Groundwall กับ Strand หรือกับฉนวนของ Turn จะส่งผลให้จุดเชื่อมต่อที่เสื่อมสภาพลง และเสียหายได้ และจะก่อให้เกิดโพรงของอากาศขึ้นในฉนวนทางด้านของแกนทองแดง สัญญาณดิสชาร์จบางส่วนที่เกิดขึ้นจากสาเหตุนี้ จะเกิดขึ้นทางด้านขั้วลบ เกิดขึ้นที่มุม 45° และมีลักษณะเช่นเดียวกับกรณีการเกิดโพรงของอากาศขึ้นภายในฉนวนทั่วไป กล่าวคือ จะมีลักษณะของการแปรผกผันกับอุณหภูมิ ทั้งนี้ ในกรณีที่โพรงของอากาศนั้นมีขนาดใหญ่มาก จะมีความเป็นไปได้ว่าสัญญาณดิสชาร์จบางส่วนทางด้านขั้วลบจะมีการเพิ่มขึ้นตามโพลดเนื่องจากผลของการสั่นสะเทือนของตัวนำที่เพิ่มมากขึ้นตามแรงทางกลที่เพิ่มสูงขึ้น และในกรณีของเครื่องจักรแบบ Multi-Turn Coil เช่น มอเตอร์นั้น จะมีลักษณะใกล้เคียงกับการเกิดปัญหาจาก Turn-to-Turn Fail

ตารางที่ 2.7 ปัญหาจาก Surges

สาเหตุ	Polarity	ผลจากโพลด	ผลจากอุณหภูมิ	มุมที่เกิด PD
Surge	ค่าทางด้านลบจะมากกว่าค่าทางด้านบวก (≈ 1.5 เท่า)	ค่อนข้างน้อย	แปรผกผันกับอุณหภูมิ	45°

2.7.8 ปัญหาจากการเสื่อมสภาพด้วยความร้อน (Thermal Deterioration)

การเสื่อมสภาพด้วยความร้อนจะเป็นผลมาจากการเดินเครื่องที่ค่าสูงสุดติดต่อกันเป็นเวลานาน หรือจากการเดินเครื่องที่ค่าสูงกว่าค่าพิกัด (แม้จะเป็นเวลาสั้น ๆ ก็ตาม) ซึ่งจะส่งผลเช่นเดียวกับระบบฉนวนทั่วไป กล่าวคือ ความเสียหายที่เกิดขึ้นนี้จะสะสมมากขึ้นจนไม่สามารถทำให้กลับสู่สภาพเดิมได้ และส่งผลให้ความสามารถในการจับตัวของเรซิน(หรือ Epoxy หรือ Polyester) ลดลง

การสูญเสียความสามารถในการจับตัวกันนี้ จะทำให้เกิดโพรงของอากาศขึ้นในชั้นของเทป ซึ่งเป็นส่วนประกอบของฉนวนโพรงของอากาศเหล่านี้จะกระจายอยู่ทั่วฉนวน และอาจเกิดการดิสชาร์จขึ้นแบบไม่มีทิศทาง ซึ่งผลของมันจะทำให้โพรงของอากาศเหล่านี้ไม่แสดงขั้วของสัญญาณดิสชาร์จบางส่วนตามที่ควรจะเป็น และยังส่งผลให้เกิดสัญญาณดิสชาร์จบางส่วนขึ้นที่มุม 45° และมุม 225° นั่นคือ การเกิดดิสชาร์จทางขั้วบวกและขั้วลบเท่า ๆ กัน (ไม่ว่ามากหรือน้อย) ที่ค่ามุมปกติ จะเป็นการแสดงถึงการเกิด Thermal Deterioration หรือเป็นการแสดงอายุของฉนวนนั่นเอง

เนื่องจากผลของการขยายตัวด้วยความร้อน ทำให้โพรงของอากาศที่เกิดขึ้นใน Slot จะมีขนาดลดลงเมื่ออุณหภูมิสูงขึ้น นั่นคือ จะมีการแปรผกผันกับอุณหภูมิ กรณีนี้จะเกิดขึ้นเนื่องจากผลของความสัมพันธ์ระหว่างขนาดของโพรงของอากาศกับค่าแรงดัน Breakdown (โพรงของอากาศขนาดเล็กจะสามารถเกิดการ Spark ได้ที่แรงดันค่าต่ำ) ปริมาณการเปลี่ยนแปลงของสัญญาณดิสชาร์จบางส่วนต่ออุณหภูมินี้ จะขึ้นอยู่กับความสามารถในการลดขนาดของโพรงของอากาศนั้น สำหรับกรณีที่มีการเปลี่ยนแปลงของโพลดนั้น สัญญาณดิสชาร์จบางส่วนจะมีการเปลี่ยนแปลงน้อยมาก

ตารางที่ 2.8 ปัญหาจากการเสื่อมสภาพด้วยความร้อน (Thermal Deterioration)

สาเหตุ	Polarity	ผลจากโหลด	ผลจากอุณหภูมิ	มุมที่เกิด PD
การเสื่อมสภาพ จากความร้อน	ค่าทางด้านบวก จะใกล้เคียงกับค่า ทางด้านลบ	ค่อนข้างน้อย	แปร ผกผัน กับ อุณหภูมิ	45° และ 225°

2.7.9 ปัญหาจากการปรับเปลี่ยน โหลด (Load Cycling)

การปรับเปลี่ยน โหลด (Load Cycling) จะเป็นรูปแบบเฉพาะของ Thermal Deterioration ซึ่งแสดงถึงความเสื่อมสภาพที่เกิดขึ้นจากการจับตัวกันระหว่างฉนวนของ Ground wall กับฉนวนของ Turn (ในระบบ Multi-Turn Coil) หรือระหว่างฉนวนของ Groundwall กับฉนวนของ Strand (ในระบบ Roebel Bars) โดยความเครียดจากการเปลี่ยนแปลงของโหลดอย่างรวดเร็ว ซึ่งเกิดขึ้นซ้ำกัน จะส่งผลให้จุดเชื่อมต่อระหว่าง Groundwall กับ Strand หรือกับฉนวนของ Turn เสื่อมสภาพลง และเสียหายได้ ได้ และจะก่อให้เกิดโพรงของอากาศขึ้นในฉนวนทางด้านของแกนทองแดง สัญญาณดิสชาร์จบางส่วนที่เกิดขึ้นจากสาเหตุนี้ จะเกิดขึ้นทางด้านขั้วลบ เกิดขึ้นที่มุม 45° และมีลักษณะเช่นเดียวกับกรณีการเกิด Thermal Deterioration กล่าวคือ จะมีลักษณะของการแปรผกผันกับอุณหภูมิ ทั้งนี้ ในกรณีที่โพรงของอากาศนั้นมีขนาดใหญ่มาก จะมีความเป็นไปได้ว่าสัญญาณดิสชาร์จบางส่วนทางด้านขั้วลบจะมีการเพิ่มขึ้นตามโหลด เนื่องจากผลของการสันสะท้อนของตัวนำที่เพิ่มมากขึ้นตามแรงทางกลที่เพิ่มสูงขึ้น

ตารางที่ 2.9 ปัญหาจากการปรับเปลี่ยน โหลด (Load Cycling)

สาเหตุ	Polarity	ผลจากโหลด	ผลจากอุณหภูมิ	มุมที่เกิด PD
การปรับเปลี่ยน Load	ค่าทางด้านลบจะ มากกว่า ค่า ทางด้านบวก (≈ 1.5 เท่า)	ค่อนข้างน้อย	แปร ผกผัน กับ อุณหภูมิ	45°

2.7.10 ปัญหาจากความสกปรก (Contamination)

เนื่องจากบริเวณช่วงปลายของขดลวดจะถูกออกแบบให้แยกห่างออกจาก Ground Planes ดังนั้น สัญญาณดิสชาร์จบางส่วนที่เกิดขึ้นเนื่องจากความสกปรกในช่วงปลายของขดลวดนี้ จะ

ขึ้นอยู่กับค่าแรงดัน Phase-to-Phase Voltage โดยค่าของมุ่มจะเปลี่ยนไป 30° จากสัญญาณปกติ (ที่ 45° และ 225°) ซึ่งทิศทางของมุ่มที่เปลี่ยนไปนี้จะขึ้นอยู่กับตำแหน่งที่เกิดความสกปรก และค่าแรงดันของขดลวดนั้น ๆ ซึ่งไม่สามารถระบุได้อย่างแน่นอน การตรวจสอบหรือการกำหนดตำแหน่งอาจทำได้ลำบากเนื่องจากระยะการมองเห็นที่ค่อนข้างจำกัด และถึงแม้ว่าสัญญาณดิซซาร์จบางส่วนที่เกิดขึ้นจะมีผลกระทบจากการเปลี่ยนแปลงของอุณหภูมิ หรือจากการเปลี่ยนแปลงของโหลด แต่ก็ไม่สามารถคาดคะเนผลที่จะเกิดขึ้นได้อย่างแน่นอนเช่นกัน อย่างไรก็ตาม สภาพแวดล้อม เช่น ความชื้น อาจมีผลกระทบค่อนข้างมาก โดยเฉพาะอย่างยิ่งในกรณีที่มีความสกปรกเหล่านั้นจะมีความสามารถในการนำไฟฟ้าได้เมื่อมีความชื้นเกิดขึ้น

ตารางที่ 2.10 ปัญหาจากความสกปรก (Contamination)

สาเหตุ	Polarity	ผลจากโหลด	ผลจากอุณหภูมิ	มุ่มที่เกิด PD
ความสกปรก	ค่าทางด้านบวก จะใกล้เคียงกับค่า ทางด้านลบ	ไม่มี	ไม่แน่นอน	15° , 75° , 195° และ 225°

2.7.11 ปัญหาจากการสั่นสะเทือนบริเวณช่วงปลายของขดลวด (Endwinding Vibration)

สัญญาณดิซซาร์จบางส่วนจะไม่ใช่อากาที่เกิดขึ้นจากการสั่นสะเทือนบริเวณช่วงปลายของขดลวด (Endwinding Vibration) อย่างไรก็ตาม ผลอย่างหนึ่งที่เกิดจากการสั่นสะเทือนบริเวณนี้ ก็คือการเกิดรอยร้าวในฉนวน (ขนาดหลายเซนติเมตร) จากด้านปลายของ Slot ซึ่งมีความเป็นไปได้ว่า รอยร้าวเหล่านี้จะถูกพัฒนาไปถึงขั้นที่สามารถตรวจสอบสัญญาณดิซซาร์จบางส่วนได้ (จัดเป็นผลข้างเคียงจากการสั่นสะเทือนบริเวณช่วงปลายของขดลวด)

2.8 ฐานข้อมูลของผลการวัดสัญญาณดิซซาร์จบางส่วนของเครื่องกำเนิดไฟฟ้า 2015 [11]

ทางบริษัท IRIS ได้ทำการเก็บข้อมูล Data base ของผลการวัดดิซซาร์จบางส่วนจากเครื่องกำเนิดไฟฟ้าข้อมูลล่าสุดของปี 2015 อยู่ที่ 550,000 ข้อมูลซึ่งผู้ใช้งานสามารถใช้ข้อมูลนี้มาเปรียบเทียบได้ว่าเครื่องกำเนิดไฟฟ้านั้นมีระดับความรุนแรงของดิซซาร์จบางส่วนสูงหรือต่ำเพียงใด ซึ่งเครื่องกำเนิดไฟฟ้ามีพิกัด 21kV และใช้ไฮโดรเจนในการระบายความร้อนที่ 3bar.g เมื่อนำมาแปลงเป็น Psig จะมีค่าอยู่ที่ 43.51 Psig จึงเลือกใช้ค่าของตาราง H₂ อยู่ที่ 31 – 50 Psig

ตารางที่ 2.11 ฐานข้อมูลความรุนแรงของการเกิด PD พิกัด 21 kV

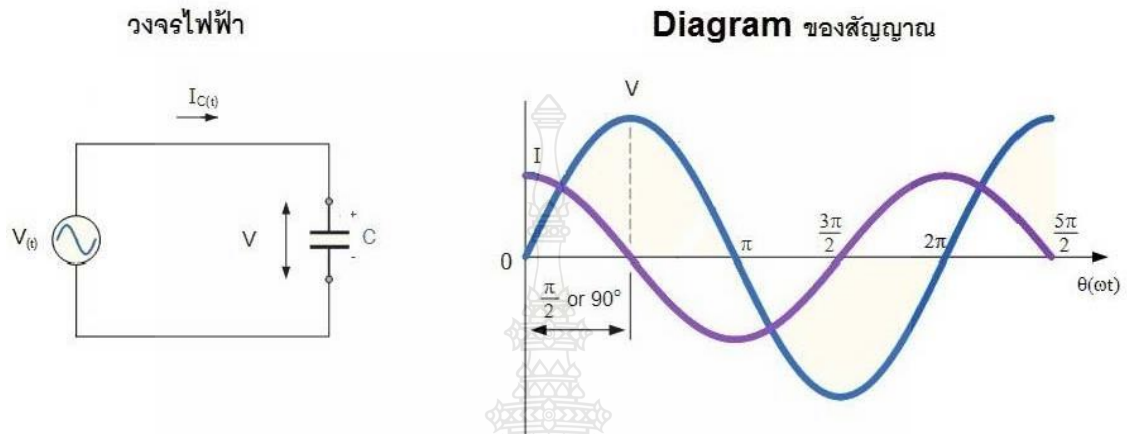
Rated (V)	>19 kV		
H ₂ (Psig)	21 - 30	31 - 50	≥51
Negilible (ต่ำมาก)	43	22	10
Low (ต่ำ)	94	49	27
Typical (ปกติ)	172	90	60
Moderate (สูงปานกลาง)	217	154	398
High (สูงเกินมาตรฐาน)	246	224	987

จากตารางถ้าค่าพาเซี่ยลดิสชาร์จที่วัดได้มีค่า

- 1) ค่าดิสชาร์จบางส่วนที่วัดต่ำกว่า 22 mV แสดงว่ามีค่าดิสชาร์จบางส่วนต่ำมาก (Negligible) หรือ Stator Insulation อยู่ในสภาพดีเลิศ
- 2) ค่าดิสชาร์จบางส่วนที่วัดมีค่าอยู่ในช่วง 23-49 mV แสดงว่ามีค่าดิสชาร์จบางส่วนต่ำ (Low) หรือ Stator Insulation อยู่ในสภาพดีมาก
- 3) ค่าดิสชาร์จบางส่วนที่วัดมีค่าอยู่ในช่วง 50-90 mV แสดงว่ามีค่าดิสชาร์จบางส่วนปกติ (Typical) หรือ Stator Insulation อยู่ในสภาพดี
- 4) ค่าดิสชาร์จบางส่วนที่วัดมีค่าอยู่ในช่วง 91-154 mV แสดงว่ามีค่าดิสชาร์จบางส่วนสูงปานกลาง (Moderate) หรือ Stator Insulation อยู่ในสภาพปกติ
- 5) ค่าดิสชาร์จบางส่วนที่วัดมีค่าอยู่ในช่วง 155-224 mV แสดงว่ามีค่าดิสชาร์จบางส่วนสูง (High) หรือ สูงเกินมาตรฐานที่ควรจะเป็น

2.9 EMC Reference [12]

จาก EMC Reference IRIS แนะนำให้ทำการ Shift มุมบวกเพิ่ม 90° เนื่องจากคุณสมบัติของ Capacitor Load กระแสไฟฟ้า i_c จะนำหน้าความต่างศักย์ v_c เป็นมุม 90° ดังรูปที่ 2.31



รูปที่ 2.31 คุณสมบัติของ Capacitor Load

2.10 งานวิจัยที่เกี่ยวข้อง

ปัจจุบันเทคโนโลยีในการตรวจวัดดิสชาร์จบางส่วนแบบทันทีที่มีหลายวิธีด้วยกัน เช่น การตรวจวัดด้วย Capacitor Couplers การตรวจวัดด้วยวิธี Radio Frequency Current Transformer (RFCT) [1] ผลการตรวจวัดในเบื้องต้นด้วยวิธีการทั้ง 2 นั้นพบว่าสามารถตรวจพบการเกิดดิสชาร์จบางส่วนที่ฉนวนของขดลวดสเตเตอร์ของเครื่องกำเนิดได้ดังผลการตรวจวัดที่แสดงบนรูปคลื่นไซน์ และนำไปสู่การวิเคราะห์หาสาเหตุ ซึ่งพบว่า ดิสชาร์จบางส่วนที่เกิดขึ้นนั้นมีสาเหตุมาจากกั๋วสบู้อุปกรณ์การรั่วซึมของไฮโดรเจน ของตัวสเตเตอร์เสื่อมสภาพและได้เข้าไปจับเกาะบนฉนวนของขดลวด สเตเตอร์ระหว่างขดลวด เฟส B กับ เฟส C และการวิเคราะห์ยังสามารถแบ่งออกเป็นหลากหลายรูปแบบด้วยกัน เช่น การวิเคราะห์รูปแบบ Phase Resolved Partial Discharge Pattern (PRPDP) ในรูปแบบสองมิติ และสามมิติแต่ต้องแปลความหมายโดยผู้ที่มีประสบการณ์ [2] การวิเคราะห์ที่นำเสนอเน้นความบกพร่องของฉนวนของเครื่องกำเนิดไฟฟ้าเทอร์โบ การตรวจสอบดิสชาร์จของ Slot, Inner Corona Grading Faults, Outside Corona Grading Faults การเกิดดิสชาร์จที่พื้นผิวในตอนปลายของขดลวด การเกิดประกายไฟและสัญญาณ Excitation ซึ่งยังไม่เป็นความบกพร่องของ สเตเตอร์ และยังได้มีการพัฒนาโปรแกรมดังกล่าว ซึ่งสามารถแปลผลรูปแบบของดิสชาร์จบางส่วนในเชิงคุณภาพ เน้นที่ความบกพร่องของฉนวนซึ่งแบ่งตามมาตรฐานสากล [3] สำหรับระบบตรวจสอบเครื่องกำเนิด

ไฟฟ้าที่มีอายุต่างกัน จากผู้ผลิตต่างกันที่มีการตรวจสอบ ผลการวัดทั้งสองภายใต้สภาวะการทำงานปกติ และการวิเคราะห์ด้วยการจ่ายพลังงานภายนอก และยังมีตรวจสอบดิสชาร์จบางส่วนในขดลวดแรงดันสูงในเครื่องกำเนิดไฟฟ้าด้วยเทคโนโลยี Global Vacuum Pressure Impregnation (GVPI) ซึ่งการวิเคราะห์ข้อมูลนั้นเป็นไปตามมาตรฐาน IEC60270 [5] เช่น การเกิดพาเซิลดิสชาร์จสูงสุด กระแสดิสชาร์จเฉลี่ยและพลังงานบน Phase Resolved Partial Discharge (PRPD) histograms เพื่อแสดงถึงการเกิดสัญญาณดิสชาร์จบางส่วนสำหรับ 40MW 11KV TG มีการหาแรงดันไฟฟ้าภายในและภายนอกของ PDs ความถี่ที่กำหนดล่วงหน้าของสัญญาณลำดับเวลากระบวนการ Stochastic เหล่านี้ได้รับโดยการวิเคราะห์ FFT ข้อมูลที่มีถูกเก็บเป็น Signatures ที่มีการระบุตัวตนสำหรับการอ้างอิงในอนาคตเพื่อประเมินสภาพของฉนวน นอกจากนี้ยังมีเครื่องมือวัดมาตรฐาน Turbine Generator Analyzer – Bus Coupler (TGA-B) ของ บริษัท IRIS ทำการวิเคราะห์ทางสถิติเพื่อคาดการณ์เวลาวิกฤตของขดลวดสเตเตอร์ของเครื่องกำเนิดไฟฟ้าโดยใช้วิธี Vector Autoregressive (VAR) [6] ผลการวิเคราะห์สามารถใช้เพื่อสนับสนุนการ Predictive maintenance (PdM) โดยการคาดการณ์เวลาวิกฤตของเครื่องกำเนิดไฟฟ้าขนาด 11.8 kV

2.11 สรุปทฤษฎีและงานวิจัยที่เกี่ยวข้อง

จากทฤษฎีและงานวิจัยที่เกี่ยวข้องที่ได้นำเสนอมา จะเห็นได้ว่าการวิเคราะห์ต่างๆเหล่านี้ จะช่วยให้สามารถวางแผนการบำรุงรักษาหรือซ่อมแซมตามสภาพจริงของเครื่องกำเนิดไฟฟ้า โดยไม่ต้องรอการบำรุงรักษาตามเวลา และยังสามารถหาสาเหตุได้ก่อนที่ความเสียหายจะเกิดขึ้น โรงไฟฟ้าพลังงานความร้อนร่วมราชบุรี จึงตัดสินใจทำการติดตั้งเซ็นเซอร์คาปาซิเตอร์ คัปเปอ์แบบ Directional 2 PD Sensor/Phase และทำการตรวจวัดดิสชาร์จบางส่วนโดยใช้เครื่องมือวัดมาตรฐาน (TGA-B) ของบริษัท IRIS เพื่อทำการวิเคราะห์ ซึ่งมีการวิเคราะห์ปีละ 2 ครั้ง และมีค่าใช้จ่ายในการตรวจวัดแต่ละครั้ง อีกทั้งต้องรอผลการวิเคราะห์ของบริษัท ด้วยเหตุนี้ทำให้ผู้วิจัยเกิดความสนใจที่จะทำการศึกษา การตรวจจับสัญญาณการเกิดดิสชาร์จบางส่วนเบื้องต้น โดยใช้ฮอสซิลโลสโคปความเร็วสูงร่วมกับ ชุดจัดเก็บข้อมูล เพื่อให้ได้ข้อมูลมาทำการวิเคราะห์ตามมาตรฐานต่อไป

การดำเนินงานวิจัย	เดือนที่/ พ.ศ. 2557				เดือนที่/ พ.ศ. 2558				เดือนที่/ พ.ศ. 2559				เดือนที่/ พ.ศ. 2560			
	1	4	8	12	1	4	8	12	1	4	8	12	1	4	8	12
ตรวจสอบหาสาเหตุของ สัญญาณผิดปกติที่เกิดขึ้น พร้อมทำการแก้ไข																
ตรวจวัดสัญญาณ อีกครั้ง หลังจากการแก้ไข																

3.2 ขั้นตอนการติดตั้งอุปกรณ์ตรวจวัดสัญญาณดิสซาร์จบางส่วน

บริษัท ราชบุรีเพาเวอร์ จำกัด เป็นโรงไฟฟ้าพลังงานความร้อนร่วมตั้งอยู่ที่ 245 หมู่ 6 ตำบลบ้านไร่ อำเภอดำเนินสะดวก จังหวัดราชบุรี มีขนาดกำลังผลิตรวมทั้งสิ้น 1,400 เมกะวัตต์โดยแบ่งเป็น 2 บล็อก โดยที่แต่ละบล็อกนั้นจะประกอบด้วย แก๊สเทอร์ไบน์ 2 ยูนิต และสตริมเทอร์ไบน์ 2 ยูนิต รวมทั้งหมดแล้วบริษัท ราชบุรีเพาเวอร์ จำกัด จะมีเครื่องกำเนิดไฟฟ้าทั้งหมด 6 ยูนิตด้วยกัน และได้ดำเนินการติดตั้งอุปกรณ์ตรวจจับตรวจจับสัญญาณดิสซาร์จบางส่วนของ IRIS POWER ENGINEERING, INC. เป็นการติดตั้งด้วยวิธี คาปาซิเตอร์ คัปเปอร์แบบ Direction 2PD /Phase



รูปที่ 3.1 บริษัท ราชบุรีเพาเวอร์ จำกัด

ตารางที่ 3.2 ข้อมูลทางด้านเทคนิคของเครื่องกำเนิดไฟฟ้า

mitsubishi	GENERATOR FOR GAS TURBINE	GENERATOR FOR STEAM TURBINE
RATED OUTPUT	309,000 kVA	346,000 kVA
RATED VOLTAGE	21 kV	21 kV
RATED CURRENT	8,459 A	9,513 A
POWER FACTOR	0.8	0.8
PHASE	3	3
FREQUENCY	50	50
ROTATING SPEED	3,000 min-1	3,000 min-1
HYDROGEN GAS PRESSURE	3 bar.g	3 bar.g
EXCITATION VOLTAGE	400 V	400 V
FIELD CURRENT	2,625 A	2,880 A
INSULATION CLASS	F	F
STANDARD	IEC 60034	IEC 60034
PROTECTION	IP 54	IP 54

จากตารางที่ 3.2 แสดงถึงข้อมูลทางเทคนิคของเครื่องกำเนิดไฟฟ้า โรงไฟฟ้าพลังงานความร้อนร่วมของบริษัท ราชบุรีเพาเวอร์ จำกัด ทั้งในส่วนของแก๊สเทอร์ไบน์ และสตีรมเทอร์ไบน์

ในระบบการผลิตไฟฟ้า เครื่องกำเนิดไฟฟ้าจะผลิตกระแสไฟฟ้าออกมาให้กับระบบ ซึ่งในกระบวนการนี้จะเกิด Loss ขึ้น ภายในตัวเครื่องกำเนิดไฟฟ้า Loss นี้จะทำให้เกิดความร้อนขึ้น ดังนั้นจึงจำเป็นต้องนำความร้อนที่เกิดขึ้นภายในเครื่องกำเนิดไฟฟ้าออกสู่ภายนอกเพื่อไม่ให้ความร้อนที่เกิดขึ้นสะสมอยู่ภายในเครื่องกำเนิดไฟฟ้ามากเกินไปซึ่งตัวระบายความร้อนจะใช้ H_2 เพราะมีคุณสมบัติในการระบายความร้อนได้ดีกว่า Air

ตารางที่ 3.3 Features of Hydrogen Cooling

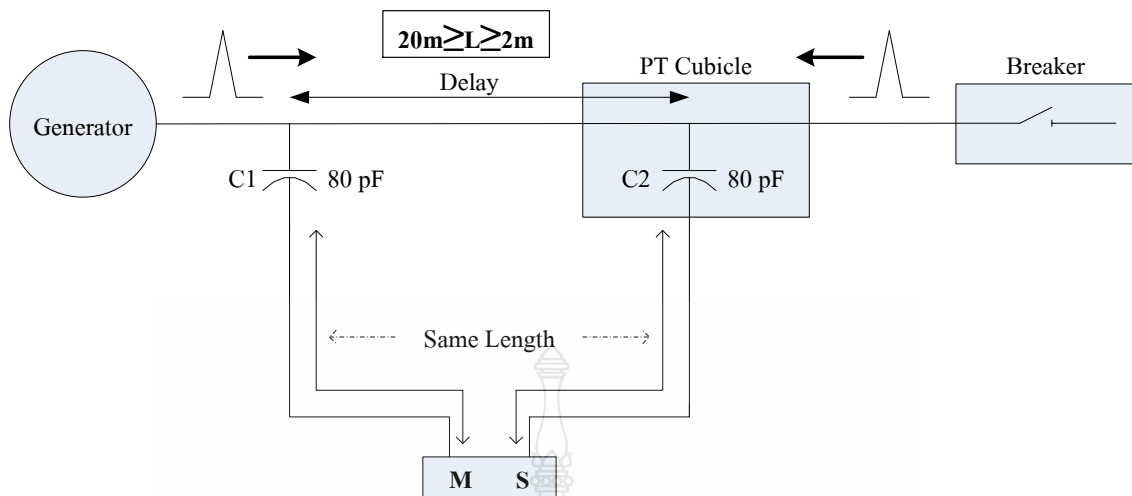
Characteristic	Air	Hydrogen
Density	1.00	0.07
Thermal Conductivity	1.00	7.14
Heat-transfer Coefficient	1.00	1.35
Specific Heat	1.00	0.98
Combustion Superlative	Yes	No.
Oxidizing Agent	Yes	No.

จากตารางที่ 3.3 แสดงถึงการเปรียบเทียบระหว่างการใช้ไฮโดรเจนกับอากาศในการระบายความร้อนของเครื่องกำเนิดไฟฟ้า

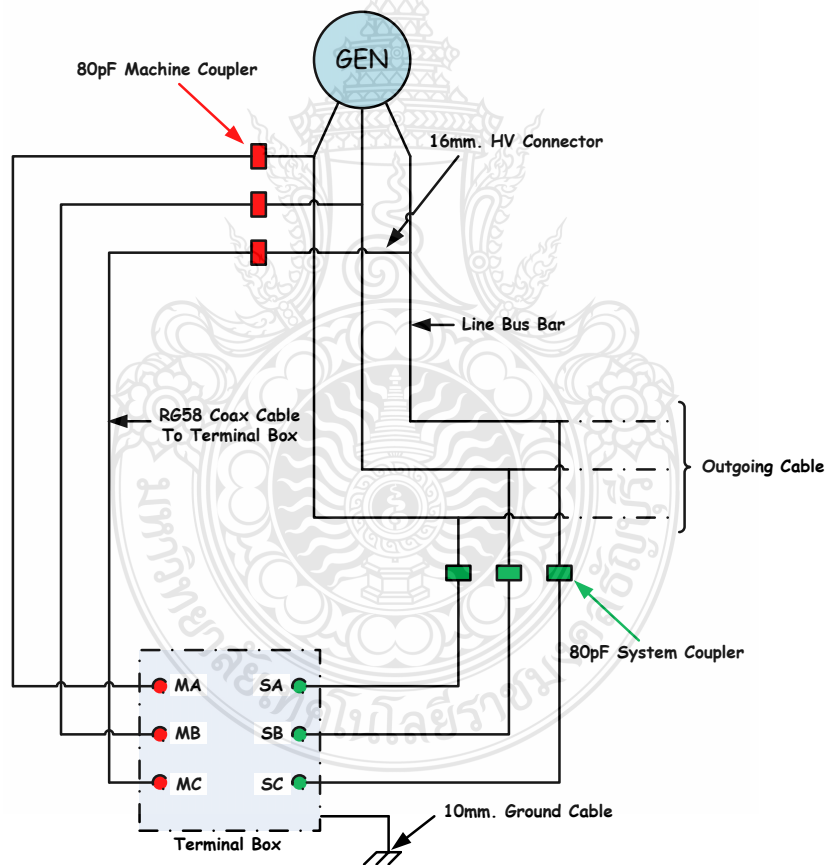
ข้อดีของ H₂

- ความหนาแน่นต่ำทำให้สามารถออกแบบให้เครื่องกำเนิดไฟฟ้ามีขนาดเล็กลงได้
- High Thermal Conductivity ของ H₂ มีค่าสูงกว่า Air 7.14 เท่าหมายความว่า H₂ สามารถนำความร้อนได้มากกว่า Air 7.14 เท่าที่ Seal Pressure เท่ากัน
- Loss ที่เกิดขึ้นภายในเครื่องกำเนิดไฟฟ้าได้แก่ Rotation Loss, Core Loss, I²R Loss ของ Armature และ Field + Exciter (I²R) Loss

Rotation Loss เนื่องจาก H₂ มี Heat Transfer Coefficient ดีกว่า Air 1.35 เท่า นั่นคือ H₂ สามารถพาความร้อนจากผิวของ Rotor ได้ดีกว่า Air 1.35 เท่าและมี Specific Heat มากกว่า Air 14.43 เท่าและลด Winding Loss เนื่องจากความหนาแน่นต่ำพร้อมทั้งลดปัญหาเรื่องเสียงดัง เนื่องจากเป็นระบบปิด



รูปที่ 3.2 การติดตั้งคาปาซิเตอร์ คัปเปอร์แบบ Directional 2PD Sensor/Phase

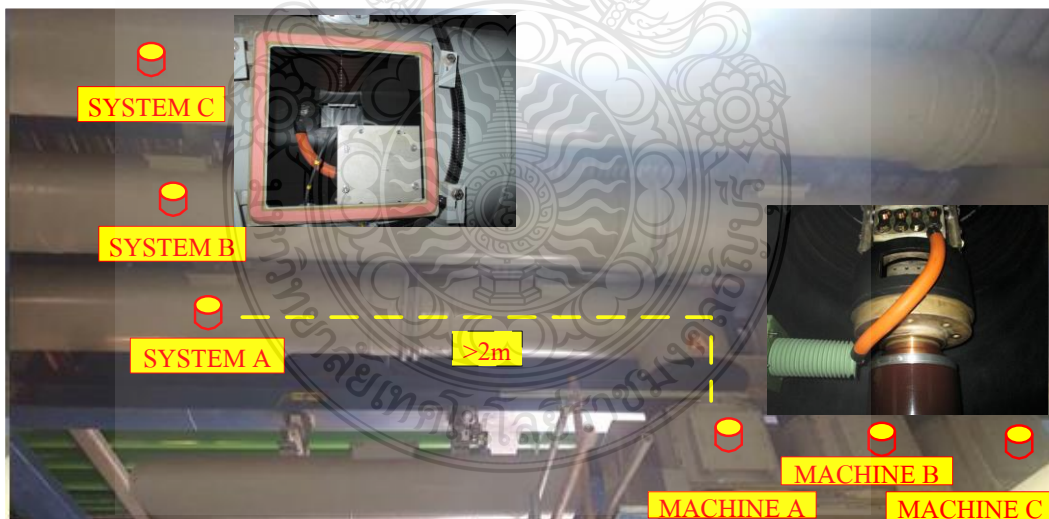


รูปที่ 3.3 Single line การติดตั้งคาปาซิเตอร์ คัปเปอร์แบบ Directional 2PD Sensor/Phase

จากรูปที่ 3.2 และ 3.3 แสดงถึงรูปแบบการติดตั้งชุดตรวจจับสัญญาณดีสชาร์จบางส่วน และ Single line การติดตั้งคาปาซิเตอร์ คัปเปอร์แบบ Directional 2PD Sensor/Phase



รูปที่ 3.4 แก๊สเทอร์ไบน์ มีอยู่ทั้งหมด 4 หน่วย

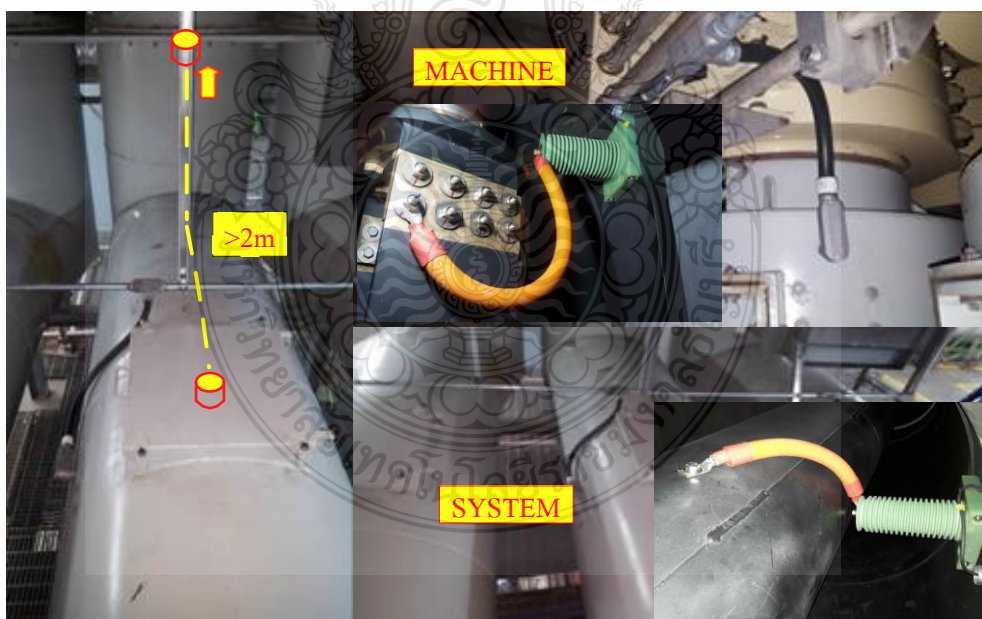


รูปที่ 3.5 ตำแหน่งการติดตั้ง PD Sensor ที่แก๊สเทอร์ไบน์

จากรูปที่ 3.4 และ 3.5 แสดงถึงที่ตั้งและตำแหน่งของการติดตั้งชุดตรวจจับสัญญาณดีสชาร์จบางส่วนที่เครื่องกำเนิดไฟฟ้าที่แก๊สเทอร์ไบน์



รูปที่ 3.6 สตริมเทอร์ไบน์ มีอยู่ทั้งหมด 2 หน่วย



รูปที่ 3.7 ตำแหน่งการติดตั้ง PD Sensor ที่สตริมเทอร์ไบน์

จากรูปที่ 3.6 และ 3.7 แสดงถึงที่ตั้งและตำแหน่งของการติดตั้งชุดตรวจจับสัญญาณดีเอสอาร์จ บางส่วนที่เครื่องกำเนิดไฟฟ้าที่สตริมเทอร์ไบน์

ตารางที่ 3.4 Installation Epoxy Mica Capacitor at RPCL

Power Plant RPCL	Manufacturer	Capacity (MVA)	Rated Volt (kV)	Year of Manufac.	EMC Installation
GTG11	Mitsubishi	309	21	2007	2016
GTG12	Mitsubishi	309	21	2007	2015
STG10	Mitsubishi	346	21	2007	2015
GTG21	Mitsubishi	309	21	2007	2017
GTG22	Mitsubishi	309	21	2007	2017
STG20	Mitsubishi	346	21	2007	2017

จากตารางที่ 3.4 แสดงปีของการติดตั้งชุด Epoxy Mica Capacitor (EMC) ที่เครื่องกำเนิดไฟฟ้าของบริษัท ราชบุรีเพาเวอร์ จำกัด ทั้ง 6 ยูนิต

3.3 ขั้นตอนการทดสอบ

หลังจากที่ทางบริษัท ราชบุรีเพาเวอร์ จำกัด ได้ทำการติดตั้งชุดตรวจจับสัญญาณคีสซาร์จบางส่วนที่เครื่องกำเนิดไฟฟ้า ทั้งในส่วนของแก๊สเทอร์ไบน์ และสตริมเทอร์ไบน์ ทีมผู้วิจัยได้ทำการทดสอบและเฝ้าติดตามการเกิดคีสซาร์จบางส่วนของเครื่องกำเนิดไฟฟ้าหลังจากที่ได้ทำการติดตั้งคาปาซิเตอร์ คัปเปอเรอร์ ไประยะหนึ่งแล้ว ในช่วงแรกได้ทำการทดสอบด้วยเครื่องมือวัดแบบมาตรฐานเพียงอย่างเดียว ซึ่งเครื่องมือดังกล่าว เป็นเครื่องมือที่มีฮาร์ดแวร์ และซอฟต์แวร์สำเร็จรูปซึ่งมีราคาค่อนข้างสูงโดยในระยะเวลา 1 ปี เครื่องกำเนิดไฟฟ้าแต่ละตัวจะมีการวิเคราะห์ข้อมูลปีละ 2 ครั้ง ซึ่งมีค่าใช้จ่ายในการตรวจวัดแต่ละครั้ง อีกทั้งต้องรอผลการวิเคราะห์ของบริษัท และไม่สามารถรู้ถึงที่มาที่ไปของข้อมูลจากรายงาน ด้วยเหตุนี้ทำให้ผู้วิจัยมีความสนใจที่ทำการศึกษาการตรวจจับสัญญาณการเกิดคีสซาร์จบางส่วน เพื่อวิเคราะห์ข้อมูลเบื้องต้นจากสัญญาณที่ได้ นำมาเปรียบเทียบกับเครื่องมือวัดมาตรฐาน เพื่อนำไปวิเคราะห์เปรียบเทียบต่อไป ด้วยเหตุนี้ขั้นตอนการทดสอบจึงมี 2 ส่วน ดังนี้

3.3.1 การทดสอบด้วยเครื่องมือมาตรฐาน



รูปที่ 3.8 การตรวจสอบด้วยเครื่องมือวัดมาตรฐาน (TGA-B)

จากรูปที่ 3.8 แสดงถึงการทดสอบด้วยเครื่องมือวัดแบบมาตรฐาน ซึ่งสามารถทดสอบได้ที่เดียวเลขทั้ง 3 เฟส โดยทำการยกเครื่องมือมาติดตั้งหน้างานแล้วมาเก็บข้อมูลกลับไปวิเคราะห์

ตารางที่ 3.5 แสดงตารางฐานข้อมูลเทียบกับข้อมูลทางด้านเทคนิคของเครื่องกำเนิดไฟฟ้า

<p>MITSUBISHI 346000 kVA TYPE VP-7A RATING CONV 21000 V DEGREE OF PROTECTION IP54 9513 A H₂ PRESSURE 3bar.g 0.80 PF INS. CLASS ARM. F. FIELD F 3 PHASE EXC. VOLT. 200 V 50 Hz FIELD CURR. 2880 A 3000 min⁻¹ SERIAL 06HEVC01 37.4°C COOLING WATER TEMP. DATE JULY 2007 STANDARD IEC 60034 MITSUBISHI ELECTRIC CORPORATION MADE IN JAPAN</p>	Rated (V)	>19 kV
	H ₂ (Psig)	31-50
	Negligible (ต่ำมาก)	22
	Low (ต่ำ)	49
	Typical (ปกติ)	90
	Moderate (สูงปานกลาง)	154
	High (สูงเกินมาตรฐาน)	224

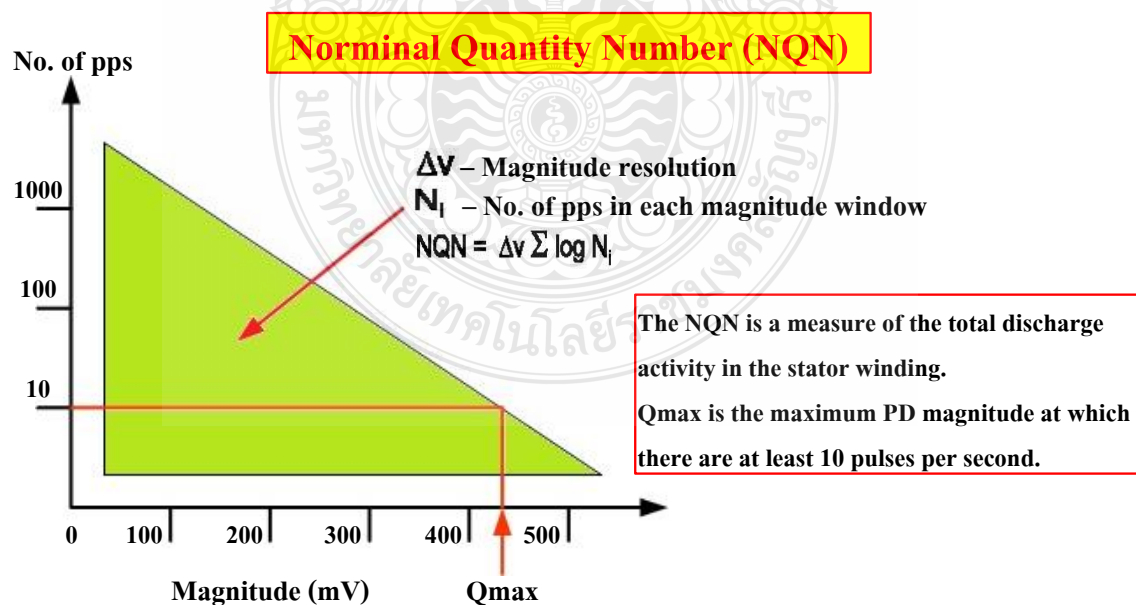
จากตารางที่ 3.5 แสดงถึงการเลือกตารางเพื่อมาเปรียบเทียบที่ค่าได้ทำการทดสอบด้วย เครื่องมือวัดแบบมาตรฐานจะเห็นได้ว่าเครื่องกำเนิดไฟฟ้ามีพิกัด 21kV และใช้ไฮโดรเจนในการ ระบายความร้อนที่ 3bar.g เมื่อนำมาแปลงเป็น Psig จะมีค่าอยู่ที่ 43.51 Psig

ตารางที่ 3.6 ตัวอย่างผลการทดสอบหลังจากที่ได้ทำการติดตั้งคาปาซิเตอร์ คัปเปอร์ ที่ GTG11

GTG11

Rated (V)	>19 kV	ปี 2016					
H ₂ (Psig)	31-50	Phase	NQN+	NQN-	Qm+	Qm-	Status
Negligible	22	A	49	31	N/A	N/A	Negligible
Low	49	B	17	31	N/A	N/A	Negligible
Typical	90	C	38	33	N/A	N/A	Negligible
Moderate	154						
High	224						

จากตารางที่ 3.6 แสดงผลการทดสอบของ GTG 11 ปี 2016 จะเห็นได้ว่าค่าจากตารางจะมี ค่า NQN+, NQN-, Qm+, Qm- ซึ่งจะขออธิบายถึงที่มาของผลทั้งหมดจากรูปที่ 3.9

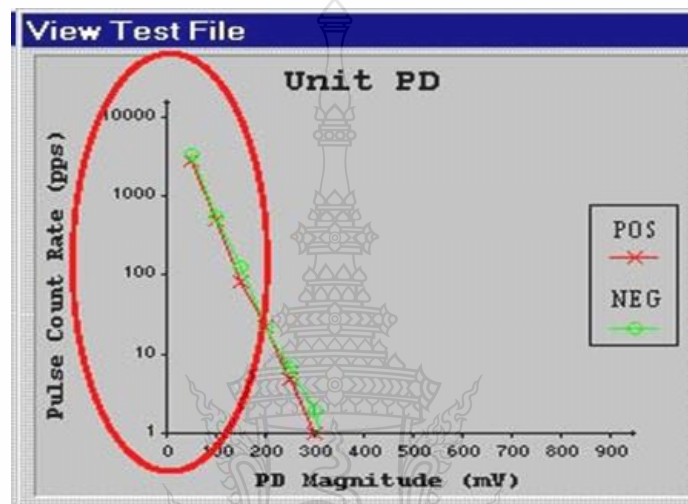


รูปที่ 3.9 PD Summary Variables [8]

จากรูปที่ 3.9 จะขออธิบายความหมายของกราฟดังนี้

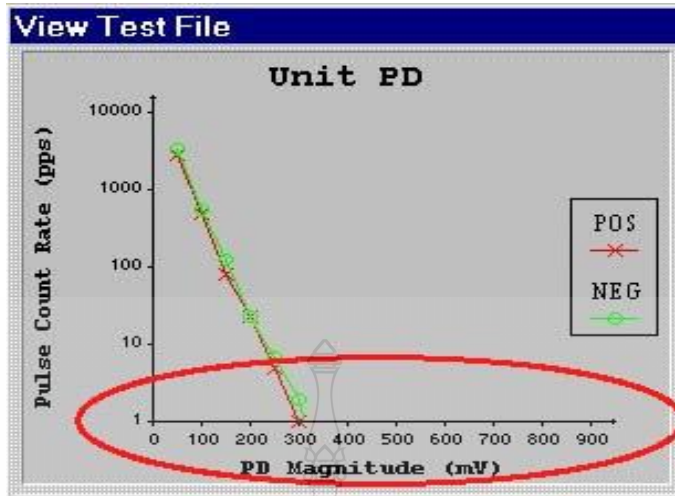
NQN : แทนพื้นที่ใต้กราฟ หมายถึง ปริมาณสัญญาณคิซซาร์จบางส่วนทั้งหมดที่เกิดขึ้น

Qm : ค่าของขนาดสูงสุดของพัลส์ที่เกิด 10 พัลส์ต่อวินาที มีหน่วยเป็น mV หมายถึง ขนาดของ
โพรงอากาศถ้าค่า Qm สูงแสดงว่าฟองอากาศมีขนาดใหญ่



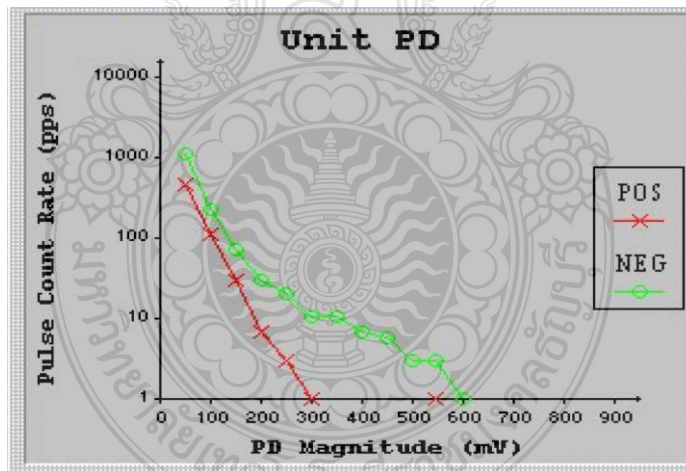
รูปที่ 3.10 การอ่านค่าของกราฟในแนวแกนตั้ง

รูปที่ 3.10 แสดงการอ่านค่ากราฟในแนวแกนตั้ง จะแสดงถึงจำนวนครั้งของการเกิด Breakdown ของโพรงอากาศในหนึ่งวินาที ที่เกิดขึ้นในฉนวนของสเตเตอร์หรือพุดอย่างง่าย คือ จำนวนโพรงอากาศในฉนวนกันความร้อนของสเตตอร์นั่นเอง จำนวนของโพรงอากาศจะเป็นตัวแปรหนึ่งที่บ่งชี้ถึงสภาพของฉนวนกันความร้อนของสเตเตอร์ ผลการวัดจะบอกได้ว่าปริมาณของโพรงอากาศมีมากหรือน้อยเท่าไร



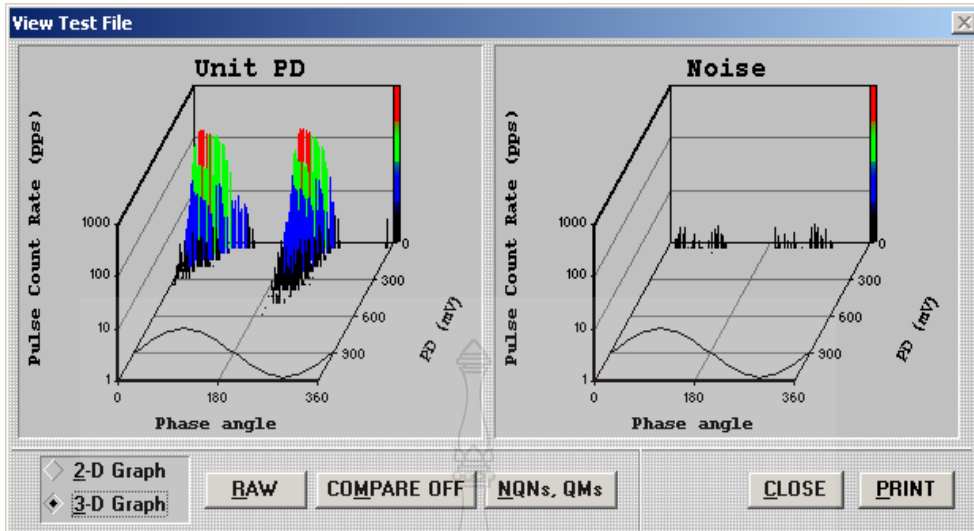
รูปที่ 3.11 การอ่านค่าของกราฟในแนวแกนนอน

รูปที่ 3.11 แสดงการอ่านค่ากราฟในแนวแกนนอนจะบอกค่า Breakdown เป็น mV ถ้าโพรงอากาศมีขนาดใหญ่ค่า Breakdown ก็จะสูง ผลการวัดจะบอกได้ว่าขนาดของโพรงอากาศมีขนาดเล็กหรือ ใหญ่มากน้อยแค่ไหน



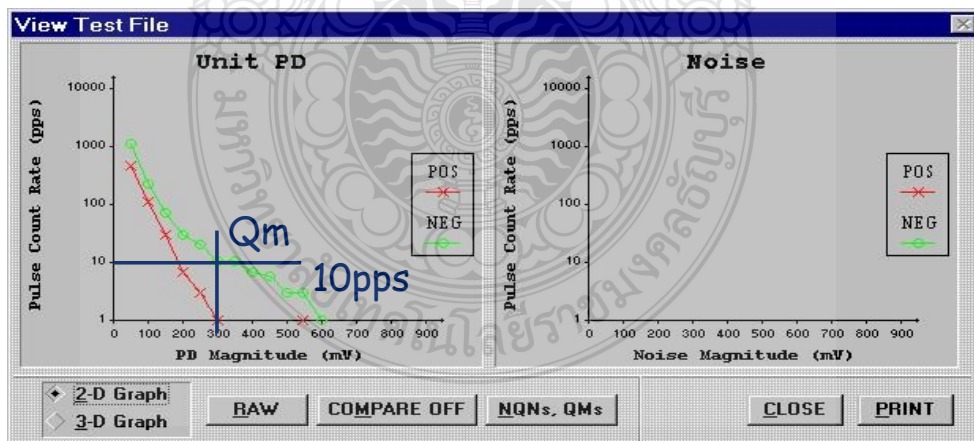
รูปที่ 3.12 รูปแบบของการแสดงผลในรูปแบบ 2 มิติ

รูปที่ 3.12 แสดงรูปแบบของการแสดงผลในรูปแบบ 2 มิติซึ่งจะเห็นได้ว่าค่า Negative เส้นสีเขียวในแนวแกนนอนจะบอกค่า Breakdown เป็น mV ถ้าโพรงอากาศมีขนาดใหญ่ค่า Breakdown ก็จะสูง แต่ปริมาณในการเกิดนั้นมีปริมาณน้อย ซึ่งทาง IRIS สามารถโชว์ผลการวัดในรูปแบบ 3 มิติได้ด้วย เพื่อที่จะแสดงให้เห็นว่าค่า Breakdown ที่มีค่าสูงแต่มีปริมาณน้อยนั้นเป็นอย่างไร



รูปที่ 3.13 รูปแบบของการแสดงผลในรูปแบบ 3 มิติ

รูปที่ 3.13 แสดงรูปแบบของการแสดงผลในรูปแบบ 3 มิติซึ่งจะเห็นได้ว่าค่า Negative เส้นสีเขียวในแนวแกนอน ถึงแม้ว่าโพรงอากาศมีขนาดใหญ่แต่ปริมาณในการเกิดนั้นมีปริมาณน้อย ซึ่งจะเห็นได้อย่างชัดเจนในรูปแบบ 3 มิติซึ่งจากเอกสาร IEEE 1434:2014 [8] และ IEC 60034-27 [9] ได้กำหนดค่าของขนาดสูงสุดของพัลส์ที่เกิด 10 พัลส์ต่อวินาทีเพื่อที่จะแสดงให้เห็นว่าค่า Breakdown และปริมาณของโพรงอากาศที่เกิดขึ้นเพื่อนำมาแสดงผลว่าเป็นอย่างไรดังรูปที่ 3.14



รูปที่ 3.14 ค่าขนาดของ PD จะอ่านจากจุดที่เกิด PD จำนวน 10 พัลส์ต่อวินาที (pps)

ซึ่งในงานวิจัยนี้จะขอนำเสนอผลการทดสอบจากเครื่องกำเนิดไฟฟ้า STG10 เท่านั้น เพราะเป็นเครื่องกำเนิดที่ได้ทำการติดตั้งตั้งแต่ปี 2015 ได้ทำการตรวจสอบครั้งแรกในปี 2016 ไม่พบความ

ผิดปกติแต่ในการตรวจสอบครั้งที่ 2 ในปี 2017 พบความผิดปกติจึงทำให้เกิดความสนใจที่จะศึกษาหาข้อมูลที่มาที่ไปของสัญญาณที่เกิดขึ้นว่าเกิดขึ้นจากสาเหตุอะไร

ตารางที่ 3.7 ผลการทดสอบหลังจากที่ได้ทำการติดตั้งคาปาซิเตอร์ คัปเปอร์ ที่ STG10 ครั้งที่ 1
STG10

Rated (V)	>19 kV	ปี 2016					
H ₂ (Psig)	31-50	Phase	NQN+	NQN-	Qm+	Qm-	Status
Negligible	22	A	N/A	N/A	N/A	N/A	Negligible
Low	49	B	N/A	20	N/A	26	Negligible
Typical	90	C	N/A	11	N/A	N/A	Negligible
Moderate	154						
High	224						

จากตารางที่ 3.7 แสดงผลการทดสอบของ STG 10 ครั้งที่ 1 ในปี 2016 จะเห็นได้ว่าค่าที่วัดได้เมื่อเทียบค่ากับตารางฐานข้อมูลแล้วจะเห็นได้ว่า Status ของทั้ง 3 เฟสคือ Negligible ซึ่งมีค่าอยู่ในเกณฑ์ต่ำมาก

ตารางที่ 3.8 ผลการทดสอบหลังจากที่ได้ทำการติดตั้งคาปาซิเตอร์ คัปเปอร์ ที่ STG10 ครั้งที่ 2
STG10

Rated (V)	>19 kV	ปี 2017					
H ₂ (Psig)	31-50	Phase	NQN+	NQN-	Qm+	Qm-	Status
Negligible	22	A	1103	746	1025	944	High
Low	49	B	569	709	685	1095	High
Typical	90	C	N/A	N/A	N/A	N/A	Negligible
Moderate	154						
High	224						

จากตารางที่ 3.8 แสดงผลการทดสอบของ STG 10 ครั้งที่ 2 ในวันที่ 1 กุมภาพันธ์ 2017 จะเห็นได้ว่าค่าที่วัดได้เมื่อเทียบค่ากับตารางฐานข้อมูลแล้วจะเห็น Status ของเฟส A และเฟส B นั้นคือ High ซึ่งเมื่อดูจากตารางฐานข้อมูลแล้วจะเห็นได้ว่า ค่าสูงสุดนั้นอยู่ที่ 224 เท่านั้น แต่ค่าที่วัดได้นั้นสูงมากจนผิดปกติดังแสดงจาก Data Report ในวันที่ 1 กุมภาพันธ์ 2017 จากบริษัท IRIS ดังรูปที่ 3.15

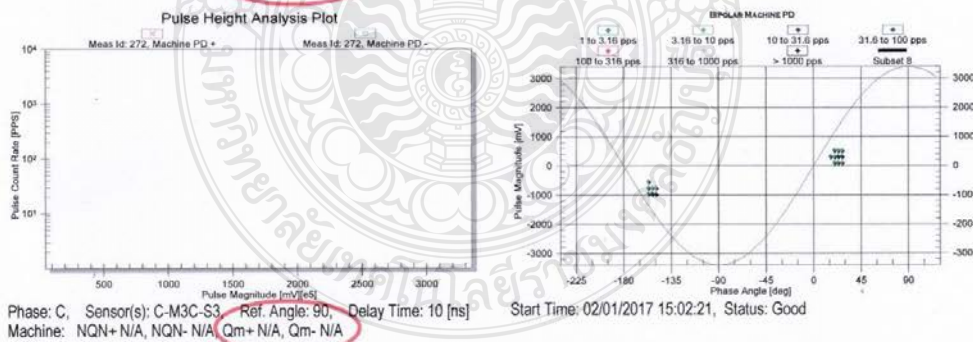
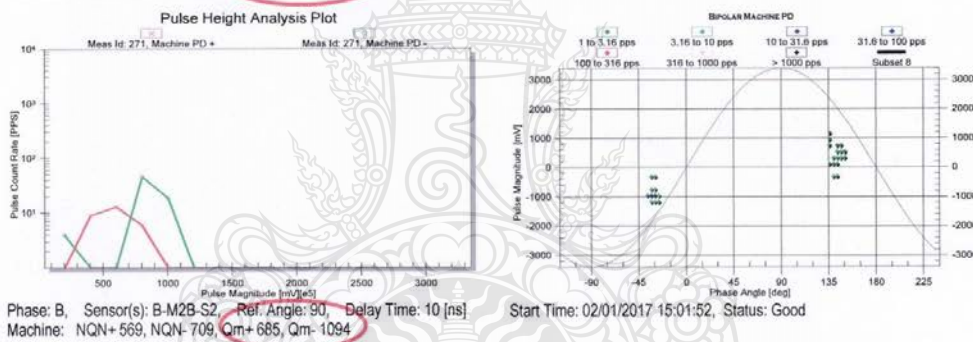
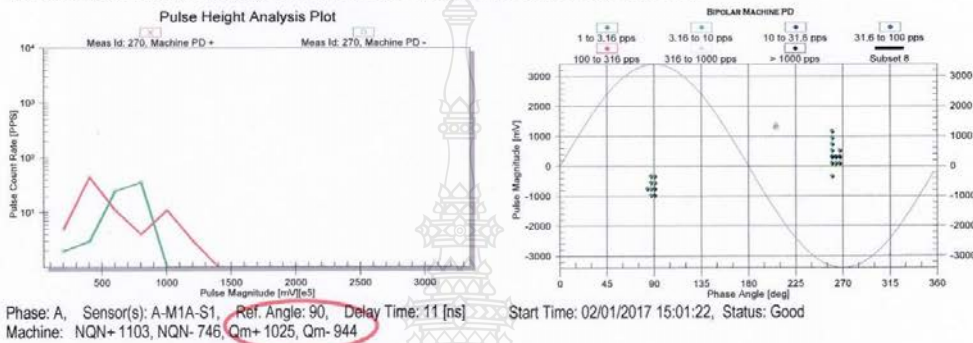


Pulse Height and Pulse Phase Analysis ABC Combo for C1 only

Asset Name: STG10

Folder: Ratchaburi Power, Asset Class: Combustion Turbine

Operating Load: 219.10 MW, Reactive Load: 21.00 MVAR, Operating Asset Temp: N/A, Operating Voltage: 21.00 kV
Ambient Temp: 34 deg C, Ambient Humidity: 42.00 % Freq. (Test Duration): 50 Hz, (1 sec.)
Insulation Type: Unknown Operating Gas Pressure: 44.24 psi-g Gas Pressure Rating: 43.51 psi-g)



Iris Power LP, 3110 American Dr., Mississauga, On, Canada L4V 1T2, Phone: +1 (905)-677-4824, Fax: +1 (905) 677-8498

รูปที่ 3.15 Data Report STG 10 ในวันที่ 1 กุมภาพันธ์ 2017

จากข้อมูลรายงานผลการทดสอบการเกิดดิสชาร์จบางส่วน ด้วยเครื่องมือมาตรฐานจาก IRIS POWER ENGINEERING, INC. จากการตรวจสอบเครื่องกำเนิดไฟฟ้าทั้ง 6 ยูนิตพบความผิดปกติของเครื่องกำเนิดไฟฟ้าที่สตริมเทอร์ไบน์ 10 (STG10) เฟส A ทางบริษัทราชบุรีเพาเวอร์ จำกัด จึงได้มีการวางแผนร่วมกับทางทีมผู้วิจัยและทางตัวแทน IRIS POWER ENGINEERING, INC. ว่าจะต้องมีการเก็บข้อมูลเพิ่มเติมเพื่อความถูกต้องโดยมีกำหนดการในวันที่ 24 กุมภาพันธ์ 2017 ได้ทำการตรวจวัดและบันทึกข้อมูลอีกครั้ง โดยทีมผู้วิจัยได้ทำการปรึกษาหารือกันว่าทำอย่างไรถึงจะสามารถรู้ข้อมูลดิบของ Data Report ซึ่งเครื่องมือมาตรฐาน เป็นเครื่องมือที่มีฮาร์ดแวร์และซอฟต์แวร์สำเร็จรูปซึ่งมีราคาค่อนข้างสูงโดยในระยะเวลา 1 ปี เครื่องกำเนิดไฟฟ้าแต่ละตัวจะมีการวิเคราะห์ข้อมูลปีละ 2 ครั้ง ซึ่งมีค่าใช้จ่ายในการตรวจวัดแต่ละครั้ง อีกทั้งต้องรอผลการวิเคราะห์ของบริษัท ด้วยเหตุนี้ทำให้ผู้วิจัยมีความสนใจที่ทำการศึกษาการตรวจจับสัญญาณการเกิดดิสชาร์จบางส่วน ในการศึกษาเบื้องต้นทีมวิจัยได้ใช้โมดูลออกสซิดโลสโคปความเร็วสูง รุ่น NI PXIe – 5160 500 MHz (2.5GS/s, 10-Bits Digitizer) ร่วมกับชุดเก็บข้อมูล (Data Acquisition, DAQ)

ตารางที่ 3.9 ผลการทดสอบหลังจากที่ได้ทำการติดตั้งคาปาซิเตอร์ คัปเปอร์ ที่ STG10 ครั้งที่ 3 STG10

Rated (V)	>19 kV	ปี 2017					
H ₂ (Psig)	31-50	Phase	NQN+	NQN-	Qm+	Qm-	Status
Negligible	22	A	577	437	652	868	High
Low	49	B	582	933	648	979	High
Typical	90	C	N/A	N/A	N/A	N/A	Negligible
Moderate	154						
High	224						

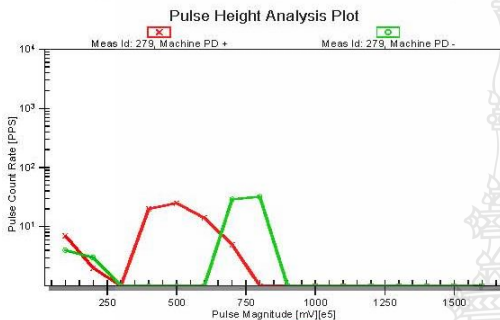
จากตารางที่ 3.9 แสดงผลการทดสอบของ STG 10 ครั้งที่ 3 ในวันที่ 24 กุมภาพันธ์ 2017 จะเห็นว่าค่าที่วัดได้เมื่อเทียบกับตารางฐานข้อมูลแล้วจะเห็นว่า Status ของเฟส A และเฟส B นั้นยังคงมีค่า High และค่าที่วัดได้นั้นสูงมากจนผิดปกติดังแสดงจาก Data Report ในวันที่ 24 กุมภาพันธ์ 2017 จากบริษัท IRIS ดังรูปที่ 3.16

Pulse Height and Pulse Phase Analysis ABC Combo for C1 only

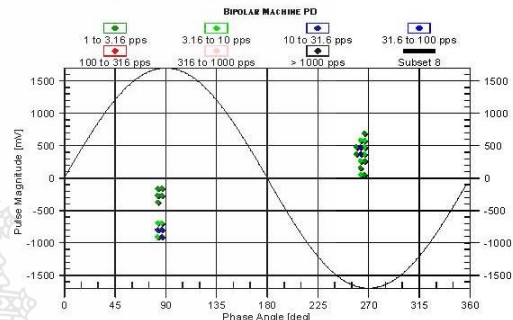
Asset Name: STG10

Folder: Ratchaburi Power\ Asset Class: Combustion Turbine

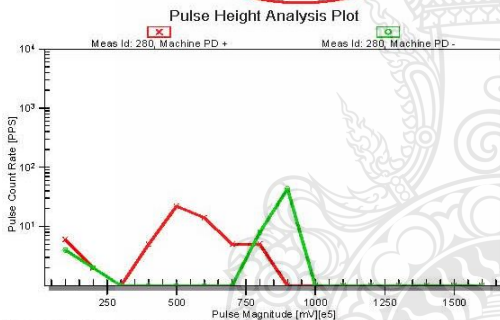
Operating Load: 0.00 MW, Reactive Load: 48.00 MVar, Operating Asset Temp: 63 deg C, Operating Voltage: 21.00 kV
Ambient Temp: 35 deg C, Ambient Humidity: 57.00 % Freq. (Test Duration): 50 Hz, (5 sec.)
Insulation Type: Unknown Operating Gas Pressure: 42.06 psi-g Gas Pressure Rating: 43.51 psi-g



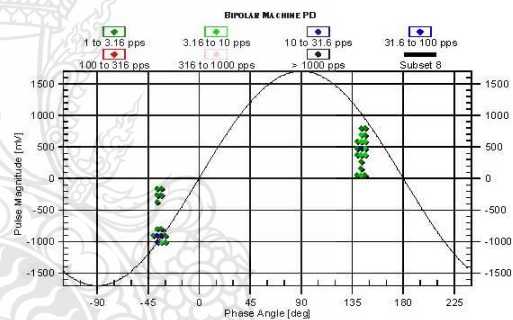
Phase: A, Sensor(s): A-M1A-S1, Ref. Angle: 90, Delay Time: 11 [ns]
Machine: NQN+577, NQN-437, Qm+652, Qm-868



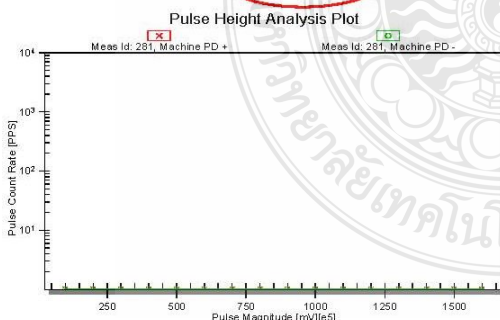
Start Time: 02/24/2017 12:36:31, Status: Good



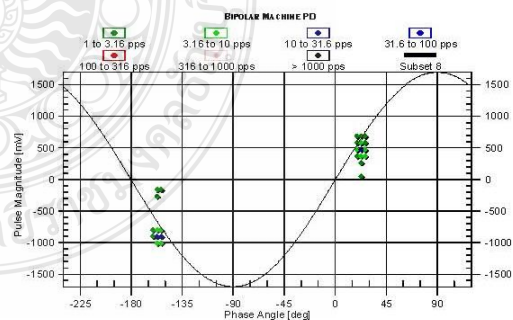
Phase: B, Sensor(s): B-M2B-S2, Ref. Angle: 90, Delay Time: 10 [ns]
Machine: NQN+582, NQN-393, Qm+648, Qm-979



Start Time: 02/24/2017 12:38:27, Status: Good



Phase: C, Sensor(s): C-M3C-S3, Ref. Angle: 90, Delay Time: 10 [ns]
Machine: NQN+N/A, NQN-N/A, Qm+N/A, Qm-N/A



Start Time: 02/24/2017 12:40:22, Status: Good

Iris Power LP, 3110 American Dr., Mississauga, On, Canada L4V 1T2, Phone: +1 (905)-677-4824, Fax: +1 (905) 677-8498

รูปที่ 3.16 Data Report STG 10 ในวันที่ 24 กุมภาพันธ์ 2017

จากการวิเคราะห์หาสาเหตุความผิดปกติดังกล่าวทางทีมผู้วิจัยได้ปรึกษากันว่าจะออกแบบเครื่องมือวัดอย่างไรให้สามารถจับสัญญาณผิดปกติได้เนื่องจากสัญญาณคิซาร์จบางส่วนนั้นเป็นพัลส์ กระแสที่มีหน้าคลื่นที่ชันและสั้นมาก ประมาณ 1-5 nS และอยู่ในช่วงความถี่ 50 – 250 MHz และด้วยการออกแบบเครื่องมือตรวจจับสัญญาณคิซาร์จบางส่วนของบริษัท IRIS ได้ออกแบบ Epoxy Mica Capacitor ให้มีขนาดอยู่ที่ 80 pF ซึ่งจะอยู่ในช่วงความถี่ 40 – 350 MHz ในการศึกษาเบื้องต้นที่มวิจัยได้ใช้โมดูลออสซิลโลสโคปความเร็วสูง รุ่น NI PXIe – 5160 500 MHz (2.5GS/s, 10-Bits Digitizer) ร่วมกับชุดเก็บข้อมูล (Data Acquisition, DAQ) เพื่อให้ครอบคลุมความถี่ ดังรูปที่ 3.17 และ 3.18

3.3.2 การทดสอบด้วยออสซิลโลสโคปความเร็วสูง

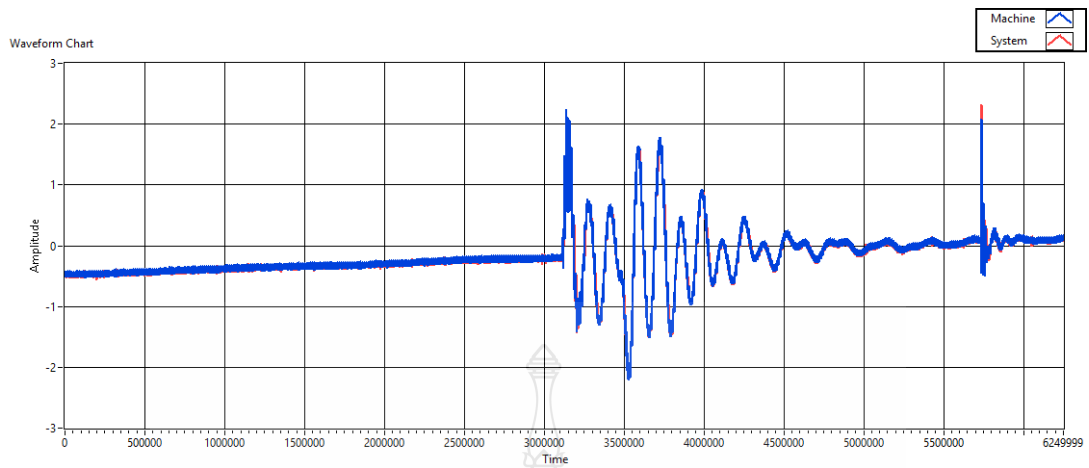


รูปที่ 3.17 การตรวจจับสัญญาณด้วยออสซิลโลสโคปความเร็วสูง

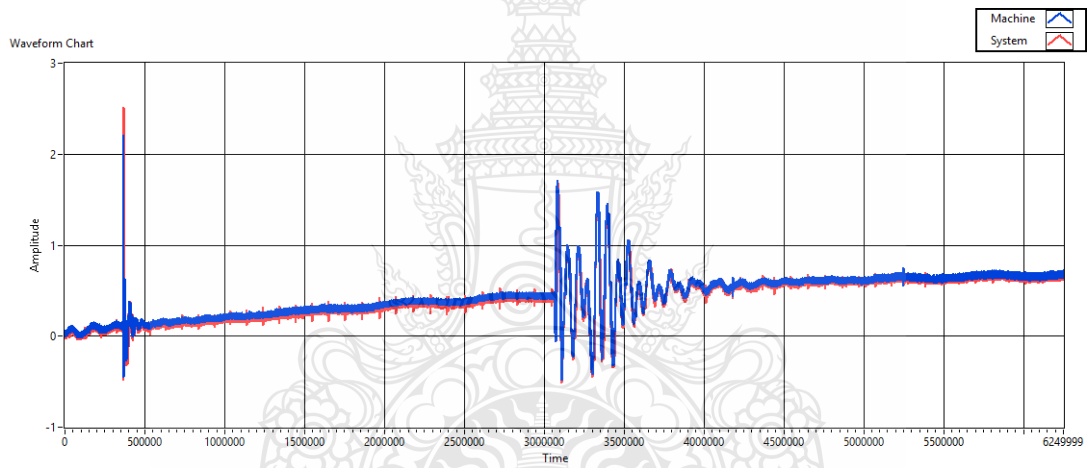


รูปที่ 3.18 ออสซิลโลสโคปรุ่น NI Pxl-5160 500MHz , Sample rate 2.5 GS/s , 10 Bits

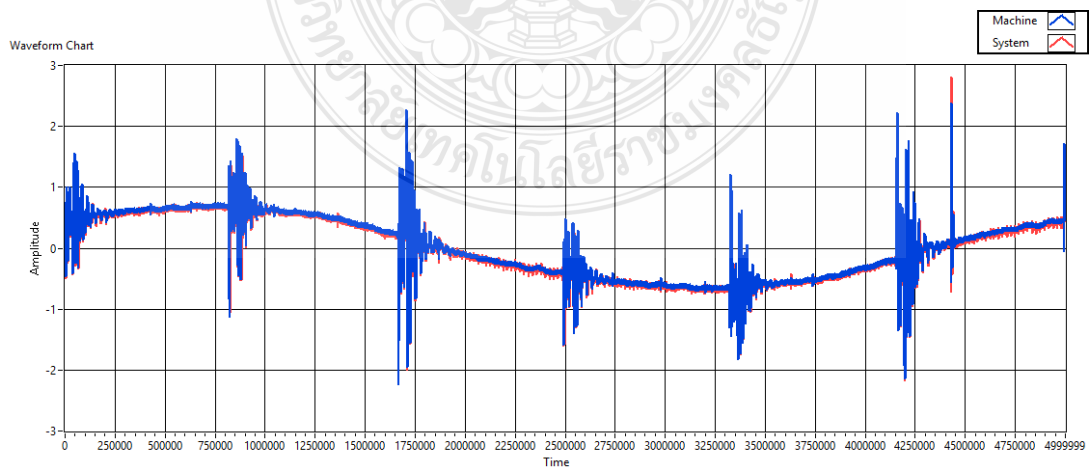
ทางทีมผู้วิจัยมีความสนใจที่ทำการศึกษการตรวจจับสัญญาณการเกิดคัสซาร์บางส่วนในการศึกษาเบื้องต้นที่มวิจัย ได้ใช้โมดูลออสซิลโลสโคปความเร็วสูง รุ่น NI PXIe – 5160 (2.5GS/s, 10-Bits Digitizer) ร่วมกับชุดเก็บข้อมูล (Data Acquisition, DAQ) ทำการตั้งค่าอัตราการเก็บตัวอย่างสัญญาณ Sampling rate และ ตั้งค่าการอ่าน Sample to read หลายค่า เพราะ ความยากของการตรวจจับในครั้งนี้ ทางทีมผู้วิจัยไม่สามารถจะรู้ได้ว่าจะพบสัญญาณความผิดปกติหรือไม่ ในบทนี้จะขอแสดงผลการวัดเฉพาะเฟส A เท่านั้นเพราะเป็นเฟสที่ทาง IRIS ได้ทำการวิเคราะห์ว่า เป็นเฟสที่ผิดปกติส่วนเฟส B เกิดจากการอินตัวของกระแสจากเฟส A ไปยังเฟส B สำหรับการวัดและบันทึกสัญญาณการเกิดความผิดปกติที่ได้ จะนำมาเปรียบเทียบกับเครื่องมือวัดมาตรฐาน เพื่อนำไปวิเคราะห์เปรียบเทียบต่อไป ดังรูปที่ 3.19 – 3.23



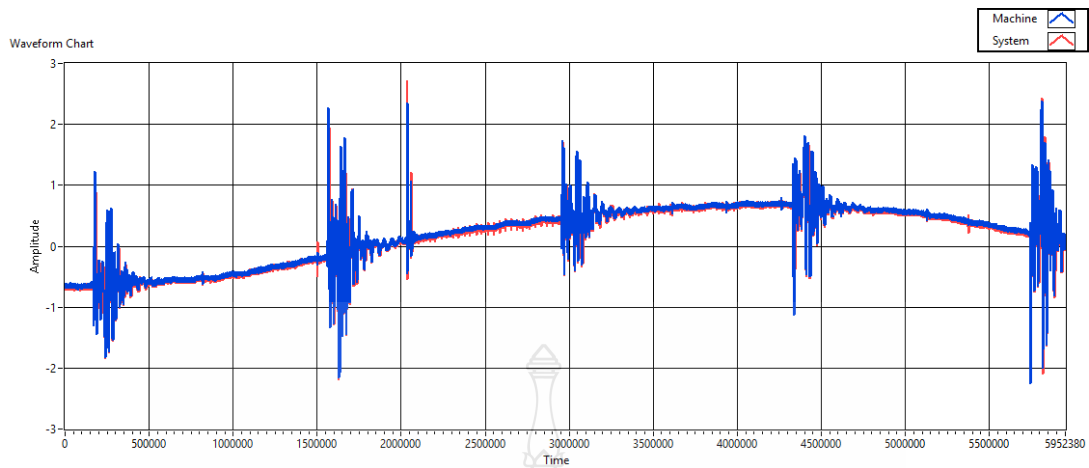
รูปที่ 3.19 การทดสอบด้วยค่า Sample rate ที่ 2GS/s และ Sample to read ที่ 5M ที่เฟส A



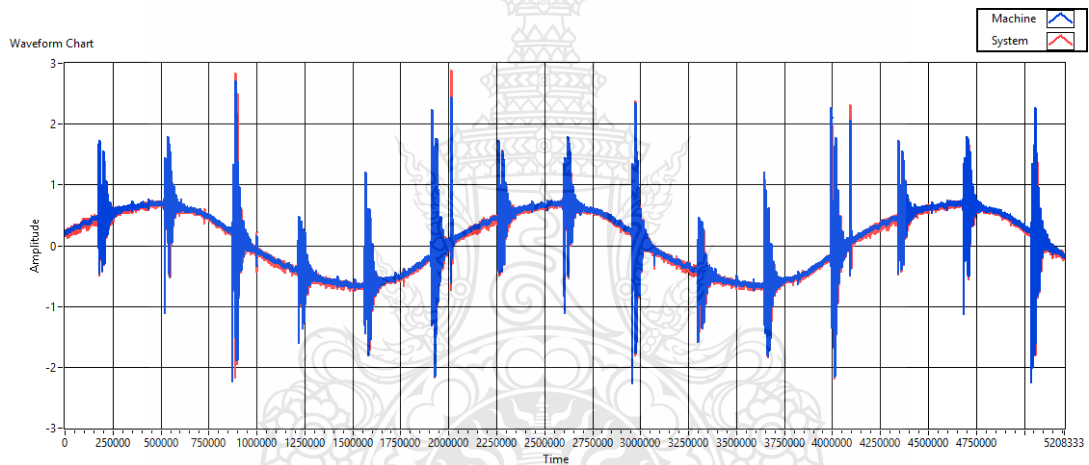
รูปที่ 3.20 การทดสอบด้วยค่า Sample rate ที่ 1GS/s และ Sample to read ที่ 5M ที่เฟส A



รูปที่ 3.21 การทดสอบด้วยค่า Sample rate ที่ 250MS/s และ Sample to read ที่ 5M ที่เฟส A



รูปที่ 3.22 การทดสอบด้วยค่า Sample rate ที่ 100MS/s และ Sample to read ที่ 10M ที่เฟส A



รูปที่ 3.23 การทดสอบด้วยค่า Sample rate ที่ 100MS/s และ Sample to read ที่ 5M ที่เฟส A

3.4 สรุปการดำเนินงานวิจัย

จากขั้นตอนทดสอบทั้ง 2 วิธีจะเห็นได้ว่าทางทีมผู้วิจัยจะมุ่งเน้นไปที่การออกแบบเครื่องมือตรวจจับสัญญาณดีสซาร์จบางส่วน เพื่อที่จะได้สามารถวิเคราะห์ข้อมูลเบื้องต้น แล้วนำข้อมูลที่ได้ไปเปรียบเทียบกับเครื่องมือวัดมาตรฐาน เพื่อจะได้มีการวางแผนและเพิ่มประสิทธิภาพในการบำรุงรักษาเครื่องกำเนิดไฟฟ้า ซึ่งผลการวิเคราะห์สัญญาณที่วัดได้จะนำเสนอในบทถัดไป

บทที่ 4

ผลการวิเคราะห์

ในบทนี้จะกล่าวถึงผลการวิเคราะห์ความผิดปกติของการเกิดสัญญาณดิสซาร์จบางส่วนที่เครื่องกำเนิดไฟฟ้า โดยผลการวิเคราะห์จะแบ่งเป็น 2 ส่วน ดังนี้

- 1) ผลการวิเคราะห์จากเครื่องมือวัดมาตรฐาน TGA-B และ เครื่องมือตรวจจับที่ออกแบบ
- 2) ผลการตรวจสอบหาสาเหตุจากการวิเคราะห์

4.1 ผลการวิเคราะห์จากเครื่องมือวัดมาตรฐาน และ เครื่องมือตรวจจับที่ออกแบบ

4.1.1 ผลการวิเคราะห์จากเครื่องมือวัดมาตรฐาน TGA-B ทางทีมผู้วิจัยได้ทำการทดสอบและเฝ้าติดตามการเกิดดิสซาร์จบางส่วนของเครื่องกำเนิดไฟฟ้าหลังจากที่ได้ทำการติดตั้งคาปาซิเตอร์คัปเปอร์ ไประยะหนึ่งแล้ว สามารถตรวจจับสัญญาณดิสซาร์จบางส่วนได้ที่สตริมเทอร์ไบน์ 10 เฟส A จากข้อมูลของ IRIS POWER ENGINEERING, INC. ได้ทำการสรุปลักษณะเฉพาะรูปแบบของการเกิดสัญญาณดิสซาร์จบางส่วนดังนี้

- 1) สัญญาณดิสซาร์จบางส่วนเกิดขึ้นที่มุม 45° หรือ 225° เป็นสัญญาณดิสซาร์จบางส่วนที่เกิดในฉนวนของ Stator Winding Generator
- 2) สัญญาณดิสซาร์จบางส่วนเกิดขึ้นที่มุม 15° , 75° , 195° หรือ 255° เป็นสัญญาณดิสซาร์จบางส่วนชนิด Phase to Phase หรือ End Winding
- 3) สัญญาณดิสซาร์จบางส่วนเกิดขึ้นที่มุม 0° หรือ 180° เป็นสัญญาณดิสซาร์จบางส่วนที่เกิดขึ้นจากปัญหา Electrical Connection บกพร่อง

ตารางที่ 4.1 ผลการทดสอบหลังจากที่ได้ทำการติดตั้งคาปาซิเตอร์ คัปเปอร์ที่ STG10 ครั้งที่ 1
STG10

ปี 2016					
Phase	NQN+	NQN-	Qm+	Qm-	Status
A	N/A	N/A	N/A	N/A	Negligible
B	N/A	20	N/A	26	Negligible
C	N/A	11	N/A	N/A	Negligible

จากตารางที่ 4.1 แสดงผลการทดสอบของ STG 10 ครั้งที่ 1 ในปี 2016 จะเห็นได้ว่าค่าที่วัดได้เมื่อเทียบกับตารางฐานข้อมูลแล้วจะเห็นได้ว่า มีค่าต่ำมาก

ตารางที่ 4.2 ผลการทดสอบหลังจากที่ได้ทำการติดตั้งคาปาซิเตอร์ คัปเปอร์ที่ STG10 ครั้งที่ 2 STG10

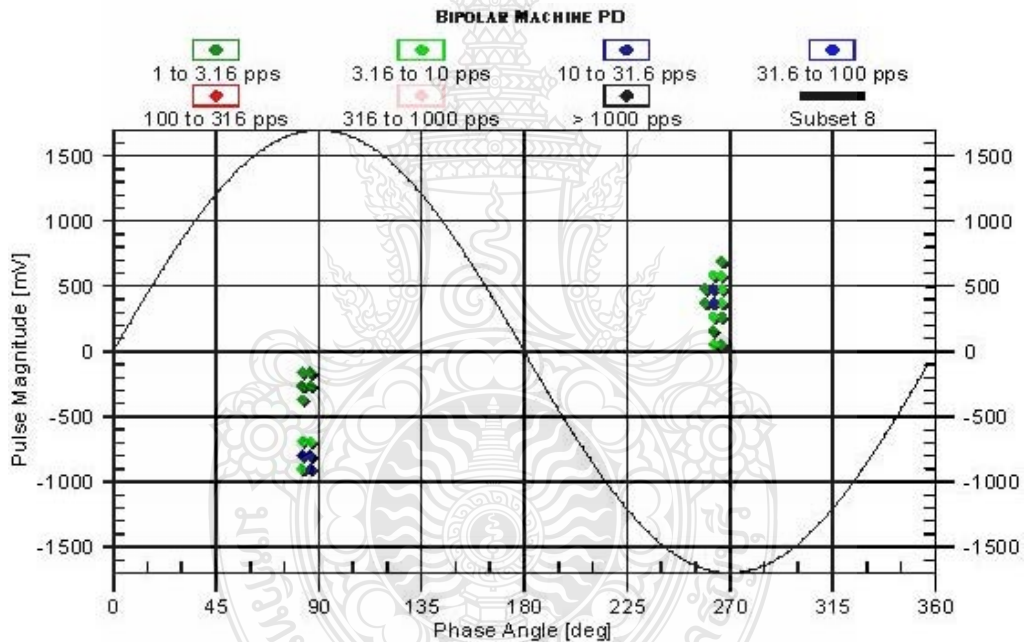
ปี 2017					
Phase	NQN+	NQN-	Qm+	Qm-	Status
A	1103	746	1025	944	High
B	569	709	685	1095	High
C	N/A	N/A	N/A	N/A	Negligible

จากตารางที่ 4.2 แสดงผลการทดสอบของ STG 10 ครั้งที่ 2 ในวันที่ 1 กุมภาพันธ์ 2017 จะเห็นได้ว่าค่าที่วัดได้เมื่อเทียบกับตารางฐานข้อมูลแล้วจะเห็นได้ว่า มีค่าสูงผิดปกติที่เฟส A และเฟส B แต่ค่าที่ผิดปกติของเฟส B เกิดจากการอินดีวของกระแสจากเฟส A ไปยังเฟส B ทาง IRIS จึงทำการวิเคราะห์เฉพาะเฟส A เท่านั้น

ตารางที่ 4.3 ฐานข้อมูลความรุนแรงของการเกิดคิสซาร์จบางส่วนพิกัด 21 kV และใช้ไฮโดรเจนในการระบายความร้อน

Rated (V)	>19 kV
H ₂ (Psig)	31 - 50
Negilible (ต่ำมาก)	22
Low (ต่ำ)	49
Typical (ปกติ)	90
Moderate (สูงปานกลาง)	154
High (สูงเกินมาตรฐาน)	224

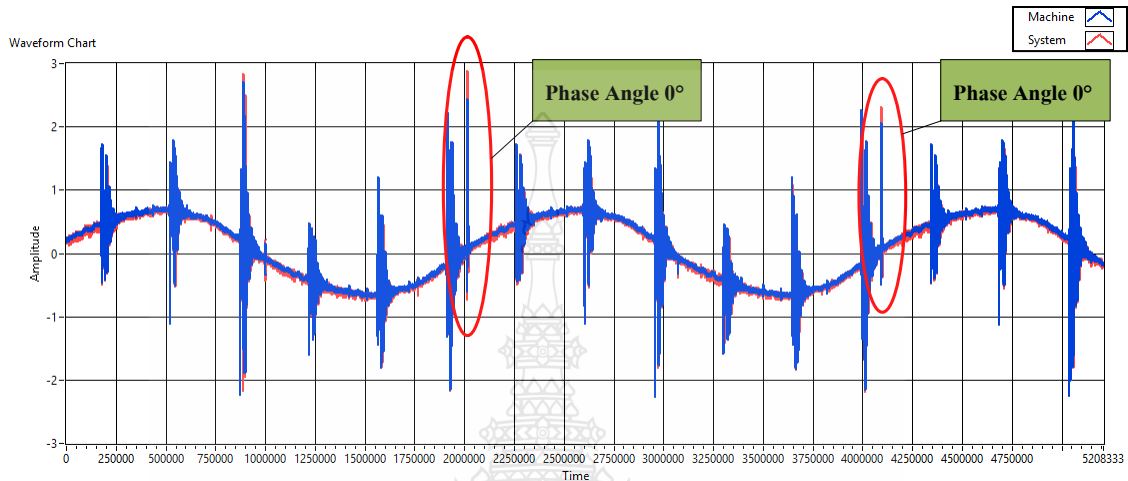
ถ้าเทียบจากตารางฐานข้อมูลความรุนแรงของการเกิดดิสชาร์จบางส่วนจะพบว่าค่าที่วัดได้จากปี 2016 มีค่าต่ำมาก หรือ Stator Insulation อยู่ในสภาพดีเลิศ แต่ค่าที่ได้ทำการวัดเก็บข้อมูลอีกครั้งปี 2017 พบว่าค่าที่วัดได้นั้นมีค่าสูงมาก ถ้าเทียบค่าจากตารางฐานข้อมูลจะเห็นได้ว่าค่าสูงสุดอยู่ที่ 224 ซึ่งเป็นค่าที่มีความผิดปกติอย่างเห็นได้ชัด และยังพบว่ามุมเฟสของสัญญาณการเกิดดิสชาร์จนั้นเกิดขึ้นที่มุม 90° และ 270° ของเฟส A ดังแสดงในรูปที่ 4.1 ซึ่งมุมเฟสที่เกิดขึ้นนั้นไม่เป็นไปตามลักษณะเฉพาะของรูปแบบการเกิดดิสชาร์จบางส่วนซึ่งทาง IRIS POWER ENGINEERING, INC. ได้สรุปข้อมูลดังกล่าวว่า เป็นมุมการเกิดที่แตกต่างจากรูปแบบปกติและได้ทำการวิเคราะห์ลักษณะการเกิดดิสชาร์จบางส่วนดังกล่าวว่า เกิดจาก Open air arc หรือ Corona แล้วจะมีการตรวจสอบหน้างานวันที่ 1 พฤศจิกายน 2017



รูปที่ 4.1 สัญญาณดิสชาร์จบางส่วนที่สตรีมเทอร์ไบน์ 10 เฟส A มุม 90° และ 270° [13]

4.1.2 ผลการวิเคราะห์จากเครื่องมือตรวจจับที่ออกแบบ ผลการวัดสัญญาณการเกิดดิสชาร์จบางส่วนด้วย ออสซิลโลสโคปความเร็วสูง ในวันที่ 24 กุมภาพันธ์ 2017 โดยทำการตั้งค่าอัตราการเก็บตัวอย่างสัญญาณ (Sampling rate) ที่ 100 MS/s และตั้งค่าการอ่านตัวอย่างสัญญาณ (Sample to read) ที่ 5M พบสัญญาณผิดปกติเกิดขึ้นที่มุม 0° ของเฟส A และเกิดขึ้นซ้ำกันทุก 1 ไซเคิล ซึ่งเป็นมุมที่แตกต่างจากลักษณะเฉพาะของรูปแบบการเกิดสัญญาณดิสชาร์จบางส่วน สัญญาณสัญญาณดิสชาร์จบางส่วน

เกิดขึ้นที่มุม 0° จากคุณสมบัติของตัวเก็บประจุ กระแสไฟฟ้า i_c นำหน้าความต่างศักย์ v_c เป็นมุม 90° จึงเป็นมุมเดียวกันกับเครื่องมือวัดมาตรฐาน TGA-B ดังแสดงในรูปที่ 4.2



รูปที่ 4.2 สัญญาณผิดปกติเกิดขึ้นที่มุม 0° ตั้งค่า Sample rate 100 M/s และ Sample to read 5M

จากรูปที่ 4.2 จะเห็นได้ว่าเกิดความผิดปกติที่มุม 0° ในทุก 1 ลูกคลื่นจึงทำการวิเคราะห์สัญญาณที่ทำการตรวจจับได้นั้นเป็นสัญญาณที่เป็นความถี่เดียวกันกับความถี่ของบ้านเรา คือ ความถี่ 50 Hz ใช่หรือไม่โดยการคำนวณดังนี้

จากสูตร

$$f = \frac{1}{T}$$

ที่ความถี่ 50 Hz

$$T = \frac{1}{50 \text{ Hz}}$$

$$T = 20 \text{ mS}$$

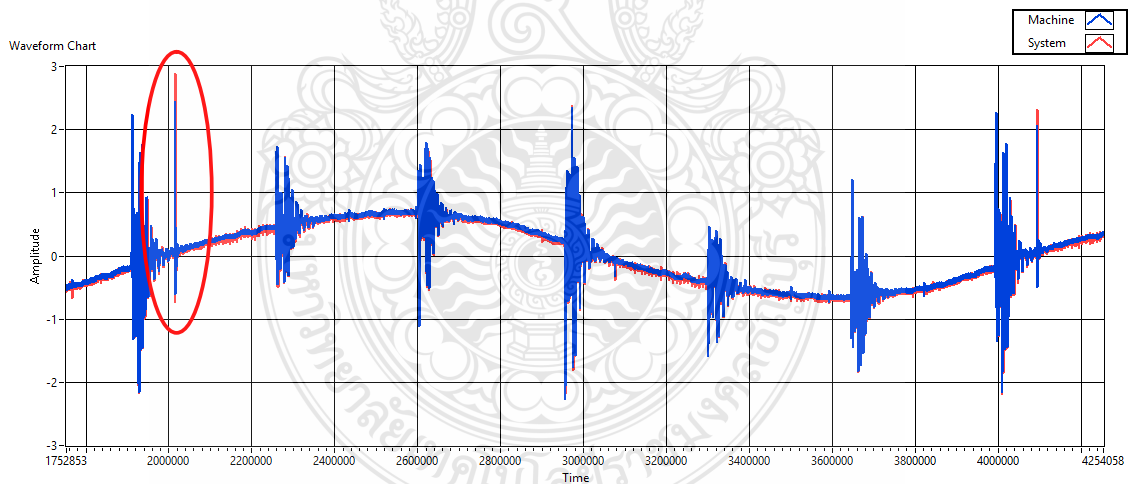
เพราะฉะนั้นใน 1 ลูกคลื่นจะมีช่วงเวลาเท่ากับ 20 mS

ค่า Sample rate 100 MS/s และ Sample to read 5M จะได้

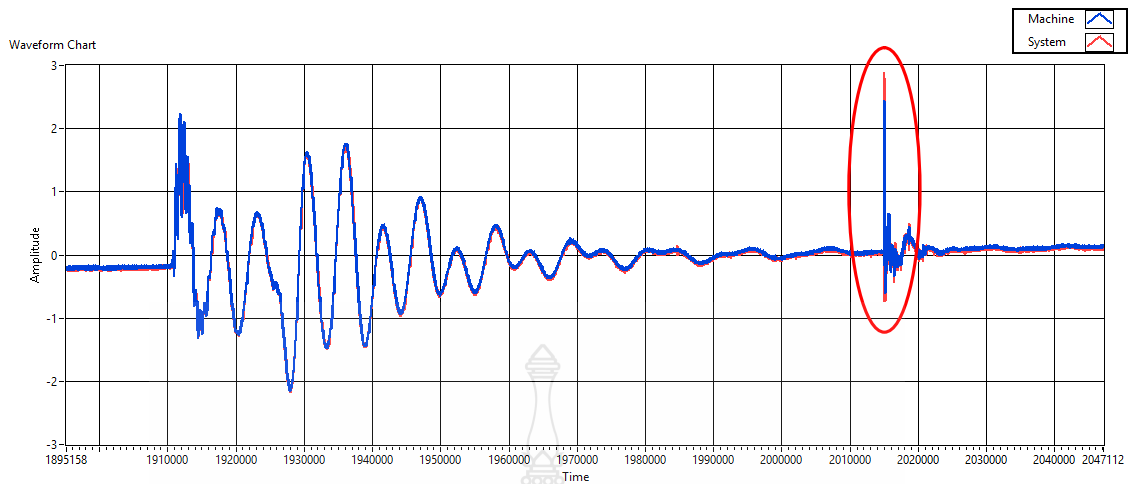
$$T = \frac{5M}{100MS/s}$$

$$T = 50 \text{ mS}$$

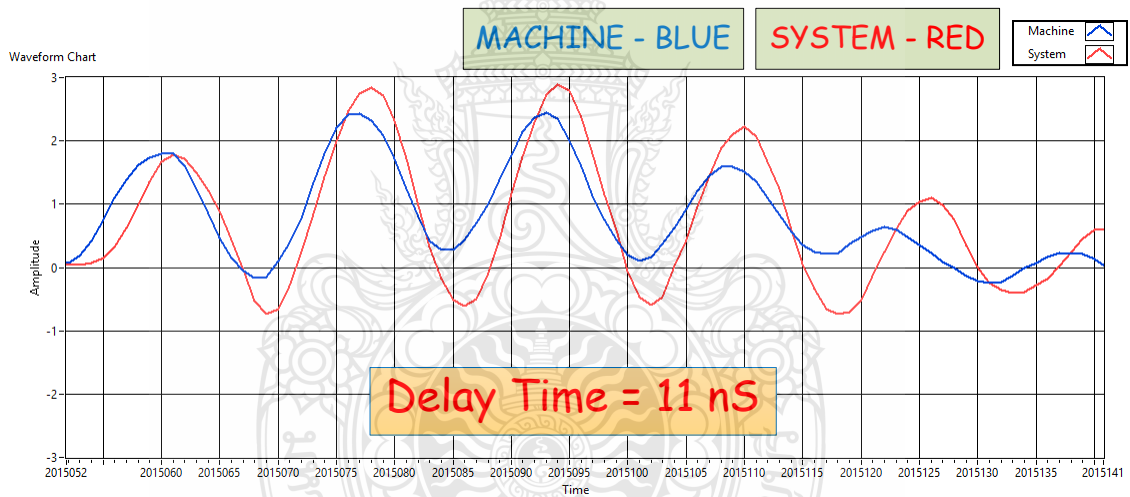
จากการคำนวณจะเห็นได้ว่าช่วงของเวลานั้นจะเท่ากับ 50 mS เมื่อนำค่าที่ได้จากการตั้งค่าของเครื่องมือวัดเทียบกับความถี่ที่ 50 Hz จะได้ลูกคลื่น 2 ลูกครึ่ง ซึ่งจะเป็นสัญญาณที่อยู่ในช่วงของความถี่เดียวกันดังแสดงในรูปที่ 4.2 ทำให้สามารถตัดสินใจได้ว่าสัญญาณที่ตรวจวัดได้นั้นเป็นสัญญาณที่ถูกต้อง แต่ จากสัญญาณที่วัดได้นั้นจะเป็นสัญญาณคิซาร์จบางส่วนหรือไม่ ยังไม่สามารถสรุปได้จึงทำการขยายสัญญาณ เพื่อคำนวณหาความถี่ที่เกิดขึ้นต่อ ดังนี้



รูปที่ 4.3 การตัดสัญญาณจากค่า Sample rate 100 MS/s และ Sample to read 5M มา 1 ลูกคลื่น

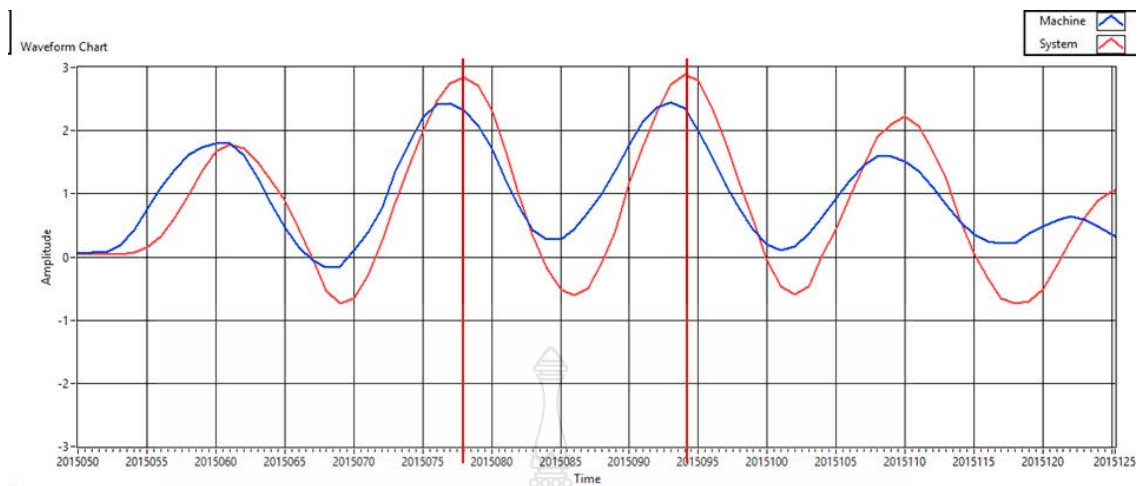


รูปที่ 4.4 การขยายสัญญาณจากค่า Sample rate 100 MS/s และ Sample to read 5M ครั้งที่ 1

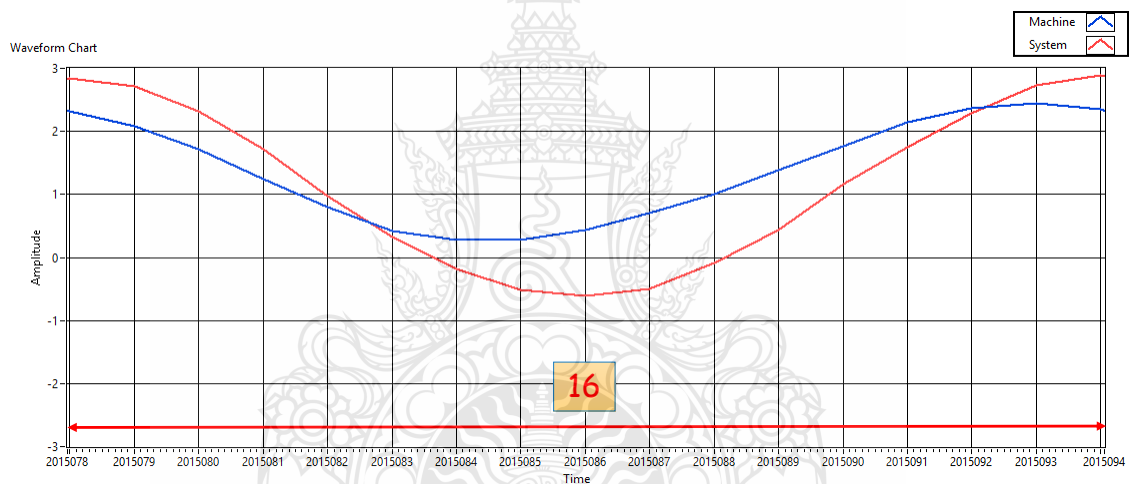


รูปที่ 4.5 การขยายสัญญาณจากค่า Sample rate 100 MS/s และ Sample to read 5M ครั้งที่ 2

จากการขยายสัญญาณความผิดปกติในรูปที่ 4.3 - 4.5 จะเห็นได้ว่าเส้นสีน้ำเงิน คือ สัญญาณของด้าน Machine และเส้นสีแดง คือ สัญญาณของด้าน System ซึ่งมีค่าสูงกว่าทางด้าน Machine อย่งเห็นได้ชัดและมีค่า Delay Time อยู่ที่ 11 nS จากเทคนิคของการตรวจสอบสัญญาณดิซาร์จบางส่วนด้วยวิธี Capacitor Couplers แบบ Directional 2 PD Sensor/Phase ซึ่งสามารถสรุปได้ว่าสัญญาณที่เกิดขึ้นนั้นไม่ใช่สัญญาณดิซาร์จบางส่วนจากเครื่องกำเนิดไฟฟ้าแน่นอน จากนั้นจึงทำการขยายสัญญาณเพื่อทำการวิเคราะห์หาความถี่ต่อ โดยทำการขยายสัญญาณช่วงยอด ถึงยอดของลูกคลื่นดังแสดงในรูปที่ 4.6



รูปที่ 4.6 ภาพขยายสัญญาณผิดปกติจากขอดถึงขอดเพื่อหาความถี่ที่ถูกต้อง ครั้งที่ 3



รูปที่ 4.7 ภาพขยายสัญญาณผิดปกติจากขอดถึงขอดเพื่อหาความถี่ที่ถูกต้อง ครั้งที่ 4

จากการขยายสัญญาณความผิดปกติในรูปที่ 4.7 จะเห็นว่าสัญญาณจากขอดถึงขอดนั้นมีข้อมูลทั้งหมดอยู่ที่ 16 ข้อมูลจึงทำการการคำนวณเพื่อหาความถี่ที่เกิดขึ้นดังนี้

จากจำนวนข้อมูลจากขอดถึงขอด 16 ข้อมูลจะได้

$$T = \frac{16}{100\text{MS}/s}$$

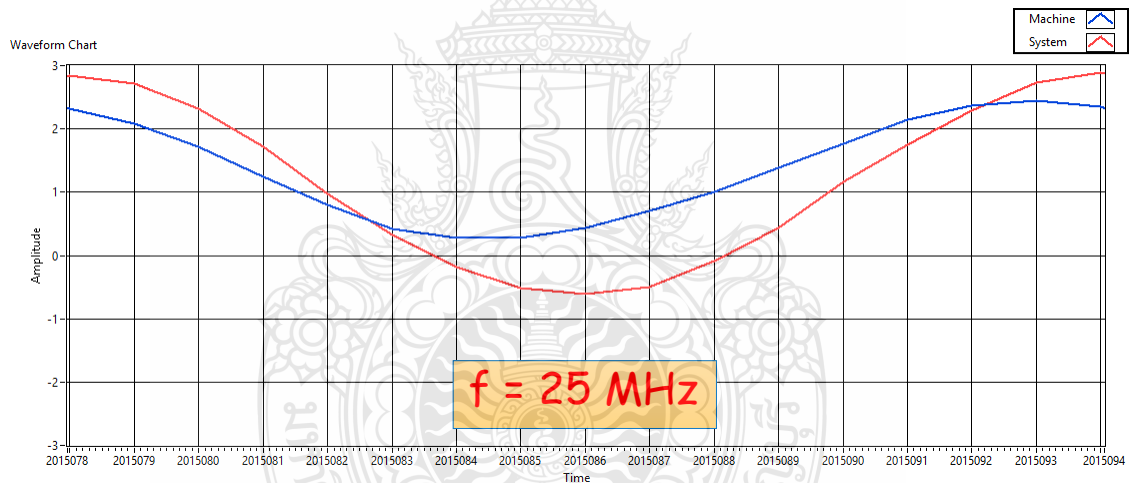
$$T = 160 \text{ nS}$$

และจากค่าของสัญญาณคิซาร์ข้างส่วนจะอยู่ในช่วง $1/(4 \times \text{Rise Time})$

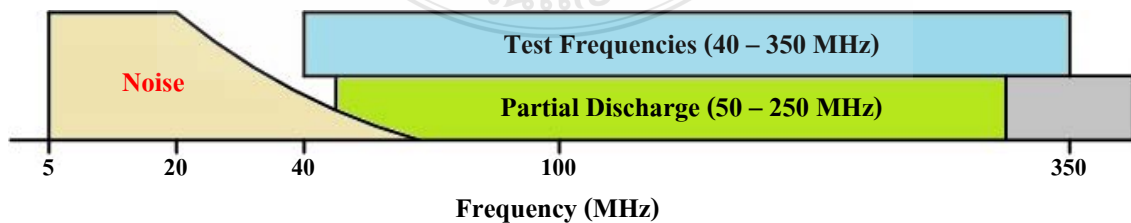
$$f_{PD} = \frac{1}{T} = \frac{1}{(4 \times \text{rise time})}$$

เพราะฉะนั้นจะได้ความถี่ที่เกิดขึ้นคือ

$$f = \frac{1}{160\text{nS}/4} = 25 \text{ MHz}$$



รูปที่ 4.8 สรุปลักษณะผิดปกติที่เกิดขึ้นมีความถี่ 25 MHz

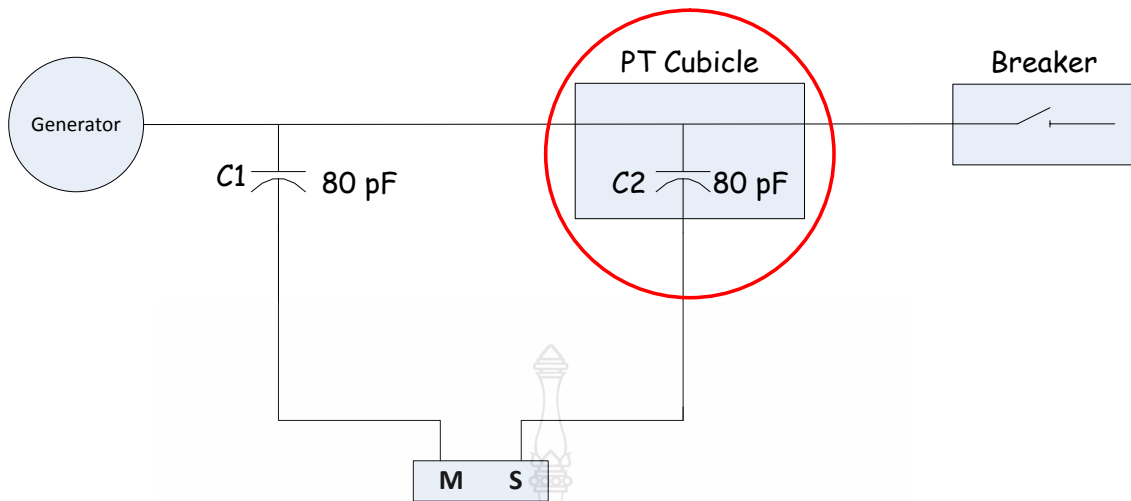


รูปที่ 4.9 ที่ความถี่ 25 MHz จะอยู่ในช่วงของสัญญาณรบกวน [10]

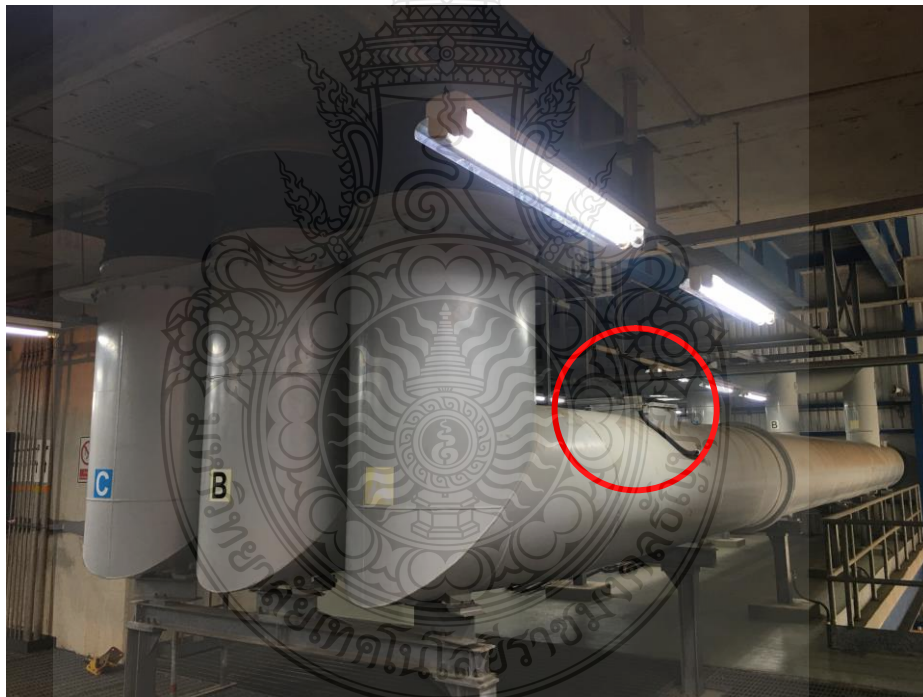
จากการคำนวณเพื่อหาความถี่ที่เกิดขึ้นสรุปได้ว่าสัญญาณที่เกิดขึ้นมีความถี่ 25 MHz และเมื่อทำการดูความถี่เปรียบเทียบกับรูปที่ 4.9 จะเห็นว่าที่ความถี่ 25 MHz นั้นเป็นความถี่ที่จัดอยู่ในช่วงของสัญญาณรบกวน [8] เมื่อนำผลการวิเคราะห์ที่ได้ไปเปรียบเทียบกับเครื่องมือวัดมาตรฐาน พบว่ามีผลการวิเคราะห์ไปในทิศทางเดียวกัน แล้วจะมีการตรวจสอบหน้างานในวันที่ 1 พฤศจิกายน 2017 เช่นเดียวกัน

4.2 ผลการตรวจสอบหาสาเหตุจากการวิเคราะห์

จากการทดสอบการเกิดสัญญาณดิสชาร์จบางส่วนในเครื่องกำเนิดไฟฟ้าพิกัด 21 kV จะเห็นได้ว่าผลการวัดสัญญาณดิสชาร์จบางส่วนที่สตรีมเทอร์ไบน์ 10 จากเครื่องมือวัดแบบมาตรฐานนั้นมีมุมเฟสการเกิดสัญญาณดิสชาร์จบางส่วนที่มุม 90° และ 270° ซึ่งทาง IRIS POWER ENGINEERING, INC. ได้สรุปข้อมูลดังกล่าวว่าเป็นมุมการเกิดที่แตกต่างจากรูปแบบปกติและได้ทำการวิเคราะห์ลักษณะการเกิดดิสชาร์จบางส่วนดังกล่าวว่า เกิดจาก Open air arc หรือ Corona และเมื่อเปรียบเทียบผลการวัดสัญญาณจากเครื่องมือวัดออสซิลโลสโคปความเร็วสูง ซึ่งเกิดขึ้นที่มุม 0° อันเป็นผลเนื่องมาจากคุณสมบัติของ Capacitor load และจาก EMC Reference ได้มีข้อเสนอแนะให้ทำการเลื่อนมุมเฟสไป 90° ตามทฤษฎี ดังนั้นจึงสามารถสรุปได้ว่า มุมของการเกิดดิสชาร์จบางส่วนที่วัดได้จากชุดวัดและบันทึกผลที่นำเสนอ เป็นมุมเดียวกันกับผลการวิเคราะห์จากเครื่องมือวัดมาตรฐาน คือมุม 90° และ 270° และสัญญาณที่เกิดขึ้นมีความถี่ 25 MHz ซึ่งเป็นความถี่ที่จัดอยู่ในช่วงของสัญญาณรบกวน และในวันที่ 1 พฤศจิกายน 2560 ที่ผ่านมาได้มีงาน Minor Inspection สตรีมเทอร์ไบน์ 10 จึงได้ทำการตรวจสอบหาสาเหตุการเกิดสัญญาณผิดปกติ และมุ่งประเด็นไปในจุดที่ในส่วนของ System ในส่วนของจุดต่อทาง System C2 พบว่า ดังแสดงในรูปที่ 4.10

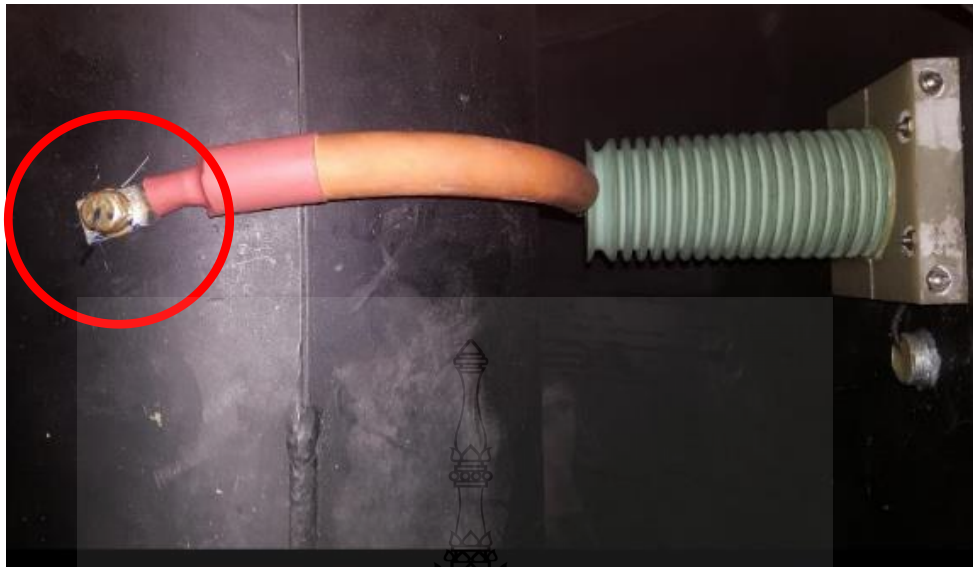


รูปที่ 4.10 จุดที่ทำการตรวจสอบหาสาเหตุของสัญญาณรบกวน



รูปที่ 4.11 จุดที่ทำการตรวจสอบหาสาเหตุที่สตริมเทอร์มิสเตอร์ 10 เฟส A

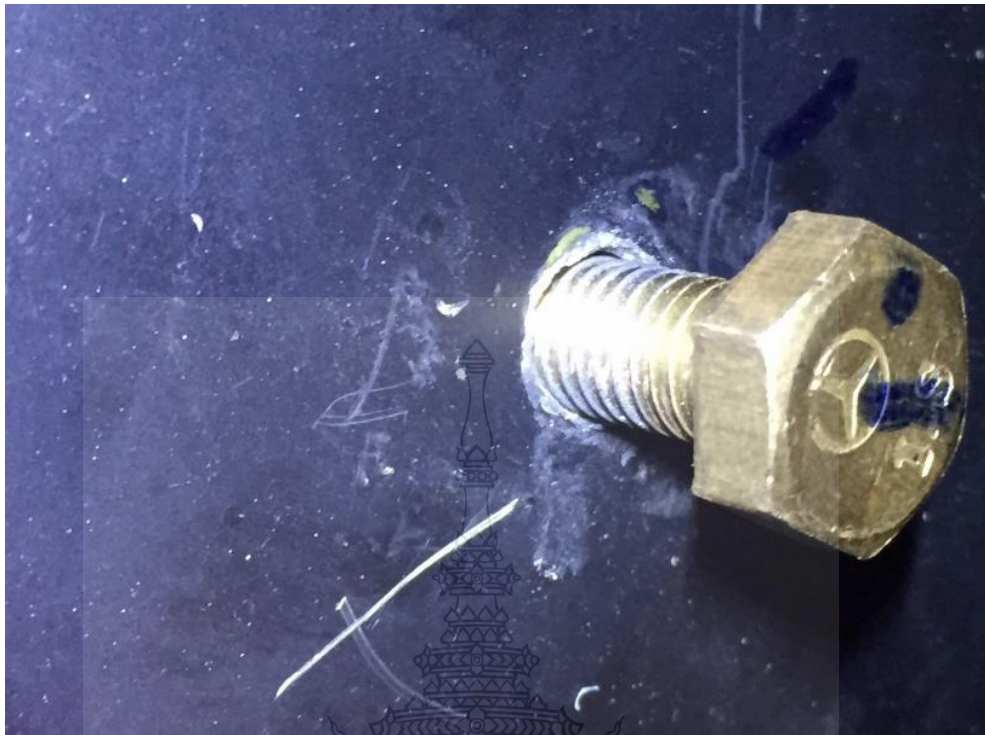
จากรูปที่ 4.11 จะแสดงรูปการตรวจสอบที่หน้างานของจุดที่ทางบำรุงรักษาได้ทำการตรวจสอบหาสาเหตุของสัญญาณผิดปกติ และสามารถเจอที่มาของสาเหตุของการเกิดสัญญาณดังแสดงในรูปที่ 4.12 - 4.13



รูปที่ 4.12 จุดที่พบสาเหตุของการเกิดสัญญาณผิดปกติที่สตรัทรีเมอร์ 10 เฟส A



รูปที่ 4.13 จุดที่เกิดความเสียหายของรู Isolated Phase Bus ที่ทำการการตัดเปลี่ยนไม่ดี



รูปที่ 4.14 สาเหตุที่มาของสัญญาณผิดปกติที่สตรัมเทอร์ไบน์ 10 เฟส A

จากรูปที่ 4.14 จะเห็นได้จากการตรวจสอบหาสาเหตุหน้างานนั้น พบว่า สาเหตุที่มาของสัญญาณผิดปกตินั้น เกิดจากการเจาะรูแล้วทำการตีปเกลียวไม่ดี เนื่องจากเวลาเครื่องกำเนิดไฟฟ้าใช้งานอยู่ จะมีทั้งความร้อนและ Vibration ตลอดเวลาจึงทำให้เกิดความเสียหาย หลังจากทำการตรวจสอบหาสาเหตุของสัญญาณผิดปกติเป็นที่เรียบร้อยแล้ว ได้ทำการแก้ไข โดยการเพิ่มขนาดของน็อตตัวผู้ให้ใหญ่ขึ้น ดังรูปที่ 4.15 พร้อมทั้งทำการขยาย Isolated Phase Bus เพื่อทำการตีปเกลียวใหม่จากนั้นก็ทำการติดตั้งใหม่เพื่อเตรียมความพร้อมของการใช้งานของชุดตรวจวัดสัญญาณก่อน Start up เครื่องกำเนิดไฟฟ้าดังรูปที่ 4.16



รูปที่ 4.15 การเพิ่มขนาดน็อตให้ใหญ่ขึ้นเพื่อแก้ไขปัญหที่สตริมเทอร์มินัล 10 เฟส A



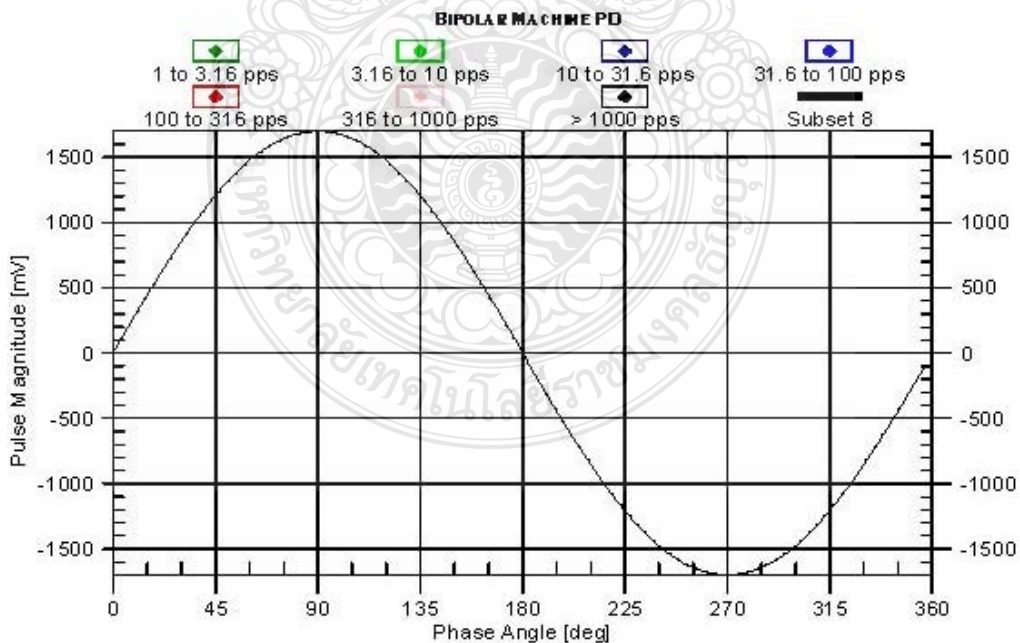
รูปที่ 4.16 การแก้ไขหลังจากตรวจพบสาเหตุที่สตริมเทอร์มินัล 10 เฟส A

ภายหลังจากการตรวจสอบหาสาเหตุ และ ทำการแก้ไขสามารถสรุปได้ว่า สาเหตุดังกล่าวเกิดจากความผิดพลาดในการติดตั้ง และได้มีกำหนดการตรวจสอบในวันที่ 24 พฤศจิกายน 2560 ด้วยเครื่องมือวัดมาตรฐานอีกครั้ง

ตารางที่ 4.4 ผลการทดสอบหลังจากที่ได้ทำการติดตั้ง Capacitor Couplers ที่ STG10 ครั้งที่ 4
STG10

Rated (V)	>19 kV	ปี 2017					
H ₂ (Psig)	31-50	Phase	NQN+	NQN-	Qm+	Qm-	Status
Negligible	22	A	N/A	N/A	N/A	N/A	Negligible
Low	49	B	N/A	N/A	N/A	N/A	Negligible
Typical	90	C	N/A	N/A	N/A	N/A	Negligible
Moderate	154						
High	224						

จากตารางที่ 4.4 จะเห็นได้ว่าหลังจากการแก้ไข ได้มีการตรวจวัดเพื่อหาสัญญาณความผิดปกติอีกครั้งในวันที่ 24 พฤศจิกายน 2017 ซึ่งจากตารางแสดงผลจะเห็นได้ว่าค่าที่วัดได้เมื่อเทียบกับตารางฐานข้อมูลแล้วจะเห็นได้ว่า ไม่พบสัญญาณผิดปกติ และได้แสดงผลในรูปของ Phase Angle ก็ไม่พบความผิดปกติแต่อย่างใดดังแสดงในรูปที่ 4.17 และจาก Data Report ในวันที่ 24 พฤศจิกายน 2017 จากบริษัท IRIS ดังรูปที่ 4.18



รูปที่ 4.17 ผลการทดสอบด้วยเครื่องมือวัดมาตรฐาน TGA-B หลังจากการแก้ไข [13]

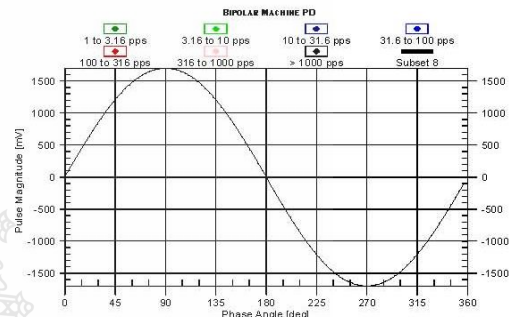
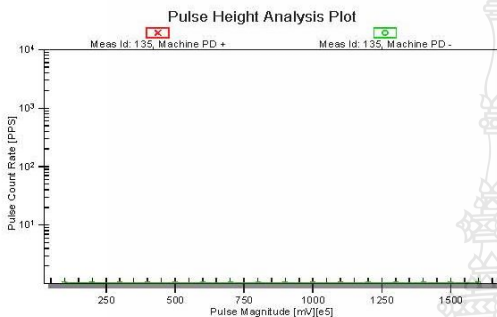
Pulse Height and Pulse Phase Analysis ABC Combo for C1 only



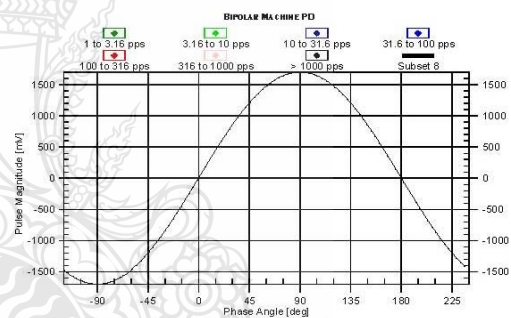
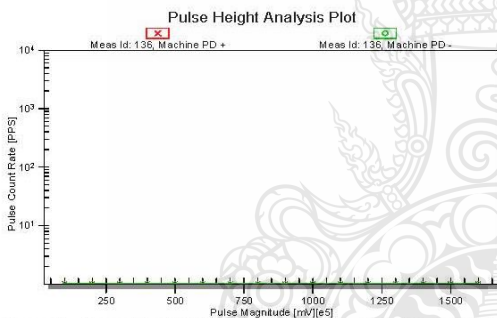
Asset Name: STG10

Folder: Ratchaburi Power\, Asset Class: Hydro Generator

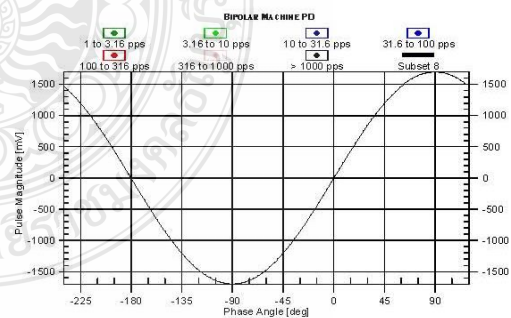
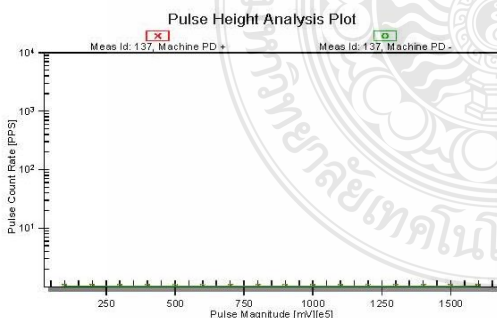
Operating Load: N/A, Reactive Load: N/A, Operating Asset Temp: N/A, Operating Voltage: N/A
 Ambient Temp: 30 deg C, Ambient Humidity: 66.00 % Freq. (Test Duration): 50 Hz, (5 sec.)



Phase: A, Sensor(s): A-M1A-S1, Ref. Angle: 90, Delay Time: 11 [ns] Start Time: 11/24/2017 11:55:28, Status: UND
 Machine: NQN+ N/A, NQN- N/A, Qm+ N/A, Qm- N/A



Phase: B, Sensor(s): B-M2B-S2, Ref. Angle: 90, Delay Time: 10 [ns] Start Time: 11/24/2017 11:57:22, Status: Good
 Machine: NQN+ N/A, NQN- N/A, Qm+ N/A, Qm- N/A



Phase: C, Sensor(s): C-M3C-S3, Ref. Angle: 90, Delay Time: 10 [ns] Start Time: 11/24/2017 11:59:16, Status: Good
 Machine: NQN+ N/A, NQN- N/A, Qm+ N/A, Qm- N/A

Iris Power LP, 3110 American Dr., Mississauga, On, Canada L4V 1T2, Phone: +1 (905)-677-4824, Fax: +1 (905) 677-8498

รูปที่ 4.18 Data Report STG 10 ในวันที่ 24 พฤศจิกายน 2017

4.3 สรุปผลการวิเคราะห์

จากผลการวิเคราะห์ข้อมูลของทาง IRIS และจากเครื่องมือวัดที่ทางทีมผู้วิจัยได้ทำการออกแบบและทดสอบ จะเห็นได้ว่าทั้ง 2 วิธีนั้น ผลที่ได้จากการวิเคราะห์นั้นเป็นไปในทิศทางเดียวกัน และจากการตรวจสอบเครื่องกำเนิดไฟฟ้าสตริมเทอร์ไบน์ 10 นั้นก็เป็นไปตามที่ทาง IRIS และทางทีมผู้วิจัยได้สรุปและวิเคราะห์ข้อมูลการเกิดสัญญาณดังกล่าว ซึ่งจะสรุปผลการวิจัยและนำเสนอในบทถัดไป



บทที่ 5

ผลการวิจัยและข้อเสนอแนะ

5.1 สรุปผลการวิจัย

จากการศึกษา และ ทดสอบการเกิดสัญญาณดิสชาร์จบางส่วนในเครื่องกำเนิดไฟฟ้าพิกัด 21 kV ด้วยวิธีการติดตั้งแบบ Directional 2 PD Sensor/Phase ที่แก๊สเทอร์ไบน์ และสตริมเทอร์ไบน์ จะเห็นได้ว่าผลการวัดสัญญาณดิสชาร์จบางส่วนที่สตริมเทอร์ไบน์ 10 จากเครื่องมือวัดแบบมาตรฐาน นั้นพบสัญญาณดิสชาร์จบางส่วนที่มุม 90° และ 270° ซึ่งทาง IRIS POWER ENGINEERING, INC. ได้สรุปข้อมูลดังกล่าวว่า เป็นมุมการเกิดที่แตกต่างจากรูปแบบปกติและได้ทำการวิเคราะห์ลักษณะการเกิดดิสชาร์จบางส่วนดังกล่าวว่า เกิดจาก Open air arc หรือ Corona และเมื่อเปรียบเทียบผลการวัดสัญญาณจากเครื่องมือวัดออสซิลโลสโคปความเร็วสูง ซึ่งเกิดขึ้นที่มุม 0° และเกิดขึ้นซ้ำกันทุก 1 ไมโครวินาทีเป็นผลเนื่องมาจากคุณสมบัติของ Capacitor load นั้นกระแสไฟฟ้าจะนำหน้าความต่างศักย์เป็นมุม 90° จาก EMC Reference ได้มีข้อเสนอแนะให้ทำการเลื่อนมุมเฟสไป 90° ตามทฤษฎี ดังนั้นจึงสามารถสรุปได้ว่า มุมของการเกิดดิสชาร์จบางส่วนที่วัดได้จากชุดวัดและบันทึกผลที่น่าเสนอ เป็นมุมเดียวกันกับผลการวิเคราะห์จากเครื่องมือวัดมาตรฐาน คือมุม 90° และ 270° และสัญญาณที่เกิดขึ้นมีความถี่ 25 MHz ซึ่งเป็นความถี่ที่จัดอยู่ในช่วงของสัญญาณรบกวน และจากการตรวจสอบหาสาเหตุของสัญญาณผิดปกติพบว่า สาเหตุดังกล่าวอยู่ในส่วนของด้าน System ที่เกิดขึ้นจากความผิดพลาดในการติดตั้ง

5.2 ข้อเสนอแนะ

จากผลการทำวิทยานิพนธ์เรื่องการตรวจจับสัญญาณดิสชาร์จบางส่วนในเครื่องกำเนิดไฟฟ้า พิกัด 21 kV กรณีศึกษาเครื่องกำเนิดไฟฟ้า ณ โรงไฟฟ้าพลังงานความร้อนร่วมของบริษัทราชบุรี เพาเวอร์ จำกัด ผู้วิจัยมีข้อเสนอแนะดังนี้

5.2.1 ชุดเครื่องมือวัดและบันทึกผลที่น่าเสนอ สามารถนำไปออกแบบ เพื่อใช้ทดแทนการตรวจสอบด้วยเครื่องมือวัดมาตรฐานได้

5.2.2 เป็นวิธีการที่ไม่ซับซ้อน นำไปใช้เพื่อการบำรุงรักษาเชิงป้องกัน

5.2.3 สามารถลดจำนวนครั้งในการใช้เครื่องมือมาตรฐาน

5.2.4 สามารถลดค่าใช้จ่าย และ ลดเวลาในการวิเคราะห์ข้อมูล

5.3 งานวิจัยที่เกี่ยวข้องในอนาคต

ในการทำงานวิจัยครั้งนี้มุ่งเน้นไปที่การออกแบบเครื่องมือวัดที่สามารถทำการตรวจสอบและวิเคราะห์ข้อมูลในเบื้องต้น เพื่อทำการหาข้อมูลถึงที่มาที่ไปของผลการวัดจากผู้เชี่ยวชาญ และจากค่า Sampling rate และ Sampling to read ที่ได้ออกแบบและวิเคราะห์นั้นสามารถสรุปได้ว่า ผลการทดสอบและวิเคราะห์นั้นเป็นไปในทิศทางเดียวกันกับเครื่องมือวัดมาตรฐาน ซึ่งในงานวิจัยต่อไปนี้น่าจะนำข้อมูลพื้นฐานจากงานวิจัยนี้ไปสร้างเครื่องมือวัดที่มีราคาถูกลงกว่า เครื่องมือวัดมาตรฐาน และที่สำคัญที่สุดจะต้องสามารถวิเคราะห์ข้อมูลเบื้องต้นได้ เพื่อเป็นเครื่องมือที่ใช้ในการบำรุงรักษาเครื่องกำเนิดไฟฟ้าในอนาคต ต่อไป



บรรณานุกรม

- [1] นรเศรษฐ พัฒนเดช และ ธเนศ วอทอง “การตรวจสอบฝ้าติดตามการเกิดคิสซาร์จบางส่วนของเครื่องกำเนิดไฟฟ้ากระแสสลับแบบซิงโครนัส ขนาด 15.75 kV 211.75 MVA” The 31st Electrical Engineering Conference (EECON-31) หน้า 243-246.
- [2] G. Ujvari, G. Pascoil, C. Kral, C. Kollmitzer “Partial Discharge Pattern Recognition Algorithm for Turbo Generator Monitoring” 5th IEEE International Symposium on Diagnostics for Electric Machines, Power Electronics and Drives, pp.1-6, Sept 2005.
- [3] Gert Pascoli, Wolfgang Hribernik, Gusztav Ujvari, Bernhard Fruth “Partial Discharge Diagnosis of Generator Insulation System – Measurement, Simulation and Picture Recognition” IEEE International Symposium on Diagnostics for Electric Machines, Power Electrical and Drives, pp.475-479, Sept 2007.
- [4] Hee-Sang Shin, Jae-Chul Kim “A study on partial discharge signals and noises at on-line generator stator windings” Transmission & Distribution Conference & Exposition: Asia and Pacific, pp.1-4, Oct 2009.
- [5] P. G. S. Kumar, J. Amarnath, B. P. Singh “Partial Discharge in Stator Winding Insulation of Turbine Generators – A case study and remedies”, pp.1-5, Dec 2011.
- [6] Djoko Darwanto, Deny Hamdani, Didik Dwi Hariyanto, Otto Hari Karyawan “Statistical analysis of partial discharge characteristics for predictive maintenance of generator of geothermal power plant” IEEE International Conference on Condition Monitoring and Diagnosis, pp.1003-1006, Dec 2011.
- [7] สํารวย สัจจ์สะอาด. 2549. วิศวกรรมไฟฟ้าแรงสูง. พิมพ์ครั้งที่ 3, ภาควิชาวิศวกรรมไฟฟ้า คณะวิศวกรรมศาสตร์, จุฬาลงกรณ์มหาวิทยาลัย, กรุงเทพฯ.
- [8] IEEE 1434:2014, “ IEEE Guide for the Measurement of Partial Discharges in AC Electrical Machinery.”
- [9] IEC 60034-27, Clause 5 Measuring Tech & Instruments
- [10] IRIS POWER. PD Seminar – Module 1: Basic PD Theory, Detection and Characteristics.
- [11] V. Warren and H. Sedding, Qualitrol - Iris Power, Partail Discharge Testing: A Progress Report Hydrogen-Cooled Windings.

บรรณานุกรม (ต่อ)

[12] IRIS POWER PD Seminar – Module 4: Data Collection Using TGA/PDA-IV Instruments.

[13] Power Testing Product “Partial Discharge Report Executive Summary” 24th Feb 2017.



ภาคผนวก



ภาคผนวก ก

DEVICE SPECIFICATIONS NI PXIe-5160



DEVICE SPECIFICATIONS

NI PXIe-5160

2.5 GS/s, 10-Bit Digitizer

This document lists the specifications for the NI PXIe-5160, 500 MHz digitizer.

Unless otherwise noted, the following conditions were used for each specification:

- All vertical ranges
- All bandwidths and bandwidth limit filters
- Sample rate set to 1.25 GS/s or 2.5 GS/s
- Onboard Sample clock locked to onboard Reference clock

Warranted specifications describe the warranted, traceable product performance over ambient temperature ranges of 0 °C to 45 °C and include guardband for measurement uncertainty, unless otherwise noted. Specifications are warranted under the following conditions:

- The NI 5160 module is warmed up for 15 minutes at ambient temperature
- Self-calibration is completed after warm-up period
- Calibration cycle is maintained
- The PXI Express chassis fan speed is set to HIGH, the foam fan filters are removed if present, and the empty slots contain PXI chassis slot blockers and filler panels. For more information about cooling, refer to the *Maintain Forced-Air Cooling Note to Users* document available at ni.com/manuals.
- NI-SCOPE 4.1 or later instrument driver is used
- External calibration is performed at 23 °C ± 3 °C

Typical specifications are unwarranted values that are representative of measurements taken during development or production and cover the expected performance of units over ambient temperature ranges of 0 °C to 45 °C with a 90% confidence level.

Characteristic values (or supplemental information) describe additional information about the product that may be useful, including expected performance that is not covered under *Warranted* or *Typical* values.

Specifications are subject to change without notice. For the most recent NI 5160 specifications, visit ni.com/manuals.



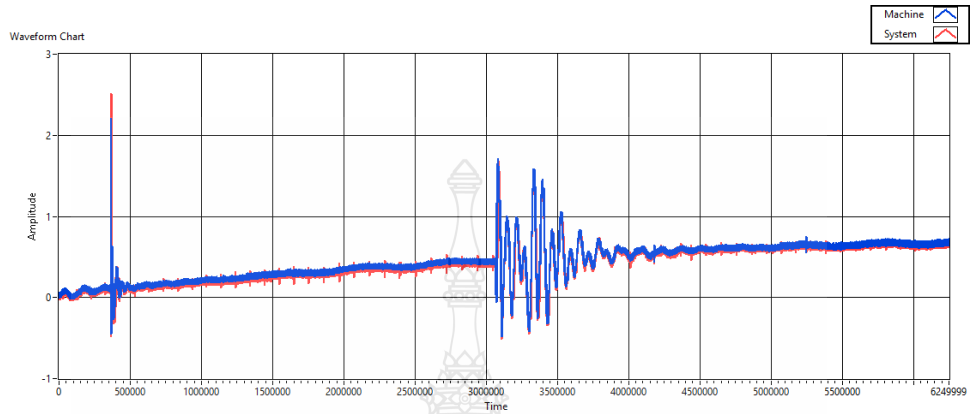
ภาคผนวก ข

ผลการทดสอบด้วยด้วยออสซิลโลสโคปความเร็วสูงที่ STG10 ทั้ง 3 เฟส

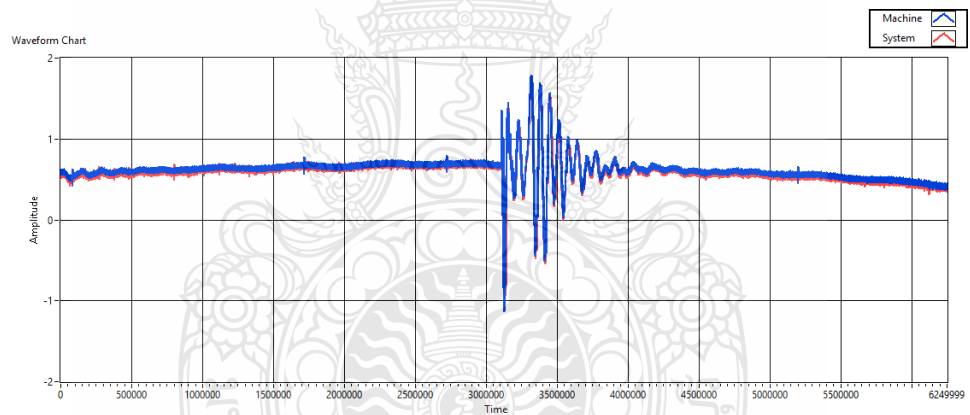


การทดสอบด้วยออสซิลโลสโคปความเร็วสูงที่ STG10 เฟส A

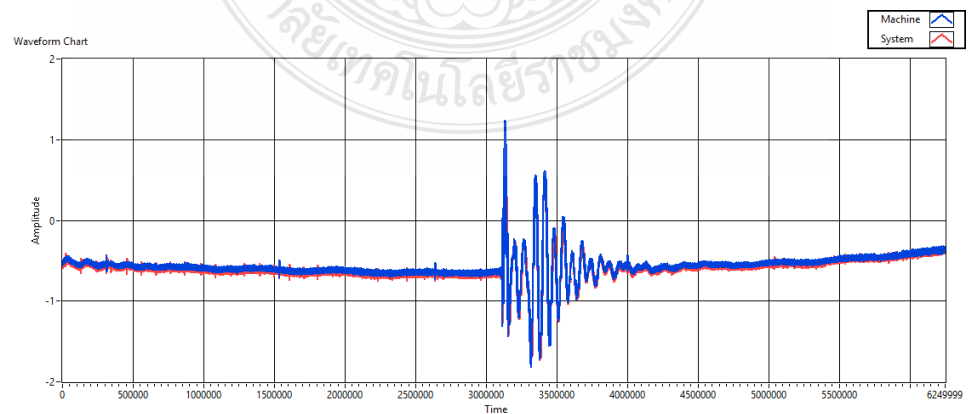
ผลการทดสอบด้วยค่า Sample rate ที่ 1GS/s และ Sample to read ที่ 5M ครั้งที่ 1



ผลการทดสอบด้วยค่า Sample rate ที่ 1GS/s และ Sample to read ที่ 5M ครั้งที่ 2

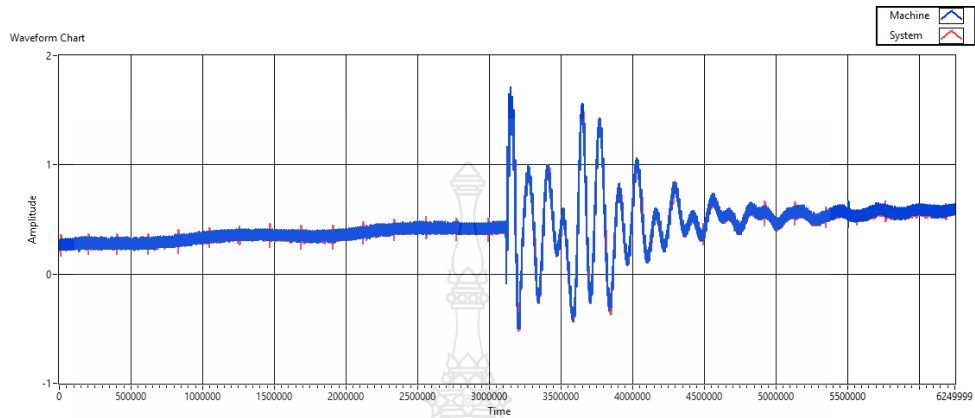


ผลการทดสอบด้วยค่า Sample rate ที่ 1GS/s และ Sample to read ที่ 5M ครั้งที่ 3

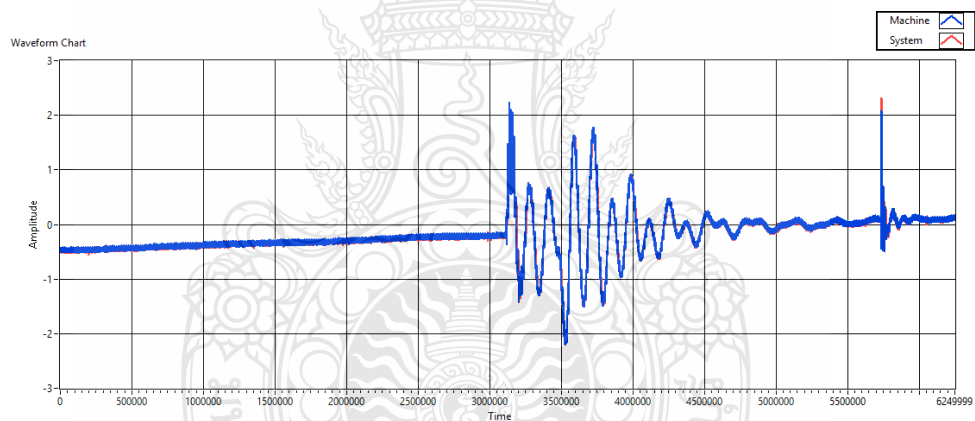


การทดสอบด้วยออสซิลโลสโคปความเร็วสูงที่ STG10 เฟส A

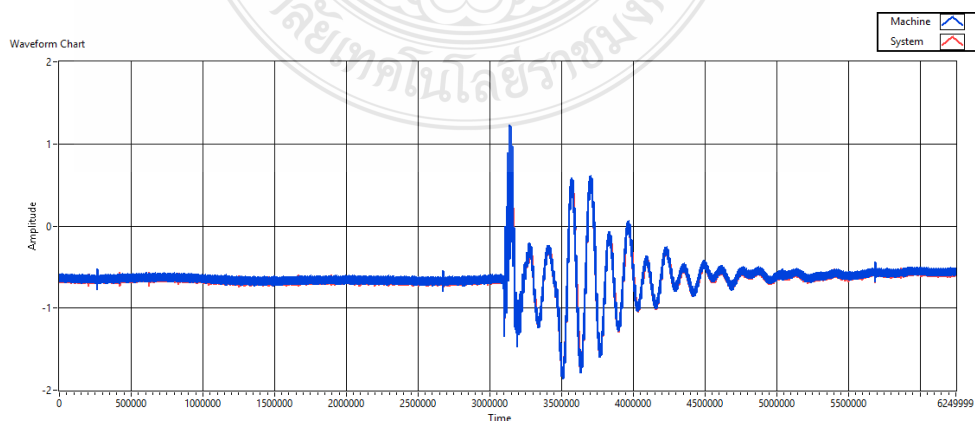
ผลการทดสอบด้วยค่า Sample rate ที่ 2GS/s และ Sample to read ที่ 5M ครั้งที่ 1



ผลการทดสอบด้วยค่า Sample rate ที่ 2GS/s และ Sample to read ที่ 5M ครั้งที่ 2

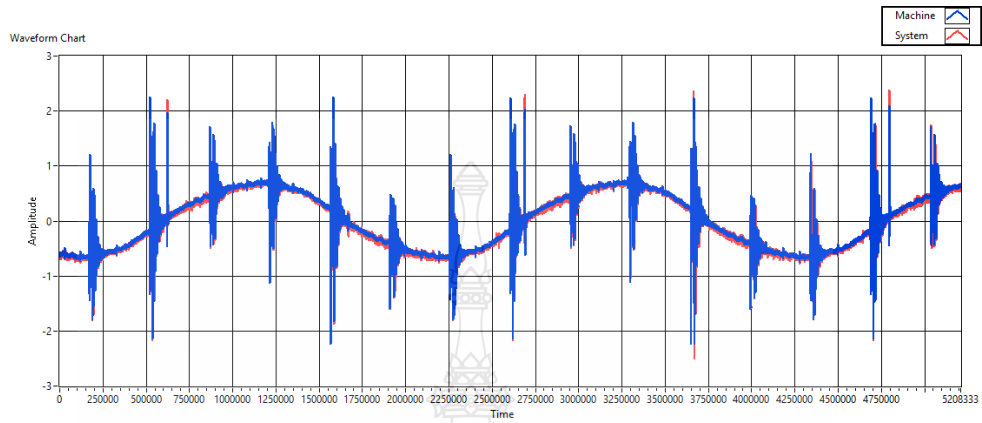


ผลการทดสอบด้วยค่า Sample rate ที่ 2GS/s และ Sample to read ที่ 5M ครั้งที่ 3

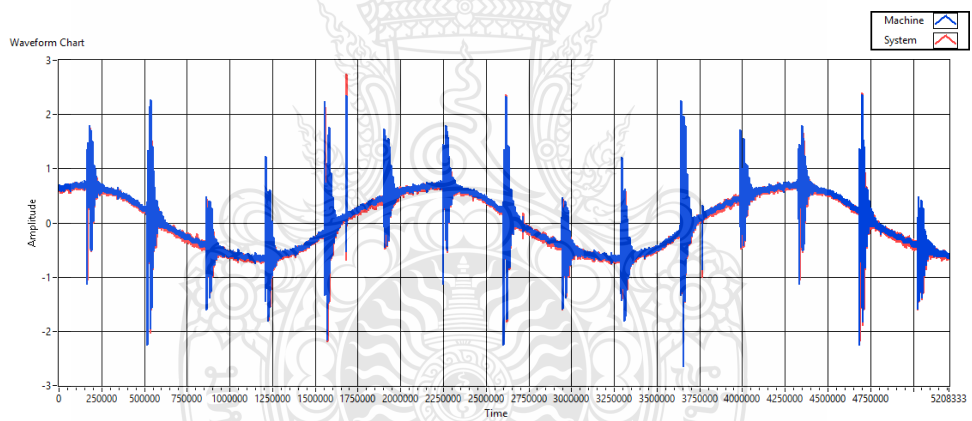


การทดสอบด้วยออสซิลโลสโคปความเร็วสูงที่ STG10 เฟส A

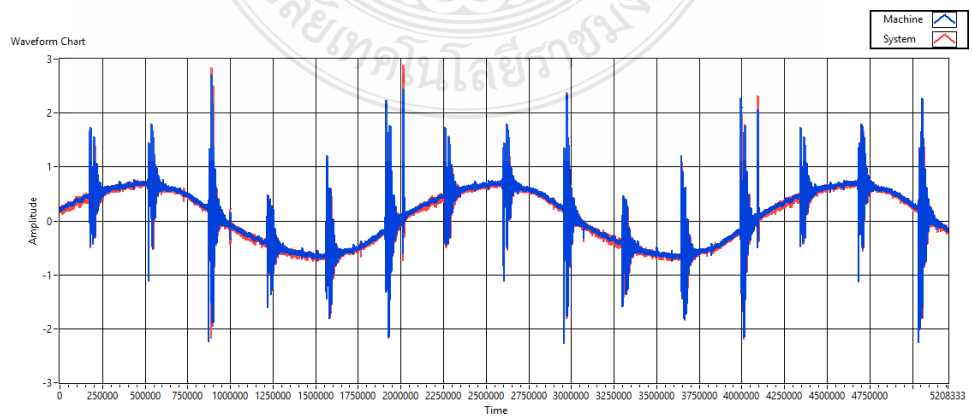
ผลการทดสอบด้วยค่า Sample rate ที่ 100MS/s และ Sample to read ที่ 5M ครั้งที่ 1



ผลการทดสอบด้วยค่า Sample rate ที่ 100MS/s และ Sample to read ที่ 5M ครั้งที่ 2

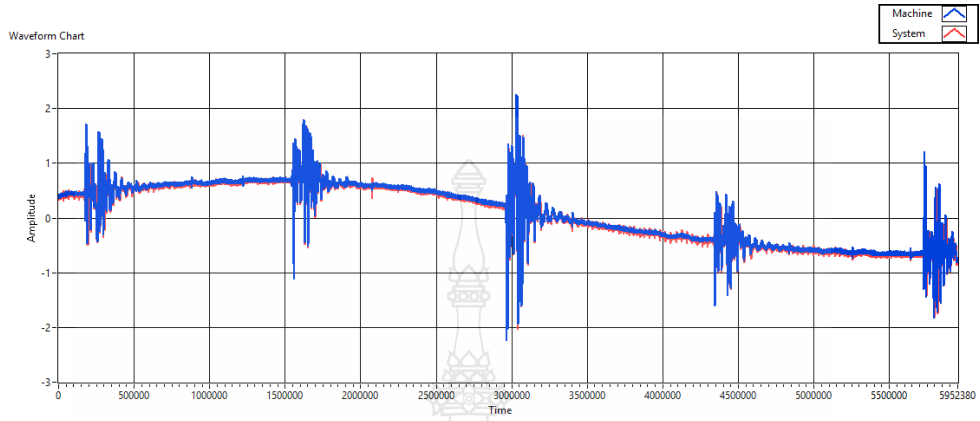


ผลการทดสอบด้วยค่า Sample rate ที่ 100MS/s และ Sample to read ที่ 5M ครั้งที่ 3

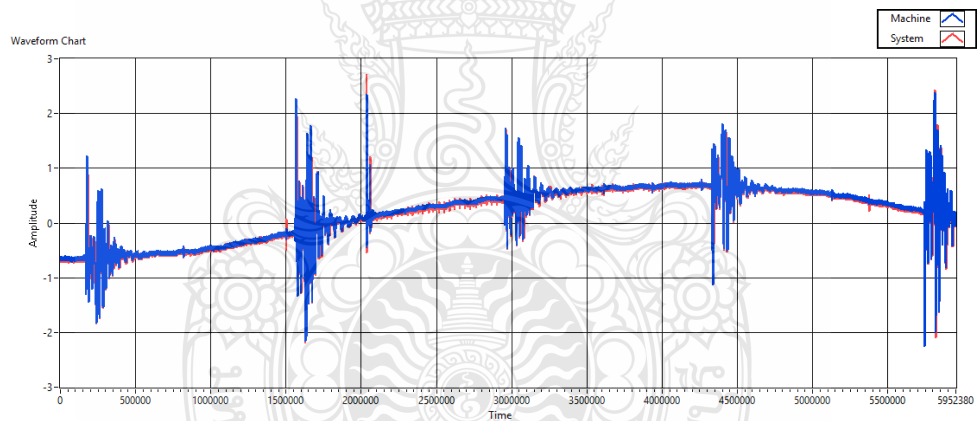


การทดสอบด้วยออสซิลโลสโคปความเร็วสูงที่ STG10 เฟส A

ผลการทดสอบด้วยค่า Sample rate ที่ 100MS/s และ Sample to read ที่ 10M ครั้งที่ 1

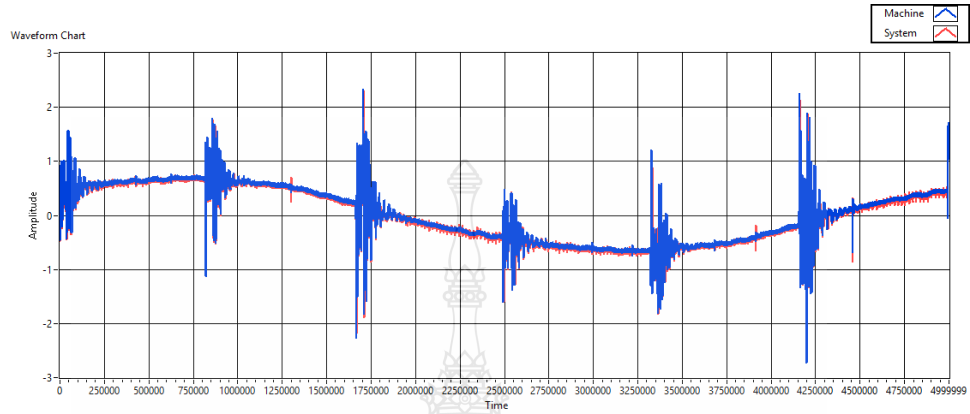


ผลการทดสอบด้วยค่า Sample rate ที่ 100MS/s และ Sample to read ที่ 10M ครั้งที่ 2

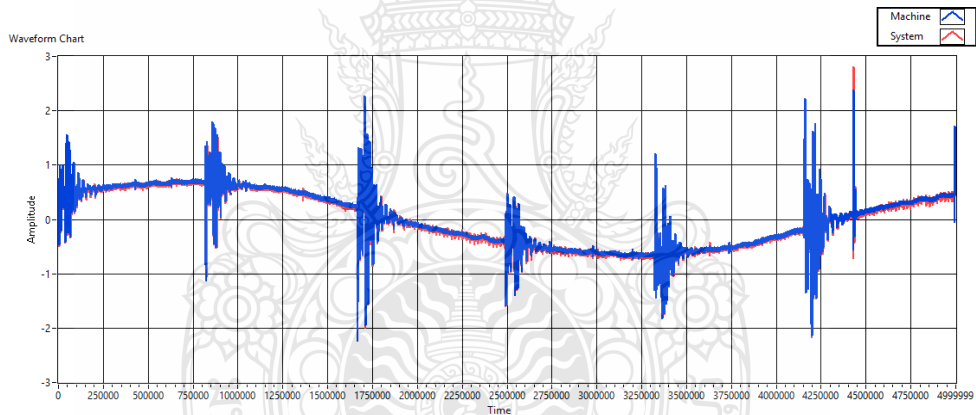


การทดสอบด้วยออสซิลโลสโคปความเร็วสูงที่ STG10 เฟส A

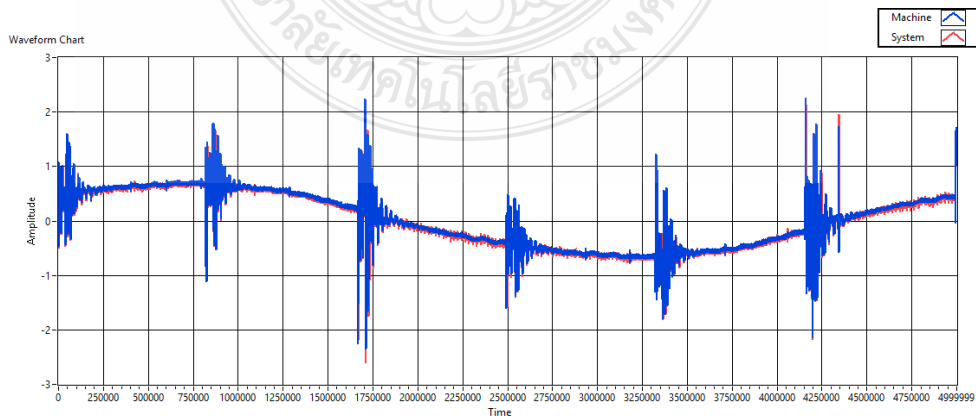
ผลการทดสอบด้วยค่า Sample rate ที่ 250MS/s และ Sample to read ที่ 5M ครั้งที่ 1



ผลการทดสอบด้วยค่า Sample rate ที่ 250MS/s และ Sample to read ที่ 5M ครั้งที่ 2

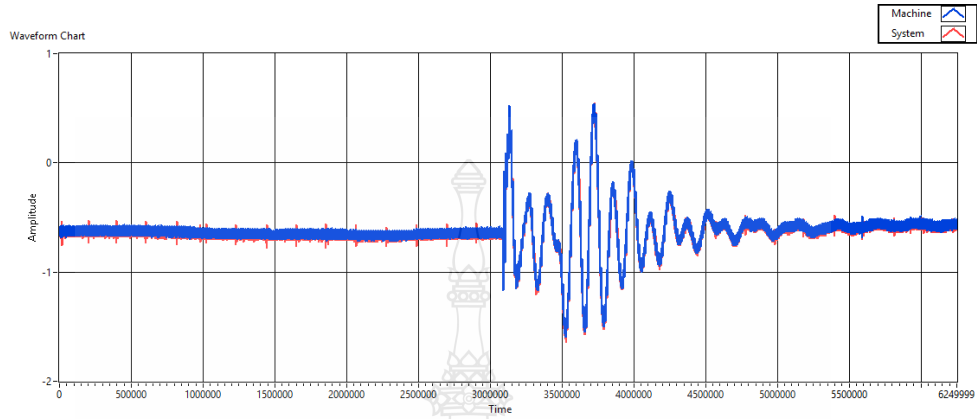


ผลการทดสอบด้วยค่า Sample rate ที่ 250MS/s และ Sample to read ที่ 5M ครั้งที่ 3

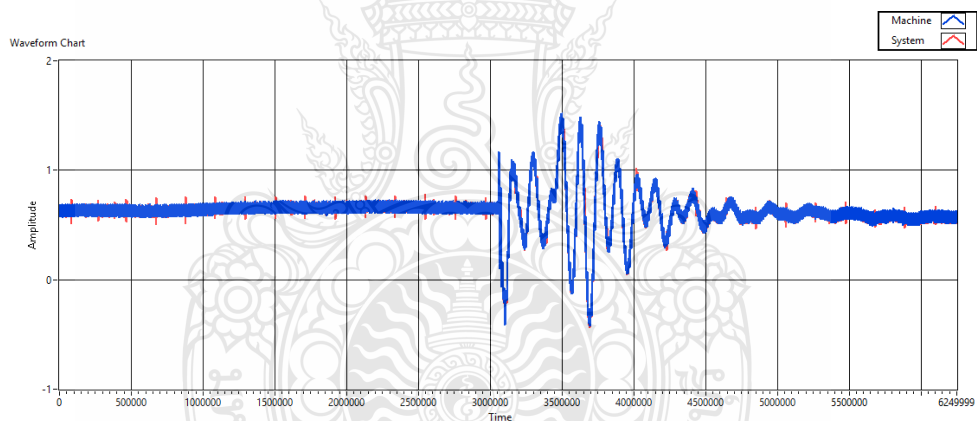


การทดสอบด้วยออสซิลโลสโคปความเร็วสูงที่ STG10 เฟส B

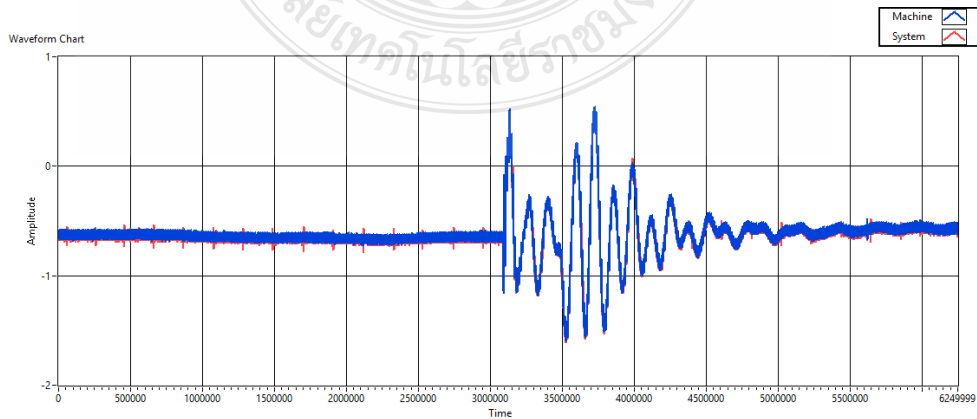
ผลการทดสอบด้วยค่า Sample rate ที่ 2GS/s และ Sample to read ที่ 5M ครั้งที่ 1



ผลการทดสอบด้วยค่า Sample rate ที่ 2GS/s และ Sample to read ที่ 5M ครั้งที่ 2

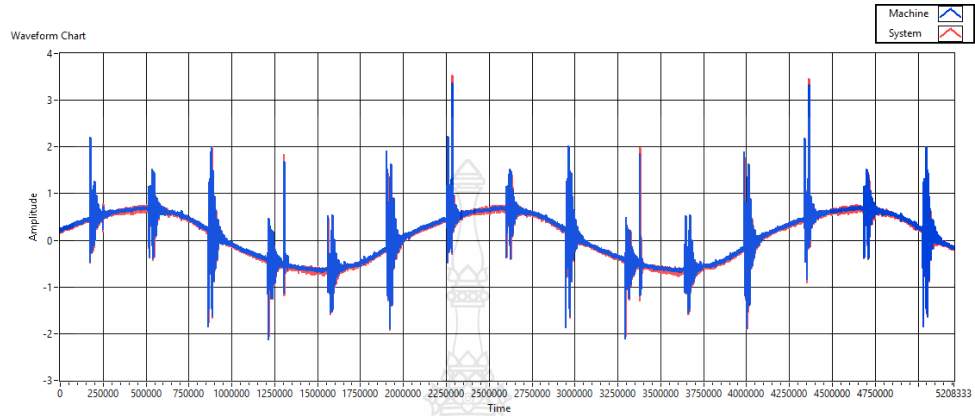


ผลการทดสอบด้วยค่า Sample rate ที่ 2GS/s และ Sample to read ที่ 5M ครั้งที่ 3

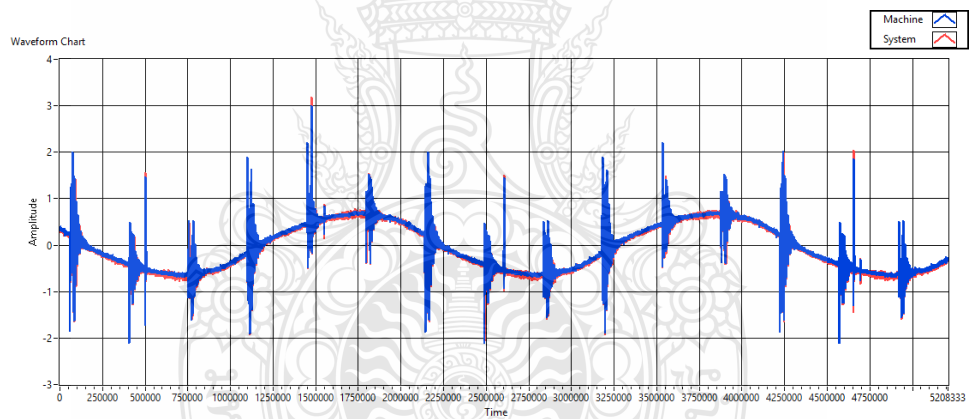


การทดสอบด้วยออสซิลโลสโคปความเร็วสูงที่ STG10 เฟส B

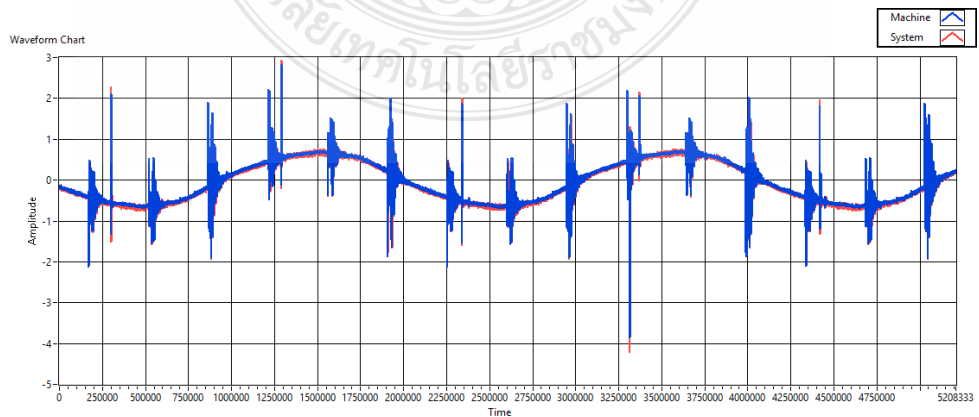
ผลการทดสอบด้วยค่า Sample rate ที่ 100MS/s และ Sample to read ที่ 5M ครั้งที่ 1



ผลการทดสอบด้วยค่า Sample rate ที่ 100MS/s และ Sample to read ที่ 5M ครั้งที่ 2

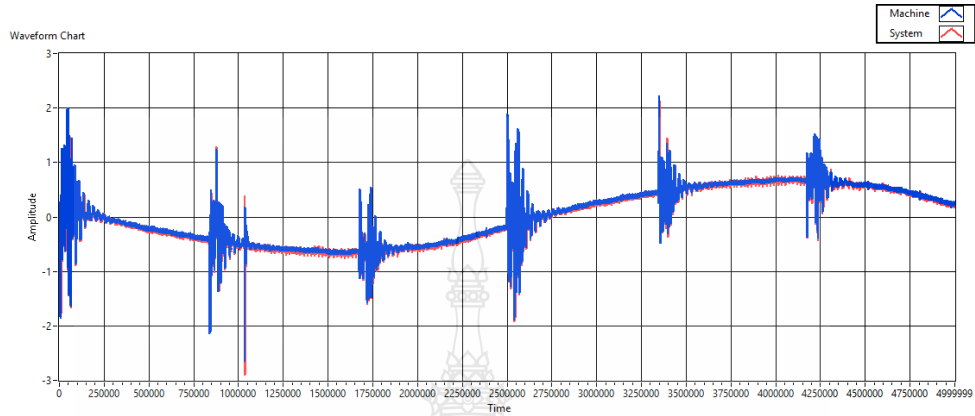


ผลการทดสอบด้วยค่า Sample rate ที่ 100MS/s และ Sample to read ที่ 5M ครั้งที่ 3

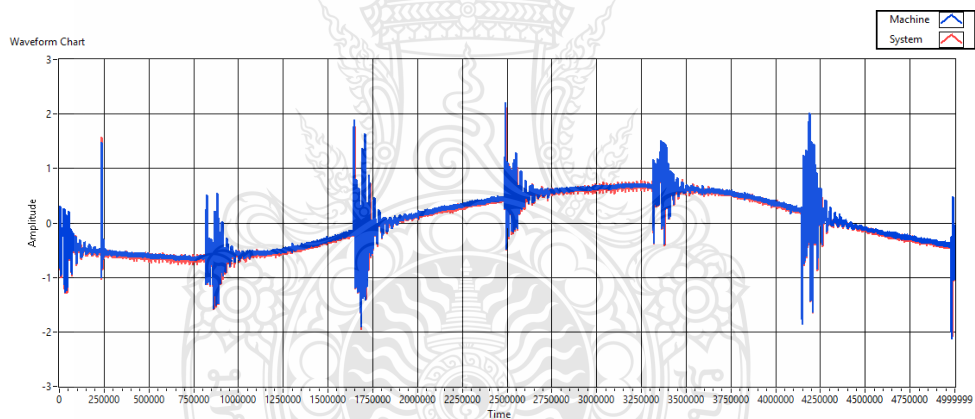


การทดสอบด้วยออสซิลโลสโคปความเร็วสูงที่ STG10 เฟส B

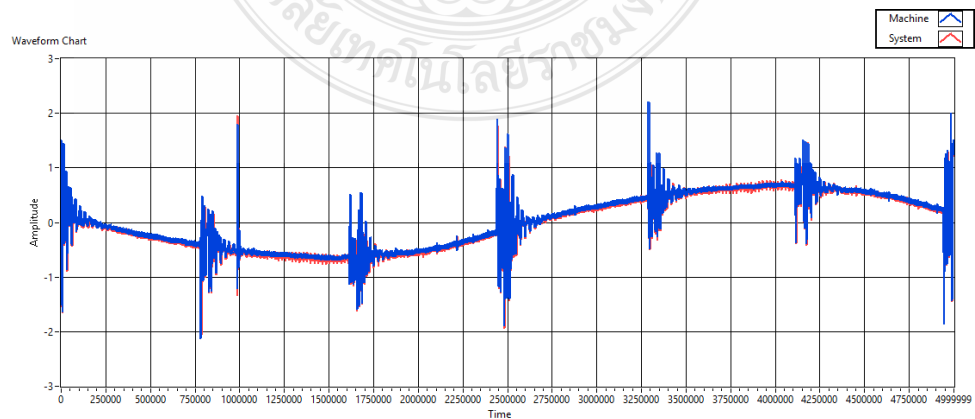
ผลการทดสอบด้วยค่า Sample rate ที่ 250MS/s และ Sample to read ที่ 5M ครั้งที่ 1



ผลการทดสอบด้วยค่า Sample rate ที่ 250MS/s และ Sample to read ที่ 5M ครั้งที่ 2

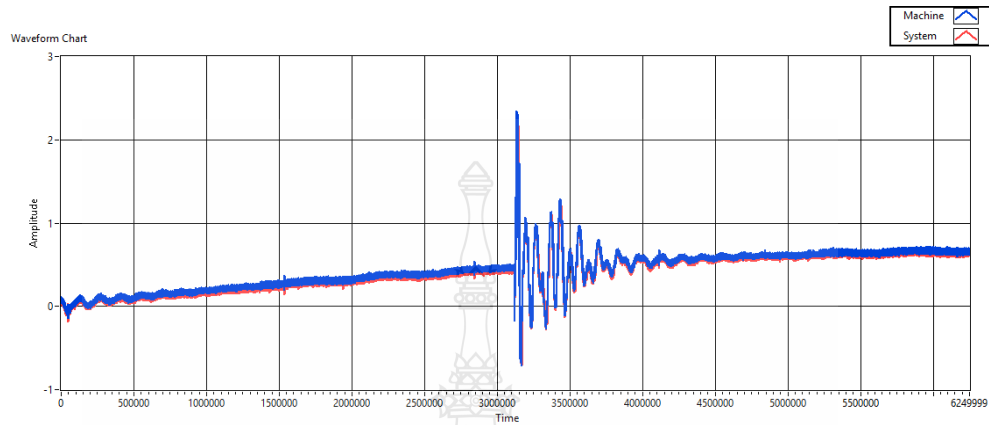


ผลการทดสอบด้วยค่า Sample rate ที่ 250MS/s และ Sample to read ที่ 5M ครั้งที่ 3

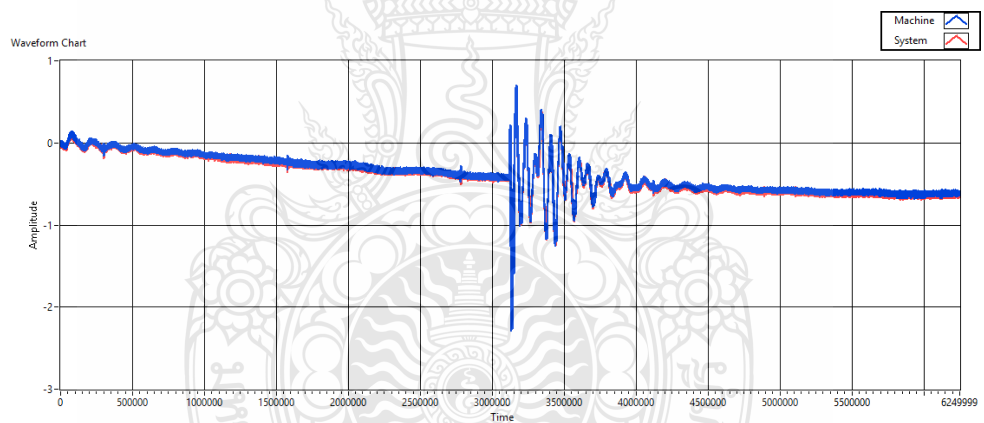


การทดสอบด้วยออสซิลโลสโคปความเร็วสูงที่ STG10 เฟส C

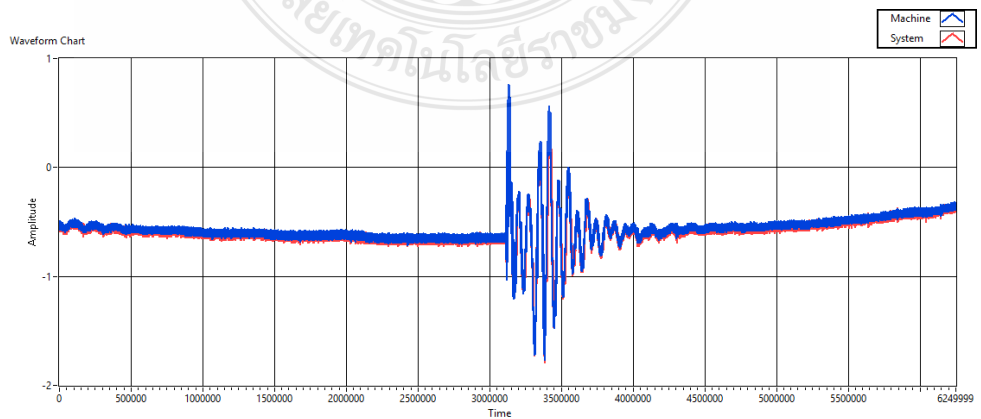
ผลการทดสอบด้วยค่า Sample rate ที่ 1GS/s และ Sample to read ที่ 5M ครั้งที่ 1



ผลการทดสอบด้วยค่า Sample rate ที่ 1GS/s และ Sample to read ที่ 5M ครั้งที่ 2

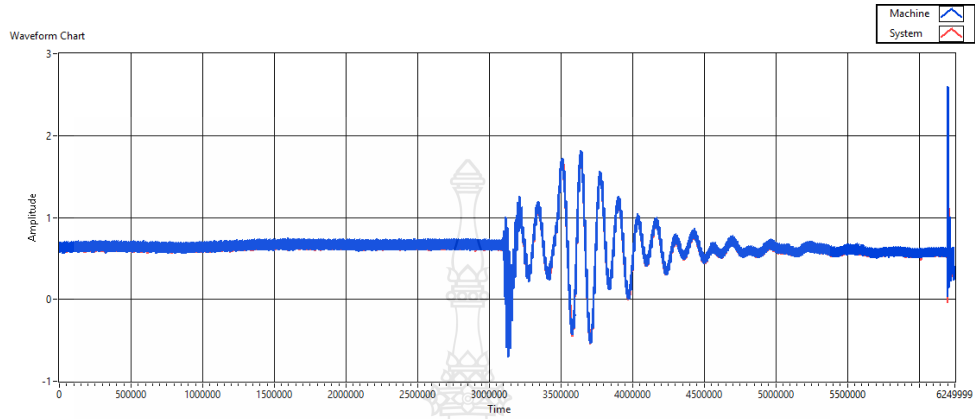


ผลการทดสอบด้วยค่า Sample rate ที่ 1GS/s และ Sample to read ที่ 5M ครั้งที่ 3

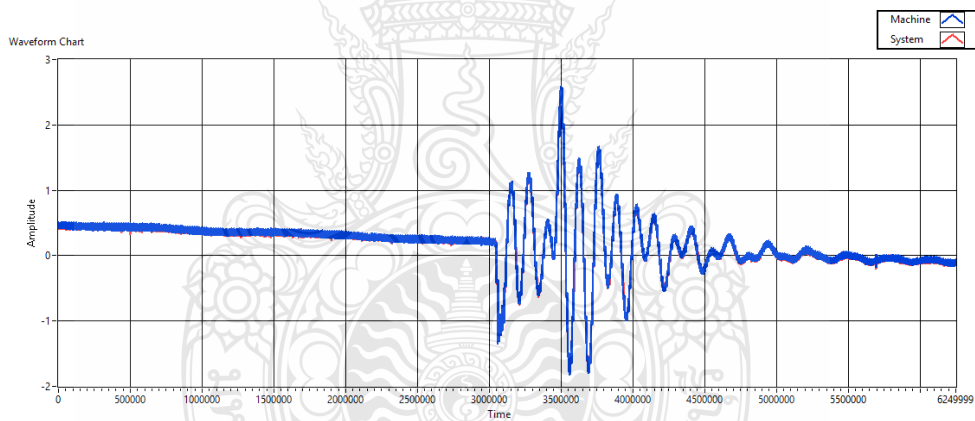


การทดสอบด้วยออสซิลโลสโคปความเร็วสูงที่ STG10 เฟส C

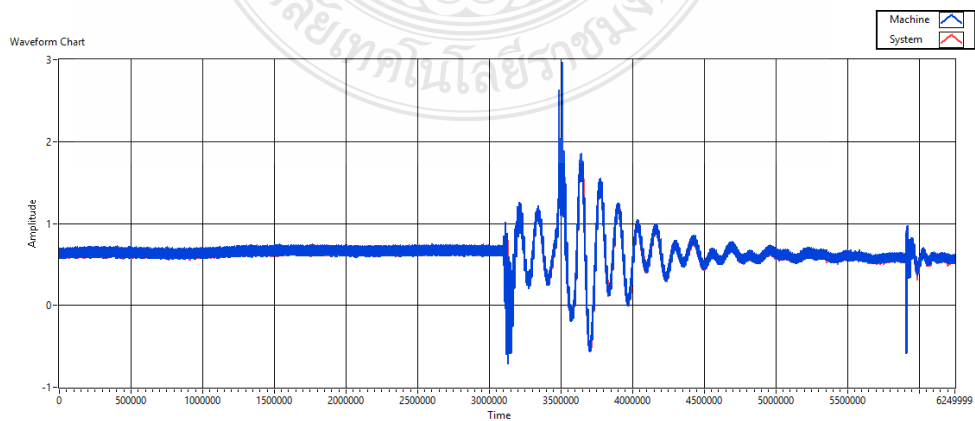
ผลการทดสอบด้วยค่า Sample rate ที่ 2GS/s และ Sample to read ที่ 5M ครั้งที่ 1



ผลการทดสอบด้วยค่า Sample rate ที่ 2GS/s และ Sample to read ที่ 5M ครั้งที่ 2

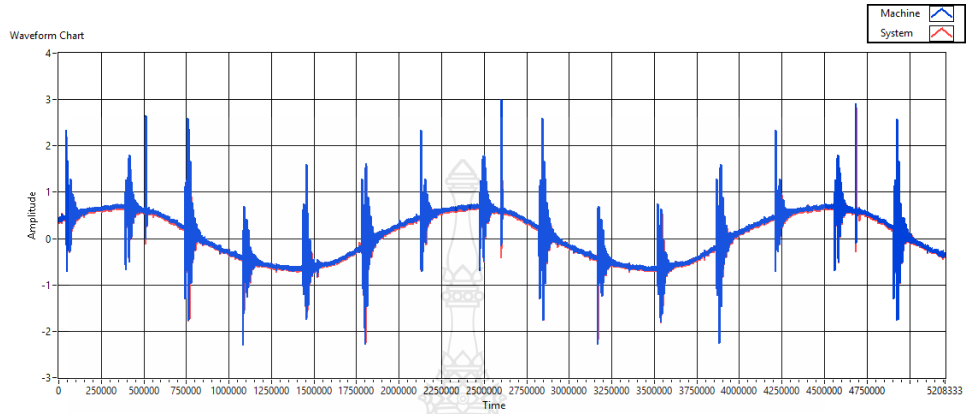


ผลการทดสอบด้วยค่า Sample rate ที่ 2GS/s และ Sample to read ที่ 5M ครั้งที่ 3

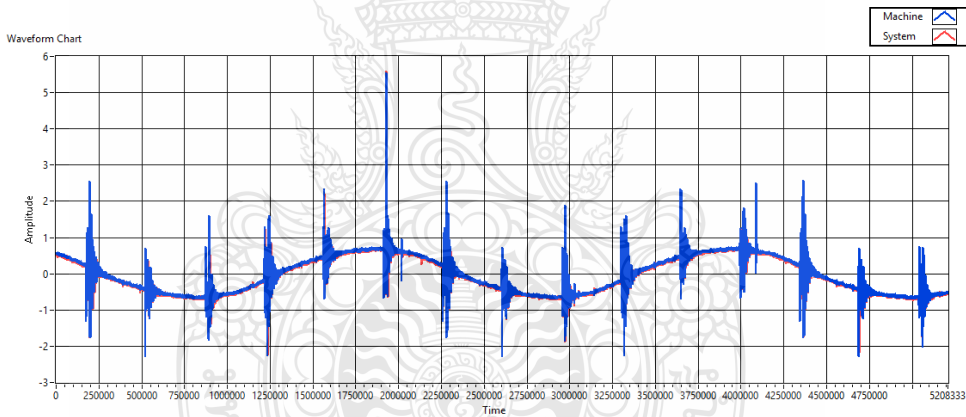


การทดสอบด้วยออสซิลโลสโคปความเร็วสูงที่ STG10 เฟส C

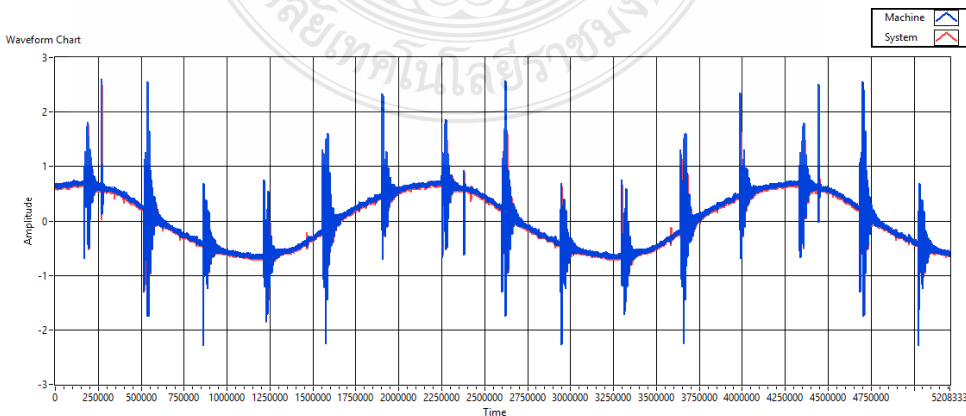
ผลการทดสอบด้วยค่า Sample rate ที่ 100MS/s และ Sample to read ที่ 5M ครั้งที่ 1



ผลการทดสอบด้วยค่า Sample rate ที่ 100MS/s และ Sample to read ที่ 5M ครั้งที่ 2

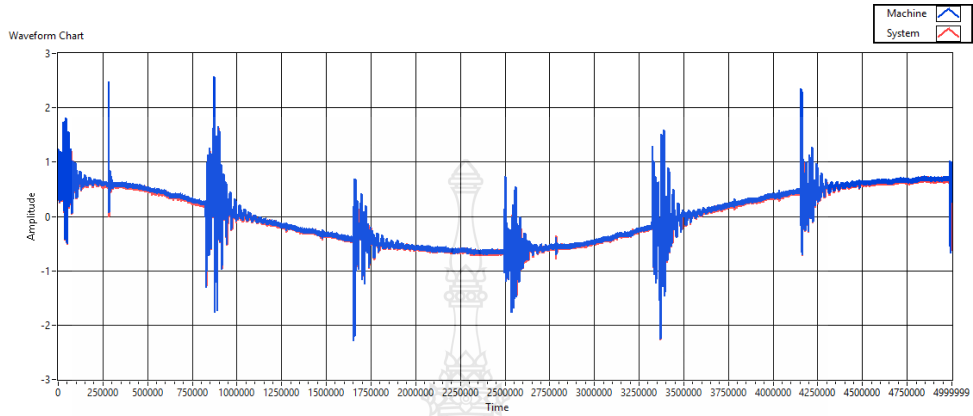


ผลการทดสอบด้วยค่า Sample rate ที่ 100MS/s และ Sample to read ที่ 5M ครั้งที่ 3

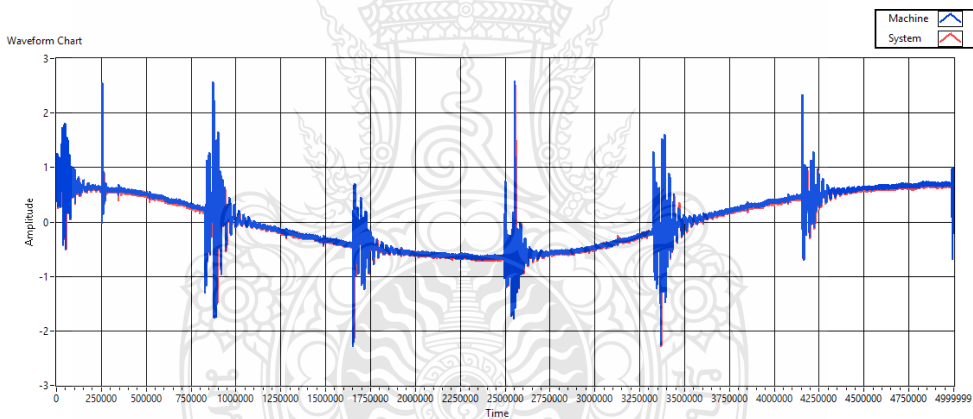


การทดสอบด้วยออสซิลโลสโคปความเร็วสูงที่ STG10 เฟส C

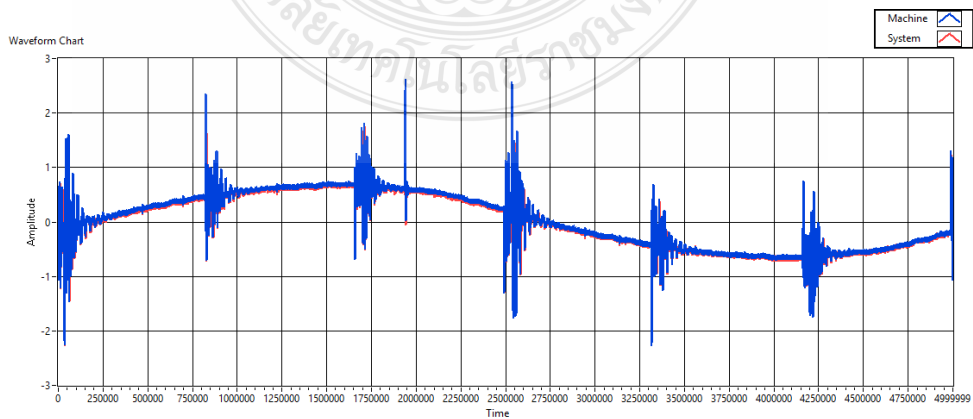
ผลการทดสอบด้วยค่า Sample rate ที่ 250MS/s และ Sample to read ที่ 5M ครั้งที่ 1



ผลการทดสอบด้วยค่า Sample rate ที่ 250MS/s และ Sample to read ที่ 5M ครั้งที่ 2



ผลการทดสอบด้วยค่า Sample rate ที่ 250MS/s และ Sample to read ที่ 5M ครั้งที่ 3





ภาคผนวก ค

Partial Discharge Report Executive Summary 24th November 2017

Partial Discharge Report Executive Summary

STG 10



3rd MEASUREMENT (24 November 2017)

PTP

Power Testing Product Co.,Ltd

โทรศัพท์ : 0 2447 6228 โทรสาร : 0 2447 6229

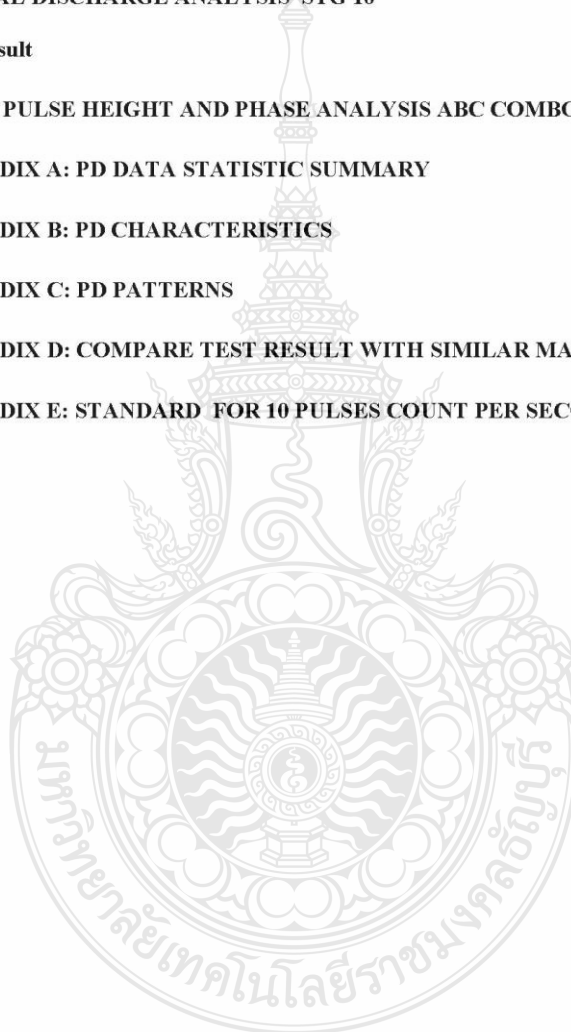
E-mail : sales@ptp.co.th

Page 1 of 35

Partial Discharge Report		<i>PTP</i>
RPCL	Executive Summary	24 November 2017

CONTENT

EXECUTIVE SUMMARY	3
PARTIAL DISCHARGE ANALYSIS STG 10	13
Test Result	14
STG 10 PULSE HEIGHT AND PHASE ANALYSIS ABC COMBO FOR C1 ONLY	20
APPENDIX A: PD DATA STATISTIC SUMMARY	22
APPENDIX B: PD CHARACTERISTICS	23
APPENDIX C: PD PATTERNS	25
APPENDIX D: COMPARE TEST RESULT WITH SIMILAR MACHINES	30
APPENDIX E: STANDARD FOR 10 PULSES COUNT PER SECOND (PCS)	31



Partial Discharge Report		<i>PTP</i>
RPCL	Executive Summary	24 November 2017

Executive Summary

Introduction

Partial discharges (PD) are the occurrence of electrical sparks in the insulation of stator windings. PD will occur in air gaps or voids inside insulation or on surface of the insulation. The normal stator windings will have low PD value, but because the stator winding will deteriorate along winding vibration, working at high temperature, contamination from oil, moisture and chemicals, will incur a higher PD.

The optimum and most accurate PD measurement way is using on-line PD monitoring system that can detect the main root causes of stator winding failure easily. The on-line PD monitoring systems can alert those disorders that occur in the stator windings, and will very useful for maintenance and operation department of the power plant. Predictive maintenance programs will involve, which will not be a problem caused severe damage to the generator. And not cause down time outage.

Back in 1940s, Westinghouse is the first company that developed PD measurement method in their laboratory. After that Ontario Hydro is the first utility that make the real application of PD measurement for their power plant since 1970. In 1990, Dr. Greg Stone (Chairman of IEEE and IEC Committee of Rotating Machine), had established IRIS company. IRIS company had been affiliated by Ontario Hydro, EPRI, and CEA for developing PD measurement system. Now PD measurement system from IRIS had been installed more than 60,000 sets around the world.

Why Test for Partial Discharge?

The main and most important reason is that in utilities or industrial plant, we must prevent generators and motors from failure in service. For typical of failure in generators and motors can be classified it in three main categories.

1. 50% due to bearing and vibration problem.
2. 40% due to stator insulation problem
3. 10% due to rotor problem

The most reliable method in order to prevent machine from failure is to use "Predictive Maintenance (Condition Based Maintenance)". In case that occur stator insulation failure, the

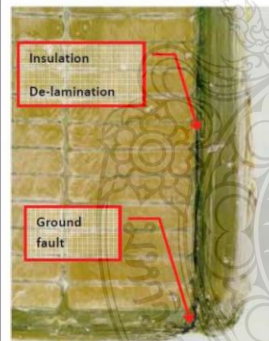
Partial Discharge Report		<i>PTP</i>
RPCL	Executive Summary	24 November 2017

damage level and repair cost will be very high when compare to vibration or rotor problem. As see in picture below, generator has stator winding insulation failure, and this make a long repairing time and costly machine repair could result.



Cause of Partial Discharge

There are many causes of Partial Discharge, below are few examples.



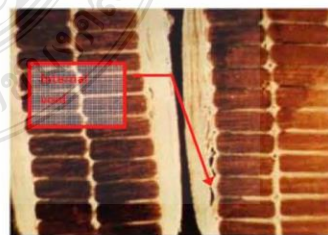
Thermal Deterioration

Loss of mechanical strength due to overheat, over loading, defective cooling, unbalance voltage.

This will cause insulation de - lamination, conductor vibration, and PD occurs in voids.

Poor Impregnation

Poor impregnation caused by improper manufacturer. This will form void inside insulator and PD will attack insulation



Partial Discharge Report		<i>PTP</i>
RPCL	Executive Summary	24 November 2017



Loose Winding

Loose winding is caused by magnetic force between bar and between rotor and stator winding. When occur loose winding, bars move relative to core, and PD occur in slot



Inadequate Spacing

With poor design, inadequate spacing will cause phase - to - phase partial discharge. PD will produce ozone and nitric acid as can be seen as white powder in picture.



Partial Discharge Report		<i>PTP</i>
RPCL	Executive Summary	24 November 2017

Partial Discharge Testing – THE NEW TECHNOLOGY FROM IRIS

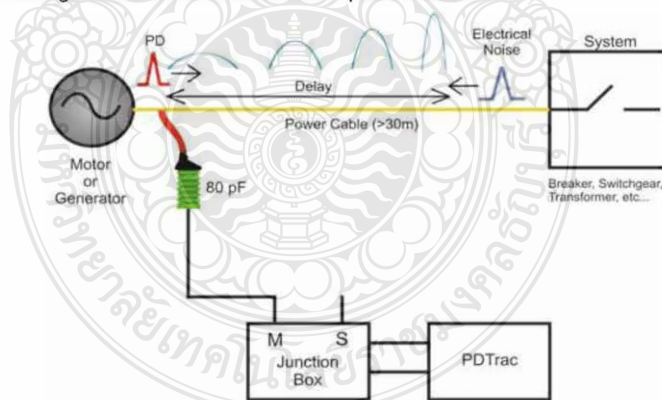
As partial discharge is flash in voids in insulation, it has extremely fast rise time (1 - 5 ns). It is difficult to measure these PD signals. And the most difficult is how to separate PD signal from noise in system. IRIS has an advance technology that can cover all five main goals as follows:

1. PD measurement system must separate noise from PD signal
2. PD measurement system must tell how many voids in the insulation
3. PD measurement system must tell the size of voids in the insulation
4. PD measurement system must tell where the PD occur
5. PD measurement system must tell how serious of PD in the insulation

1. PD measurement system must separate noise from PD signal

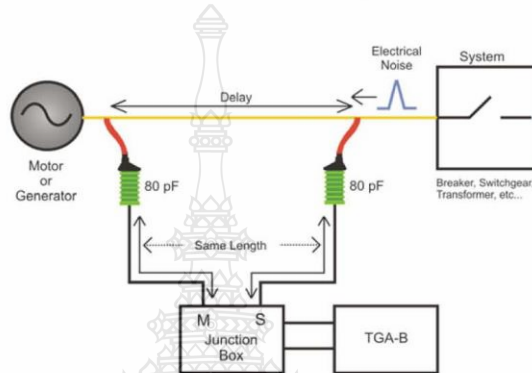
In the past, when we do not have advance technology, only experts that can interpret PD measurement because of a lot of noise will mix up with PD signal. But with new technology from IRIS, we can separate noise from PD signal. The new technology call “Directional Time of Arrival” and this is Patent to IRIS.

1. One Sensor per phase installation. This shall be used in case that the connection between generator and system (switchgear or gen - transformer) is power cable. If power cable is longer than 30m, noise from system will attenuate in cable. In this case one sensor will be installed at generator terminal as shown in picture below

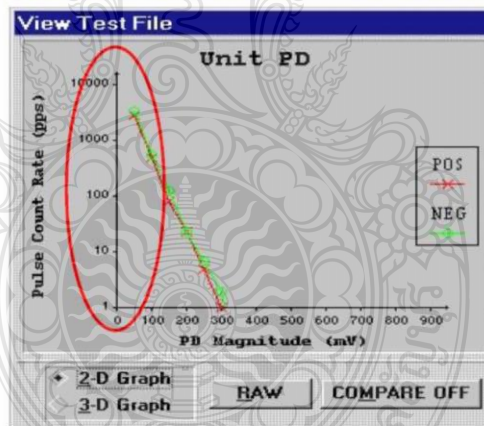


Partial Discharge Report		<i>PTP</i>
RPCL	Executive Summary	24 November 2017

2. Two Sensors per phase installation. From picture below, if connection between generator and system is bus bar, there will be both PD signal from generator and noise from system. While install two 80pF sensors per phase as shown, the PD signal and noise will arrive the TGA - B measurement instrument at different time. By this method we can separate noise from PD Signal



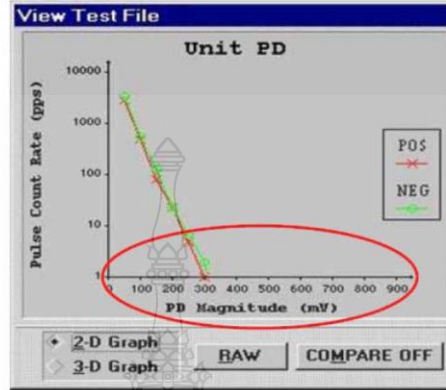
2. PD measurement system must tell how many voids in the insulation



From PD measurement result above, the Y axis refer to pulse count rate or number of flash over in the insulation. This number will tell how many voids in the insulation.

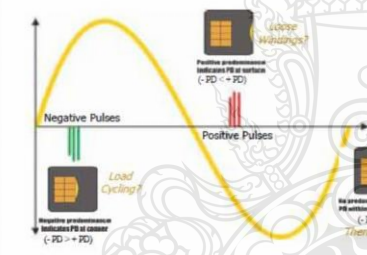
Partial Discharge Report		<i>PTP</i>
RPCL	Executive Summary	24 November 2017

3. PD measurement system must tell the size of voids in the insulation

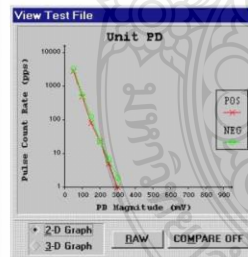


On horizontal axis is PD magnitude. Larger voids will have higher of PD magnitude. This will refer to size of voids in insulation.

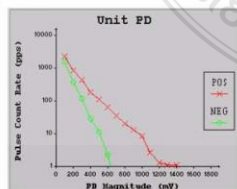
4. PD measurement system must tell Where PD occur



There are two PD categories. On the first half cycle, when occur PD we call Negative PD. When PD occur in second half cycle, we call Positive PD.

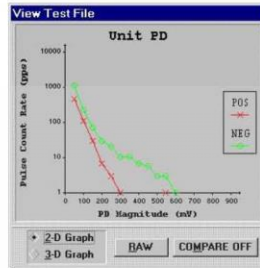


If measurement result show that Negative PD (green line) and Positive PD (red line) has the same or almost the same, this mean that majority of PD occur in stator insulation.



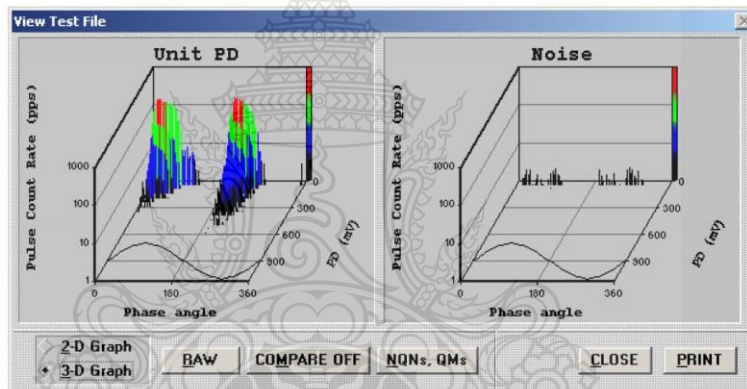
If measurement result show that Negative PD (green line) value is less than Positive PD (red line), this mean that majority of PD occur at stator insulation surface

Partial Discharge Report		PTP
RPCL	Executive Summary	24 November 2017

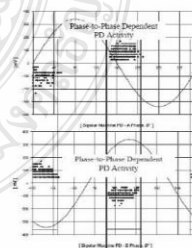


If measurement result show that Negative PD (green line) value is more than Positive PD (red line), this mean that majority of PD occur at conductor and stator insulation.

All three interprets above, it is PD that occurs in stator winding and it is phase - to - ground discharge. We call this kind of PD as classical PD. Anyhow, we can further more make an indication of Partial Discharge from our powerful 3D report as shown below: -



From 3D graph, if PD occurs at 45° or 225° , PD will occur in stator winding
 If PD occur at 15° or 75° or 195° or 255° it will be phase - to - phase PD that occur at end winding.
 From picture below at end winding location, we can see white powder that caused by nitric acid from PD.



If PD occurs at 0° or 180° it will be occur from bad or loose electrical connection.

Partial Discharge Report		<i>PTP</i>
RPCL	Executive Summary	24 November 2017

5. PD measurement system must tell how serious of PD in the insulation

The most importance thing of PD measurement is that, how do we know whether PD in machine is serious or not. IRIS is the only company that have database of more than 400,000 records over past 20+ years. We will compare our PD result with this database and make a justice the condition of our machine.

Table 1: Bus - air-cooled (TGA)

Rated V	2-4kV	6-8kV	10-12kV	13-15kV	16-18kV	> 19kV
Avg	112	112	165	199	239	191
Max	3200	1983	3200	3314	3038	3109
25%	7	16	28	39	47	34
50%	24	49	74	98	98	63
75%	86	129	177	226	210	134
90%	274	276	401	461	540	432

From Table 1, it shows the average PD, maximum PD and percent of machine at each PD level. We can compare our PD test result with this database for determination.



Partial Discharge Report		<i>PTP</i>
RPCL	Executive Summary	24 November 2017

Compliance Standard of Iris's PD Sensor

For on-line partial discharge (PD) monitoring, it is necessary to permanently install sensors on the motor or generator terminals to detect the high frequency PD pulses. The type of sensors used may be epoxy-mica capacitors (EMCs),

Since the EMCs are permanently connected to the terminals, assurance is required that they will not in themselves pose a risk of failure. The following discusses design features incorporated, and the tests performed, to ensure an extremely low risk of failure.

The EMC meets the specifications of ANSI/IEEE C37.20.2, "IEEE Standard for Metal-Clad and Station Type Cubicle Switchgear." In particular, the EMCs have been tested by an independent testing organization to withstand a 10 s- ac hi pot of 87.5 kV rms for 25 kV class, 56 kV rms for 16 kV class (The ANSI requirement is 36 kV rms), and 24.2 kV rms for 6.9 kV class. During Iris' in-house testing, 16 kV EMCs withstood 70 kV ac, the maximum output of the Iris test equipment.

In addition to the short-term ac hi pot test (ANSI C37.20.2), long term voltage endurance testing is done according to IEEE 1043 "IEEE Recommended Practice for Voltage Endurance Testing of Form Wound Bars and Coils". For 13.8 kV stator windings, coils are normally expected to endure a minimum of 400 hours at a test voltage of 30 kV rms [IEEE 1553]. Two EMCs were tested at 30 kV rms, and shows that they survived more than 1000 hours with no failures. According to the statistical methods in IEEE 930 "IEEE Guide for the Statistical Analysis of Electrical Insulation Voltage Endurance Data", and using the inverse power model with a constant N=10, these test results correspond to a lifetime of 60,000 years at the normal operating voltage. Thus the risk of failure of the EMC attributable to the operating voltage stress is extremely low.

Independent dc hi pot tests and leakage current measurements performed according to IEEE 95 "IEEE Recommended Practice for Insulation Testing of Large AC Rotating Machines with High Direct Voltage" to 30 kV dc indicated negligible leakage current

Partial Discharge Report		PTP
RPCL	Executive Summary	24 November 2017
<p>Each EMC is subjected to an ac hi pot test of 51 kV rms for 25 kV class, 33 kV rms for 16 kV class and 15 kV rms for 6.9 kV class. After the ac hi pot test, each EMC is then subjected to a partial discharge (PD) test, performed according to ASTM D1868 "Standard Method for Detection and Measurement of PD Pulses in Evaluation of Insulation Systems" or IEC 60034-27. Iris requires each EMC to have a discharge extinction voltage of 25 kV rms for 25 kV class, 15 kV rms for 16 kV class and 8 kV rms for 6.9 kV class. This very high discharge extinction voltage (DEV) ensures that there are no tiny flaws within the EMC that might initiate failure many years after the EMCs have been in service</p>		
<p>The EMC's excellent electrical properties are due to the use of about 3 inches of mica as its main dielectric. This is significant when we consider that the typical insulation thickness in a 13.8 kV stator coil is only about 1/4".</p>		
<p>The EMC has been independently certified as part of Process Control Equipment for use in UL and ATEX Hazardous Locations</p>		
<p>An independent review of the materials used in the EMC indicate that they can withstand radiation levels in excess of 30 Mrad prior to any indications of degradation of their mechanical or electrical characteristics</p>		
<p>The EMC is potted in an epoxy that is highly resistant to electrical tracking. In independent testing using the "inclined - plane" tracking test (ASTM. D2303 - 85) specified in ANSI/IEEE C37.20.2, the average time to track was 302 minutes. This is well beyond the required minimum.</p>		
<p>Reference paper from Iris</p> <ol style="list-style-type: none"> 1) Technical Overview V1 2) Important of Bandwidth in PD Measurement in Operating Motors and Generators 		
		Page 12 of 35

Partial Discharge Report		<i>PTP</i>
RPCL	Executive Summary	24 November 2017

PARTIAL DISCHARGE ANALYSIS

24 November 2017

STG 10

1. Compare magnitude of Partial Discharge (PD) results in page 14 by looking Qm+ or Qm- and choose the highest value to IRIS Data base in Appendix A at page 22, we can summarize that Phase A, B and C have value N/A, N/A and N/A which mean 'Negligible'. According to new measurement after correction, PD still very low same as last time but machine very clean (no PD pulse at all).

Note : N/A mean " Not Applicable" because pulse less than 10 pulses count per second (pcs), see Appendix E,

2. NQN+ and NQN- (Normalized Quantity Number) is a partial discharge activity

3. IRIS Recommend for PD result consideration (see Appendix A page 22)

3.1 +Qm or -Qm is **higher than 95% (206 mV)**

3.2 And +Qm or -Qm is higher twice with previous measurement

3.3 Each measurement conditions should have be same (see "Remark" below)

Operating conditions:

- Voltage = 21 kV
- Load = 286 MW,
- Pressure = 2.97 bars (43.50 psi)
- Winding Temp. = 53 C

Remark: the operating parameters during testing should be within the following recommended ranges

- Voltage ±200 V
- Temperature ±5 °C
- Load ±10%
- Hydrogen Pressure ±5 % PSI

Partial Discharge Report		PTP
RPCL	Executive Summary	24 November 2017

Test Result

A. TERMINAL VOLTAGE MEASUREMENT (By Multi-Meter)

PD Coupler Termination STG 10 (by meter)

ปี 2016		
Terminal	Machine Side (mV)	System Side (mV)
Phase A	538.00	536.00
Phase B	519.00	524.00
Phase C	526.00	523.00
ปี 2017		
Terminal	Machine Side (mV)	System Side (mV)
Phase A	523.30	521.49
Phase B	514.75	518.48
Phase C	521.13	518.46
ปี 2017 (2 nd)		
Terminal	Machine Side (mV)	System Side (mV)
Phase A	484.00	483.00
Phase B	475.00	479.00
Phase C	482.00	478.00
ปี 2017 (3 rd)		
Terminal	Machine Side (mV)	System Side (mV)
Phase A	533.14	532.06
Phase B	523.63	526.15
Phase C	526.43	520.53

Partial Discharge Report		<i>PTP</i>
RPCL	Executive Summary	24 November 2017

B.ON-LINE PARTIAL DISCHARGE MEASUREMENT

ปี 2016					
Phase	NQN+	NQN-	Qm+	Qm-	Status
A	N/A	N/A	N/A	N/A	Negligible
B	N/A	20	N/A	26	Low
C	N/A	11	N/A	N/A	Negligible
ปี 2017					
Phase	NQN+	NQN-	Qm+	Qm-	Status
A	1103	746	1025	944	High
B	569	709	685	1095	High
C	N/A	N/A	N/A	N/A	Negligible
ปี 2017 (2 nd)					
Phase	NQN+	NQN-	Qm+	Qm-	Status
A	328	N/A	N/A	N/A	Negligible
B	N/A	N/A	N/A	N/A	Negligible
C	N/A	221	N/A	N/A	Negligible
ปี 2017 (3 rd)					
Phase	NQN+	NQN-	Qm+	Qm-	Status
A	N/A	N/A	N/A	N/A	Negligible
B	N/A	N/A	N/A	N/A	Negligible
C	N/A	N/A	N/A	N/A	Negligible

Remark: 1) N/A mean " Not Applicable" because pulse less than 10 pulses count per second (pcs)
 2) See PD Data Statistical Summary as in attached page 22

Partial Discharge Report		PTP
RPCL	Executive Summary	24 November 2017

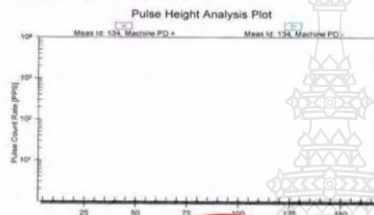
ปี 2016

Pulse Height and Pulse Phase Analysis ABC Combo for C1 only

Asset Name: ST10



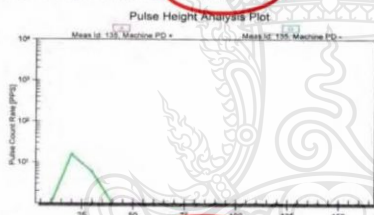
Folder: BLOCK1\, Asset Class: Steam Turbine
 Class: Directional BUS (TGA), Sensor Type: Epoxy Mica Capacitor (80pF)
 Operating Load: 250.00 MW, Reactive Load: 12.00 MVAR, Operating Asset Temp: 63 deg C, Operating Voltage: 21.10 kV
 Ambient Temp: 35 deg C, Ambient Humidity: 58.00 % Freq. (Test Duration): 50 Hz, (1 sec.)
 Operating Gas Pressure: 3.01 psi-g



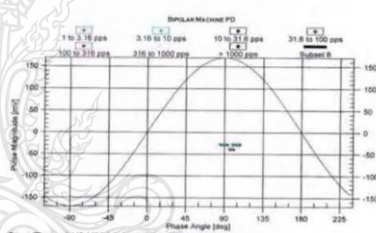
Phase A, Sensor(s): A-M1A-S1, Ref. Angle: 90, Delay Time: 11 [ns]
 Machine: NQN+ N/A, NQN- N/A, Qm+ N/A, Qm- N/A



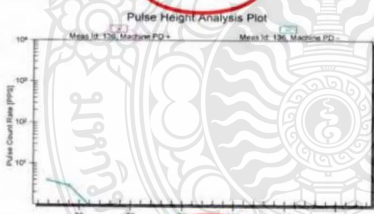
Start Time: 11/24/2015 18:17:57, Status: Good



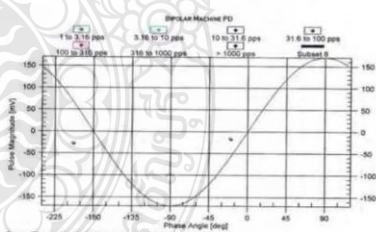
Phase B, Sensor(s): B-M2-S2, Ref. Angle: 90, Delay Time: 10 [ns]
 Machine: NQN+ N/A, NQN- 20, Qm+ N/A, Qm- 26



Start Time: 11/24/2015 18:18:27, Status: Good



Phase C, Sensor(s): C-M3-S3, Ref. Angle: 90, Delay Time: 10 [ns]
 Machine: NQN+ N/A, NQN- 1, Qm+ N/A, Qm- N/A




Start Time: 11/24/2015 18:18:57, Status: Good

Iris Power LP, 3110 American Dr., Mississauga, On, Canada L4V 1T2, Phone: +1 (905)-677-4824, Fax: +1 (905) 677-8498

Partial Discharge Report		PTP
RPCL	Executive Summary	24 November 2017

ปี 2017



IRIS POWER
A QUALITROL Company
www.irispower.com

Pulse Height and Pulse Phase Analysis ABC Combo for C1 only

Asset Name: STG10

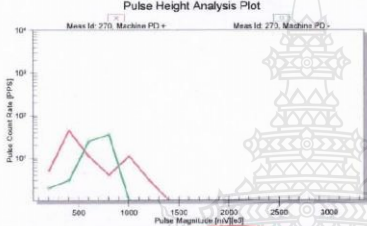
Folder: Ratchaburi Power, Asset Class: Combustion Turbine

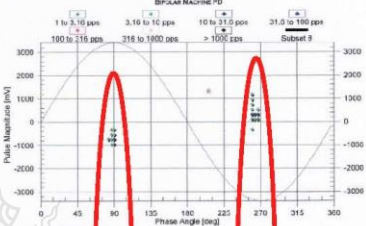
Operating Load: 219.10 MW, Reactive Load: 21.00 MVAR, Operating Asset Temp: N/A, Operating Voltage: 21.00 kV
 Ambient Temp: 34 deg C, Ambient Humidity: 42.00 % Freq (Test Duration): 50 Hz, (1 sec.)
 Insulation Type: Unknown Operating Gas Pressure: 44.24 psi-g Gas Pressure Rating: 43.51 psi-g

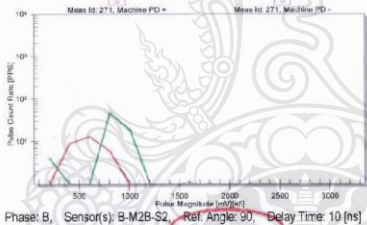
Phase A, Sensor(s) A-M1A-S1, Ref. Angle: 90, Delay Time: 11 [ns]
 Machine: NQN-1103, NQN-746, Qm+ 1025, Qm- 944

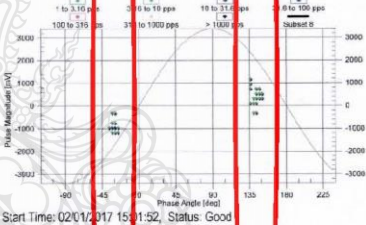
Phase B, Sensor(s) B-M2B-S2, Ref. Angle: 90, Delay Time: 10 [ns]
 Machine: NQN-559, NQN-709, Qm+ 685, Qm- 1094

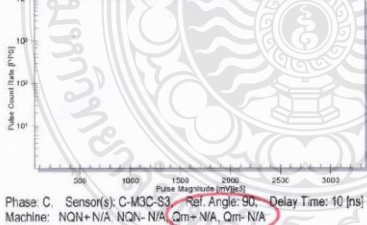
Phase C, Sensor(s) C-M3C-S3, Ref. Angle: 90, Delay Time: 10 [ns]
 Machine: NQN+N/A, NQN-N/A, Qm+ N/A, Qm- N/A

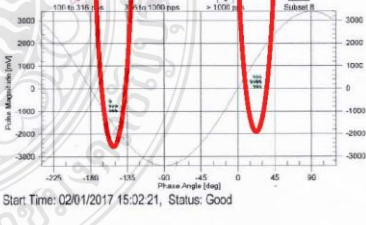












Iris Power LP, 3110 American Dr., Mississauga, On, Canada L4V 1T2, Phone: +1 (905)-677-4824, Fax: +1 (905) 677-8498

Partial Discharge Report		PTP
RPCL	Executive Summary	24 November 2017

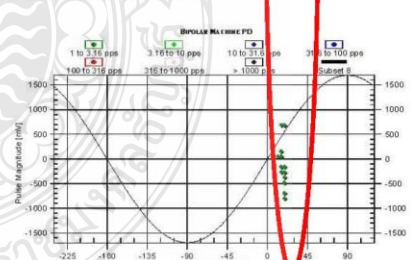
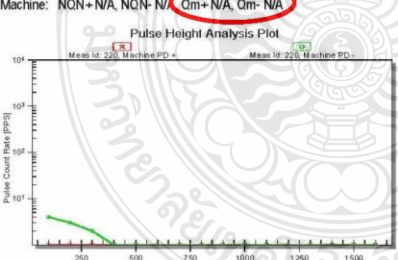
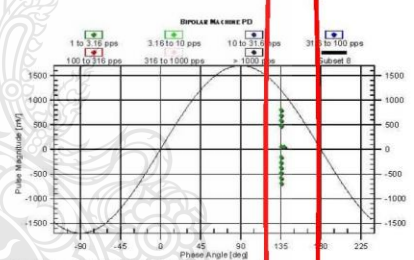
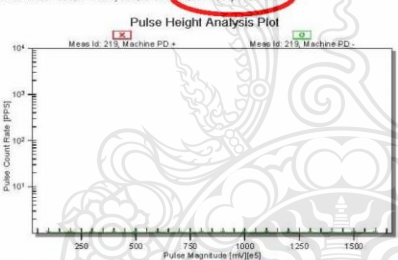
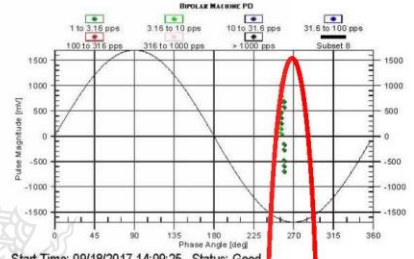
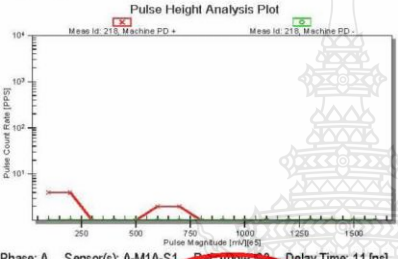
พ 2017 (2nd)



**Pulse Height and
Pulse Phase Analysis ABC Combo for C1 only**

Asset Name: ST10
Folder: BLOCK1\, Asset Class: Steam Turbine

Operating Load: 244.70 MW, Reactive Load: 50.00 MVAR, Operating Asset Temp: 55 deg C, Operating Voltage: 21.30 kV
Ambient Temp: 34 deg C, Ambient Humidity: 58.00 % Freq. (Test Duration): 50 Hz, (5 sec.)
Operating Gas Pressure: 2.90 psi-g



Iris Power LP, 3110 American Dr., Mississauga, On, Canada L4V 1T2, Phone: +1 (905)-677-4824, Fax: +1 (905) 677-8498

Partial Discharge Report		PTP
RPCL	Executive Summary	24 November 2017

ปี 2017 (3rd)

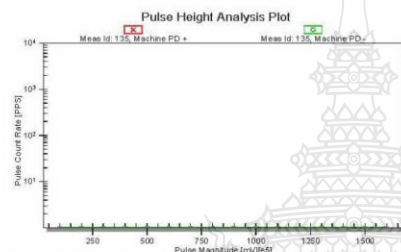


Pulse Height and Pulse Phase Analysis ABC Combo for C1 only

Asset Name: STG10

Folder: Ratchaburi Power\, Asset Class: Hydro Generator

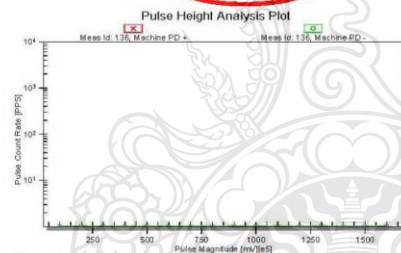
Operating Load: N/A, Reactive Load: N/A, Operating Asset Temp: N/A, Operating Voltage: N/A
Ambient Temp: 30 deg C, Ambient Humidity: 66.00 % Freq. (Test Duration): 50 Hz, (5 sec.)



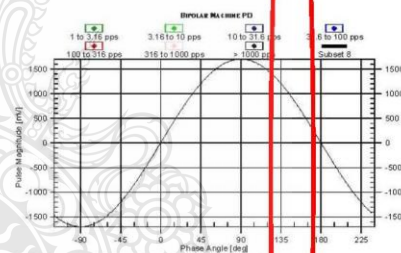
Phase A, Sensor(s): A-M1A-S1, Ref. Angle: 90, Delay Time: 11 [ns]
Machine: NQN+N/A, NQN-N/A, Qm+N/A, Qm-N/A



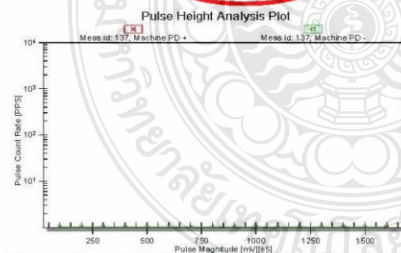
Start Time: 11/24/2017 11:55:28, Status: UND



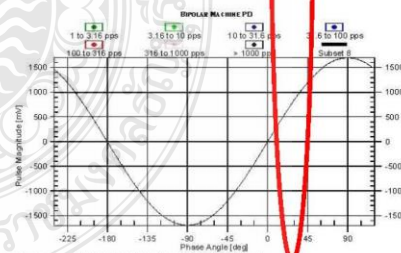
Phase B, Sensor(s): B-M2B-S2, Ref. Angle: 90, Delay Time: 10 [ns]
Machine: NQN+N/A, NQN-N/A, Qm+N/A, Qm-N/A



Start Time: 11/24/2017 11:57:22, Status: Good



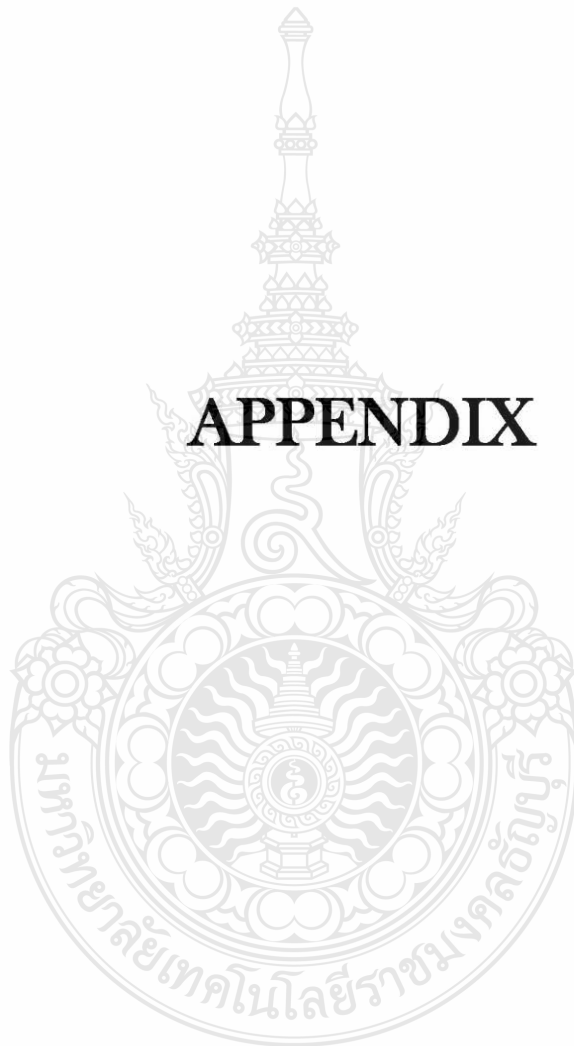
Phase C, Sensor(s): C-M3C-S3, Ref. Angle: 90, Delay Time: 10 [ns]
Machine: NQN+N/A, NQN-N/A, Qm+N/A, Qm-N/A



Start Time: 11/24/2017 11:59:16, Status: Good

Iris Power LP, 3110 American Dr., Mississauga, On, Canada L4V 1T2, Phone: +1 (905)-677-4824, Fax: +1 (905) 677-8498

Partial Discharge Report		PTP
RPCL	Executive Summary	24 November 2017



APPENDIX

Appendix A: PD Data Statistic Summary

2014 PD Database Statistical Analysis

Air-cooled Capacitors

	PDA 6-9	PDA 10-12	PDA 13-15	PDA 16-18	PDA 19	BUS 2-5	BUS 6-9	BUS 10-12	BUS 13-15	BUS 16-18	BUS 19
Negligible < 25th	12	19	35	39	107	4	23	41	55	41	42
Low < 50th	31	50	90	85	206	22	75	88	124	12	35
Typical < 75th	72	114	190	210	690	65	177	196	295	157	165
Moderate < 90th	184	245	373	543	886	243	353	385	529	310	504
High < 95th	309	391	602	727	990	361	453	454	778	579	753

		11-15kV	>=16kV
Negligible < 25th		0	2
Low < 50th		15	1
Typical < 75th		37	13
Moderate < 90th		87	77
High < 95th		119	122

		11-15kV	>=16kV
Negligible < 25th		0	0
Low < 50th		0	0
Typical < 75th		12	1
Moderate < 90th		41	8
High < 95th		64	22

Variable from 2010 results - be sure to comment in report

Variable from 2012 results - be sure to comment in report

Ris-Hydrogen-Cooled (TGA)

	Rated KV	15-15kV			16-18kV			19-19kV			
		11-20	21-30	>=31	11-20	21-30	31-50	>=51	21-30	31-50	>=51
Negligible < 25th		33	20	16	17	34	24	9	43	23	9
Low < 50th		81	49	43	31	86	43	18	59	55	26
Typical < 75th		156	94	81	148	233	85	38	163	198	77
Moderate < 90th		438	188	168	268	761	184	141	203	181	248
High < 95th		750	393	450	380	970	307	322	229	209	251

SSC Slot-Hydrogen-Cooled (TGA)

	Rated KV	15-15kV			16-18kV			19-23kV			23-27kV	
		11-20	21-30	>=31	11-20	31-50	>=51	11-30	31-50	>=51	31-50	>=51
Negligible < 25th		0	0	0	0	0	0	1	0	0	0	0
Low < 50th		9	9	9	0	2	2	9	7	3	8	3
Typical < 75th		31	14	12	15	13	13	23	19	11	31	9
Moderate < 90th		49	66	32	50	23	24	67	41	25	66	18
High < 95th		60	92	47	90	34	32	229	57	39	100	29

SSC RW-Hydrogen-Cooled (TGA)

	Rated KV	15-15kV			16-18kV			19-23kV			23-27kV	
		11-20	21-30	>=31	11-20	31-50	>=51	11-30	31-50	>=51	31-50	>=51
Negligible < 25th		0	0	0	0	0	0	0	0	0	0	0
Low < 50th		0	0	0	0	0	0	0	0	0	0	0
Typical < 75th		0	0	0	0	2	0	1	4	0	0	0
Moderate < 90th		20	9	10	14	12	8	9	11	16	3	6
High < 95th		34	19	10	20	18	29	25	19	35	6	20

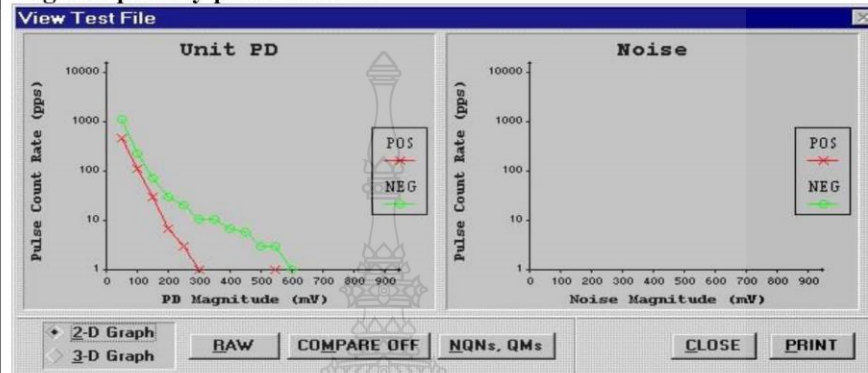
Iris Power LP Confidential



Partial Discharge Report		<i>PTP</i>
RPCL	Executive Summary	24 November 2017

Appendix B: PD Characteristics

Negative polarity predominance



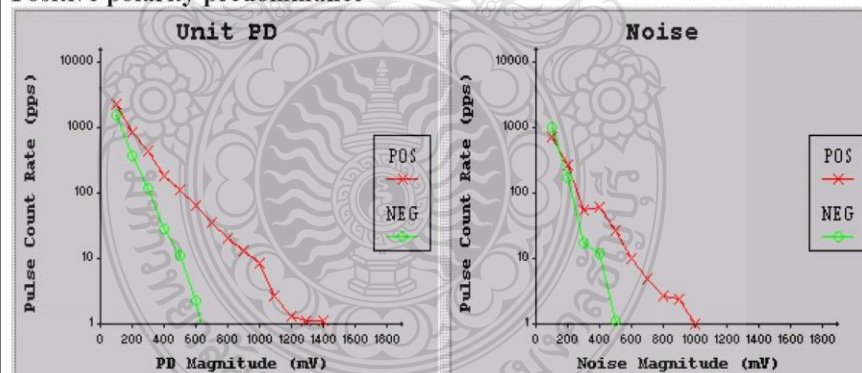
General interpretation rules

- Negative polarity predominance (+PD < -PD)
- Discharge near the copper conductor
- Load cycling
- Overheated develops voids near the copper conductors



Negative predominance indicates PD at copper

Positive polarity predominance



General interpretation rules

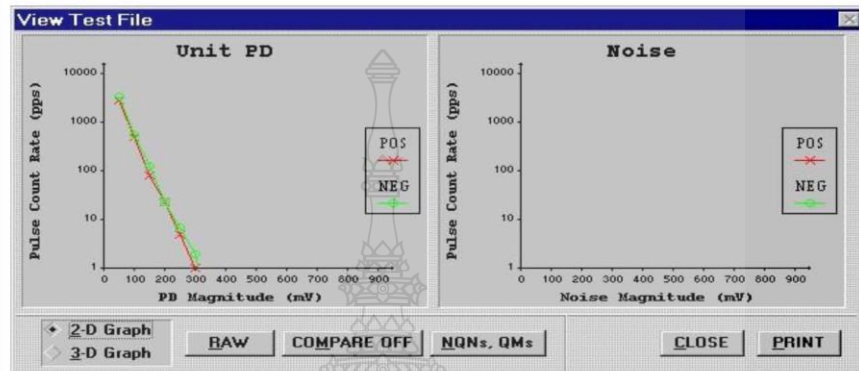
- Positive polarity predominance (+PD > -PD)
 - Discharge on surface of coils
 - Loose windings
 - Deterioration of voltage stress coatings



Positive predominance indicates PD at surface

Partial Discharge Report		<i>PTP</i>
RPCL	Executive Summary	24 November 2017

No polarity predominance



General interpretation rules

- No polarity predominance (+PD ~ -PD)
- Internal voids
- Thermal deterioration
- Poor impregnation



**No predominance indicates
PD within bulk of insulation
(-ve PD ~ +ve PD)**



Partial Discharge Report		<i>PTP</i>
RPCL	Executive Summary	24 November 2017

Appendix C: PD Patterns

Many failure mechanisms have their own PD pattern; therefore, examination of the pattern can help in determining which failure mechanism may be predominant.

1. Inadequate Bonding

When resins, tapes, the VPI process or other factors come into play during winding manufacturing, voids may be left entrapped within the winding. Like thermal deterioration, these voids are scattered throughout the insulation without dominance of voids at either the copper or the core. There is no noticeable polarity predominance of the PD with activity centered near 45° and 225°. As stated before when describing thermal deterioration, internal voids usually lead to a decrease in PD with an increase in temperature, i.e., a negative temperature effect, but no changes with load.

Failure mechanism	Polarity	Load Effect	Temperature Effect	Phase Location
Improper impregnation	No predominance	No load effect	Negative	45° and 225°

2. Electrical Slot Discharge

Slot discharge is the term given to discharges that occur between the surface of the coil and the stator iron. It can be said that PD caused by a loose winding creates slot discharges, but not all slot discharges are due to loose windings, some are due to problems with the semi-conductive coating, i.e., electrical slot discharges. The PD pattern for electrical slot discharge is very similar to loose windings with positive PD near 225° predominating and a negative temperature effect. Since electrical slot discharge can occur before windings becoming loose, there is no noticeable load effect for electrical slot discharge. Electrical slot discharge can be very intense and in fact be a source of damage itself.

Failure mechanism	Polarity	Load Effect	Temperature Effect	Phase Location
Electrical slot discharge	Positive predominance	No load effect	Negative	225° predominant

Partial Discharge Report		<i>PTP</i>
RPCL	Executive Summary	24 November 2017

3. Stress Coating Interface

PD that occurs at the semicon/grading coating interface is surface-type activity that is phase-to-ground voltage dependent. The activity is predominantly positive and centered near 225°. Unlike loose windings, this activity is not usually affected by load changes; however, the materials involved in this area are primarily conductive by design and conductivity changes with temperature. Therefore, an increase in temperature can lead to an increase in the PD activity resulting from this area. If a PD pattern is predominantly positive, centered near 225°, and increases with temperature, it is most likely from the semicon/grading coating interface deterioration. A severely deteriorated interface may lead to pulses clumped at 0° and 180° typical of an open-air arc.

Failure mechanism	Polarity	Load Effect	Temperature Effect	Phase Location
Semicon/grading coating interface	Positive Predominance	No load effect	Positive increase with temperature	225° predominant

4. Loose Windings

When windings become loose in the slot, the immediate problem is that, if left unattended, the looseness will quickly allow the laminated rough stator core surface to damage the surface coatings on the coil. Damaged coil surfaces create discontinuities on the surface allowing voltage stresses to build up across these isolated locations, or between these and the stator iron. If the voltage stress exceeds the electrical breakdown point of the gas medium, a discharge will occur. As a result, pulses that occur from loose windings are predominantly surface-type activity within the slot portion of the core and therefore positive and centered near 225°. The most obvious sign of loose windings is a noticeable increase in PD activity, especially positive, with an increase in load. Remember that as the load current increases so does the mechanical vibration of the coils. This increase in vibration causes the gap between the side of the coil and the grounded core to also increase. The increase in an air gap results in an increase in positive PD magnitude with the load current.

Be aware, however, that the increase in load current will also have an increase in temperature, which may lead to a reduction in PD due to negative temperature effects. Therefore, when checking for loose windings - run the test with the machine at different loads but at the same voltage, temperature, and hydrogen pressure. Note, for a winding with only a "loose" problem, only the positive PD will change with load; the negative component will change slightly, if at all. Changes in the negative PD with changes in load may be an indication of conductor vibration due to voids near the conductors.

Failure mechanism	Polarity	Load Effect	Temperature Effect	Phase Location
Loose Windings	Positive Predominance	Positive increase with load	Negative	225° predominant

Partial Discharge Report		<i>PTP</i>
RPCL	Executive Summary	24 November 2017

5. Inadequate Spacing

This source of PD, like contamination, results in activity that is phase-to-phase dependent and therefore 30° phase shifted from the classic positions. Since this activity is frequently isolated to a specific area of the machine, the PD pattern may reveal which phases are involved. This is only possible if the two affected phases both have detectable end winding activity and their respective 30° phase shifts correspond to what would be expected according to the machine rotation. Since this PD may be occurring between a top and bottom coil in a slot, visual verification of the activity may be difficult.

Failure mechanism	Polarity	Load Effect	Temperature Effect	Phase Location
Inadequate spacing	No Predominance	No load effect	Unpredictable	45°, 75°, 195° and 255°

6. Endwinding Vibration

PD is not a symptom of end winding vibration. However, one of the results of end winding vibration is the development of a crack in the insulation system several cm (inches) from the end of the slot. It is possible that this crack will develop to the point that PD can be detected as a side effect of end winding vibration.

7. Electrical Connections

PD from electrical connections normally reveals itself as PD that is mechanically dependent and clumps around 0° and 180°. Because poor electrical connections can be impacted by variances in load and temperature, the effects are unpredictable.

Failure mechanism	Polarity	Load Effect	Temperature Effect	Phase Location
Electrical Connections	No Predominance	Unpredictable	Unpredictable	0° and 180°

8. Surges

Repetitive stresses from surges placed on the mechanical bond between the ground wall and either strand or turn insulation can cause the bond to weaken and break. This forms voids within the insulation and in close proximity to the copper conductor. PD occurring in this situation is predominantly negative and centered near 45°. As with all internal voids, there tends to be a negative temperature coefficient. If the voids are fairly large, it is possible for the negative PD to increase with load due to the higher conductor vibration associated with the higher mechanical forces. For multi-turn coils, especially in motors, a turn-to-turn failure becomes likely.

Partial Discharge Report		<i>PTP</i>
RPCL	Executive Summary	24 November 2017

Failure mechanism	Polarity	Load Effect	Temperature Effect	Phase Location
Surges	Negative Predominance	Little change with load	Negative	45° predominant

9. Thermal Deterioration

Thermal deterioration results from operating an insulation system for long periods near its design maximum or for shorter periods above the design limit. As is the usual case with all insulation systems, the damage incurred is cumulative, non-reversible and results in a decrease in the ability of the resin binder (epoxy or polyester) to mechanically bond the layers of insulation together.

The loss of mechanical bonding allows the formation of voids within the layers of tape that make up the insulation thickness. These voids are distributed throughout the insulation and may discharge regardless of the “direction” of electrical stress across them. Because of this, such voids do not exhibit any real PD polarity predominance and the PD clusters near 45° and 225°. Therefore, a more or less equal distribution of positive and negative discharges at the classic positions is indicative of general thermal deterioration or aging.

Due to the thermal coefficient of expansion, the voids originating in the slot portion reduce in size as temperature increases producing a negative temperature effect. This occurs because of the relationship of void size to electrical stress – the smaller voids require less voltage to spark. The extent of this change in PD with temperature is dependent on the degree of delamination that may be present. There is minimal change in PD with load.

Failure mechanism	Polarity	Load Effect	Temperature Effect	Phase Location
Thermal deterioration	No Predominance	No load effect	Negative	45° and 225°

10. Load Cycling

Load cycling is a specific form of thermal deterioration which manifests itself as a deterioration of the bond between the ground wall insulation and either turn insulation (multi-turn coil) or between the ground wall and strand insulation (Roebel Bars). Repetitive stresses from sudden load changes placed on the mechanical bond between the groundwall and either strand or turn insulation can cause the bond to weaken and break. This forms voids within the insulation and in close proximity to the copper conductor. PD occurring in this situation is predominantly negative and centered near 45°. As with “thermal deterioration,” there tends to be a negative temperature coefficient. If the voids are fairly large, it is possible for the negative PD to increase with load due to the higher conductor vibration associated with the higher mechanical forces.

Partial Discharge Report		PTP
RPCL	Executive Summary	24 November 2017

Failure mechanism	Polarity	Load Effect	Temperature Effect	Phase Location
Load Cycling	Negative Predominance	Little change with load	Negative	45° predominant

11. Contamination

Since the end winding area of machines is specifically designed to be away from ground planes, PD that occurs due to contamination in the end winding is normally phase-to-phase voltage dependent and will be 30° phase shifted from the classic positions of 45° and 225°. The direction of the shift is dependent on the location of the contamination and the voltages of the affected coils and is therefore unpredictable. Identification or inspection of the site of arcing may be difficult due to limited visibility in the area. Though there may be some effect of temperature or load changes on PD activity from contamination, it is difficult to predict the expected results. However, environmental conditions such as humidity may have a very noticeable effect, especially if the surface contamination becomes partly conductive when damp.

Failure mechanism	Polarity	Load Effect	Temperature Effect	Phase Location
Contamination	No predominance	No load effect	Unpredictable	15°, 75°, 195° and 255°



Partial Discharge Report		<i>PTP</i>
RPCL	Executive Summary	24 November 2017

Appendix D: Compare Test Result with Similar Machines

Iris PD Database

- Over 400,000 test results from thousands of machines for comparison purposes
- Each year Iris publishes the statistical range of Qm (peak PD) for each type of stator
 - Voltage rating
 - Air or hydrogen cooling
 - PD sensor type
- If a stator has a Qm that exceeds 90% of readings, then winding is deteriorated

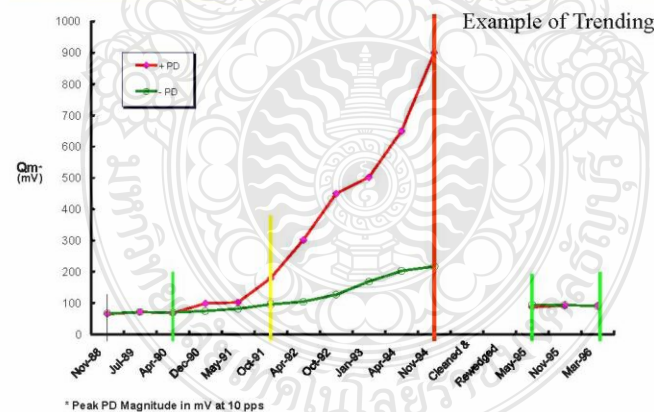
Three Basic Methods for Interpretation

- Compare graphs from identical machine (stator with highest PD is most deteriorated)
- Compare test result from a machine to a similar machines in Iris database
- Trend PD over time (2 times increase per year is significant rate of deterioration)

Trend PD Over Time

- Most powerful, reliable means of interpreting data
- If Qm low, and constant trend, winding in good condition
- Collect data over the years, if Qm increases slowly, winding is stable
- If Qm doubles in 6 to 12 months, rate of deterioration increasing
- Trending Can also determine if repairs effective

Trend PD Over Time



Partial Discharge Report		PTP
RPCL	Executive Summary	24 November 2017

APPENDIX E Standard for 10 pulses count per second (pcs)

1. IEC 60034-27 Clause 5 Measuring Tech & Instruments

TS 60034-27 © IEC:2006

- 25 -

- the transmission function from the PD source to the PD sensor is unknown and depends on the specific design of the machine which determines the frequency response of the stator winding. Therefore, the energy at the source of the PD, which can be taken as a measure of the erosion of the insulation, cannot be measured directly;
- the individual high frequency transmission behaviour of a stator winding produces PD signals at the terminals that are a characteristic of the machine being tested and of the location of the PD source;
- very high frequency components of PD signals are subject to considerable attenuation when travelling through the winding and, depending on the origin of the PD, might not be detectable at the terminals of the test object

As a consequence of the above-mentioned phenomena not only the particular stator winding design but also the specific frequency response of the PD detection system, including coupling devices, will significantly influence the characteristics of the signal detected at the terminals of the winding.

5 Measuring techniques and instruments

5.1 General

In line with IEC 60270, this clause deals solely with electrical methods of measuring partial discharges because the electrical, conductive measurement of partial discharges is the most commonly used method of assessing the winding insulation of rotating machines. Non-electrical methods of measurement and localization are listed in Annex B.

Partial discharge measuring systems can be divided into subsystems: coupling device, transmission system (for example, connecting cable or optical link) and measuring instrument. In general, the transmission system does not contribute to the circuit characteristics, apart from some possible signal attenuation, and will thus not be taken into consideration.

5.2 Influence of frequency response of measurement system

The frequency response of the PD detection system, including the PD coupling unit, determines how much energy of the PD signal from the winding can be detected. Thus, the frequency response of the system, especially the type of coupling unit being used, has a considerable impact on the overall sensitivity of detection. Due to the different values of lower cut-off frequency, the following qualitative relationships are basically applicable when testing complete windings:

- measurement in the lower frequency range ensures good sensitivity not only for partial discharges in bars/coils close to the sensor but also for those that originate from further away in the winding. However, the lower frequency range is more subjected to noise and disturbances;
- measurement in the very high frequency range may acquire only a very small proportion of the total PD energy, which results in sensitivity to signals originating only very close to the sensor. However, this frequency range may be less susceptible to noise and disturbance.

For off-line PD testing to obtain appropriate sensitivity to PD from the whole winding it is advisable to use wide band PD measuring systems. The lower cut-off frequency should be in the range of several tens of kHz in accordance with IEC 60270.

TS 60034-27 © IEC:2006

- 27 -

It should be noted that depending on the winding design and the measurement arrangement used, resonance phenomena that are in the frequency range of the PD measuring device may occur and therefore may also influence PD results.

5.3 Effects of PD coupling units

For off-line PD measurements on stator windings and PD tests on winding components capacitive coupling units are often used. These consist of a high voltage capacitor and a low voltage coupling device in series. When testing individual winding components, the coupling device may also be connected in series to the test object (see Figure 5b). The low voltage coupling device is connected to the transmission system.

The high voltage capacitor, the coupling device, the transmission system and the input impedance of the measurement system represent a high-pass filter. Therefore, increased input impedance or higher capacitance values lead to an increased sensitivity.

Figure 1 shows schematically the frequency response of an idealized PD pulse and the transfer functions of different PD coupling units with a high voltage capacitor and a resistive measuring impedance $Z_m=R$ at the low voltage side. The marked overlap of the spectra of the PD pulse and the coupling unit, shown in Figure 1, for an RC time constant of 5 ns, determines the signal energy which can be measured. In practical cases, such systems show band pass filter characteristics due to parasitic L and C components.

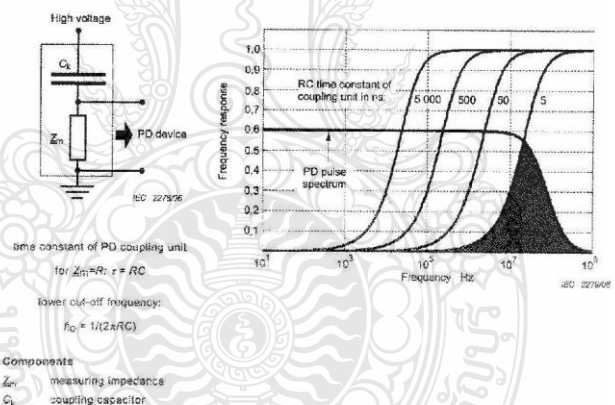


Figure 1 – Frequency response of a PD pulse and coupling units of various time constants

Partial Discharge Report		PTP
RPCL	Executive Summary	24 November 2017

TS 60034-27 © IEC:2006

- 29 -

PD pulses are attenuated and dispersed especially at higher frequencies while propagating through the winding. Therefore, measurement systems with lower cut-off frequency in the lower frequency range usually provide an average good sensitivity to PD from the whole winding.

When taking measurements on individual winding components, the high voltage coupling capacitor is connected to the copper conductor. For PD measurements on complete windings, the coupling unit is connected to the terminals of the machine or inside the frame directly to the winding conductors.

The following low voltage coupling devices are typically combined with the high voltage capacitor:

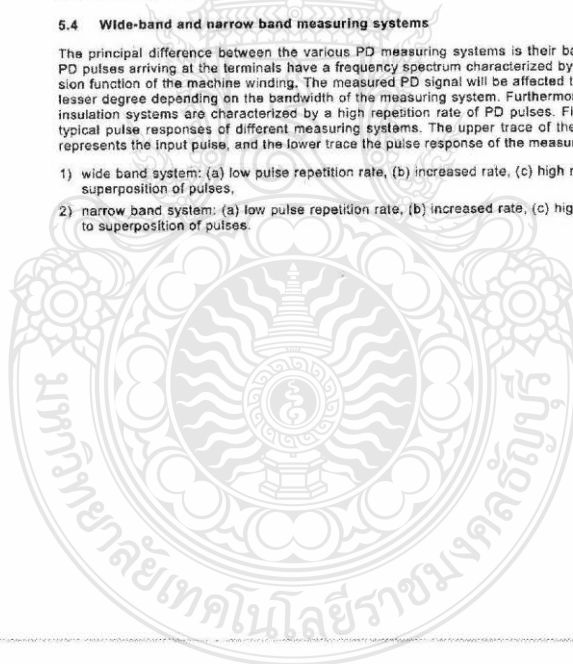
- RLC filters or four-terminal networks (see IEC 60270) wherein an inductance serves to suppress the power frequency component;
- high-frequency current transformers (RF-CT) which may also serve to galvanically separate the high voltage circuitry from the measuring device.

RF-CT connected with ground wires can also be used as a standalone coupling device. When using fibre optical signal transmitters, the coupling devices can also be installed on the HV side of the capacitor.

5.4 Wide-band and narrow band measuring systems

The principal difference between the various PD measuring systems is their bandwidth. The PD pulses arriving at the terminals have a frequency spectrum characterized by the transmission function of the machine winding. The measured PD signal will be affected to a greater or lesser degree depending on the bandwidth of the measuring system. Furthermore, micaeous insulation systems are characterized by a high repetition rate of PD pulses. Figure 2 shows typical pulse responses of different measuring systems. The upper trace of the oscillograms represents the input pulse, and the lower trace the pulse response of the measuring system:

- 1) wide band system: (a) low pulse repetition rate, (b) increased rate, (c) high rate leading to superposition of pulses.
- 2) narrow band system: (a) low pulse repetition rate, (b) increased rate, (c) high rate leading to superposition of pulses.



Partial Discharge Report		PTP
RPCL	Executive Summary	24 November 2017

2. IEEE Std. 1434-2000 Related Pages

IEEE
Std 1434-2000

IEEE TRIAL-USE GUIDE TO THE MEASUREMENT OF

useful for locating girth cracks or slot discharge activity involving individual coils/bars. Some disassembly of the machine may be necessary to facilitate the visual inspection. A 50 Hz or 60 Hz variable voltage supply is desirable for applying the test voltage. In order to locate some discharge sources, it will be necessary to be able to energize one phase at a time with the others grounded. No further discussion of the black-out test is provided in this guide.

6. Electrical pulse and RF radiation sensing systems

A considerable number of different electrical pulse sensing systems are in use. The machine design and PD activity may define the type of sensors and the installation required.

When a PD event occurs at some location in a winding, the injected charge first flows into the capacitance to ground at the injection site, thereby modifying the local voltage. This voltage change immediately becomes the crest of a wave that propagates in both directions away from the injection site. The nature of the wave at any location away from the injection site depends entirely on the impedance along the path it had to traverse. Because PD pulse rise times may be in the nanosecond range at the injection site, the initial voltage wave has frequencies from the kilohertz to the gigahertz range. However, it should be noted that all components of the test object and the measuring circuit affect the bandwidth of the measurement. The inductance of the sensor's connection to the test object may limit the upper frequency to some tens of megahertz. Specially designed sensors (e.g., see 6.3.3) and test methods are required to extend the upper frequency limit.

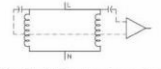
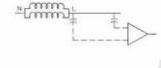
Typical electrical pulse sensors and associated detectors are listed in Table 1 for on-line measurements, Table 2 for off-line measurements on complete windings, and Table 3 for measurements on individual coils and bars. These are intended as examples only. Other systems of sensors and detectors are available that may be equally suitable for particular applications.



12

Copyright © 2000 IEEE. All rights reserved.

Table 1—On-line discharge measurements (typical systems)

Case	Sensors	Detector/output	Frequency range	Noise rejection	Pros and cons	Data output/ format/ applicability/ bibliography
I	<p>80 pF coupler terminated in 50 Ω and connected either</p> <ul style="list-style-type: none"> —Differentially with a minimum of one coupler near line end of each of two parallel circuits per phase.  <p>— Directionally with one coupler per phase at line terminal and a second at least 2 m distant on IPB. (In some cases for cable-connected machines, only the coupler at the line terminal is needed per phase.)</p> 	<p>Pulse height analyzer with pulse-phase capability.</p> <p>Hard disk storage: Pulse height plots in terms of two phase windows or multiphase windows.</p>	<p>40–150 MHz (system) or 40–350 MHz (system).</p> <p>For lower –3 dB point of around 7 MHz, see [B30] and [B33].</p>	<p>Noise rejection using 40–150 MHz instrumentation is achieved by a differential connection of a pair of couplers at the detector input. In 40–350 MHz instruments, noise rejection is achieved based on time of arrival of pulses from the two couplers. This is especially important for directional couplers. Noise reduction is also achieved by attenuation when differential couplers are installed within a winding.</p>	<p>Differential couplers are sensitive primarily to PD at the line end of the circuits in which they are installed. This is especially true when the couplers are installed within the winding such as at an end cap. Differential coupler connection is usually limited to hydrogenerators because of the need for >2 m between pairs of couplers. Directional couplers do not attribute PD to a particular stator circuit.</p> <p>Directional couplers are vulnerable to internal noises, such as shaft grounding brushes and back of core sparking, which are prevalent, especially in large turbo alternators.</p> <p>Completely computerized system.</p>	<p>Color LCD; serial and parallel printer ports. Floppy disk.</p> <p>Differential: H [B28], [B32], [B72], [B74], [B80]</p> <p>Directional: T, S, H [B10], [B30], [B59], [B60], [B62], [B80]</p>

Applicability:
 H = hydrogenerator
 T = thermal generator
 S = synchronous condenser
 M = motor

Copyright © 2000 IEEE. All rights reserved.

13

PARTIAL DISCHARGES IN ROTATING MACHINERY

IEEE Std 1434-2000



Partial Discharge Report

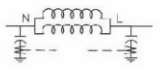

PTP

RPCL

Executive Summary

24 November 2017

Table 1—On-line discharge measurements (typical systems) (continued)

Case	Sensors	Detector/output	Frequency range	Noise rejection	Pros and cons	Data output/ format/ applicability/ bibliography
2	<p>—10 nF capacitive coupler with broadband high-frequency current transformer at line terminals.</p> <p>—RFCT with or without 10 nF capacitor between machine neutral and ground.</p> 	<p>Narrow-band and broadband data acquisition in time and frequency domain.</p> <p>Tracing of 30 significant characteristic voltage fingerprints (phase resolved pulse height analysis, histograms, time domain pattern, etc.).</p>	10 kHz–>30 MHz	<p>—Subtracting signals (two couplers/phase necessary).</p> <p>—Time and frequency windowing.</p> <p>—Automatic interference elimination based on statistical disturbance recognition determines setting of time and frequency windows.</p>	<p>Combination of different measuring methods to increase the interpretation and confidence level. Completely computerized system. Analysis of unfiltered signals (sampling rate=40 MBs without stretch).</p>	M, T, S, H [B68]
3	<p>Stator slot coupler installed under wedge in existing windings opposite air gap bar closest to line end, or in new windings between air gap bar and back bar, where at least one bar is in a line end position.</p> 	Pulse height analyzer with pulse phase capability, as in Case 1.	30 MHz->1 GHz (sensor) 20-500 MHz (detector)	Pulse widths >20 ns considered to be noise. Can discriminate between pulses traveling from end windings toward slot and vice versa.	<p>Excellent noise immunity. Response limited to one slot. Requires rotor removal for sensor installation. If gas cooled, requires penetration of gas seal.</p>	As for Case 1. T, S [B46], [B47], [B60], [B67]

Applicability:
 W = hydrogenerator
 T = thermal generator
 S = synchronous condenser
 M = motor

Copyright © 2000 IEEE. All rights reserved.

IEEE STANDARD GUIDE TO THE MEASUREMENT OF
 PARTIAL DISCHARGE





ภาคผนวก ง
ผลงานตีพิมพ์เผยแพร่



CALL FOR PAPERS

การประชุมวิชาการทางวิศวกรรมไฟฟ้า (Electrical Engineering Conference หรือ EECON) เป็นการประชุมทางวิชาการระดับชาติที่มีมาตรฐานทางวิชาการเป็นที่ยอมรับในระดับสากล มีวัตถุประสงค์เพื่อให้ คณาจารย์ นิสิต นักศึกษา นักวิจัย รวมถึงวิศวกรและผู้ปฏิบัติงานในสาขาวิศวกรรมไฟฟ้าและสาขาอื่น ๆ ที่เกี่ยวข้องทั้งจากสถาบันการศึกษา และหน่วยงานต่าง ๆ ทั้งจากภาครัฐและเอกชน ได้นำเสนอผลงานวิจัย รวมทั้งได้มีโอกาสแลกเปลี่ยนความคิดเห็นทางด้านงานวิจัยและประสบการณ์ระหว่างกัน การประชุมวิชาการทางวิศวกรรมไฟฟ้านี้ดำเนินการโดยคณะกรรมการจัดการประชุมวิชาการทางวิศวกรรมไฟฟ้าซึ่งประกอบด้วย คณะกรรมการสภาวิชาการวิศวกรรมไฟฟ้า ผู้แทนจากสถาบันกรรมการสามัญ ผู้แทนจากสถาบันกรรมการสมทบ และคณะกรรมการดำเนินการจัดการประชุมจากสถาบันที่ได้รับเกียรติให้เป็นเจ้าภาพในแต่ละปี การประชุมวิชาการทางวิศวกรรมไฟฟ้าได้จัดขึ้นทุกปีตั้งแต่ปี พ.ศ. ๒๕๒๑ เป็นต้นมา และในปี พ.ศ. ๒๕๖๐ นี้ นับเป็นครั้งที่ ๔๐ มหาวิทยาลัยเทคโนโลยีพระจอมเกล้าพระนครเหนือ โดยภาควิชาวิศวกรรมไฟฟ้าและคอมพิวเตอร์ ได้รับเกียรติให้เป็นเจ้าภาพหลัก จากอดีตถึงปัจจุบันของมหาวิทยาลัยมุ่งเน้นในการสร้างเครือข่ายการพัฒนาทางวิจัยและวิชาการแบบสหสาขาวิชา และมุ่งเน้นให้การนำผลงานวิจัยไปแก้ปัญหาให้กับอุตสาหกรรม ดังนั้นการเป็นเจ้าภาพในครั้งนี้จึงเกิดมิติใหม่ในการที่จะทำงานร่วมกันของ ๔ หน่วยงานภายในของมหาวิทยาลัยได้แก่ คณะวิศวกรรมศาสตร์ (ภาควิชาวิศวกรรมไฟฟ้าและคอมพิวเตอร์ ภาควิชาวิศวกรรมเครื่องกลและอิเล็กทรอนิกส์) คณะวิทยาศาสตร์ประยุกต์ (ภาควิชาวิทยาการคอมพิวเตอร์และสารสนเทศ ภาควิชาฟิสิกส์อุตสาหกรรมและอุปกรณ์การแพทย์) คณะครุศาสตร์อุตสาหกรรม (ภาควิชาครุศาสตร์ไฟฟ้า) และวิทยาลัยเทคโนโลยีอุตสาหกรรม (ภาควิชาเทคโนโลยีวิศวกรรมไฟฟ้า ภาควิชาเทคโนโลยีวิศวกรรมอิเล็กทรอนิกส์) เพื่อแสดงถึงอัตลักษณ์ที่โดดเด่นและเข้มแข็งของมหาวิทยาลัย รวมทั้งนับเป็นโอกาสที่ดีเนื่องจากเป็นวาระครบรอบ ๓๐ ปี ของภาควิชาวิทยาการคอมพิวเตอร์และสารสนเทศ อีกทั้งเป็นวาระครบรอบ ๕๐ ปี ของภาควิชาวิศวกรรมไฟฟ้าและคอมพิวเตอร์

หมายเหตุ ผู้เข้าร่วมการประชุมครั้งนี้ สามารถนำไปนับเป็นกิจกรรม "การพัฒนาวิชาชีพวิศวกรรมอย่างต่อเนื่อง (CPD)" จำนวน ๑๒ ชั่วโมง รหัสกิจกรรม ๓๐๑-๐๓-๒๐๒๕-๐๐-๒๐๑๑

คณะกรรมการจัดการประชุม

- คณะกรรมการสมาคมวิศวกรทางวิศวกรรมไฟฟ้า (ประเทศไทย)**

- สถาบันกรรมการสามัญ**
 - สถาบันเทคโนโลยีพระจอมเกล้าเจ้าคุณทหาร ลาดกระบัง
 - จุฬาลงกรณ์มหาวิทยาลัย
 - มหาวิทยาลัยเกษตรศาสตร์
 - มหาวิทยาลัยเชียงใหม่
 - มหาวิทยาลัยสงขลานครินทร์
 - มหาวิทยาลัยเทคโนโลยีพระจอมเกล้าธนบุรี
 - มหาวิทยาลัยเทคโนโลยีพระจอมเกล้าพระนครเหนือ
 - มหาวิทยาลัยขอนแก่น
 - มหาวิทยาลัยเทคโนโลยีราชมงคลธัญบุรี
 - มหาวิทยาลัยเทคโนโลยีมหานคร
 - มหาวิทยาลัยธรรมศาสตร์
 - มหาวิทยาลัยศรีนครินทรวิโรฒ
 - มหาวิทยาลัยศรีปทุม
 - มหาวิทยาลัยมหิดล
 - มหาวิทยาลัยสยาม
 - มหาวิทยาลัยกรุงเทพ
 - ศูนย์เทคโนโลยีอิเล็กทรอนิกส์และคอมพิวเตอร์แห่งชาติ
 - มหาวิทยาลัยอุบลราชธานี
 - มหาวิทยาลัยหอการค้าไทย
 - มหาวิทยาลัยเอเชียอาคเนย์
 - มหาวิทยาลัยเกษมบัณฑิต
 - มหาวิทยาลัยรังสิต
 - มหาวิทยาลัยนเรศวร
 - มหาวิทยาลัยธุรกิจบัณฑิต
 - มหาวิทยาลัยอีสเทิร์นเอเชีย
 - มหาวิทยาลัยเทคโนโลยีราชมงคลพระนคร
 - มหาวิทยาลัยเทคโนโลยีราชมงคลธัญบุรี
 - มหาวิทยาลัยเทคโนโลยีราชมงคลกรุงเทพ
 - มหาวิทยาลัยพะเยา
 - มหาวิทยาลัยเทคโนโลยีราชมงคลอีสาน
 - มหาวิทยาลัยเทคโนโลยีสุรนารี
 - มหาวิทยาลัยเทคโนโลยีราชมงคลสุวรรณภูมิ
 - มหาวิทยาลัยเทคโนโลยีราชมงคลรัตนโกสินทร์
 - มหาวิทยาลัยอัสสัมชัญ

สาขาของบทความ

- ไฟฟ้ากำลัง (PW)
- อิเล็กทรอนิกส์กำลัง (PE)
- ไฟฟ้าสื่อสาร (CM)
- ระบบควบคุมและการวัดคุม (CT)
- อิเล็กทรอนิกส์ (EL)
- การประมวลผลสัญญาณดิจิทัล (DS)
- โฟโตนิกส์ (PH)
- วิศวกรรมชีวการแพทย์ (BE)
- คอมพิวเตอร์และเทคโนโลยีสารสนเทศ (CP)
- งานวิจัยที่เกี่ยวข้องกับวิศวกรรมไฟฟ้า (GN)

การส่งบทความ

จัดทำบทความเป็นภาษาไทยหรือภาษาอังกฤษจำนวนไม่เกิน ๔ หน้ากระดาษขนาด A4 (21 cm x 29.7 cm) ตามแบบที่กำหนด ส่งผ่านระบบออนไลน์ โดยขึ้นตอนและรายละเอียดในการส่งบทความสามารถเข้าดูได้ที่เว็บไซต์ของการประชุมที่ <http://www.ece.eng.kmutnb.ac.th/eecon-40>

การพิจารณาและการนำเสนอบทความ

การพิจารณาบทความดำเนินการโดยผู้พิจารณาบทความระดับวิชาชีพชั้นสูงทางวิศวกรรมไฟฟ้า (Professional reviewers) ที่ได้รับการคัดเลือกตรงตามสาขาจากสมาคมวิชาการทางวิศวกรรมไฟฟ้า (ประเทศไทย) (EEAAT) และจากสถาบันกรรมการทั่วประเทศ บทความที่ผ่านการพิจารณาจะได้รับการตีพิมพ์ในเอกสารการประชุม (Proceedings) ของ EECON-40 และต้องมีการนำเสนอในที่ประชุม บทความตีพิมพ์ในแต่ละสาขาจะได้รับการคัดเลือกในขั้นตอนแรกจากผู้พิจารณาบทความและจะได้รับการพิจารณาตัดสินในขั้นตอนสุดท้ายโดยผู้ทรงคุณวุฒิที่ได้รับการเสนอชื่อจากสมาคมวิชาการทางวิศวกรรมไฟฟ้า (ประเทศไทย) และจากสถาบันที่เป็นกรรมการสามัญทั่วประเทศ

กำหนดการสำคัญ

หมดเขตรับบทความ	๑๘ มิถุนายน ๒๕๖๐
แจ้งผลการพิจารณาบทความ	๓๐ กรกฎาคม ๒๕๖๐
หมดเขตรับบทความฉบับสมบูรณ์	๒๒ สิงหาคม ๒๕๖๐
วันสุดท้ายของการลงทะเบียนของผู้นำเสนอบทความ	๕ กันยายน ๒๕๖๐
วันสุดท้ายของการลงทะเบียนล่วงหน้า	๓ ตุลาคม ๒๕๖๐
การนำเสนอบทความ	๑๕-๑๗ พฤศจิกายน ๒๕๖๐

ต้องการข้อมูลเพิ่มเติมกรุณาติดต่อ

ภาควิชาวิศวกรรมไฟฟ้าและคอมพิวเตอร์ คณะวิศวกรรมศาสตร์
มหาวิทยาลัยเทคโนโลยีพระจอมเกล้าพระนครเหนือ
๑๕๑๘ ถนนประชาจารุภาพ ๑ แขวงวงศ์สว่าง เขตบางซื่อ กทม. ๑๐๘๐๐
อีเมล: eecon-40@eng.kmutnb.ac.th
โทรศัพท์: ๐๒ ๕๕๕ ๒๐๐๐, ต่อ ๕๕๑๙, ๕๕๒๐ โทรสาร: ๐๒ ๕๕๕ ๗๒๕๐



คณะกรรมการผู้ทรงคุณวุฒิแต่ละสาขา
การประชุมวิชาการทางวิศวกรรมไฟฟ้าครั้งที่ ๔๐

สาขา	ประธานภายใน			หน่วยงาน	ประธานภายนอก			หน่วยงาน
	คำนำหน้า	ชื่อ	สกุล		คำนำหน้า	ชื่อ	สกุล	
PW	ดร.	นพดล	ฉาบแก้ว	มจพ.	ดร.	ธรรมวฤทธิ์	สิงห์วิลัย	ม.มหิดล
PE	รศ.ดร.	นิสัย	เพ็ญเวโรจน์สกุล	มจพ.	ผศ.ดร.	สุรพงศ์	สุวรรณกวิน	จุฬาฯ
CM	ดร.	พิสิฐ	วนิชชานันท์	มจพ.	รศ.ดร.	ภูมิพัฒน์	แสงอุดมเลิศ	ม.กรุงเทพฯ
CT	ดร.	นที	ทองอุ่น	มจพ.	รศ.ดร.	ชวินทร์	บุญลักษณ์านุสรณ์	สจล.
EL	รศ.ดร.	มนตรี	ศิริปรัชญานันท์	มจพ.	รศ.ดร.	พิพัฒน์	พรหมมี	สจล.
DS	ผศ.ดร.	เอกรัฐ	บุญภูงา	มจพ.	ดร.	มนตรี	โพธิ์โสโนทัย	สจล.
PH	ผศ.ดร.	อมรินทร์	รัตนะวิศ	มจพ.	ดร.	นพดล	นันทวงศ์	NECTEC สวทช.
BE	ผศ.	พยุ่ง	เดชอยู่	มจพ.	ผศ.ดร.	ปิยะมาศ	เสื่อเพ็ง	ม.รังสิต
CP	ดร.	อัครา	ประโยชน์	มจพ.	รศ.ดร.	มงคล	เอกปัญญาพงศ์	AIT
GN	ผศ.ดร.	พงศธร	ชมทอง	มจพ.	ดร.	ศุภกิจ	พฤกษ์อรุณ	ม.ธรรมศาสตร์
SS	ผศ.ดร.	กฤษณ์	อ่างแก้ว	มจพ.	ผศ.ดร.	ชูธรรม	สาวิกัน	ม.เทคโนโลยีพระจอมเกล้าธนบุรี

9.	056	การประมาณการใช้พลังงานไฟฟ้ารวมของเครื่องปรับอากาศในอาคารที่ท้ออาศัยในเขตกรุงเทพมหานคร	ธนโชติ จิรวัลลภ, ธนภัทร พรพงศ์รุ่งเรือง, ศุจินันท์ ชื่นชม, จักรวาล เดชวิเศษ, ณัฐพงศ์ ตันตพูนุช มหาวิทยาลัยธรรมศาสตร์
10.	059	การวางแผนส่งการถ่ายเทโหลดของระบบจำหน่าย 22 kV โดยใช้โครงข่ายประสาทเทียม	ณัฐชาติ คำขันตี, วิชัย ผดุงศิลป์, ฉัตรชัย ศุภพิทักษ์สกุล มหาวิทยาลัยเทคโนโลยีราชมงคลธัญบุรี
11.	062	การนำพลังงานจากรถยนต์ไฟฟ้ามาประยุกต์ใช้กับที่พักอาศัย	ชวิน หฤพรพงษ์, รศ.ดร.สุรินทร์ คำฝอย สถาบันเทคโนโลยีพระจอมเกล้าเจ้าคุณทหารลาดกระบัง
12.	064	การจัดสรรหน่วยผลิตไฟฟ้าแบบกระจายตัวร่วมกับอุปกรณ์ควบคุมกำลังไฟฟ้าแบบยืดหยุ่นที่เหมาะสมสำหรับการลดกำลังไฟฟ้าสูญเสียโดยใช้เครื่องมือในการวิเคราะห์ด้วยขั้นตอนวิธีเชิงพันธุกรรม	ศตวรรษ บูรณา, ปณิตา ธาทรักษ์, พีรพล จิราพงศ์ มหาวิทยาลัยเชียงใหม่
13.	089	การวิเคราะห์การกระจายสนามไฟฟ้าและแรงดันไฟฟ้าบนลูกถ้วยฉนวนแยกสายในระบบจำหน่ายไฟฟ้าของประเทศไทย	ชัยรัตน์ ภูมิธรรมเจริญ, พิสุทธิณี ภูษา, ณัฐพงศ์ ตันตพูนุช มหาวิทยาลัยธรรมศาสตร์
14.	099	การวิเคราะห์สมรรถนะทางไฟฟ้าและอาร์มอิกส์ที่เกิดจากการเปลี่ยนแปลงโหลดฟลูออเรสเซนต์ด้วยหลอดแอลอีดี(LED) เพื่อการประหยัดพลังงานไฟฟ้า	คณิศร บุญรัตน์, กัญญาภัค ศรีสุข มหาวิทยาลัยเทคโนโลยีราชมงคลศรีวิชัย วิทยาเขตตรัง
15.	109	ขนาดอนุภาคของสารตัวเติมอินทรีย์ที่ได้จากเปลือกหอยเชอรี่ต่อคุณสมบัติทางไฟฟ้าของฉนวนยางซิลิโคน	ศุจิรัตน์ เทพศิลา, อานาจ สุขศรี มหาวิทยาลัยขอนแก่น
16.	110	การศึกษาแรงดันไฟฟ้าของเครื่องกำเนิดไฟฟ้าเหนี่ยวนำโดยใช้อิเล็กทรอนิกส์ไหลค้อนโทรลเลอร์ถ่ายโอนกำลังไฟฟ้าและบัคอินเวอร์เตอร์ปรับอัตราการผลิตประจุของแบตเตอรี่	ธนพงศ์ ประทีพพรกุล, ไทรินทร์ เห่งโพธิ์, พิชัย อารีย์ มหาวิทยาลัยธรรมศาสตร์
17.	126	ความคงทนต่อแรงดันเบรกความถี่ของก๊าซผสมระหว่างก๊าซ SF ₆ และก๊าซ N ₂	จาตุรนต์ สินธุคุณากร, นรเศรษฐ พัฒนเดช สถาบันเทคโนโลยีพระจอมเกล้าเจ้าคุณทหารลาดกระบัง
18.	131	การลดแรงบิดสั่นสะเทือนในแกนเพลลาของมอเตอร์เหนี่ยวนำด้วยการหน่วงเวลาจ่ายแรงดัน	นิธิชัย แก้วขำ, พิชัย อารีย์ มหาวิทยาลัยธรรมศาสตร์
19.	138	การศึกษาออกแบบระบบเฟ้าระวังและเตือนภัย การเกิดดีสชาร์จบางส่วนในหม้อแปลงไฟฟ้ากำลังฉนวนน้ำมันและแสดงผลผ่านทางเว็บไซต์	พินิจ จิตจริง, สิริชัย ประกอบธรรม, อภิสิทธิ์ เมฆะ มหาวิทยาลัยเทคโนโลยีราชมงคลธัญบุรี
20.	140	การตรวจจับสัญญาณดีสชาร์จบางส่วนในเครื่องกำเนิดไฟฟ้าที่ 21 kV : กรณีศึกษาเครื่องกำเนิดไฟฟ้า ณ โรงไฟฟ้าพลังงานความร้อนร่วมของบริษัทราชบุรีเพาเวอร์จำกัด	วรัญญา บุญเพ็ญ, ฉัตรชัย ศุภพิทักษ์สกุล, พินิจ จิตจริง มหาวิทยาลัยเทคโนโลยีราชมงคลธัญบุรี
21.	145	การสร้างแบบจำลองเครื่องกั้นแก๊สสำหรับใช้ศึกษาในระบบไฟฟ้ากำลัง	กรสิทธิ์ สินสมบูรณ์, ศิวพล ศรีสนพจน์, คมสันต์ หงส์สมบัติ, บุศรา พิริยชนนท์

การตรวจจับสัญญาณดีสชาร์จบางส่วนในเครื่องกำเนิดไฟฟ้าฟัด 21 kV: กรณีศึกษาเครื่องกำเนิดไฟฟ้า
ณ โรงไฟฟ้าพลังงานความร้อนร่วมของบริษัทราชบุรีเพาเวอร์ จำกัด

Partial Discharge Signals Detecting in 21 kV Generator: Case Study of a Generator at
the Combined Cycle Power Plant of Ratchaburi Power Company Limited

วริญญ บุษยเทัญ ฉัตรชัย สุกพิทักษ์สกุล และพิณิจ จิตจรัส

ภาควิชาวิศวกรรมไฟฟ้า คณะวิศวกรรมศาสตร์ มหาวิทยาลัยเทคโนโลยีราชมงคลธัญบุรี
39 หมู่ 1 ตำบลคลองหก อำเภอธัญบุรี จังหวัดปทุมธานี 12110 โทรศัพท์: 0-2549-3229 โทรสาร 0-2549-3422
E-mail: waruny_b@mail.rmutt.ac.th, chatehai.s@en.rmutt.ac.th, pinit.j@en.rmutt.ac.th

บทคัดย่อ

บทความนี้นำเสนอการตรวจจับและวิเคราะห์สัญญาณดีสชาร์จบางส่วนในเครื่องกำเนิดไฟฟ้าฟัด 21 kV เพื่อใช้ในการวางแผนการบำรุงรักษาเครื่องกำเนิดไฟฟ้า การศึกษานี้ทำโดยการตรวจวัดและเก็บข้อมูลสัญญาณจากเซ็นเซอร์ตรวจวัดสัญญาณดีสชาร์จบางส่วน ที่ติดตั้งภายในเครื่องกำเนิดไฟฟ้าของโรงไฟฟ้าพลังงานความร้อนร่วมของบริษัทราชบุรีเพาเวอร์ จำกัด ด้วยออสซิลโลสโคปความเร็วสูงร่วมกับชุดจับเก็บข้อมูล จากนั้นนำข้อมูลที่ได้มาวิเคราะห์เปรียบเทียบกับเครื่องมือวัดมาตรฐาน TGA-B (Turbine Generator Analyzer – Bus Coupler) จากผลการตรวจวัดด้วยวิธีที่นำเสนอ สามารถตรวจจับสัญญาณดีสชาร์จบางส่วนได้ และผลการวิเคราะห์ไปในทิศทางเดียวกับผลที่ได้จากเครื่องมือวัดมาตรฐาน

คำสำคัญ: สัญญาณดีสชาร์จบางส่วน ที่ดีเซ็นเซอร์ ออสซิลโลสโคปความเร็วสูง

Abstract

This paper presents a method for detection and analysis of partial discharge signals in generator 21 kV for preventive maintenance planning. In this study were performed at the combined cycle power plant of Ratchaburi Power Co., Ltd., where the generator has installed the partial discharge sensors. The signals were measured and collected using a high speed oscilloscope module with data acquisition. The data is analyzed and compared with the results obtained from the standard instrument Turbine Generator Analyzer – Bus Coupler, TGA-B. As the results, it is found that the partial discharge signals can be captured with the proposed method and the analyzed results tend to be the same as results obtained from the standard instrument.

Keywords: Partial discharge signals, PD sensor, High speed oscilloscope

1. บทนำ

จากสถิติความเสียหายของเครื่องกำเนิดไฟฟ้า ประมาณ 40% เกิดจากปัญหาที่จำนวนของสเตรเตอร์ ซึ่งสามารถตรวจสอบได้โดยการติดตั้ง Partial Discharge Monitoring และสาเหตุหลักของการเกิดดีสชาร์จบางส่วนในเครื่องกำเนิดไฟฟ้า นั้น คือ การเสื่อมสภาพด้วยความร้อน การเคลื่อนที่ของขดลวดที่ไม่ดี การคลายตัวของขดลวด ช่องว่างระหว่างเฟสไม่เพียงพอ และความสกปรกในปลายขดลวด

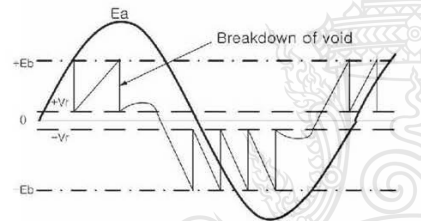
ปัจจุบันเทคโนโลยีในการตรวจวัดดีสชาร์จบางส่วนแบบทันทีที่มีหลายวิธีด้วยกัน เช่น การตรวจวัดด้วย Capacitor Couplers, การตรวจวัดด้วยวิธี RECT (Radio Frequency Current Transformer) [1] และการวิเคราะห์ซึ่งสามารถแบ่งออกเป็นหลากหลายรูปแบบด้วยกัน เช่น การวิเคราะห์รูปแบบ PRDP (Phase Resolved Partial Discharge Pattern) ในรูปแบบของมิติ และสามมิติที่ต้องแปลความหมายโดยผู้ประเมินผล [2] และยังได้มีการพัฒนาโปรแกรมดังกล่าว ซึ่งสามารถแปลผลรูปแบบของดีสชาร์จบางส่วนในเชิงคุณภาพ เน้นที่ความบกพร่องของขดลวดซึ่งแบ่งตามมาตรฐานสากล [3] และยังมีตรวจสอบดีสชาร์จบางส่วนในขดลวดแรงดันสูงในเครื่องกำเนิดไฟฟ้าด้วยเทคโนโลยี GVPI (Global Vacuum Pressure Impregnation) ซึ่งการวิเคราะห์ข้อมูลนั้นเป็นไปตามมาตรฐาน IEC60270 [4] นอกจากนี้ยังมีเครื่องมือวัดมาตรฐาน TGA-B (Turbine Generator Analyzer – Bus Coupler) ของบริษัท IRIS ทำการวิเคราะห์ทางสถิติเพื่อคาดการณ์เวลาวิกฤตของขดลวดสเตรเตอร์ของเครื่องกำเนิดไฟฟ้า โดยใช้วิธี VAR (Vector Autoregressive) [5] ผลการวิเคราะห์ต่างๆเหล่านี้จะช่วยให้สามารถวางแผนการบำรุงรักษาหรือซ่อมแซมตามสภาพจริงของเครื่องกำเนิดไฟฟ้า โดยไม่ต้องรอการบำรุงรักษาตามเวลาและยังสามารถหาสาเหตุได้ก่อนที่ความเสียหายจะเกิดขึ้น โรงไฟฟ้าพลังงานความร้อนร่วมราชบุรี ได้มีการติดตั้งเซ็นเซอร์และทำการตรวจวัดดีสชาร์จบางส่วนของเครื่องกำเนิดไฟฟ้า และใช้เครื่องมือวัดมาตรฐาน TGA-B ของบริษัท IRIS ทำการวิเคราะห์ ซึ่งทำไป 2 ครั้ง และมีค่าใช้จ่ายในการตรวจวัดแต่ละครั้ง อีกทั้งต้องรอผลการวิเคราะห์ของบริษัท ด้วยเหตุนี้ทำให้เกิดความสนใจที่ทำการศึกษาร

ตรวจจับสัญญาณการเกิดดิสชาร์จบางส่วน โดยใช้ออสซิลโลสโคป ความเร็วสูงร่วมกับซุกซ์เจ็ทข้อมูล เพื่อให้ได้ข้อมูลมาทำการวิเคราะห์ตามมาตรฐานต่อไป

2. ทฤษฎีและหลักการ

2.1 การเกิดดิสชาร์จบางส่วนในเครื่องกำเนิดไฟฟ้า

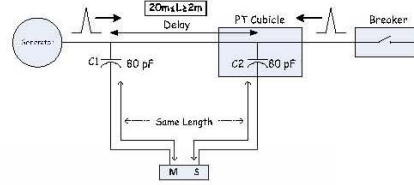
โดยปกติแล้วในจำนวนของ Stator Winding จะมีโพรงของอากาศปะปนอยู่ถึงแม้ว่าจะเป็นเครื่องกำเนิดไฟฟ้าเครื่องใหม่ก็ตาม ถ้าโพรงอากาศนั้นมีขนาด 1 มิลลิเมตร เมื่อแรงดันของเครื่องกำเนิดไฟฟ้าตกคร่อมโพรงอากาศมีค่าสูงกว่า 3 kV/mm (Vair/Dair) จะเกิดการเบรคความขึ้นภายในโพรงอากาศดังรูปที่ 1 และในทุกๆ 1 ไซเคิลจะเกิดการเบรคความ 2 ครั้ง เรียกว่าปรากฏการณ์นี้ว่าการเกิดสัญญาณดิสชาร์จบางส่วน คือ การมีฉนวนบางส่วนเกิดสภาพการนำไฟฟ้าแต่ไม่ทำให้ฉนวนโดยรวมเสื่อมสภาพลงในการเป็นฉนวน โดยขณะที่มีแรงดันตกคร่อมโพรงอากาศเรียกว่า "ภาวะการดิสชาร์จ" และขณะที่โพรงอากาศเกิดการเบรคความ เรียกว่า "ภาวะการดิสชาร์จ" ซึ่งจะเกิดขึ้นทุกฉนวน และถูกฉนวนของแรงดันรูปคลื่นไซน์เวฟ และจะเป็นเช่นนี้ไปตลอดจนกว่าจะได้รับการแก้ไข หรือจนกว่าฉนวนนั้นจะเกิดการล้มเหลว [5-6]



รูปที่ 1 การเกิด Breakdown ในโพรงช่องว่างของอากาศ

3. กรณีศึกษา

บริษัท ราชนิวเพาเวอร์ จำกัด เป็นโรงไฟฟ้าพลังงานความร้อนร่วม ตั้งอยู่ในพื้นที่ จังหวัดราชบุรี มีกำลังการผลิตรวมทั้งสิ้น 1,400 เมกะวัตต์ โดยแบ่งออกเป็น 2 มวลี โดยที่แต่ละมวลลีนั้นจะประกอบด้วย Gas Turbine 2 ยูนิท และ Steam Turbine 1 ยูนิท รวมทั้งหมดแล้ว บริษัท ราชนิวเพาเวอร์ จำกัด มีเครื่องกำเนิดไฟฟ้าทั้งหมด 6 ยูนิท ได้ดำเนินการติดตั้งอุปกรณ์ตรวจจับสัญญาณดิสชาร์จบางส่วนของ IRIS POWER ENGINEERING, INC. เป็นการติดตั้งด้วยวิธี Capacitor Couplers แบบ Direction 2PD /Phase ดังรูปที่ 2



รูปที่ 2 การติดตั้งแบบ Direction 2PD Sensor/Phase

3.1 ขั้นตอนการติดตั้งอุปกรณ์ตรวจวัด PD

การติดตั้งอุปกรณ์ตรวจวัดสัญญาณดิสชาร์จบางส่วนของ IRIS POWER ENGINEERING, INC จะประกอบด้วย 3 ส่วนหลักๆ คือ

- 1) Partial Discharge Sensor ประกอบด้วย High Volt Cable & EMCs (Epoxy Mica Capacitors) มีหลายขนาด ขึ้นอยู่กับแรงดันแต่จะมีค่า Capacitance เท่ากันคือ 80 pF ดังรูปที่ 3
- 2) Terminal Box เป็นจุดที่นำเครื่องมือวัดมาตรฐานไปต่อเพื่อวัดสัญญาณ ภายใน Terminal Box จะมีแผงวงจรอิเล็กทรอนิกส์ ประกอบด้วย แผงวงจรสำหรับติดตั้ง Resistor ขนาด 1,500 โอห์ม, 0.5 วัตต์ ขึ้นไป จำนวน 6 ชุด Varistor ขนาด 90 V จำนวน 6 ชุด และ BNC Jack จำนวน 6 ชุด ดังรูปที่ 4

3) Partial Discharge Analyzer ประกอบด้วย 2 ส่วนหลักๆ คือ เครื่องมือวัดมาตรฐาน TGA-B (Turbine Generator Analyzer – Bus Coupler) และเทคนิคการติดตั้ง Capacitor couplers แบบ Directional 2PD Sensor/Phase ซึ่งการติดตั้งแบบ 2 PD Sensor/Phase นั้น สำหรับ Generator ที่มี Lead เป็น IPB หรือ NPB การติดตั้งระยะห่างระหว่าง PD Sensor จะต้องห่างกันไม่น้อยกว่า 2 เมตร โดย PD Sensor C1 ด้าน M (Machine) ควรติดตั้งใกล้ Generator ให้มากที่สุด และ PD Sensor C2 ด้าน S (System) ติดตั้งห่างจาก C1 ไม่น้อยกว่า 2 เมตร แต่ไม่ควรเกิน 20 เมตร เพราะจะทำให้สายนำสัญญาณ Coaxial Cable มีความยาวมากเกินไป ทำให้มีผลลดทอนสัญญาณที่วัดได้ ซึ่งเป็นวิธีการจำกัดสัญญาณรบกวนโดยให้มี Delay Time ระหว่าง PD Sensor C1 และ C2 ไม่น้อยกว่า 5 ns โดยจัดให้สายนำสัญญาณ Coaxial Cable C1 และ C2 มีความยาวเท่ากัน เมื่อมีสัญญาณ PD เกิดขึ้นมาจาก Generator สัญญาณ PD จะมาถึง PD Sensor C1 ก่อนแล้วจึงมาถึง PD Sensor C2 ที่หลัง โดยห่างกันไม่น้อยกว่า 5 ns ซึ่งเครื่องมือวัดมาตรฐาน (TGA-B) สามารถรับรู้สัญญาณที่ได้รับนับมาจากด้าน Generator คือ PD ที่เกิดขึ้นมาจากภายใน Generator โดยจะต้องนำมาวิเคราะห์เปรียบเทียบกับ Voltage Reference ในช่วงของมมเฟสที่วัดได้ โดยทำการติดตั้งที่ Gas Turbine และที่ Steam Turbine จำนวน 6 ชุด ตามลำดับ



รูปที่ 3 High Volt Cable & Epoxy Mica Capacitors 80 pF



รูปที่ 4 Terminal Box



รูปที่ 5 (a) เครื่องมือวัดมาตรฐาน TGA-B (b) เครื่องมือวัดที่ใช้ในงานวิจัย

4. ขั้นตอนการทดสอบ

หลังจากที่ได้ดำเนินการติดตั้งอุปกรณ์ตรวจจับสัญญาณคิซาร์จบางส่วนเป็นที่เรียบร้อยแล้วทางบริษัทราชบุรีเพาเวอร์ จำกัด ได้ดำเนินการให้ผู้เชี่ยวชาญทำการวัดและวิเคราะห์ด้วยเครื่องมือวัดมาตรฐาน TGA-B (Turbine Generator Analyzer-Bus Coupler) และ เก็บข้อมูลเพื่อวิเคราะห์สัญญาณดังแสดงรูปที่ 5 (ก) ซึ่งเครื่องมือดังกล่าว เป็นเครื่องมือที่มีราคาแพงและซอฟต์แวร์สำเร็จรูปซึ่งมีราคาค่อนข้างสูง โดยในระยะเวลา 1 ปี เครื่องกำเนิดไฟฟ้าแต่ละตัวจะมีการวิเคราะห์ข้อมูล ปีละ 2 ครั้ง ซึ่งมีค่าใช้จ่ายในการตรวจวัดแต่ละครั้ง อีกทั้งต้องรอผลการวิเคราะห์ของบริษัท ส่วนเหตุนี้ทำให้ผู้วิจัยมีความสนใจที่ทำการศึกษารวบรวมสัญญาณการเกิดคิซาร์จบางส่วน ในการศึกษาเบื้องต้นที่วิจัยได้ใช้ไมโครคอนโทรลเลอร์ความเร็วสูง รุ่น NI PXIe-5160 (2.5GS/s, 10-Bits Digitizer) ร่วมกับชุดเก็บข้อมูล (Data Acquisition, DAQ) สำหรับการวัดและบันทึกสัญญาณการเกิด PD ดังแสดงรูปที่ 5 (ข) เพื่อวิเคราะห์ข้อมูลเบื้องต้นจากสัญญาณที่ได้ นำมาเปรียบเทียบกับเครื่องมือวัดมาตรฐาน เพื่อนำไปวิเคราะห์เปรียบเทียบต่อไป

5. ผลการทดสอบและการวิเคราะห์

ทางทีมผู้วิจัยได้ทำการทดสอบและเสาะหาคำตอบการเกิดคิซาร์จบางส่วนจากเครื่องกำเนิดไฟฟ้าหลังจากที่ได้ทำการติดตั้ง Capacitor

Couplers ไประยะหนึ่งแล้ว สามารถตรวจจับสัญญาณคิซาร์จบางส่วนได้ที่ Steam Turbine 10 ที่เฟส A ดังแสดงในรูปที่ 6-7 และจากข้อมูลของ IRIS POWER ENGINEERING,INC. ได้ทำการสรุปลักษณะเฉพาะรูปแบบของการเกิดสัญญาณคิซาร์จบางส่วนดังนี้ [8]

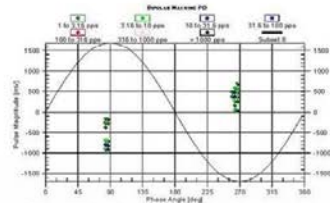
- 1) สัญญาณคิซาร์จบางส่วนเกิดขึ้นที่มุม 45° หรือ 225° เป็น PD ที่เกิดในจำนวนของ Stator Winding Generator
- 2) สัญญาณคิซาร์จบางส่วนเกิดขึ้นที่มุม 15°, 75°, 195° หรือ 255° เป็น PD ชนิด Phase to Phase หรือ End Winding
- 3) สัญญาณคิซาร์จบางส่วนเกิดขึ้นที่มุม 0° หรือ 180° เป็น PD ที่เกิดขึ้นจากปัญหา Electrical Connection บกพร่อง

5.1 ผลการทดสอบด้วยเครื่องมือมาตรฐาน

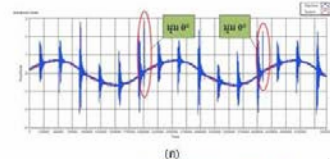
จากข้อมูลรายงานผลการวิเคราะห์การเกิดคิซาร์จบางส่วน ด้วยเครื่องมือมาตรฐานจาก IRIS POWER ENGINEERING,INC. เมื่อวันที่ 24 กุมภาพันธ์ 2017 ดังรูปที่ 6 ซึ่งหลังจากการติดตั้งอุปกรณ์ตรวจวัดสัญญาณ ตั้งแต่ปลายปี 2015 ทางผู้เชี่ยวชาญจาก IRIS POWER ENGINEERING, INC. ได้ดำเนินการเก็บข้อมูลครั้งแรกในวันที่ 8 กรกฎาคม 2016 มีผลการรายงานว่าไม่พบความผิดปกติของเครื่องกำเนิดไฟฟ้า ถัดมาครั้งที่สองได้ดำเนินการเก็บข้อมูลในวันที่ 6 กุมภาพันธ์ 2017 พบความผิดปกติของสัญญาณคิซาร์จบางส่วนขึ้นที่เฟส A ทางบริษัทราชบุรีเพาเวอร์ จำกัด จึงได้มีการวางแผนร่วมกับทางทีมผู้วิจัยและทางตัวแทน IRIS POWER ENGINEERING, INC. ว่าจะต้องมีการเก็บข้อมูลเพิ่มเติมเพื่อความถูกต้องโดยมีกำหนดการในวันที่ 24 กุมภาพันธ์ 2017 ได้ทำการตรวจวัดและบันทึกข้อมูลอีกครั้ง พบว่ายังมีความผิดปกติของการเกิดสัญญาณคิซาร์จบางส่วนที่เครื่องกำเนิดไฟฟ้า [7] และจากการวิเคราะห์ข้อมูลพบว่ามุมเฟสของสัญญาณการเกิดคิซาร์จนั้น เกิดขึ้นที่มุม 90° และ 270° ของเฟส A ซึ่งมุมเฟสที่เกิดขึ้นนั้นไม่เป็นไปตามลักษณะเฉพาะของรูปแบบการเกิดคิซาร์จบางส่วน

5.2 แสดงผลการวัดด้วยฮอสซิลโลสโคปความเร็วสูง

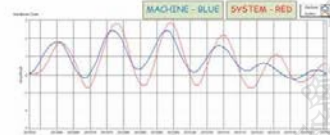
ผลการวัดสัญญาณการเกิดคิซาร์จบางส่วนด้วย ฮอสซิลโลสโคปความเร็วสูง ในวันที่ 24 กุมภาพันธ์ 2017 ดังแสดงรูปที่ 7 (ก) โดยทำการตั้งค่าอัตราการเก็บตัวอย่างสัญญาณ (Sampling rate) ที่ 100Ms และตั้งค่าการอ่านตัวอย่างสัญญาณ (Sample to read) ที่ 5M พบสัญญาณผิดปกติเกิดขึ้นที่มุม 0° ของเฟส A และเกิดขึ้นซ้ำกันทุกๆ 1 ไซเคิล ซึ่งเป็นมุมที่แตกต่างจากลักษณะเฉพาะของรูปแบบการเกิดสัญญาณคิซาร์จบางส่วนจากการขยายสัญญาณดังกล่าวให้เห็นชัดเจนดังแสดงรูปที่ 7 (ข) จะเห็นได้ว่าสัญญาณทางคาน System มีค่าสูงกว่าทางด้าน Machine โดยมีค่า Delay time ประมาณ 11 ns และสัญญาณที่เกิดขึ้นมีความถี่ 25 MHz ซึ่งเป็นความถี่ที่จัดอยู่ในช่วงของสัญญาณรบกวน เมื่อนำผลการวิเคราะห์ที่ได้ไปเปรียบเทียบกับเครื่องมือวัดมาตรฐาน พบว่ามีผลการวิเคราะห์ไปในทิศทางเดียวกัน



รูปที่ 6 สัญญาณคิสซาร์บางส่วนที่ตรวจวัดที่เครื่องมือวัดมาตรฐาน TGA-B at Steam Turbine 10 Phase A [7]



(a)



(b)

รูปที่ 7 สัญญาณคิสซาร์บางส่วนจากเครื่องวัดที่ใช้ในงานวิจัยที่สถานี A at Steam Turbine 10 เมื่อ (a) การเกิด PD ที่มุม 0° และ (b) การขยายการเกิด PD

6. สรุป

จากการศึกษาและทดสอบการเกิดสัญญาณคิสซาร์บางส่วนในเครื่องกำเนิดไฟฟ้าที่ 21 kV ด้วยวิธีการติดตั้งแบบ Directional 2 PD Sensor/Phase at Gas Turbine & Steam Turbine จะเห็นได้ว่าผลการวัดสัญญาณคิสซาร์บางส่วนที่ Steam Turbine 10 จากเครื่องมือวัดแบบมาตรฐานนั้นมีมุมเฟสการเกิด PD ที่มุม 90° และ 270° ซึ่งทาง IRIS POWER ENGINEERING, INC ได้สรุปข้อมูลดังกล่าวว่าเป็นมุมการเกิดที่แตกต่างจากรูปแบบปกติและได้ทำการวิเคราะห์ลักษณะการเกิดคิสซาร์บางส่วนดังกล่าวว่า เกิดจาก Open air arc หรือ Corona [8] และเมื่อเปรียบเทียบผลการวัดสัญญาณจากเครื่องมือวัดของสจิส โกลบอล ความเร็วสูง ซึ่งเกิดขึ้นที่มุม 0° อันเป็นผลเนื่องมาจากคุณสมบัติของ Capacitor load นั้นกระแสไฟฟ้าจะนำหน้าความต่างศักย์เป็นมุม 90° จาก EMC Reference [9] ได้มีข้อเสนอแนะให้ทำการเลื่อนมุมเฟสไป 90° ตามทฤษฎี ดังนั้นจึงสามารถสรุปได้ว่า มุมของการเกิดคิสซาร์บางส่วนที่วัดได้จากจุดวัดและบันทึกผลที่นำเสนอ เป็นมุมเดียวกันกับผลการวิเคราะห์จากเครื่องมือวัดมาตรฐาน คือมุม 90° และ 270° และสัญญาณที่เกิดขึ้นมีความถี่ 25 MHz ซึ่งเป็นความถี่ที่จัดอยู่ในช่วงของสัญญาณรบกวน จากผลสรุปดังกล่าวแสดงให้เห็นว่า การตรวจสอบสัญญาณการ

เกิดคิสซาร์บางส่วนด้วยจุดวัดและบันทึกผลที่นำเสนอ นั้นสามารถนำไปใช้ทดแทนการตรวจสอบด้วยเครื่องมือมาตรฐานได้ อีกทั้งยังเป็นวิธีที่ไม่ซับซ้อน เหมาะสำหรับการนำไปใช้เพื่อการบำรุงรักษาเชิงป้องกัน และสามารถลดจำนวนครั้งการใช้เครื่องมือวัดแบบมาตรฐาน สามารถลดค่าใช้จ่าย อีกทั้งยังลดเวลาในการวิเคราะห์ข้อมูลได้อีกด้วย ในลำดับต่อไปทางบริษัทราชนิวเทคเวอร์ จำกัด มีแผนงานสำหรับขั้นตอน Shutdown Minor Inspection เพื่อการวางแผนตรวจสอบหาสาเหตุการเกิดคิสซาร์บางส่วนของเครื่องกำเนิดไฟฟ้าในอุปกรณ์ประกอบแต่ละส่วนต่อไป

เอกสารอ้างอิง

- [1] นรเศรษฐ วัฒนเดช และชนศวทอง "การตรวจสอบเพื่อติดตามการเกิดคิสซาร์บางส่วนของเครื่องกำเนิดไฟฟ้ากระแสสลับแบบจึง โครมันัส ขนาด 15.75 kV 211.75 MVA" The 31st Electrical Engineering Conference (EECON-31).
- [2] G. Ujvari, et al, "Partial Discharge Pattern Recognition Algorithm for Turbo Generator Monitoring" 5th IEEE International Symposium on Diagnostics for Electric Machines, Power Electronics and Drives, Sept 2005.
- [3] Gert Pascoli, et al, "Partial Discharge Diagnosis of Generator Insulation System-Measurement, Simulation and Picture Recognition" IEEE International Symposium on Diagnostics for Electric Machines, Power Electrical and Drives, Sept 2007.
- [4] P. G. S. Kumar, et al, "Partial Discharge in Stator Winding Insulation of Turbine Generators-A case study and remedies", International Conference on Power and Energy System, Dec 2011.
- [5] Djoko Darwanto, et al, "Statistical analysis of partial discharge characteristics for predictive maintenance of generator of geothermal power plant" IEEE International Conference on Condition Monitoring and Diagnosis, Dec 2011.
- [6] Hee-Sang Shun, et al, "A study on partial discharge signals and noises at on-line generator stator windings" Transmission & Distribution Conference & Exposition: Asia, Oct 2009.
- [7] Power Testing Product "Partial Discharge Report" 24 Feb 2017.
- [8] IRIS POWER. PD Seminar - Module 1: Basic PD Theory, Detection and Characteristics.
- [9] IRIS POWER PD Seminar - Module 4: Data Collection Using TGA/PDA-IV Instruments.
- [10] IEEE 1434-2014, "IEEE Guide for the Measurement of Partial Discharges in AC Electrical Machinery."
- [11] G.C. Stone et al, "On-line Partial Discharge Measurement in Hydrogen-cooled Machines", IEEE EIC Conference, June, 2016.



การประชุมวิชาการทางวิศวกรรมไฟฟ้า ครั้งที่ ๔๐ (EECON-40)

ระหว่างวันที่ ๑๕-๑๗ พฤศจิกายน ๒๕๖๐

มหาวิทยาลัยเทคโนโลยีพระจอมเกล้าพระนครเหนือ

ขอมอบเกียรติบัตรนี้ให้ไว้เพื่อแสดงว่า

นายวรัญญู บุญเพ็ญ

ได้นำเสนอผลงานในการประชุมวิชาการทางวิศวกรรมไฟฟ้า ครั้งที่ ๔๐

เรื่อง

การตรวจจับสัญญาณดีสซาร์จบางส่วนในเครื่องกำเนิดไฟฟ้าพิกัด 21 KV: กรณีศึกษาเครื่องกำเนิดไฟฟ้า

ณ โรงไฟฟ้าพลังงานความร่วมมือของบริษัทฯ ราษฎร์เพาเวอร์ จำกัด


 ผู้ช่วยศาสตราจารย์ ดร.ไกรสร ใจยงวรงค์
 ประธานคณะกรรมการจัดงาน
 การประชุมวิชาการทางวิศวกรรมไฟฟ้า ครั้งที่ ๔๐


 ทัศนีย์ วัฒนกุล
 รองศาสตราจารย์ ดร.ทัศนีย์ วัฒนกุล
 ประธานคณะกรรมการฝ่ายพิจารณาบทความ
 การประชุมวิชาการทางวิศวกรรมไฟฟ้า ครั้งที่ ๔๐
 (ประเทศไทย)

ประวัติผู้เขียน

ชื่อ-สกุล	นายวีรณูญ บุญเพ็ญ
วัน เดือน ปีเกิด	28 สิงหาคม 2520
ที่อยู่	106 หมู่ 3 ตำบลท่าราบ อำเภอเมือง ราชบุรี 70000
การศึกษา	สำเร็จการศึกษาประกาศนียบัตรวิชาชีพชั้นสูง สาขาวิชาไฟฟ้ากำลัง วิทยาลัยเทคนิคราชบุรี ปี พ.ศ. 2540 สำเร็จการศึกษาวិชากรรมศาสตรบัณฑิต สาขาวิชาวิศวกรรมไฟฟ้ากำลัง มหาวิทยาลัยศรีปทุม ปี พ.ศ. 2556 สำเร็จการศึกษาวิศวกรรมศาสตรมหาบัณฑิต สาขาวิชาวิศวกรรมไฟฟ้า มหาวิทยาลัยเทคโนโลยีราชมงคลธัญบุรี ปี พ.ศ. 2560
ประสบการณ์การทำงาน	พ.ศ. 2550-พ.ศ. 2561 แผนกระบบบริหารงานเดินเครื่องและ บำรุงรักษา กองพัฒนามาตรฐานงานเดินเครื่องและบำรุงรักษา ไฟฟ้า ฝ่ายประสิทธิภาพการผลิต การไฟฟ้าฝ่ายผลิตแห่งประเทศไทย ปฏิบัติงานประจำที่บริษัทราชบุรีเพาเวอร์ จำกัด

